

# KALDIRMA ve TAŞIMA MAKİNALARI

Mesut YALÇINKAYA  
Mak. Y. Müh.

FİYATI 20 TL

2



MKE Kurumu Matbaası, Ankara — 1973

Ferit Baltacı  
Teknik Öğ.

# KALDIRMA ve TAŞIMA MAKİNALARI

Mesut YALÇINKAYA  
Mak. Y. Müh.

## İÇİNDEKİLER

	Sayfa
I Raysız taşıma makinaları .....	3
A Elle hareketli makinalar .....	3
B Motorlu istif makinaları .....	3
1. Elektrikli araba .....	3
b Dizel veya benzin motorlu arabalar .....	3
c Oklu elektrikli arabalar .....	4
2. Çekiciler .....	5
3. Tablalı istif makinaları .....	5
4. İstif tablaları, yükleme kutu ve çerçeveleri .....	7
II A. 1 Kaldırma makina ve elemanları .....	7
1. Zincirler .....	7
1.2 Zincir kasnak ve dişileri .....	8
1.3 Zincir tamburları .....	9
2. Halatlar .....	9
2.1 Halat bağlantıları .....	10
2.2 Halat tamburları .....	11
3. Aks, mil ve yataklar .....	12
4. Kreyn rayları ve tekerleri .....	13
B. 1 Kilitler ve frenler .....	14
2. Fren çözücüler .....	18
C. Yük kaldırma elemanları .....	20
a Kancalar .....	20
b Yük çengeli (hamutlar) .....	21
c Kiskaçlar .....	21
d Taşıma traversleri .....	21
e Kiskaçlı kepçeler .....	21
g Kübeller .....	23
h Yük kaldırma magnetleri .....	23
D. Palangalar ve ceraskallar .....	24
E. 1 Kaldırma kursu küçük vinçler .....	27
2 Kaldırma kursu büyük vinçler .....	27
F. Kaldırma makinalarında kullanılan elektrik motorları ve diğer güç kaynakları .....	31

	Sayfa
G. Kreynerler .....	33
1. Gezer kreynerler .....	34
2. Konsol (duvar) kreynerler .....	38
3. Sehpası kreynerler .....	39
4. Yükleme köprüleri .....	40
5. Kablo kreynerler .....	41
6. Döner kreynerler .....	43
7. Vasita üzerine monteli kreynerler .....	51
III Taşıma makinaları .....	53
A. Bandlı taşıyıcılar (Konveyörler) .....	53
B.1. Taşıma Elemanlarıyla taşıma .....	57
2. Sarkan kepçeli taşıyıcılar .....	58
3. Roleli dairesel taşıyıcılar .....	59
4. Taraklı kazıycı taşıyıcılar .....	60
C. Helezonlu taşıyıcılar .....	60
D. Titreşimli taşıyıcılar (Vibratörler) .....	61
E. Malzemenin kendi ağırlığı ile taşınması .....	63
F. Pnömatik ve hidrolik taşıtı tesisleri .....	63
G. Uygulamalar .....	65
1. Taşıma gücü 3t. olan bir tersane kreyinine ait tutma freninin hesabı .....	65
2. Bir kreyne ünitesi için çift pabuçlu frenin hesabı .....	67
3. Bir yükleme köprüsünün kepçeli arabasına ait hareket motorunun hesabı .....	70
4. Taşıma gücü 10 ton olan bir kreyen hareket motorunun hesabı .....	73
5. Net 2000 kg. yük taşıyabilen el vincinin hesabı .....	75
6. Bir tersane döner kreyni için planet dişli çarklı vinç sisteminin hesabı .....	79
7. Taşıma gücü 10 ton olan normal kreyen arabasının hesabı .....	83
8. Taşıma gücü 8 ton ve köprü uzunluğu $l = 8350$ mm. olan bir kreyen köprüsünün hesabı .....	91
9. Taşıma gücü 10 ton ve köprü uzunluğu $l = 26250$ mm. olan bir kreyen köprüsünün hesabı .....	95
10. Taşıma gücü 10 ton ve köprü uzunluğu $l = 23350$ mm. olan bir kreyen köprüsünün hesabı (perçin konstrüksiyonlu) .....	98
11. Taşıma gücü 8 ton ve azamı yükleme sahisi 5 m. olan döner duvar kreyni hesabı .....	103
12. Bir döner kreyne yükleme köprüsünün hesabı .....	108
H. KREYNERİN İŞLETİLMESİ VE BAKIMI .....	114
I. Literatur .....	117
İ. Zincir tipleri ve zincir dişleriyle ilgili bazı DIN normları .....	119

## KALDIRMA ve TAŞIMA MAKİNALARI

### 1 — RAYSIZ TAŞIMA VE İLETME MAKİNALARI :

#### A — Elle hareketli makinalar :

Kısa mesafeler (50 m. ye kadar) ve küçük yükler (1 tona kadar) içindir.

##### a) El arabası :

Hareket tekerlekler vasıtasyile sağlanır ve bir kişi tarafından kullanılır. Bir, iki veya daha fazla tekerlekli olabilir,

##### b) Arabalar:

Üç veya dört tekerlekli olurlar. Yük kaldırma tertibatı mekanik veya hidrolik. Hidrolik sistemlide kaldırma manivelalı hidrolik pompa ile sağlanır. Hidrolik kaldırma sistemi pompa, yağ deposu kaldırma pistonları ve ayar ventilерinden müteşekkildir. Kaldırma, hareket ve indirme ayakla kumandalı bir kol vasıtasyile sağlanır. Dönen tekerlekler elastik kaplamalı olup, tekerler döküm, tahta veya plastiktendir.

##### c) Tekerlekler :

Üç veya dört adet dönen tekerlekler üç veya dört köşeli şaseye bağlanmıştır. Diğer arabalarda olduğu gibi, arabanın ağırlığının hafif olması için taşıma organları ince kalınlıktaki borular veya hafif profillerden kaynaklı olarak imal edilir. Taşıyıcı kısmı ve yanları tahta veya pafif metal saçlardandır. Tekerlek kasnakları preslenmiş çelik veya hafif metal saçlardır. Tekerlerin yataklanması genellikle rulmanlı yataklarla sağlanır. Tekerlekler dolgu veya havalı lastiklerdir

#### B — Motorlu istif makinaları :

##### d) Elektrikli araba :

600, 1000, 2000, 3000 kg. veya daha fazla yüklerin devamlı ve daha çabuk taşınmasını sağlar. Dört tekerlek üzerine istinat ettirilmiştir. Arabanın tipi şöyle ifade edilmiştir.

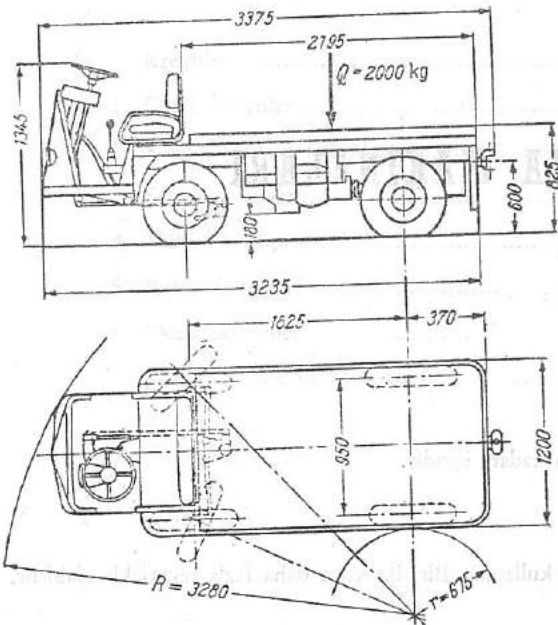
EK 2002 : Elektrikli araba, taşıma gücü 200 kg, 2 tekerlegi tahraklıdır. Araba gövdesi kullanma maksadına göre çok defa çelikten kaynak konstrüksiyon yoluyla imal edilmiştir.

Batarya (40 veya 80 V), ekseriya gövde altına ve iki aks arasına yerleştirilmiştir. Batarya doğru akım motorunu besler. Araba hızları 9-15 km/s olup, yeni doldurulmuş bir batarya ile 30 ile 50 km. lik hareket sahasına erişebilir.

Pabuçlu frenler tahraklı tekerleklerle tesir eder. Mekanik yolla pabuçlar yaylar vasıtasyile basar ve çekme halatiyle tekrar çözülür. Frenlemede hidrolik fren sistemi de kullanılabilir.

##### b) Dizel veya benzin motorlu arabalar :

Bilhassa büyük işletmelerin atelyeleri arasındaki taşıma için daha uygundur. Burada batarya yerine motor yerleştirilmiştir. Motor, diğer yol vasıtalarında olduğu gibi, kuru diskli kavrama üzerinden tam senkronizeli vites kutusu (2 veya 3 ileri, 1 geri vitesli) arka aksın differansiyel kutusundaki dişileri tahrık eder. Daha ağır yüklü arabalarda kuru diskli kavrama yerine hidrolik kavrama kullanılmaktadır. Tahrık sistemi, fren tertibatı ve süspansiyon diğer arabalarda olduğu gibidir. Yük konan kısmın yüksekliğinin daha aşağıda bulunmasını sağlamak için içten yanmalı motorlar ön tekerlekler arasına monte edilmiştir.



c) Şekil 1 de, dizel motorlu, operatör mahalli olan DFW 2002 arabası görülmektedir.

İki zamanlı dizel motor 12 PS;  $n = 2200$  d/dak. Soğutma donanımı ve vites kutusu ile kapali bir sistem teşkil eder. Dinamolu, starterli ve 12 V. Bataryalı ileri hareket hızı azamı 17 km/s. c kadardır. Geri hareket hızı 5,3 km/s. (imalatçı firma MÄG)

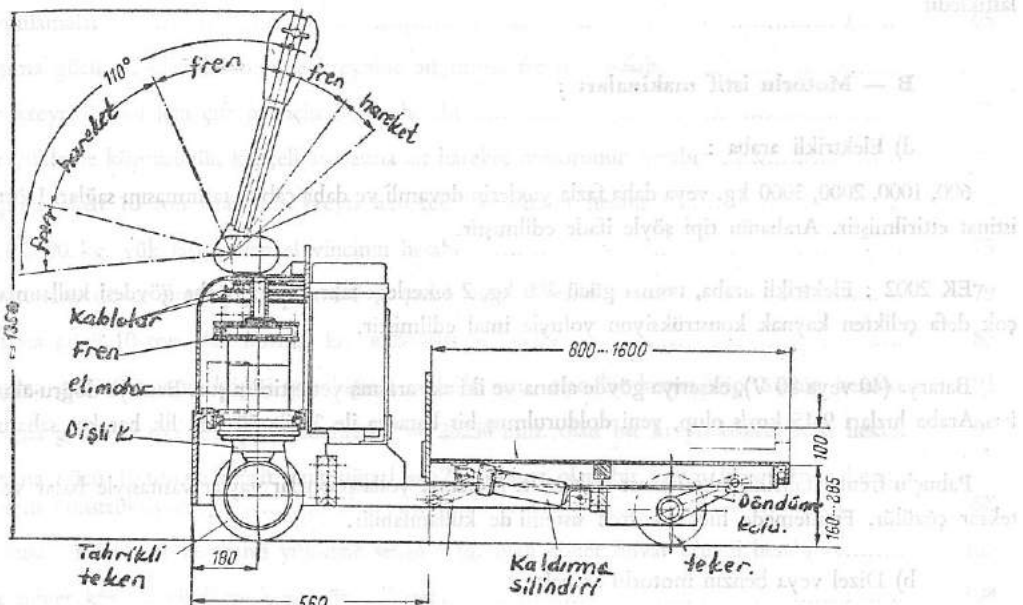
d) Üç tekerlekli ve içten yanmalı motorla tırikli arabalarda motor, kavrama, dişli kutusu ve tekerler bir bütür olarak birleştirilmiştir. Böyle arabalar bataryalı ve elektrik motorlu olarak yapılr.

#### d) Oklu elektrikli arabalar :

Taşıma güçleri 1,5; 2 ve hatta 5 tona kadardır. Çekme gücü takiben 4 tondur. Enerji kaynağı 24 V. Batarya; 100-150 As (300 As c kadar).

Şekil : 1 Dizel motorlu, şoför mahalli olan DFW 2002 arabası

Şekil 2 de oklu elektrikli arabaya ait bir şema gösterilmiştir. Bir doğru akım ana motoru ( $= 1,2$  Kw) dişli kutusuna üzerinden ön tekerleği tırik eder. Arabanın tırik sistemi bir rulmanlı yatak vasıtasıyla kaynakla birleştirilmiş çelik gövdeye istinat rıltımlı. Ok kolu vasıtasıyla tırik edilen dıştan pabuçlu fren motor miline tesir eder. Okun en üst ve en alt durumunda frenleme tesiri mevcut olup, aynı zamanda elektrik akımı da kesilmiştir. Kaldırma tertibati elektro - hidrolaklıdır. Pompa, dişli pompa veya yüksek basınçlı pistonlu pompadır.

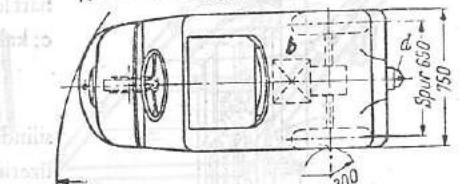
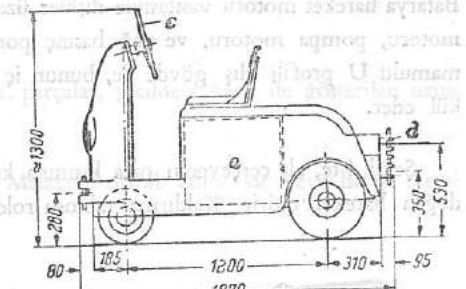


Şekil : 2 Oklu elektrikli kaldırma arabası (H. junghenrich Hamburg) ; Hızları 4-6 km/s; taşıma gücü 1,5-2 ton, çekme gücü 4 t. Enerji kaynağı 24 V. Doğru akım ana motorlu

#### 2 — ÇEKİCİLER :

##### a) Elektrikli çekiciler :

Küçük, manevra kabiliyeti iyi, üç tekerlekli operatör mahalli olan ve 3 tona (kısa mesafeler için 5-6 tona) kadar yüklü arabaları çekebilir. Hareket hızı 6-9 km/s olup, bir batarya şarjı ile 30 km. mesafe katedebilir. Motor gücü 2 km. dir. Batarya 12 hücreli ise 250 As, 40 hücreli ise 100 As tir.



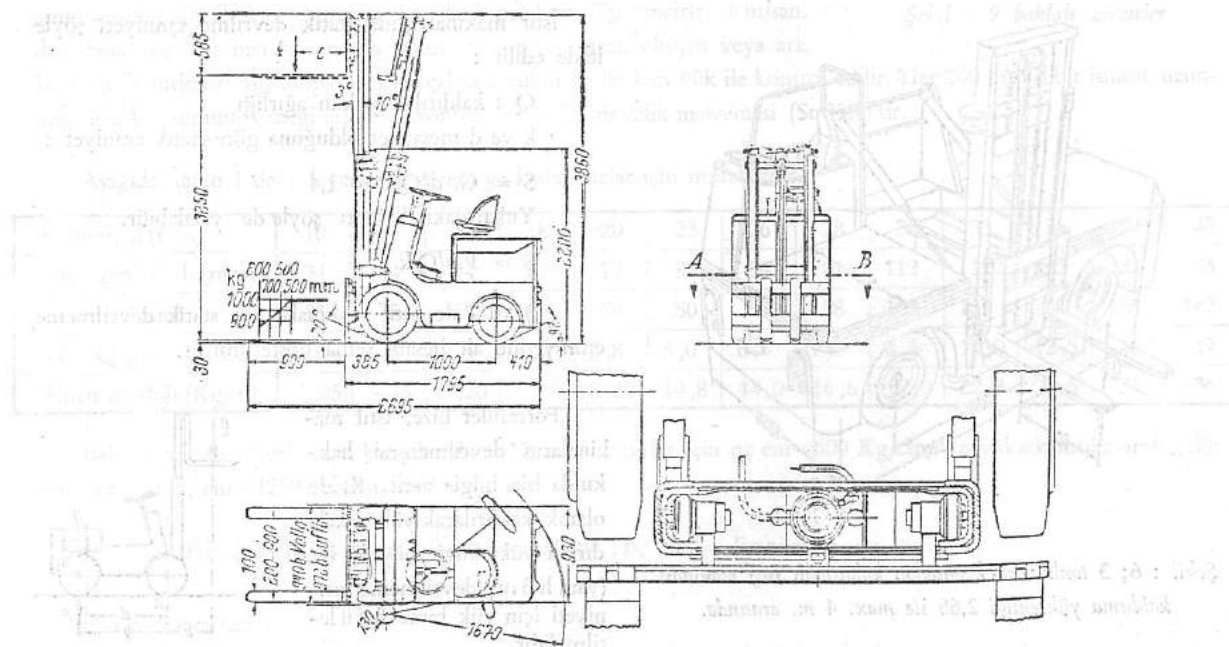
Şekil 3 te küçük bir elektrikli çekicinin şeması görülmektedir: a Batarya; b dişli kutusu ve differansiyelli motor; c ön tekerlere kumanda eden dümeni d çekiciyi bağlama düzeni (kademeeli kavramalı).

##### b) Ağır yük çeken çekiciler :

(10 ton veya daha fazla 60 tona kadar). Dizel veya benzin motorla tırikli, kavrama, vites kutusu, dingil ve fren sistemi normal vasıtalarda olduğu gibidir.

#### 3 — TABLALI İSTİF MAKİNALARI :

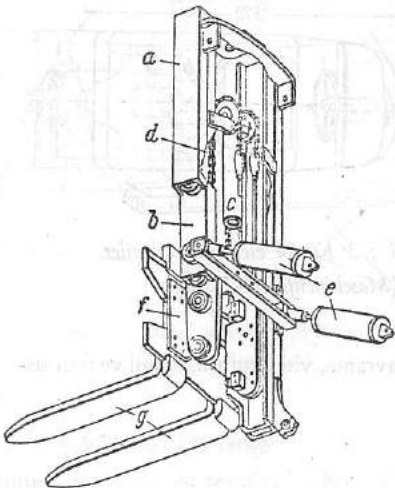
Bunlar üç veya dört tekerlek üzerine monte edilmiş olup, ön kısmı eğilebilir. Yük kaldırma silindiri vasıtasıyla yük, kızaklar üzerinden kaldırılır. Şekil : 4 Makina bütün hareket ve hidrolik sistemlerini, kumanda organlarını ihtiva eder. Fazla yük kaldırılabilmesi için uygun olarak bir dengelme ağırlığı konulur. Enerji kaynağı batarya veya içten yanmalı motorlardır.



Şekil : 4 Elektrik istif makinası; Taşıma gücü 1 ton, 4 tekerlekli. Batarya 40 hücreli (80 V) ve 200 As tir. Hareket motoru 3,6 Kw; kaldırma motoru 2,6 Kw, Max. hızı yükselsiz 12,3 km/s ve yükli 10,8 km/s; kaldırma hızı 12 m/dak.

Üç tekerlekli olanlarda tahrik sistemi elektrikli, taşıma gücü 1,2 tona kadar olup, manevra kabiliyeti yüksektir. Batarya hareket motoru vasıtasıyla dişler üzerinden arka tekerlekleri tahrik eder. 4 tekerlerde, dişli kutusu, hareket motoru, pompa motoru, ve yağ basınç pompası komple bir ünitedir. Genel olarak yük kaldırma kısmı; hadde mamülü U profili diş gövde ile, bunun iç kısmında kayarak hareket edebilen yine U profili bölümünden teşekkül eder.

Şekil 4 te, alt çerçeveyin orta kısmına kaldırma silindiri tespit edilmiştir. Silindirin pistonu, içteki kısmı yukarı doğru hareket ettirir. Kaldırma tablosu roleler vasıtasıyla U kızakları içerisinde hareket eder.



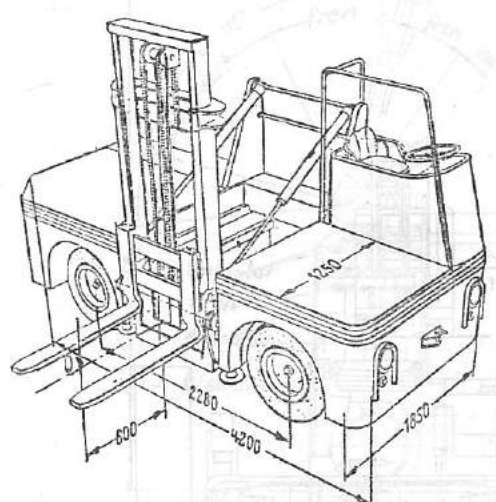
Şekil : 5 Yük kaldırma sistemi

Resim 5 te, kaldırma tablosunun şeması görülmektedir. Şemadaki harflerin manaları şöyledir : a; diş çerçeve, b; hareket edebilen iç çerçeve, c; kaldırma silindiri, d; kaldırma zinciri, e; eğme silindirleri, f; kızaklar, g; kollar

Şayet kaldırma yüksekliğinin daha büyük olması istenirse, kaldırma silindirleri iç içe geçmiş iki parçadan teşkil edilir. Önce yük kaldırma kızakları üzerinde kollarla kaldırılır ve müteakiben içteki silindir harekete geçer. kaldırma pistonları ve her iki yandaki eğme pistonları hidrolik kumandalıdır. pompalar yüksek basınçlı dişli veya rotasyon tipten olup, kumanda organları çeşitli ventil ve siberlerden müteşakkildir. Yağ basıncı 80-120 kg/cm<sup>2</sup> dir kaldırma hızları 10 ile 20 cm/san. dir. yağ deposu hacmi, bir yükü kaldırmak için kullanılan yağ miktarının dört katıdır.

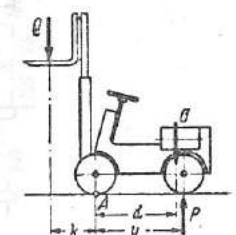
Bataryalı istif makinalarında pompa motoru; basınçlı yağ gerektiği zaman: içten yanmalı motorlu olana larda ise devamlı çalışır.

Çalışma sahası beton olmamış ve yüksek hareket hızı istenen istif makinaları hava tekerlekli, benzin veya dizel motorlu, kumanda kavramı ve senkronize vitesli olurlar.



Şekil : 6; 3 tonluk orta kısmından kaldırmalı istif makinası kaldırma yüksekliği 2,65 ile max. 4 m. arasında.

Bazı istif makinalarında yükün yeri şekil 7 de olduğu gibi teker eksenlerinin haricinde olmayıp, yükün ağırlık merkezi taşıma noktalarının meydana getirdiği alan içerisinde bulunabilir.



Şekil : 7

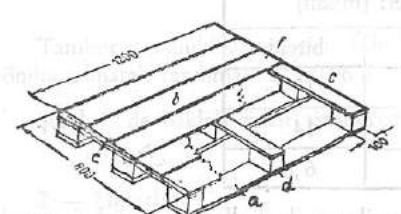
Formüller bize, istif makinaların devrilmemesi hakkında bir bilgi verir. Kaide olarak, kaldırılacak yükün kaldırma yüksekliği büyük ise, (yani h 3 m.) devrilmeme emniyeti için yük biraz hafifletilmelidir.

#### 4 — İSTİF TABLOLARI, YÜKLEME KUTU VE ÇERÇEVELERİ :

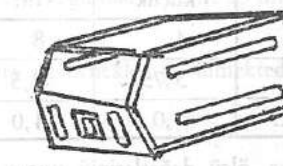
Bunların boyutları istif makinaları gibi normlaştırılmıştır.

Şekil : 8 a da ebadı 800×1200 mm. olan tablo görülmektedir. parçalar, şekilde f harfi ile gösterilen uzun civatalarla tespit edilmiştir.

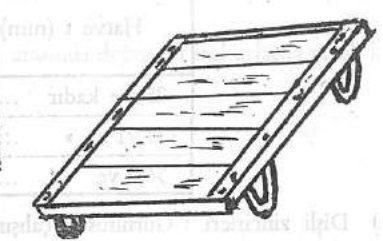
Tablonun ebatları 800×1000 ve 1000×1200 mm. de olurlar. Malzeme olarak tahta, saç veya hafif metal kullanılır.



Şekil : 8a



Şekil : 8b



Şekil 8b de diğer tip taşıma elemanları görülmektedir.

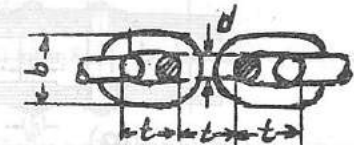
#### II — KALDIRMA MAKİNA ve ELEMANLARI :

##### 1 — Zincirler :

###### a) Baklalı zincirler :

Kaldırma makinalarında en çok kullanılan zincir tipi baklalı zincirlerdir.

**Özellikleri :** Büyülebilir, basit, ucuz ve küçük tambur çaplarına sarılabilir olmaları iyi hususlardır. Mahzurları ise fazla ağır, elastikiyeti az, yüklemeye ve darbelere karşı hassas olmalıdır. Uzun bir zaman sonra mafsallarda aşınmaların tesiri ile ani kopmalar meydana gelebilir. Bu zincirler 1 m/san. den daha düşük iş hızları için uygundur. Her parça, ocak oksijen veya ark kaynağı ile birleştirilmiş olup, zincirler çalışma yükünün iki katı yük ile kontrol edilir. Her 100 m. lik bir imalat uzunluğu için bir numune örneği seçilir ve kontrol edilir. Zincir çelik malzemesi (St 35K) tir.



Şekil : 9 baklalı zincirler

Aşağıda, tablo 1 deki değerler 1 m/san. ye kadar hızlar için mütberdir.

Kalınlık d (mm)	10	13	16	18	20	23	26	28	30	33	36	39	42
Dış genişlik b (mm)	34	44	54	67	77	87	94	101	112	122	132	132	143
Hatve t (mm) .....	35	45	56	63	70	80	91	98	105	115	126	136	147
Yük Q (ton) .....	0,95	1,6	2,5	3,0	3,8	5,0	6,4	7,5	8,5	10,0	12,5	15	17
Zincir ağırlığı (Kg/m)	2,05	3,45	5,20	6,50	8,20	10,8	14,0	16,6	19,0	22,3	26,5	31	36

Baklalı zincirlerin çekmeye karşı hesabı : Normal zincirler için  $\sigma_c \text{ em} = 600 \text{ Kg/cm}^2$  ve yüksek mukavimli çelik zincirler için  $\sigma_c \text{ em} = 1250 \text{ Kg/cm}^2$  alınır.

$$Q = 2 \cdot F_d \cdot (\sigma_c \text{ em}) = 2 \cdot \pi \cdot \frac{d^2}{4} \cdot (\sigma_{\text{cem}}) \text{ tir. ; } \sigma_c \text{ em} = \text{Emniyetli çeki gerilmesi}$$

###### b) Gall zincirleri :

Hatve t = 3,5—120 mm, ağırlık 0,07—112 kg/m, taşıma güçleri (emniyet faktörü 5 ile) 15—30000 Kg. dir. gall zincirleri yüksek taşıma kuvveti gerektiren, düşük hız, az kaldırma yüksekliği ve küçük hacim isteyen yerlerde kullanılır. Tozlu işletmelerde aşınma sebebi ile tavsiye edilmez.

c) Tahrik zincirleri :

c ) Bilezikli zincirler : Şekil 10b. Bilezikler pimler üzerinde olup, yan kanatlarla da direk temas halindedirler. iç kısındaki pim dönebilir. Bazen pimler merkezden delikli olup, kendi kendilerini yağırlar.

c ) Roleli zincirler : Şekil 10c. Şekilleri bilezikli zincirler gibidir. Bunlarda bilezik üzerinde ayrıca dönebilen burçlar vardır. Böylece zincir üzerindeki harekette sürtünme azaltılmış olur. Bu zincirlere ait sınır hız değerleri tablo 2 de verilmiştir.

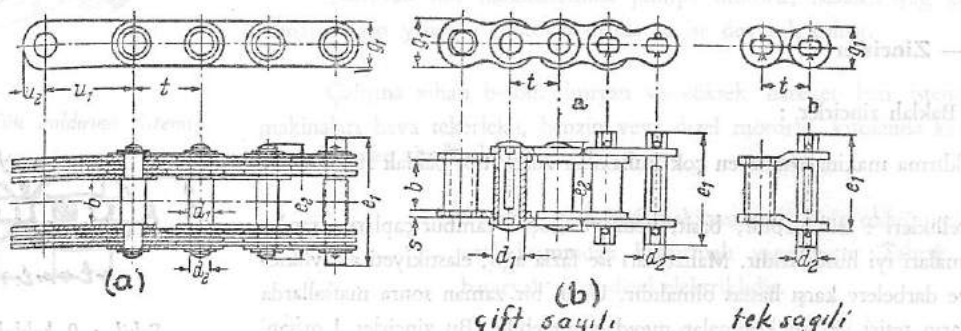
Tablo : 2

Hatve t (mm)	Sınır hız değerleri (m/san)		
	küçük	orta	büyük
25,4 e kadar .....	4	8	15
31,71 e » .....	3,75	7,5	14
76,2 ye .....	2,0	4,0	6,0

c ) Dişli zincirleri : Gürültüsüz çalışırlar, ölçü değerlerinin uygun seçilmesi ile kullanma ömrleri uzundur. Mümkin olduğu kadar çift sayılı zincir parçalı kullanılır.

İş kaybı 0,5—2 % dir. çevrim oranları : büyük güçlerde 1 : 6, orta güçlerde 1 : 8, küçük güçlerde 1 : 10 dur. genellikle 8 m/san. ye kadar hızlarda kullanırlar. yağlığında 20 m/san. hızda kadar çıkabilir.

Tekstil, matbaa ve kâğıt makinalarında, hadde tesislerinde, tezgâhlarda, konveyörlerde ve vasıtalarda kullanılırlar.

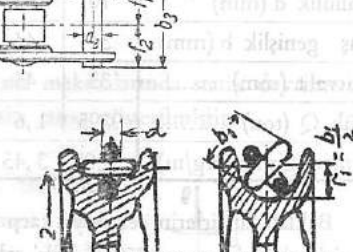


Şekil : 10

- a) Gal zincirleri
- b) Bilezikli zincir
- c) Roleli zincir
- d) Dişli zincir

1.2) Zincir kasnak ve dişileri :

Dişiz zincir kasnaklarında, kasnak çapı  $D = (20 \div 30) \cdot d$  olmalıdır. Kasnak malzemesi pik dökümüdür. Şekil 11 de kasnak şekilleri görülmektedir.



Şekil : 11

Dişli zincir kasnaklarında, kasnakın taksimat dairesi çapı şu bağıntıyla hesaplanır :

$D$  : Kasnak taksimat dairesi çapı

$t$  : Zincir hatvesi

$d$  : Zincir perno kalınlığı

$z$  : Kasnaktaki diş sayısı.

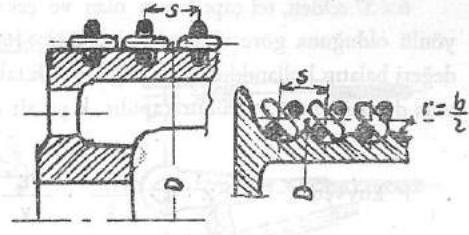
$$D = \sqrt{\left(\frac{t}{\sin 90^\circ}\right)^2 + \left(\frac{d}{\cos 90^\circ}\right)^2}$$

Genellikle kasnakta kullanılan diş sayısı  $5 \div 7$  dir.

Gall zincirleri ile tahrilikli dişli kasnağın taksimat dairesi çapı  $D$ , kısaca

$$D = \frac{t}{\sin \frac{180^\circ}{z}}$$

bağıntısı ile bulunur.



Şekil : 12

1.3) Zincir tamburları :

Tambur çapları  $D$  : Elle tahrilikli olduğu zaman :  $D \geq d$ , motorla tahrilikli olduğu zaman  $D = (20 \div 30)d$  dir.

Tambur et kalınlıkları, zincirin kalınlığına bağlı olarak 12 ile 25 mm. arasında değişir. Tamburlarda yatak kaybı gözönüne alınarak randıman  $\approx 0,96$  dir.

Şekil 12 de baklı zincir tamburlarına ait örnekler görülmektedir.

2 — Halatlar :

a) Kendir halatlar :

Bükülme kabiliyetleri çok iyidir. Bu halatların taşıyabileceği emniyetli  $Q$  yükü şu bağıntıyla bulunur. :  $Q \leq 70d^2$ . formülde  $d$  cm cinsinden halat çapıdır. Yukarıdaki bağıntıda kopmeye karşı 7-8 kat emniyet faktörü almıştır.

b) Bu halatlar her türlü kaldırma ve taşıma makinalarında kullanılır. Halatlar, çapları 0,4 ile 2 mm. arasında değişen tellerden meydana gelmiştir. Tellerin çekme mukavemetleri yüksek olup, değerleri 130, 160, 180 kg/mm dir.

Tellerin sarımları ile sicimler meydana gelmiştir. Sicimler sarılarakta halatlar meydana getirirler.

Halatlarda genel olarak iki tip sarım vardır :

1. Doğru sarım : Sicimdeki tel sarım yönü ile halattaki sicim sarım yönü aynıdır.

2. Çapraz sarım : sicimdeki tel sarım yönü ile halattaki sicim sarım yönü zittir. Sarım yönleri sağ veya sol sarım yönü olabilir.

Halatların tiplerine göre tel ve halat çapları ile taşıma güçlerini gösteren değerler aşağıdaki tabloda 3 de verilmiştir.

Tablo : 3

Halatın cinsi	Halat çapı d (mm)	Tel çapı (mm)	Halatın metalik kesiti (mm²)	1. m. halatin ağırlığı (kg/m)	Halatın Max. taşıma gücü (kopma sınırlı)			
					130	160	180	
	6x19=114 tel + 1 dolgu mad.	6,5	0,4	14,3	0,135	1860	2300	2550
	8	0,5	22,4	0,21	2900	3600	4050	
	9,5	0,6	32,2	0,30	4200	5150	5800	
	12,5	0,8	57,3	0,54	7450	9150	10300	
	16	1,0	89,5	0,85	11650	14300	16100	
	19	1,2	128,9	1,22	16750	20600	23200	
	22	1,4	175,5	1,66	22800	28050	31600	
	6x37=222 tel + 1 dolgu mad.	10	0,45	35,3	0,34	4600	5650	6350
	13	0,60	62,8	0,59	8150	10050	11300	
	16	0,75	98,1	0,93	12750	15700	17650	
	22	1,00	174,4	1,65	22650	27900	31400	
	27	1,20	251,1	2,38	32650	40200	45200	
	33	1,50	393,3	3,72	51000	62750	70600	
	40	1,80	564,9	5,36	73450	90400	101700	
	8x37=296 tel + 1 dolgu mad.	16	0,6	83,7	0,84	10900	13400	15050
	19	0,7	113,9	1,14	14800	18200	20500	
	21	0,8	148,8	1,49	19350	23800	26800	
	27	1,0	232,5	2,32	30250	37200	41850	
	32	1,2	334,8	3,35	34500	60250	60250	
	40	1,5	523,1	5,24	68000	83700	94160	

$6 \times 37$  telden, tel çapı 1 mm olan ve çekme mukavemeti  $160 \text{ kg/mm}^2$  bir halatın doğru sarım (D) ve sol sarım yönü olduğuna göre ifade edilişi :  $B22 \times 160 \text{ DS}$  dir. Halat çapı kısaca :  $d \min = k \cdot \sqrt{P}$  formülü ile hesaplanır.  $k$  değeri halatın kullanıldığı yere bağlı olarak tablodan alınacak bir değer olup 0,28 ile 0,44 arasında değişir ve D/d oranına da bağlıdır. D tambur çapıdır.  $k$  ya ait değerler kreyner bahsinde verilmiştir. P halatın yük taşıma kuvvetidir.

$$P \text{ kuvveti} : P = \kappa \cdot \pi \cdot \frac{d^2}{4} \cdot \frac{\sigma_E}{v} \text{ formülü ile de ifade edilir.}$$

Burada :  $v$  = kopma emniyet faktörü (4,5 ile 8 arasında)

$$\kappa = \text{dolgu faktörü} = \frac{\text{halatın metalik kesiti}}{\text{halatın tüm kesiti}} = 0,40-0,50$$

Halatın sarılıp açılma adedi yönünden ömür hesabı :

$$W \approx 170 \cdot \left( b_1 \cdot b_2 \cdot \frac{\frac{D}{d} - \frac{9}{b_1}}{\sigma_z + 4} \right) \quad W = \text{halatın tamburdaki sarılıp açılma adedi}$$

$$\frac{D}{d} = \text{Tambur çapı/halat çapı orani.}$$

$$\sigma_z = \text{çekme mukavemeti.}$$

$b_1$  ; Yiv faktörü, halatın sarıldığı tamburun yiv şekline bağlıdır.

$b_2$  ; Halat faktörü, halatın sarım şekline bağlıdır. (Doğru veya çapraz sarım).

$$\begin{aligned} \text{Yiv yarı çapı} : r &= 0,54 \cdot d \text{ için } b_1 = 1 \\ r &= \infty \text{ için } b_1 = 0,72 \text{ (çapraz sarım)} \\ &\quad b_1 = 0,65 \text{ (doğru sarım)} \end{aligned}$$

$$\begin{aligned} \text{Yiv kama açısı } 45^\circ \text{ için} : b_1 &= 0,72 \text{ (çapraz sarım)} \\ &\quad b_1 = 0,60 \text{ (doğru sarım)} \end{aligned}$$

Halat tellerinin çekme mukavemeleri  $160 \text{ kg/mm}^2$  olduğunda  $b_2$  değerleri :

$$b_2 = 1,04 : \text{DIN 655, Çapraz sarım için,}$$

$$b_2 = 1,11 ; \quad \text{doğru sarım için.}$$

Takribi halat ömürleri :

$$W \approx 30000 \text{ adet Küçük kaldırma makinalarında}$$

$$W \approx 140000 \text{ adet Kavrama kreynerinde}$$

Halatların kullanma ömrünü uzatmak için, bilhassa çelik olmayan halatlar, vaselin veya yağla emdirilir. Çelik telli halatlar korrozyona karşı galvanizlenir.

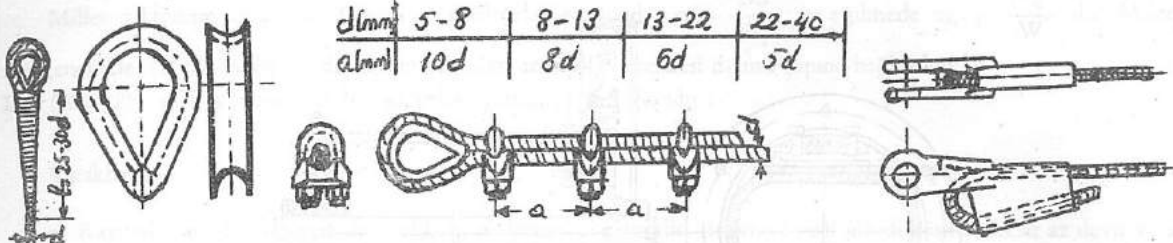
Halat hataları : Dış tellerin aşınması ve gerginliğini kaybetmesi, Montaj hatası

Sicimlerin üst üste sarılması veya açılması

Malzeme yorulması ile tellerin kopması.

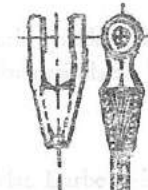
2.1) Halat bağlantıları :

a) Havşalı bağlantı : Halat ucu havşadan geçirilir ve taşıyıcı halatla bağlanır. Şekil 14 de havşalı bağlantı şeması gösterilmiştir. Havşalı bağlantıda kelepçeler kullanıldığından en azından 5 kelepçe kullanılır.



Şekil : 14 Havşalı bağlantı

Şekil : 15 Kamalı bağlantı (kama açısı) 15°



b) Kamalı bağlantıda ise bağlama (kenetlenme) kuvveti halatın çekme kuvveti ile sağlanır. Şekil 15 de bir kamalı bağlantı şeması görülmektedir.

c) Döktüm başlıklı konik halat bileziği: Şekil 16, önce halat ucunun telleri açılır. Teller temizlenir. (mesela benzincle) ve döküm maddesi galvanizli tel üzerine doldurulur.

Döküm maddesi olarak ya saf çinko veya beyaz metal (% 78.Sn, % 16 Sb, % 4,5 Cu, % 1,5 Pb) kullanılır. Bunun erime noktası  $220^\circ\text{C}$  ve sertliği  $30 \text{ kg/mm}^2$  Brinel'dir.

Bu bağlantıların haricinde iki halat uçlarını birbirine bağlayan irtibat manşonlu bağlantı da vardır. Bu manşonla iki halat direk olarak birbirine bağlanır.

## 2.2) Halat tamburları :

Bu tamburlar döküm veya kaynaklı olarak imal edilirler. Tambur yüzeyi düz veya genellikle yivli olur. Yiv yarı çapı halat çapına bağlı olup  $r \approx 0,53 \cdot d$  dir. Tamburlar, dönme momenti  $M_d$  den dolayı burulmaya, halat çekmesinden dolayı eğilmeye ve sarılmadan dolayıda bası ve eğilmeye zorlanırlar.

Şekil 17 de tambur üzerindeki yivlerin şekli gösterilmiştir.

$$\text{Torsiyon gerilmesi} : \tau = \frac{M_d}{W_p} = \frac{M_d \cdot r_1}{J_x}$$

$$J_x = \pi \cdot \frac{r_1^4}{4} - \pi \cdot \frac{r_2^4}{4}$$

$$\text{Eğilme gerilmesi} : \sigma_E = \frac{M_E}{W_x} = \frac{l \cdot r_1}{J_x}$$

$$\text{Toplam gerilme} : \sigma_1 = \sqrt{\sigma_E^2 + 3 \cdot \tau^2}$$

Ernst'e göre : bası :  $\sigma_b = 0,5 \cdot P/h \cdot s$

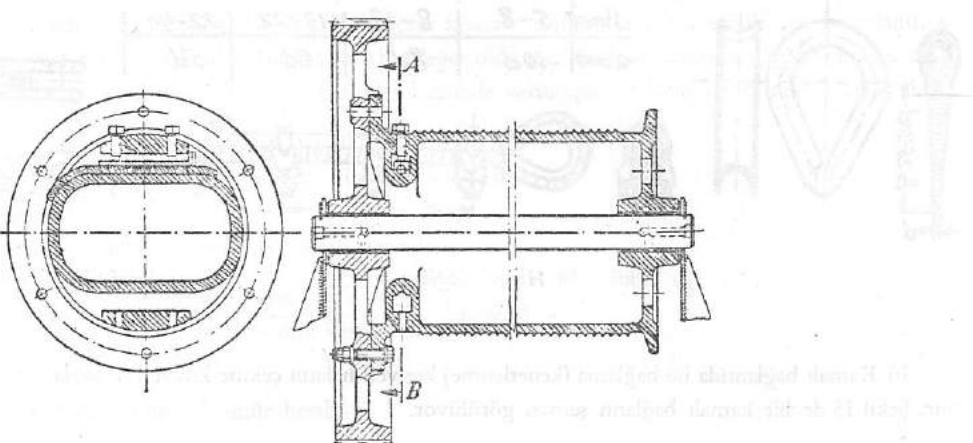
$$\text{eğilme} : \sigma_E = 0,96 \cdot P \sqrt{\frac{1}{(D^2 \cdot h^6)}}$$

Şekil : 17 Tambur üzerindeki yivlerin teşekkeşli

Dökümlü tamburlarda  $\sigma_E = 200-250 \text{ kg/cm}^2$  ve çelik silindirli olanlarda  $\sigma_E = 500 \text{ kg/cm}^2$  alınabilir.

Tablo : 4 Halat tamburunun yiv ölçülerini (mm) olarak

Halatçapı d	10	13	16	19	22	27	33	40
r	5,5	7	8,5	10	12	17,5	17,5	21
b	2	2	2	3	3	4	4	5
a	1	1,5	2	2,5	3	3,5	4	5



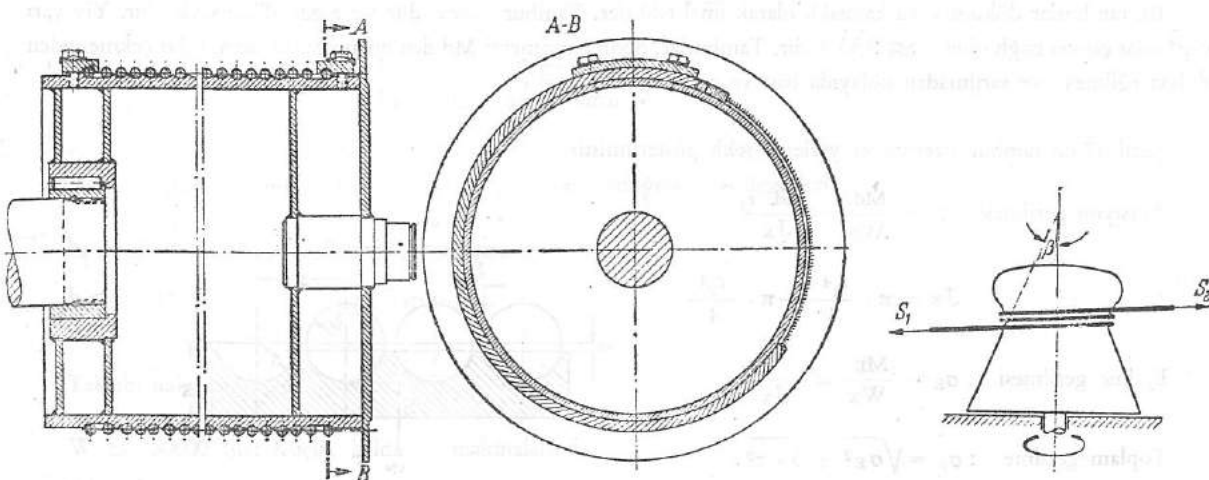
Şekil : 18 Pık gövdeli halat tamburuna çelik döküm dişli, flanşla bağlıdır ve mile yataklanmıştır.

Şekil 18 de dişli döküm tamburuna merkezleme ile bağlanmıştır. Tambur ve dişli, mil üzerine bronz bir yatakla yataklanmıştır.

Halatların dişli ile temasına mani olmak için gerekli tedbirlerin alınması lazımdır.

Şekil 19 da kaynakla imal edilmiş bir tambur görülmektedir. Halat uzunluğu L, tambur çapı D olduğunda tamburdaki sarım sayısı :

$$n = \frac{L}{\pi \cdot D} + 2 \text{ dir. Halat tambur üzerine bağlantılarla tespit edilmiştir.}$$



Şekil : 19 Kaynaklı bir halat tamburu görülmektedir.  
Tambur ile dişli mili arasında çok kamalı bağlantı vardır.

Şekil 20 de helisel halat yivlerine sahip, sürtünme tamburu görülmektedir. Bu, mesela kablo kreynlere araba hareket halatinin tahrîkinde kullanılır. Tambur üzerinde sarılı halat (sarılma açısı  $\alpha = 3\pi$ ) bir uçtan diğerine doğru dönmeye başlar. Aktarılan çevre kuvveti :  $U = S_1 - S_2$  dir. ve  $S_1 = S_2 e^{\mu \alpha}$  olduğundan  $U = S_2 (e^{\mu \alpha} - 1)$  dir.

Burada :  $\alpha$  = sarım açısı ve  $\mu \approx 0,14$  (sürtünme katsayısıdır)

### 3 — AKS, MİL VE YATAKLAR :

Aksler : Kaldırma makinalarında kullanılan sabit aksler eğilmeye zorlanırlar, Akslerde yiv, kama ve yağ kanallarından sakınılmalıdır, zira bunlar akslerin mukavemet değerini azaltırlar. Yağ kanalı mümkün olduğu kadar asal eksen üzerinde bulunmalıdır. Malzeme olarak genellikle (St 50) ve (St 60) kullanılır.

Miller : Dönme momentini aktarırlar, gerilmeleri torsionda  $\tau = \frac{M_t}{W_p}$  ve eğilmede  $\sigma_E = \frac{M_E}{W}$  dir. Malzeme genellikle (St 60) ve (St 70) dir. Milin yatakları arasındaki mesafesi  $d_1$  mil çapına bağlı olup  $L = (100-125) \sqrt{d}$  yi aşmamalıdır. ( $d$  yatak yerindeki mil çapıdır.)

#### Yataklar :

a) Kaymalı yataklar : Kaymalı yatakların malzemeleri çeşitlidir. Bronz ve özel pik döküm yataklar az devir ve az yatak yüklerinde kullanılır. İkisinde de yatak yüzeyleri iyi işlenmelidir. Toza karşı hassasırlar ve yağlama durumları iyi değildir.

Demir tozlarının grafitle yüksek basınç ve yüksek ısı altında birleştirilerek imal edilen sinterli yataklar küçük boşluklar dolayısı ile uzun müddet yağlanması ihtiyaç göstermezler. Çinko alaşımıları da yatak malzemesi olarak kullanılır. Yatak yüzeylerinin iyi işlenmesi gereklidir.

b) Rulmanlı yataklamalarda : Miller mümkün olduğu kadar az sayıda yerden yataklanmalıdır. Darbe ve büyük kuvvet tesirine yataklar mukavim olmalıdır. İç ve dış rulman bileziklerinin yüklenme durumu nazari dikkate alınmalıdır. Kaldırma makinalarında ekseriya radial bilyalı, sarkaç (mafusal) bilyalı, iki sıralı sarkaç silindirik ve aksiyal rulmlar kullanılır. Aksiyal rulmanlar bilhassa, yük kaldırma kancaları, sonsuz vidalı dişli kutuları ve kreyn sütunlarında kullanılır.

### 4 — KREYN RAYLARI VE TEKERLER :

#### a) Raylar :

Orta ve küçük yükler için dikdörtgen kesiti çelikten raylar kullanılır. Bunların ölçütleri  $k \times h = 50 \times 30, 50 \times 40, 60 \times 30, 60 \times 40, 60 \times 50$ , ve  $70 \times 50$  mm. dir.

Daha büyük yükler için şekil 21 de görülen ray profilleri kullanılır. Şekil 21 üzerindeki değerler normalleştirilmiş olup, norm tablolarından alınabilirler. Kullanılan malzemenin çekne mukavemeti en azından  $60 \text{ kg/mm}^2$  olmalıdır.

#### b) Tekerler :

Malzemeleri nadiren GG-18 olup, genellikle çelik döküm GS-52 ve GS-60 tir. Teker yüzey basıncı büyük olduğu takdirde St 70 olur. Şekil 22 de ray tekerlek tipleri görülmektedir. Tekerlerin çapı  $D_T$  şu bağıntıdan elde edilir.

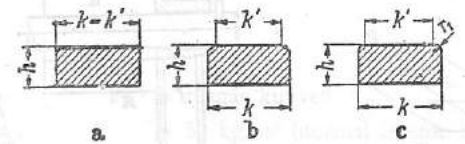
$$P_T = C \cdot D_T \cdot k'$$

$$P_T = \text{teker basıncı } (\text{kg/mm}^2)$$

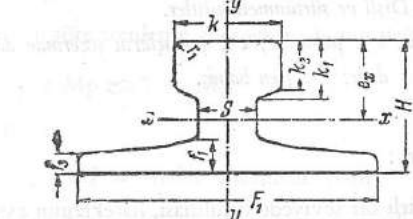
$$C = \text{katsayı} = p_{\max}^2 / 0,35 \cdot E \text{ dir.}$$

$$k' = k \cdot 2 \cdot r_1 \text{ (cm) şekil 21 den}$$

$$p_{\max} = \text{maksimum bası } (\text{kg/mm}^2)$$



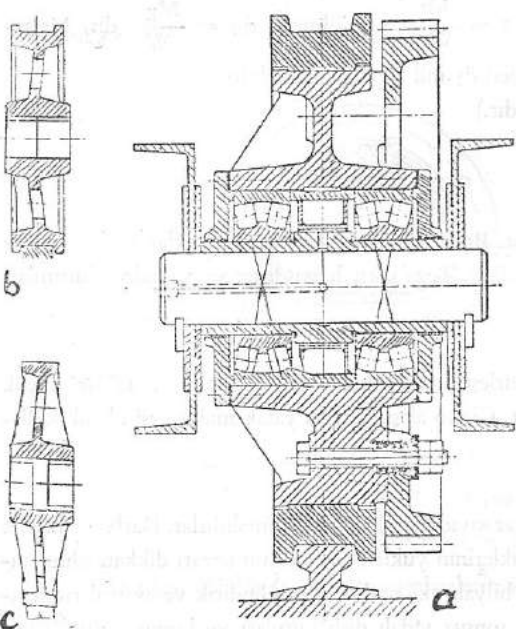
Düz ray profilleri : a) dörtkose,  
b) üst köşelerhausen, c) koseser yuvoru



Şekil : 21 Kreyn ray profilleri

$E_1$  ve  $E_2$  değerleri teker ve rayın elastisite modulleridir.

C faktörü için emniyet değerleri aşağıdaki tablo 5 den alınır.



**Şekil : 22**

- Kreyn tekeri; gövde şelik dökümünden olup dişli, civatalarla gövdeye bağlıdır yatak rulmanları sarkaç silindirik tipidir.
- Kamali araba tekeri (dişli bağlantısı yok)
- Kaymali yataklu tekerlek.

**Tablo : 5**

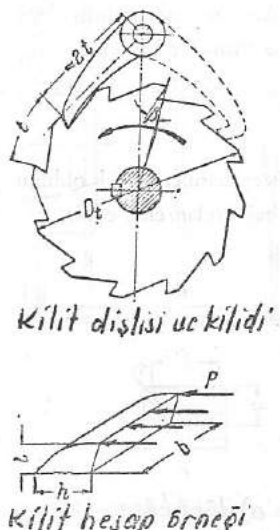
Malzeme	GG-18	GS-52	GS-60	St60	St70
C—Faftörü	20-30	40-60	40-70	50-80	60-90

C — Faktörünü tekerlek malzemesine göre seçtiğten sonra  $D_T$  çapı kolayca yukarıdaki formülden hesaplanır.  $P_T$  ise her tekerlek üzerine düşen basıncıtır.

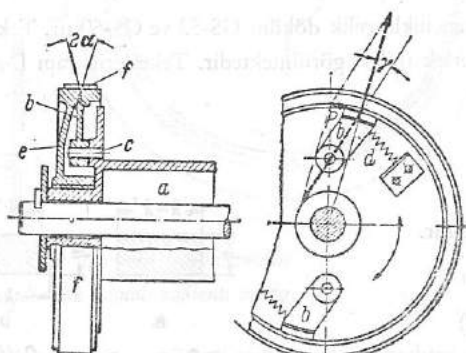
### B. 1. — KİLİTLER VE FRENLER :

#### a) Kilitler :

Elle kaldırma makinalarında tahrık kuvveti olmadığı zaman kilitler, yükün aşağıya düşmesine mani olurlar. Kilitler dişli veya sürtünmeli olurlar. Dişli kilitlerde geometrik ölçütler :



Kilit dişisi ve kiliği



**Şekil : 23** Dişli ve sürtünmeli kilitler.

a : Tambur, b : pabuçlar; c : pabuçların üzerinde dönen pim.  
d : yay, e : disk; f : fren bandı.

#### b) Frenler :

Yükün belirli bir seviyede tutulması, hareketinin ayarlanabilmesi için bandlı, pabuçlu diskli ve konik frenler kullanılır. Fren kuvveti ağırlık, yay, hidrolik, el veya ayak kuvveti ile sağlanır. Fren çözümleri ise el, magnet, motor, elektromekanik veya elektrohidrolik tesirle sağlanır.

Frenler, bir yükün potansiyal enerjisini alarak düşmemesini sağlar ve hareket halindeki cisimde kinetik enerjisini tutarak frenleme tesiri yaparlar.

Fren momentinin hesabı : Frenleme tesiri yapan  $M_F$  momenti motorlu işletmelerde aşağıdaki momentlerden teşekkür eder.

- $M_Q$  = Yükün statik momenti (kaldırma işletmelerinde)
- $M_p$  = Düz hareketlerde geçiktirmeli (zit ivmeli) moment. (Aşağıya inen yükte)
- $M_D$  = Dönen kütlelerin zit ivmeli momenti
- $M_R$  = Rüzgar kuvvetinin statik momenti.

#### 1) $M_Q$ = Yükün statik momenti :

$$M_Q = \frac{Q}{i_R} \cdot r_T \cdot \frac{1}{i} \cdot \eta \text{ (kgm)} \quad Q = \text{Yük (Kg.)}$$

$r_T$  = tambur yarı çapı (m)

$i_R$  = makaraların (rolelerin) çevrim oranı

$i$  = Fren mili ile tambur mili arasındaki çevrim oranı ( $n_{Fr}/n_T$ )

$\eta$  = tüm fren sisteminin randımanı

#### 2) Düz hareketlerde zit ivmeli moment : $M_p$

$$M_p = \frac{Q}{g} \cdot \frac{V_H}{t_x} \cdot \frac{1}{i_R} \cdot r_T \cdot \frac{1}{i} \cdot \eta \text{ (kgm)} \quad \text{kaldırma hareketinde}$$

$$M_p = \frac{Q_{\text{tüm}}}{g} \cdot \frac{V_F}{t_x} \cdot r_T \cdot \frac{1}{i} \cdot \eta \text{ (kgm). ileri harekette}$$

$r_T$  = Teker yarı çapı (m)

$$t_x = \text{zaman (san) ve ivme } b = \frac{V}{t_x}$$

$Q_{\text{tüm}}$  = Yük + kendi ağırlığı

$V_H$  = kaldırma hızı (m/san)

$V_F$  = hareket hızı (m/san)

#### 3) $M_D$ = dönen kütlelerin zit ivmeli momenti :

$$M_D = \frac{\pi}{120 \cdot D} \cdot \frac{\sum (GD_i^2 \cdot n_i^2 \cdot \eta_i)}{n_F \cdot t_x} \text{ (kgm)}$$

$GD_i^2$  = Dönen cisimlerin dönme ekseniindeki savurma momenti (kgm<sup>2</sup>)

$n_i$  = Dönen kütlelerin devri (d/dak)

$n_F$  = Fren milinin devri (d/dak)

$\eta_i$  = kütle dönüş ekseniindeki fren miline kadarki randıman

#### 4) $M_R$ = rüzgar momenti :

$$M_R = P_R \cdot r_T \cdot \frac{1}{i} \cdot \eta, \text{ (kgm) : ileri hareket için}$$

$$M_R = P_R \cdot r_R \cdot \frac{1}{i} \cdot \eta, \text{ (kgm) dönme hareketi için}$$

$P_R$  = rüzgar kuvveti

= 50 kg/m<sup>2</sup> (normal işletme basıncı)

$r_R$  = Rüzgar kuvvetinin tesir noktası ile dönme ekseni arasındaki mesafe (m)

Bu bağlantılar elde edildikten sonra çeşitli işletme durumlarına göre frenleme momenti  $M_F$  nin değerleri söyledir.

Kaldırma hareketinde :  $M_F = M_Q + M_p + M_D$  :  $M_p \approx 0,1 \cdot M_Q$

İleri harekette :  $M_F = M_p + M_D + M_R - M_I$  :

Dönme hareketinde :  $M_F = M_D + M_R - M_s$  :  $M_I$  = Atalet momenti (kgm)

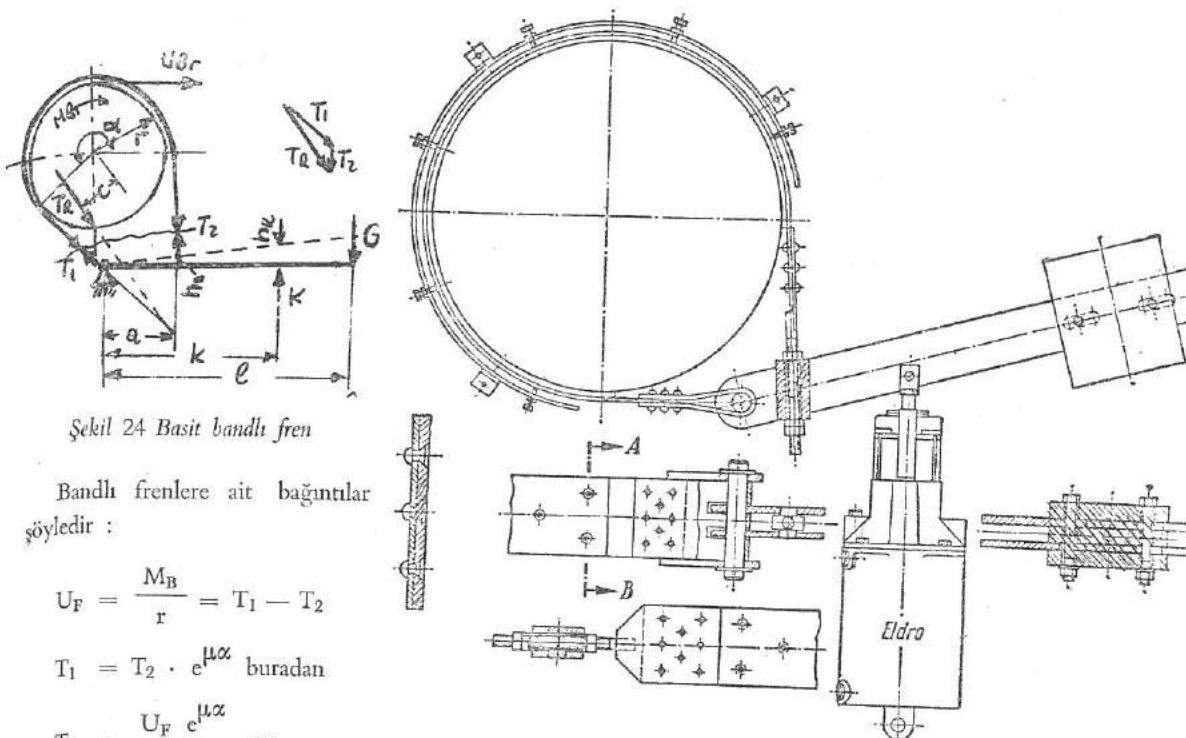
:  $M_s$  = Dönme direnç momenti (kgm)

Eğer kaldırma makinası kapalı bir saha içinde ise  $M_R \approx 0$  dir.

Fren tipleri :

a) Basit bandlı frenler :

Sadece frenlenecek momentin bir yönü için uygundur. Şekil 24 de basit bandlı frenin şeması görülmektedir.



Şekil 24 Basit bandlı fren

Bandlı frenlere ait bağlantılar  
şöyledir :

$$U_F = \frac{M_B}{r} = T_1 - T_2$$

$$T_1 = T_2 \cdot e^{\mu\alpha} \text{ buradan}$$

$$T_1 = \frac{U_F \cdot e^{\mu\alpha}}{e^{\mu\alpha} - 1} \text{ ve}$$

$$T_2 = \frac{U_F}{e^{\mu\alpha} - 1} \text{ dir.}$$

$U_F$  = Frenleyici çevresel kuvvet.

$r$  = Frendiskinin yarıçapı

$T_1$  = Tutan bandın çekme kuvveti

$T_2$  = Fren kolu tarafındaki band kuvveti

$\alpha$  = sarılım açısı

$\mu$  = Band ile disk arasındaki sürtünme katsayısı.

Fren kolu I üzerine tesir eden fren kuvveti G (ağırlik veya yay kuvveti)

$$G = T_2 \cdot \frac{a}{1} = U_F \cdot \frac{1}{e^{\mu\alpha} - 1} \cdot \frac{a}{1} \text{ dir.}$$

Her iki devir yönü için frenleme tesiri yapan bandlı sistemine ait şema şekil 26 da verilmiştir. Burada frenleme kuvveti G nin değeri :

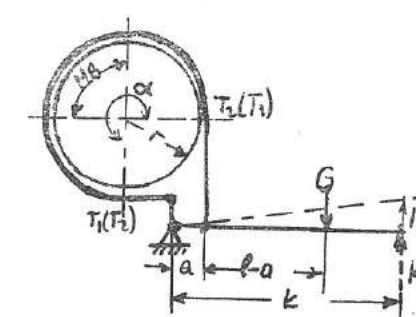
$$G = (T_1 + T_2) \cdot \frac{a}{1} = U_F \cdot \frac{e^{\mu\alpha} + 1}{e^{\mu\alpha} - 1} \cdot \frac{a}{1} \text{ dir.}$$

$\mu \approx 0,15$  (Band/çelik)

$\mu \approx 0,30$  (özel band/çelik)

Band genişliği bo in hesabı :

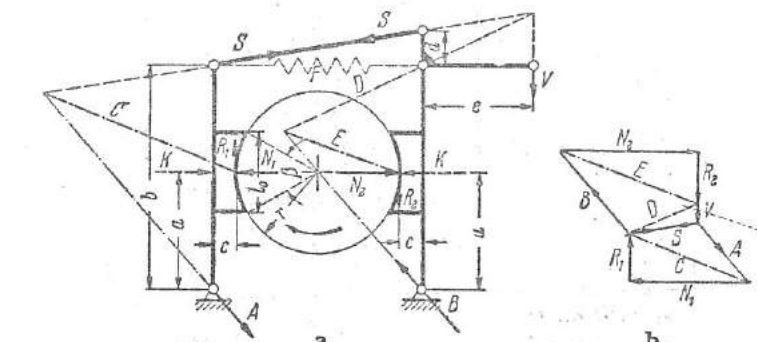
$$p_{max} = \frac{T_1}{r \cdot bo}; p_{min} = \frac{T_2}{r \cdot bo} \text{ ve}$$



Şekil : 26 Bandlı fren (heriki yön için)

$\frac{p_{max} + p_{min}}{2} \leq p_{emn.}; p_{emn.} = 2-3 \text{ kg/cm}^2$  olduğu için

$$\frac{1}{bo} \left( \frac{T_1 + T_2}{2 \cdot r} \right) \leq 2-3 \text{ kg/cm}^2 \text{ dir. Bu bağıntıdan da bo değeri hesaplanır.}$$



Şekil : 27 Pabuçları sabit, çift pabuçlu fren sisteminde kuvvet durumları görülmektedir.

b) Çift pabuçlu frenler :

Elektrik enerjisi ile çalışan vinçlerde, hareketli ve döner kreynlerinde çift pabuçlu frenler kullanılır. Zira, her iki devir yönünde de ayı frenleme tesiri yaparlar. Şekil 27 de çift pabuçlu frende tesir eden kuvvetler görülmektedir. Şeklin sağındaki grafikli kuvvet planında  $R_1$ ,  $N_1$ , ve  $R_2$ ,  $N_2$ , kuvvetlerinden A ve B mafsallarındaki kuvvetlerin elde edilişi verilmiştir.

Genel olarak K kuvvetinin değeri :  $K = \frac{U_F \cdot (a^2 - c^2 \mu^2)}{2 \cdot \mu \cdot a^2}$  dir.

Mesafe C = O olduğu zaman :  $K = \frac{U_F}{2 \cdot \mu}$  dir.

Şekil 27 ye göre K kuvvetini şöyle ifade edebiliriz. :  $K = F \cdot \frac{b}{a} + V \cdot \frac{b}{a} \cdot \frac{c}{d}$  ;

Burada F yay kuvvetidir.

Pabuç genişliği bo in hesabı :

$$bo = \frac{N}{Po \cdot lo} \quad \mu_0 = 0,4 \text{ Pabuç ile dönen disk arasındaki sürtünme katsayısı.}$$

$Po = 0,5-4 (\text{kg/cm}^2)$  = orta alma yüzey basıncı

Pabuç uzunluğu :  $lo \approx (0,5-0,6) \times \text{Fren diks çapı}$ .

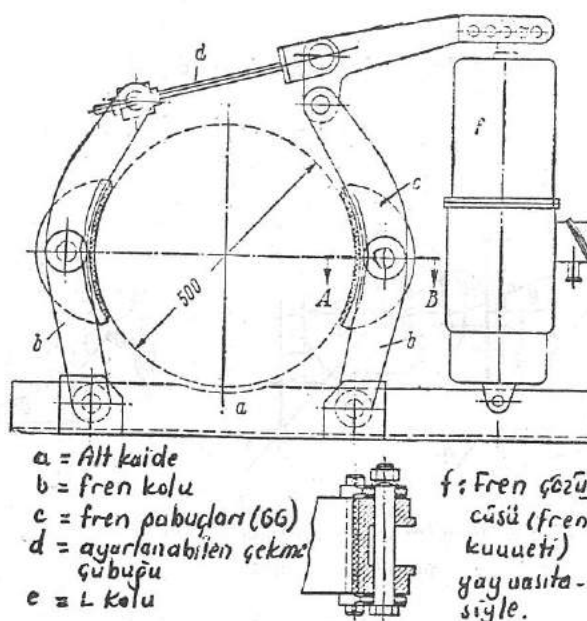
Fren disk çapı 250, 500 veya 700 mm. olduğunda fren pabucu disk üzerinden 1,5 ; 2 veya 2,5 mm. mesafede tespit edilmelidir. Bu mesafe  $\lambda$  ile ifade edilir.

Fren çözücüsünün iş gücü :  $A = 1,1 \cdot V \cdot h$  dir.  $h$  değeri ise,

$$h = 2 \cdot \lambda \cdot \frac{b}{a} \cdot \frac{c}{d} \text{ dir.}$$

Şekil 28 de pabuçları dönebilen çift pabuçlu fren görülmektedir. Fren pabuçları ve fren kolları genellikle saç veya profillerden kaynakla imal edilmiştir.

Şekil 29 da MAN firmasının çift pabuçlu bir freninin normal konstrüksiyon tipi görülmektedir. Burada da fren pabuçları, bağlantı pimi üzerinde dönebilir şekilde imal edilmiştir. Fren kuvveti direk olarak fren koluna tesir eden F yay kuvveti sayesinde elde edilmektedir.

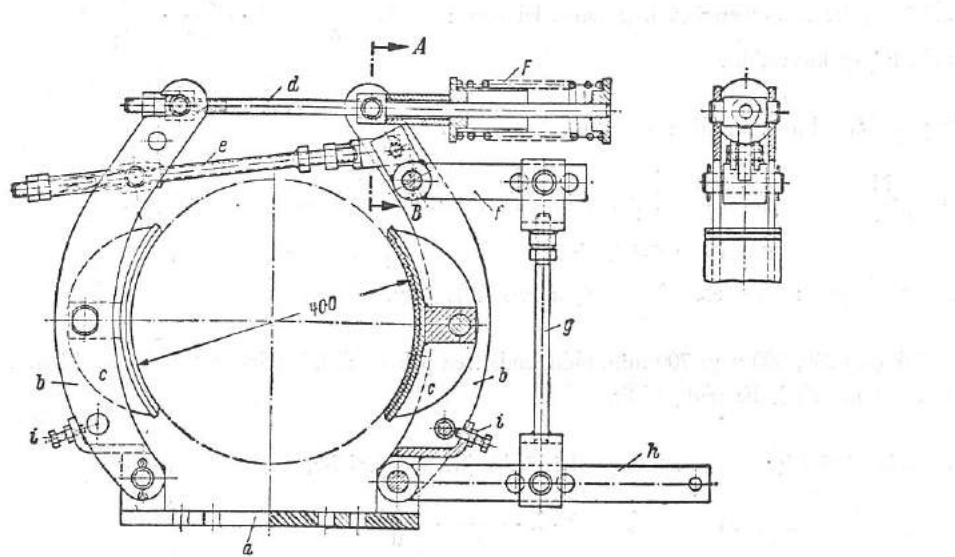


*Sekil : 28 Pabuçları dönenebilir çift pabuçlu fren*

Şekilde harflerle ifade edilen elemanlar şöyledir :

a : Alt kaide, b : fren kolu c : fren pabuçları, d : baskı yayı çubuğu; e,g : fren çözümü için bası çubukları.  
f : açılı kol, h : fren tesirini kaldırma kolu : i : fren tesirinin kaldırılması sırasında pabuçların aynı şekilde çekilmesini sağlayan ayar cıvataları.

Pabuçlar ve fren kolları, burada da saç ve profillerden imal edilmiştir.



*Sekil : 29 Pabuçları dönenebilir MAN imali bir çift pabuçlu fren tipi görülmektedir.*

## 2 — Fren çözüçüleri :

Fren çözüçüleri, elektrik motorun ilk harekete geçişini ile işletme esnasında kendiliğinden frenleri çözerler. Çözüçüler, kaldırma yüksekliği, kaldırma kuvveti, gücü ve saatteki açıp kapama sayılarıyla tanıtırlar.

### a) Manyetik tesirli fren çözüçüleri :

Burada, hareketli rotor, sabit bir miknatıs bobini tarafından çekilir. Enerji kaynağı doğru veya alternatif akımdır. Alternatif akımla çalışanlar küçük ve orta büyüklükte olurlar.

### b) Motor fren çözüçüsü :

Küçük bir asenkron motoru, dişli kutusu ve manivela kolu üzerinden fren çubuğunu hareket ettirir. Çalışması yumuşak ve hafif olup, büyük yük değerleri ve sık sık çalışma durumları için uygun olur.

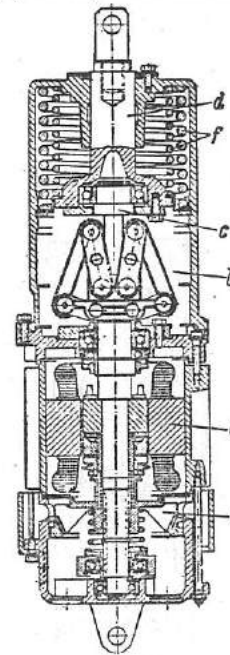
### c) Hidrolik fren çözüçüleri :

Yağ basıncı genellikle dişli pompası ile sağlanır. (Dişli pompası, tahrık motoru ve yağ deposu). Pistonlu basınç silindiri ve geri çekme yayları birbirine bağlı olmayan sistemler olarak konulmuşlardır. Sadece basınçlı boru vasıtalarıyla birbirleriyle birleştirilmişlerdir.

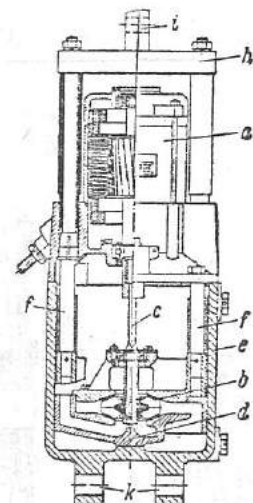
### c) Santrifüj tesirli fren çözüçüleri :

Şekil 30 da santrifüj tesirli bir motor fren çözümünün şeması görülmektedir. Çalışması şöyledir :

a motoru b sistemini tahrık eder. b nin santrifüj kuvveti c kayıcı mili ve d iticisi üzerinden fren çubuğunu hareket ettirir. Ayarlanabilen yaylı konik freni e, motorun durması halinde, hemen pabuçların kapama tesirini temin eder. Bu, f iş yayı vasıtasiyle sağlanır. Bu tip fren çözüçüleri çok sık çalışma durumları için uygun olup, küçük, orta ve büyük frenleme güç ve kapasite de imal edilirler.



*Sekil : 30 Santrifüj tesirli fren çözümü*



*Sekil : 31 Eldrofren çözümü*

Şekil 31 de Eldrofren çözümü şeması görülmektedir. Elektro-hidrolikle çalışan bu tip çözüçülerde a motoru, motor mili üzerinde aksiyal kayabilecek dört köşe pompa mili vasıtasiyle santrifüj pompanın b motorunu çevirir. Pompa gövdesinde d piston mevcut olup, bu piston e gövdesi içerisinde hareket edebilmektedir. Motorun çalışmasını müteakiben pompa motoru b pistonu üzerinde bulunan yağ kanal içerisinde pistona sevkeder. Böylece de pistona yukarıda doğru hareket eder. Pistonun hareketi her iki piston çubukları f yardımıyla h yatay kırıcı üzerinden i bası kolunu hareket ettirir. i koluda fren çubuğuna bağdır.

Motorun durması halinde fren, ağırlık ve yay tesiri nedeniyle darbesiz olarak ilk durumuna gelir. K delikleri, cihazın ayarlı olarak bağlanması sağlar. Bu tip fren çözüçüleri daha ziyade büyük güçler ve seri çalışma durumları için imal edilirler.

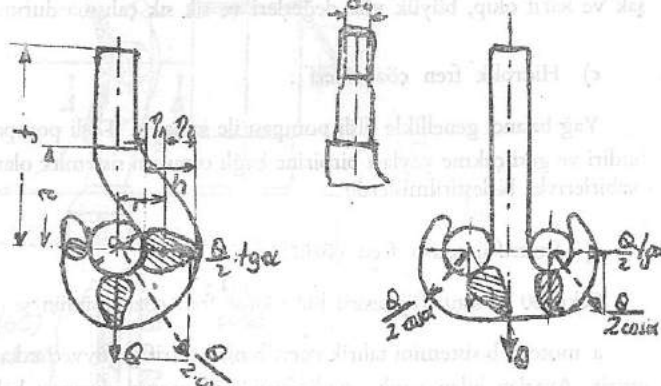
Arzu edildiği takdirde Eldro fren çözüçüleri monofaze elektrik motoru veya doğru akım motoru ile tahrık edilirler.

## C – YÜK KALDIRMA ELEMANLARI :

### a) Kancalar :

Tek veya çift kancalı, kısa veya uzun şafthı kancaların ölçülerini normalştirilmiştir. Kullanılan malzeme (Ck22) ve (Ck35) tır. Çekme mukavemetleri 42-50 kg/mm dir. Kancanın vidalı bağlantı ucunun çekirdek kesiti çekmeye zorlanır. Çekirdek kısmının çapı do olduğuna göre :

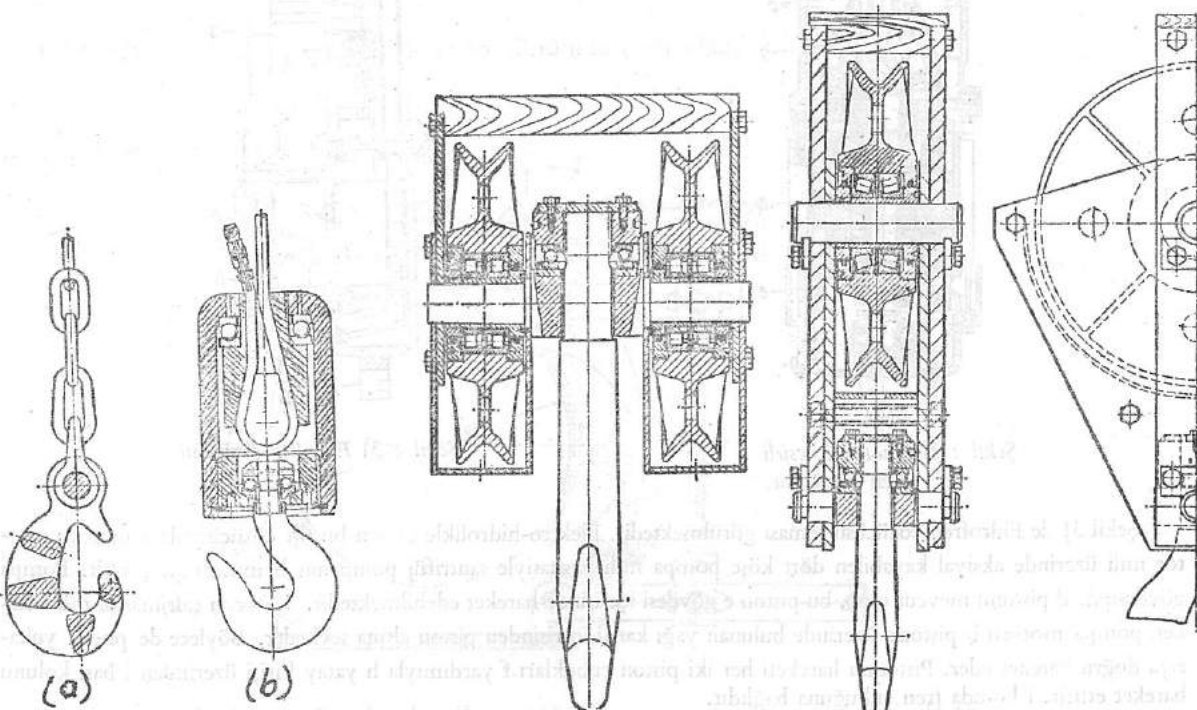
$$\sigma_s = \frac{P}{\pi \cdot d_0^2} \cdot 4 \text{ dür. Kreyn işletmesi için } \sigma_s \text{ emm} = 400-600 \text{ kg/cm}^2 \text{ dir.}$$



Şekil : 32 Yük Kancaları

Yüke bağlı olarak kanca ucu vidanının metrik değerleri söyledir : Tablo : 6

Q [ton]	0,5	1	3	5	8	10	20	50
Vida M	M20	M30	M42	M48	M64	M72	90	130



Şekil : 33 Kancalar

- a) Zincirle bağlı kanca
- b) Halata bağlı yük kancası.

Şekil : 34 Çift Kasnaklı kanca,

- Kasnaklar silindirik sarkaç rulmanla mil üzerine yataklanmıştır.

Şekil : 35 Tek Kasnaklı, kanca ve kasnak mili ayrı olan konca.

Yukarıdaki şemalarda kanca ve makaraların çeşitli bağlama şekilleri ve yataklanmaları görülmektedir.

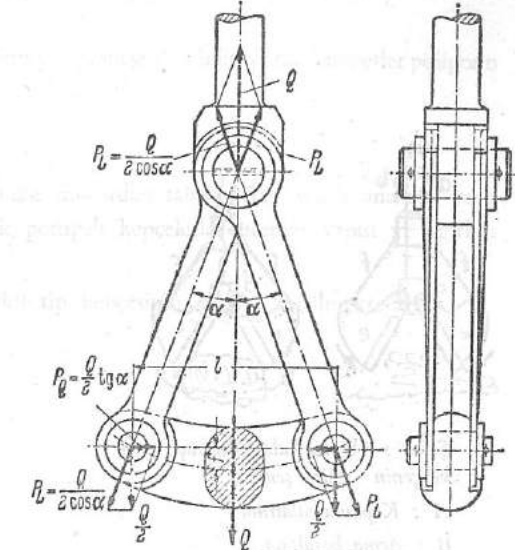
b) Yük çengeli (hamutlar) : Büyük yükler için (100 ton ve daha fazla) kanca ile beraber hamutlar kullanılır. Yük bağlama kısmı  $M_E = \frac{Q \cdot 1}{4}$  momenti ile eğilmeye zorlanır.

Bası ve eğilmeye yine  $P_Q = \frac{Q}{2 \cdot \operatorname{tg}\alpha}$  ve  $M_{Q2} = P_Q \cdot f$  değerleriyle zorlanır.  $2\alpha$  açısı altında bulunan yan çubuklar  $P_L = \frac{Q}{2 \cdot \cos\alpha}$  kuvvetiyle çekmeye maruz kalır. Küçük ve orta değerde yükler için hamutlar, bir parçadan sıcak presle imal edilirler. Yük taşıyan orta kısımdaki en büyük eğilme momenti Unold'a göre  $M_1 = \frac{Q \cdot 1}{4}$  tür

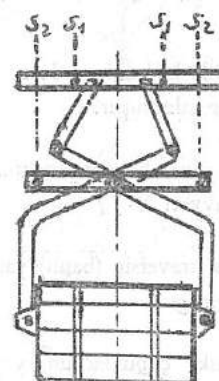
### c) Kiskaçlar :

Balya, bidon, tomruk, taş gibi çeşitli parçaların yüklenme ve taşınmaları için çeşitli tipte kiskaçlar kullanılır.

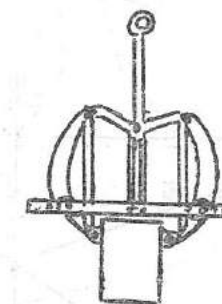
Aşağıdaki şemalarda çeşitli tipte kiskaçlar görülmektedir.



Şekil : 36 Hamut



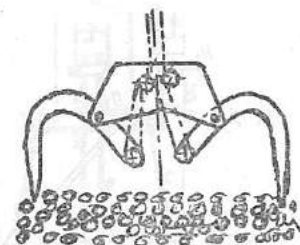
Şekil : 37 Sandık kavrama kiskağı



Şekil : 38 Tutma açığı ayarlanabilen kiskaç (taşların taşınması için)



Şekil : 39 Odun kiskağı



Şekil : 40 Odun parçaları taşıma kiskağı. (odunlar azam 200 mmØ ve 2 m. uzunlukta)

### d) Taşıma traversleri :

Profillerden ve çelik saçlardan imal edilmişlerdir. Bilhassa daha uzun parçaların nakil işlerinde yardımcı olurlar.

Yine mesela dökümhanelerde döküm potalarının taşınmalarında kullanılırlar.

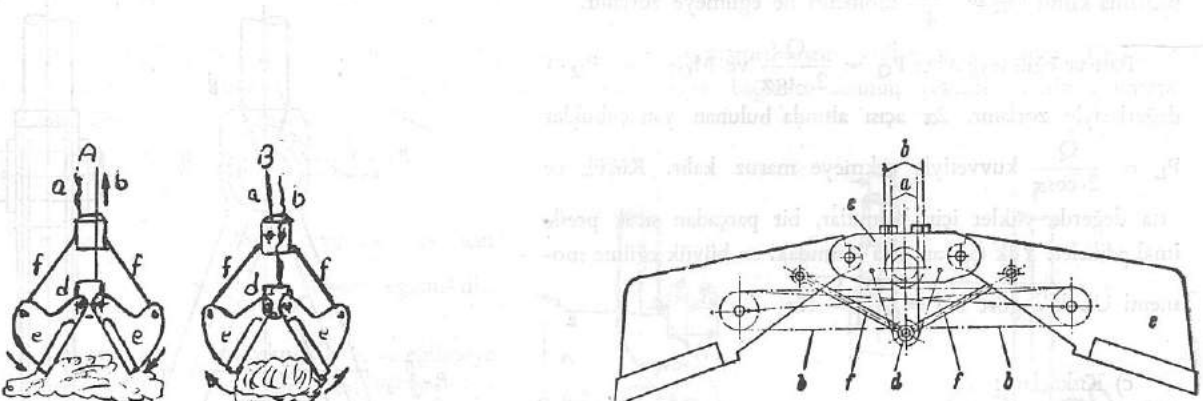
### e) Kiskaçlı kepçe :

İşleri daha seri yürütmek için kapama, kaldırma ve tutma, boşaltma halatlarıyla donatılmış kiskaçlı kepçeler kullanılır. Boşaltma ve kapama halatları çift veya daha fazla sayıda olabilir.

Şekil 41 de iki halatlı kiskaçlı kepçenin şeması görülmektedir. Kaldırma ve kapama işi b halatinin çekilmesi ile sağlanır. Kepçenin açılması için a halati çekilir ve b halati bırakılır.

Şekildeki harflerin manaları söyledir : c : Baş, d : travers, e : kepçeler, f : baskı çubukları. Kaldırılacak malzemenin cinsine (tahil, kömür, cevher) ve ağırlığına bağlı olarak kepçelerin baş, baskı çubukları ve traversler uygun olarak şekillendirilirler.

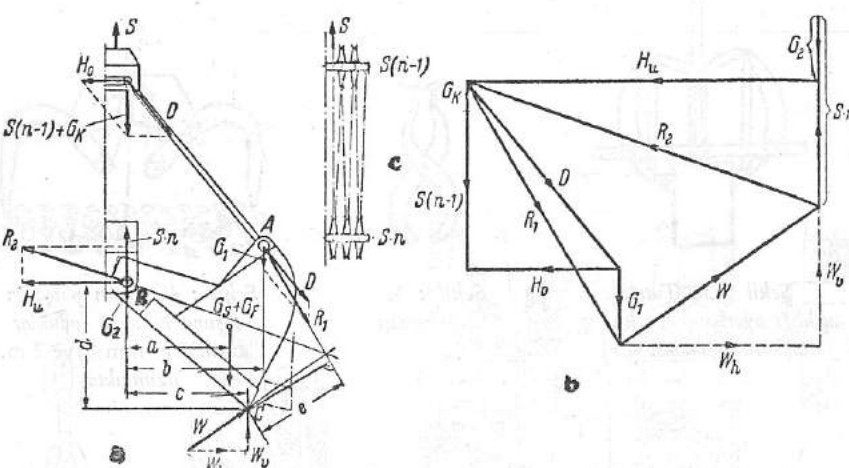
Şekil 42 de ayarlanabilen bir cevher boşaltma kepçe modeli görülmektedir. a : tutma, boşaltma halatları b : kapama kaldırma halatları (ceraskal tarihi), c : baş, d : açma makarası, e : kepçeler, f : açma çubukları.



Şekil : 41 İki halatlı kıraklı kepçenin tesir şeması  
A : Kapama kaldırma  
B : Açma, boşaltma.

Şekil : 42 DEMAG firmasının gemilerden cevher boşaltmalarında kullanılan bir kepçe tipi görülmektedir.

Aşağıdaki Şekil 43 de 4 halatlı bir kepçede, kapama ve kaldırma esnasındaki kuvvetlerin durumu gösterilmiştir.



Şekil : 43, 4 Halatlı bir kepçede kuvvetlerin dağılış planı :

- Tesir eden kuvvetlerin yeri
- Kuvvetlerin poligonu
- Kasnaklardaki halat sarımları

Şekilde kepçenin sadece yarısı ele alınmıştır.

S : Kapama halatının çekme kuvveti

G<sub>K</sub> : Üst traversin (başın) yarı ağırlığı

G<sub>D</sub> : Baskı çubuklarının yarı ağırlığı.

G<sub>U</sub> : Alt traversin yarı ağırlığı

G<sub>S</sub> : Bir kepçe kısmının ağırlığı

G<sub>F</sub> : Bir kepçede tutulan malzemenin ağırlığı

Üst traversste halat sarım adedi (n-1) ve alt traversdede halat sarım adedi (n) dir.

A ve B noktalarında ağırlık kuvvetleri G<sub>1</sub> ve G<sub>2</sub> olduğunda G<sub>1</sub> ve G<sub>2</sub> nin değerleri :

$$G_1 = \frac{G_D}{2} + (G_S + G_F) \cdot \frac{a}{b} \text{ ve } G_2 = G_U + (G_S + G_F) \cdot \frac{b-a}{a} \text{ dir.}$$

Şekil 43 de (b) kısmında gösterilen kuvvetler poligonu, eğer kepçenin kapanması esnasındaki S halat kuvveti biliniyorsa çizilebilir.

S(n-1) + G<sub>K</sub> değeri, iki ayrı kuvvette, yani çubuk başı kuvveti D ile yatay kuvvet H<sub>0</sub> ya ayrılabılır. D kuvveti ile G<sub>1</sub> kuvvetinin bileşkesi R<sub>1</sub> i verir.

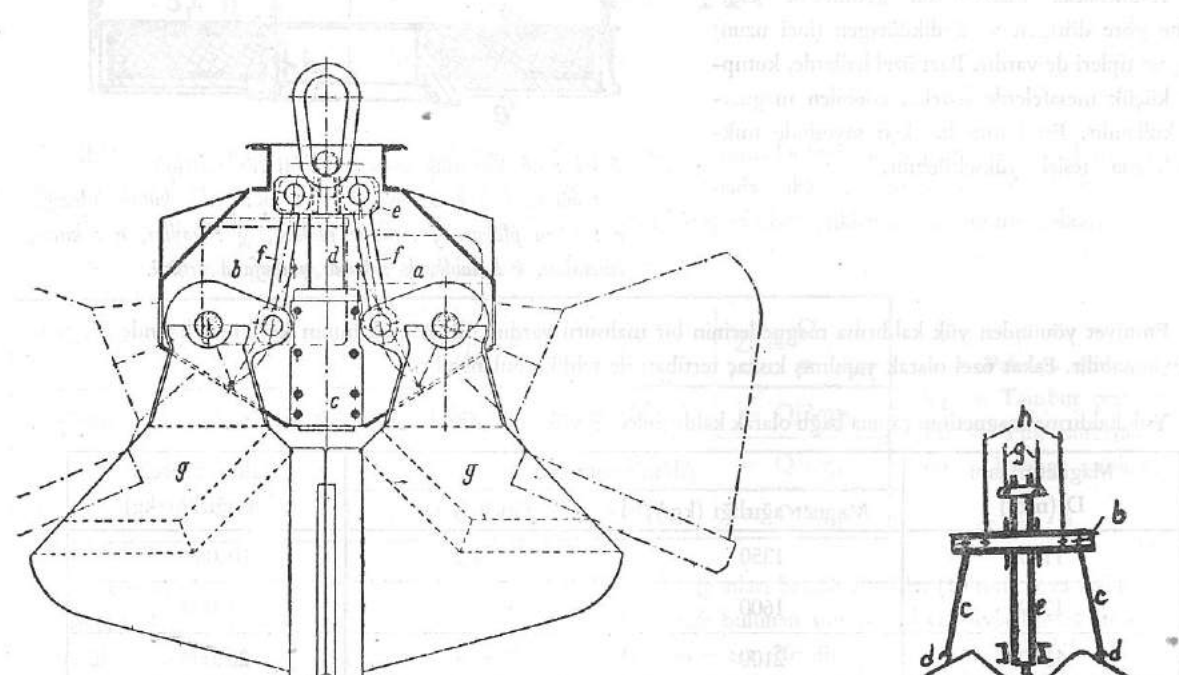
Kepçe üzerine tesir eden kuvvetlerin dengede olması gereklidir. C noktasına göre ifade edilen bir moment eşitliğinden Hu kuvveti elde edilir. Hu nun değeri :  $H_u = \frac{[R_1 \cdot e + (n \cdot S - G_2) \cdot c]}{d}$  dir.

Kepçenin kapalı ve yüklü durumuna göre, S, G<sub>F</sub> ve W kuvvetlerinin yatay bileşenleri biliniyorsa, kuvvetler poligonu çizilebilir.

f : Elektro — hidrolikli kepçeler :

Tamburlu vinç tesislerinde kullanılır. Kepçelerin açılıp kapanması motordan tarihi alan vidalı ana mil veya hidrolik pompaya bağlı bası silindiri vasıtasiyle sağlanır. Hidrolik pompalı kepçelerle sistemin yapısı ve ağırlığı küçük olup, kapama ve açma kuvvetleri daha büyütür.

Şekil : 44 de WÖHR firmasının imali olan elektro - hidrolikli tip kepçesinin şeması görülmektedir.



Şekil : 44 Elektro-hidrolikli kepçeler.

a : motor, b : yağbasıncı pompası, kumanda organları ve yağ deposu  
c : silindir, d : piston kolu, e : enine travers, f : direksiyon kolu,  
g : kepçeler.

Şekil : 45 Kübel'in şeması

g) Kübel :

Kepçe hacimleri (0,3-3) m<sup>3</sup> arasında olup, dönenbilir şekilde imal edilirler. Kok, kömür ve briket gibi parçaların taşınması halinde kepçe hacmi 24 m<sup>3</sup> e kadar olabilmektedir.

Şekil 45 de kübelin şeması görülmektedir. Burada aynı şekilde a kepçeleri mafsallı olarak birbirine bağlanmıştır. Kepçelerin açılması b traversi üzerinden olur. b traversi, d kancalarını c çubukları yardımıyle tutar. b içinde kayabilecek kısım ise f kancasını tutar.

Kepçelerin açılması için g halatlarına bağlı e traversi boş bırakılırsa b kısmı h tutma halatları ile çekilir. Kaldırma halatlarının çekilmesi ile kübelin kepçeleri kapanır. İşin kolaylaşması için travers dönenbilir ve kendiliğinden kavramalı olarak imal edilir.

h) Yük kaldırma magnetleri :

Demir çelik endüstrisinde ingot, kütle, hurda, kırıcı bilyalar ile yerleştirme sahalarında profil ve rayların naklinde kullanılır. Daha ziyade yuvarlak magnet tipleri kullanılır. Çapları 700-1900 mm. olup, kaldırma güçleri 4-30 tondur. Talaş ve ince hurdalarla kaldırma gücü bunun 3-5 % dir.

Azamı  $500^{\circ}\text{C}$  ısı altındaki parçayı rahat kaldırabilirler. Demir  $700^{\circ}\text{C}$  nin üzerinde (takriben  $721^{\circ}\text{C}$ ) miknatışlığını kaybettilerinden, çekme kuvvetide ortadan kalkar. Miknatışmanın olması için mangan oranı demirde % 7 yi aşmamalıdır.

Magnetin ana kısımları şunlardır : Dirençli starter, emniyet kısımları, akım kabloları, kablo tutma tamburları, gövde ve bobindir.

Bobin yük kaldırma magnetinin en önemli parçasıdır. Bobinin sarım malzemesi bakır veya alüminyumundur.

Kaldırılacak malzemenin geometrik şekillerine göre dörtgen veya dikdörtgen (inci uzun) magnet tipleri de vardır. Bazı özel hallerde, kutupları küçük mesafelerde hareket edebilen magnetler kullanılır. Bu kutup hareketi sayesinde miknatışma tesiri yükseltilib.

Emniyet yönünden yük kaldırma magnetlerinin bir mahsusu vardır. Elektrik akımının kesilmesi halinde bir tehlike yaratır. Fakat özel olarak yapılmış kısa tertibi ile tehlike önlenebilir.

Yük kaldırma magnetinin çapına bağlı olarak kaldırılabileceği yükün takribi değerleri aşağıdaki tablo 7 de verilmiştir.

Magnetin çapı D (mm)	Alüminyum bobin		Kaldırabileceğim blok ağırlığı (kg)
	Magnet ağırlığı (kg.)	Güçü (Kw)	
1100	1350	4,5	10.000
1300	1600	5,5	15.000
1500	2100	7,5	20.000
1750	3300	10,0	23.000

#### D — PALANGALAR VE CERASKALLAR :

##### a) Palangalar :

###### a1. Basit Palanga

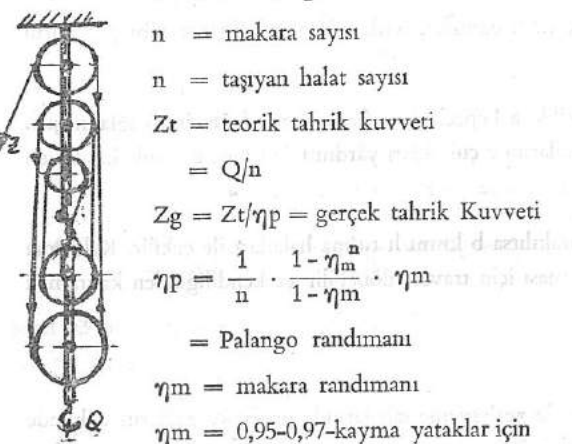
$n$  = makara sayısı

$n$  = taşıyan halat sayısı

$Z_t$  = teorik tarih kuvveti

$$= Q/n$$

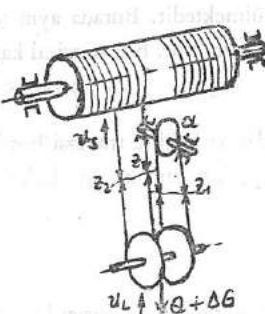
$Z_g = Z_t / \eta_p$  = gerçek tarih kuvveti



Şekil : 47  
Basit palanga

###### a2. İkiz Palangalar :

motorlu vinçlerde yükü birçok halata taksimi etmek için ikiz palangalar kullanılır. Vinç arabalarında taşıma gücüne göre, 4,8,12 halath olurlar.



Şekil : 47 ikiz palanga

###### a) denk makarası (şekilden)

$$Q + \Delta G = 2(Z_1 + Z_2)$$

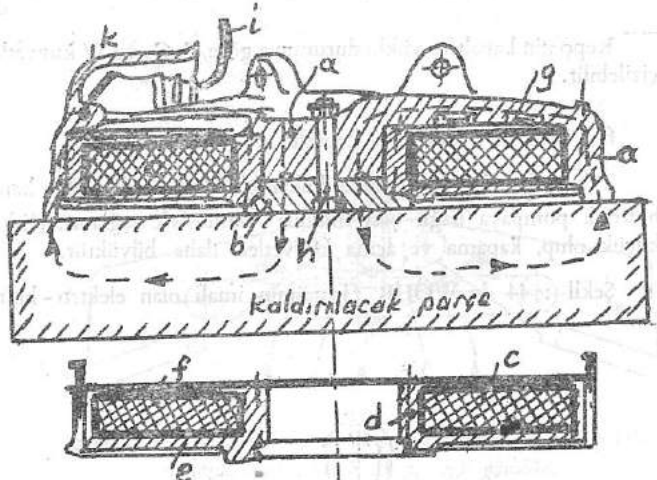
$$Z_1 = \eta \cdot Z_2$$

$$Z_2 = \frac{Q + \Delta G}{2} \cdot \frac{1}{1 + \eta}$$

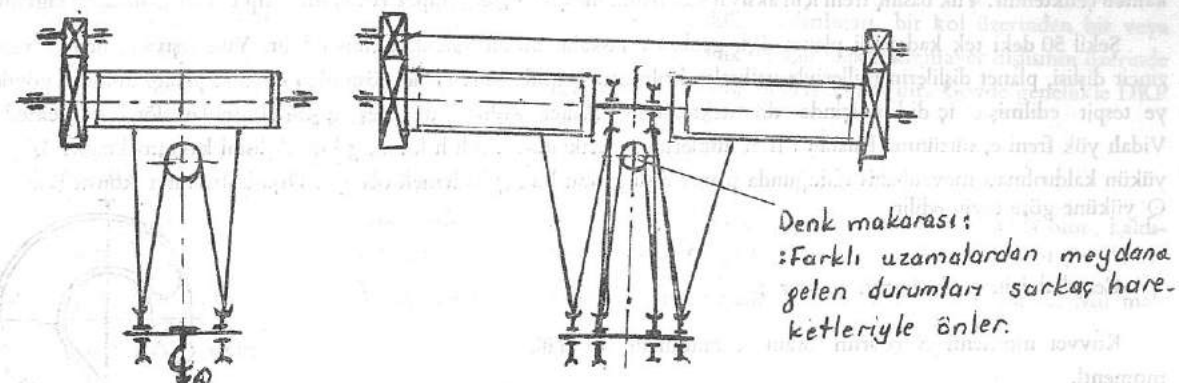
$\eta_m$  = makara randimanı

$\eta_m = 0,95-0,97$ -kayma yataklar için

$\eta_m = 0,97-0,98$  rulmanlı yataklarda



Şekil : 46 Yuvarlak magnet (bobini çıkarılabilir)  
a : gövde, b : kutup başlığı, c : bobin, d : kutup bileziği,  
e : taban plakası, f : örtme plakası, g : yollar, h : kutup civataları, i : kablo, j : kablo muhafaza örtüsü.



Şekil : 48, İkiz palanga şemaları

İkiz palangaların faydalari : 1 — Yük çok sayıda halata bağlanmıştır. Dolayısıyla halat, makara, tambur çapı küçülür. Tambur devri arttığandan dişli reduksiyonu kolaylaşır. 2. kaldırımda yükün tambur eksenine paralel hareketi önlenir. 3. Halatlar tambur vida yivlerine iki yönden girdiğinden yatay tambur yüklenmesi zıt tesirle kalkar.

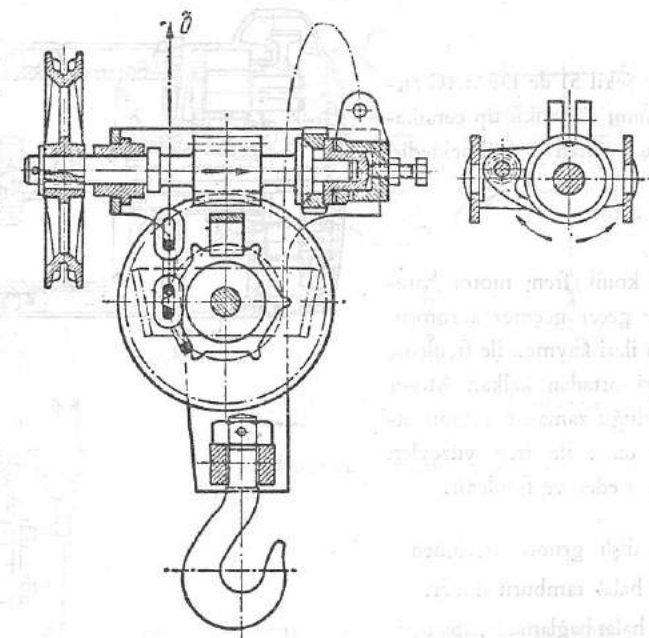
Tablo : 8, Palanga, tip, hız ve randimanları.

İkiz palanga tipi	$i_p$	$V_T = i_p \cdot V_K$	$\eta_p$	$Z_t = \frac{Q}{n} \cdot \frac{1}{\eta_p}$
4 Halath .....	2	= 2. $V_K$	0,96/0,98	= $Q/2 \cdot \eta_p$
8 » .....	4	= 4. $V_K$	0,93/0,96	= $Q/4 \cdot \eta_p$
12 » .....	6	= 6. $V_K$	0,90/0,94	= $Q/6 \cdot \eta_p$

$i_p$  = Palanga çevrim oranı  
 $V_T$  = Tambur çevre hızı  
 $V_K$  = Yük kaldırma hızı  
 $\eta_p$  = Palanga randimanı

b) Ceraskallar : 1. Sonsuz vidalı ceraskallar : Yük taşıma organları baklı zincirler (10 ton) veya roleli zincirler (20 tona kadar). dir. Çalışması : el zincir kasnağı aynı mil üzerinde bulunan sonsuz dişliyi, buda büyük dişli üzerinden yük kaldırma zincir dişisini çevirir. Sonsuz vidanın eğim açısı  $\alpha \approx 20^{\circ}$  dir.

Sonsuz vidanın aksiyal kayması konik veya lamellifrene tespit eder. (Yük basıncı freni). Bu ceraskallarda randiman  $\eta \approx 0,60$  tir.

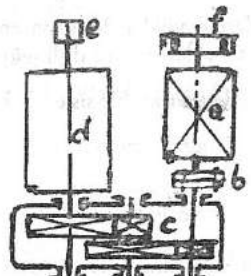


Şekil : 49 Konik frenli sonsuz vidalı cerascal.

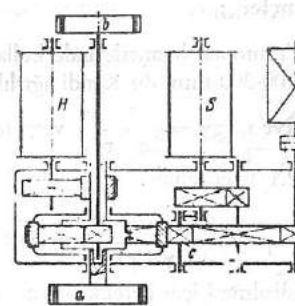


**a) Parça yükleme vinçleri :**

Döner kreynlerde (tersane, inşaat ve üzerical kreynlerde) dişli kutusu, döküm veya kaynaklı bir gövdeden ibaret olup, helis dişli ve rulmanlı yataklarla donatılmıştır. Böylece sessiz çalışması sağlanır. Mekanik fren, elektrik akımı olmadığı zaman, tutma freni vazifesi görür. Şekil 54 de bir tersane kreyinin vinç sistemi görülmektedir. Şekildeki harflerin ifade ettiği parçalar şunlardır. a : motor, b : elastik kavrama, c : iki kademeli dişli kutusu, d : halat tamburu, e : limit şalter, f : fren.



Şekil 54, Bir tersane kreyinin kaldırma sistemi şeması



Şekil : 55 Bir motorlu kepçeli vinç

**b) Kepçeli vinçler :**

Çok halatlı kışkaçlı kepçeler veya kübellerin kapama ve tutma halatları ayrı tamburlara sarılmaktadır. Motor ve dişli sisteminin o şekilde konstrüksiyonu yapılmıştır ki kepçeyi kapama ve kepçeyi tutma tamburları beraberce veya kapama tamburu tek başına hareket edebilir. Her iki tamburun mekanik bağlantısı planet dişli grubu üzerindedir. Kepçenin açılma kapanma hareketiyle, kaldırma ve indirme hareketleri birbirile koordinelidir.

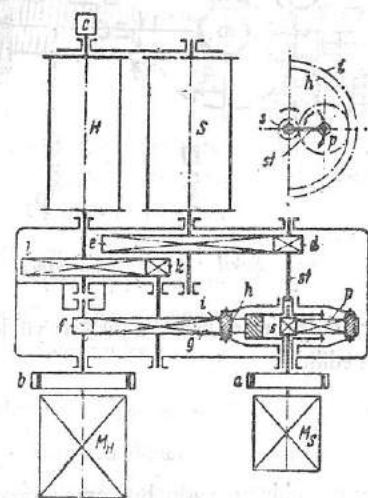
Şekil 55 de, tek motorlu bir kepçeye vinçinin şeması görülmektedir. (Kampfiagel - Hamburg). M = Motor H = tutma tamburu, S = kapama tamburu, a,b : çifte frenler, c : ara dişli

**Çalışma şekli : 1. kepçenin açılıp kapanması :**

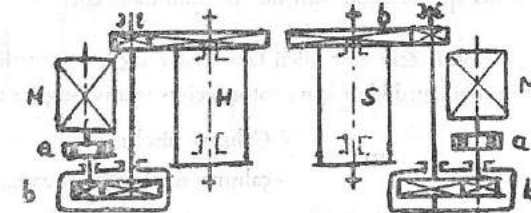
1. a freni frenlenmiş, b freni ise çözülmüştür. S tamburu kaldırma ve indirme yönünde dönmekte, H tamburu ise dönmemektedir.

**2. Kapalı kepçenin kaldırılması ve açık kepçenin indirilmesi :**

a freni çözülü, b freni ise frenlenmiştir. S ve H tamburları kaldırma ve indirme yönünde eşit çevresel hızla dönmektedirler.



Şekil 56, iki motorlu kepçeye vinç şeması (DEMAG)



Şekil : 57 Her tamburu ayrı bir motorla tahrirk edilen vinç şeması. Aralarında mekanik bir kavrama yoktur.

Şekil 56 da DEMAG firmasının iki motorlu kepçeye vinçinin şeması görülmektedir. M<sub>s</sub> = kapama motoru, M<sub>H</sub> = kaldırma motoru, S = kapama tamburu, H : tutma tamburu; a,b çifte frenler. c : limit şalteri.

**Çalışma şekli :**

1. Kepçenin açılıp kapanması : M<sub>s</sub> motoru kaldırma veya indirme yönüne göre çalıştırılır. Bu motor s güneş dişli ile P planet dişilerinin St kolunu çevirir. Planet dişileri dönmeyen h dişisinin iç yüzeyi üzerinde dönerler. St mili d ve e dişilerini döndürerek S tamburunu tahrirk etmiş olur.

2. Kapalı kepçenin kaldırılması ve açık kepçenin indirilmesi : M<sub>H</sub> motoru her iki tamburu eşit çevresel hızla ve istenilen yönde çevirir. H tamburu : f-g ve k-l dişileri üzerinden döndürülür. S tamburu ise; f,g, (g ara dişli), i, h-p-st ve d-e dişileri üzerinden döner. Her iki motorun çalışma halinde her iki hareket birbirine koordineli olarak girişir.

Şekil 56 daki DEMAG kepçeye vinç : Q = 10 t (kepçeleme+doldurma) tüm ağırlık, v' = 40 m/dak. M<sub>H</sub> kaldırma motoru 80 KW, ED % 60, n = 735 d/dak.; kapama motoru M<sub>s</sub> ise : 40 Kw., ED % 60, n = 730 d/dak.

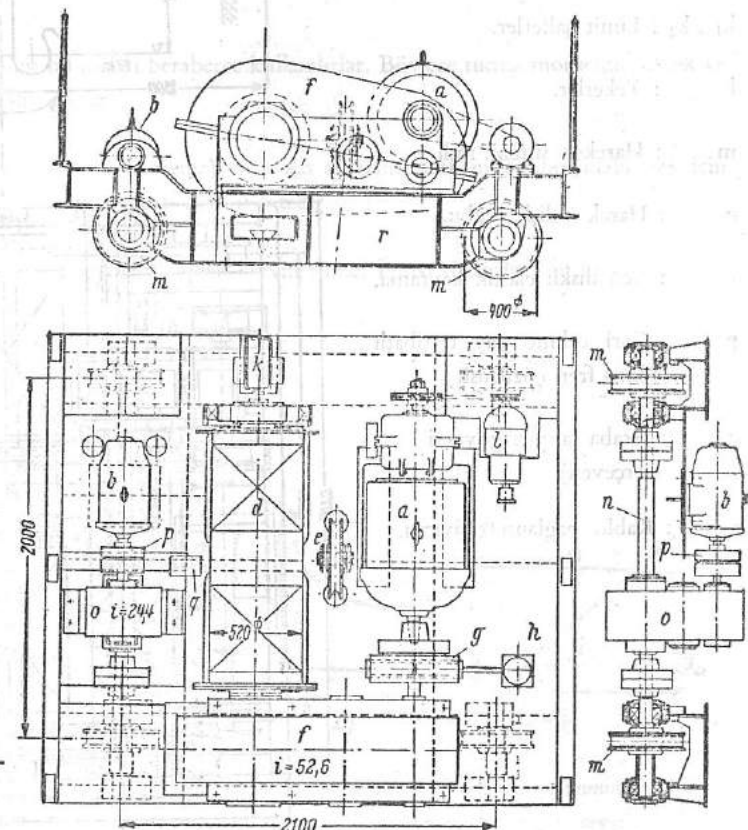
Şekil 57 de bilhassa Amerika'da kullanılan müstakil iki motorlu kepçeye vinçinin şeması görülmektedir. Yerleştirme şekli simetriktir.

**d) Gezer vinçler :**

Bu vinçlerin diğerlerine nazaran farklı tamburların ikiz palanga tipinde olmalarıdır. Kaldırabileceğiniz azamî yük değerleri; (2 makaralı 4 halat sarılımda 30 tona kadar, 4 makaralı 8 halat sarılımda 100 tona kadardır.) Dişli kutusunun toplam çevrim oranı oldukça büyütür.

Şekil 58 de normal bir kreyin vinç (arabası) görülmektedir. MAN firmasının bir imalât modeli olan bu arabanın taşıma gücü 20 ton ve kaldırma hızı 15 m/dak. dir. Kaldırma motoru aının gücü ED % 20 de 72 Kw. ve n = 965 d/dak. dir. Arabanın hızı 45 m/dak. olup, arabanın hareket motorunun gücü ED % 20 de 5,2 Kw. ve devri n = 875 d/dak. dir.

b : araba hareket motoru.  
d : halat tamburu, e : denegeleme makarası, f : kaldırma sistemi dişli grubu,  
g : fren diskisi ile beraber elastik kavrama,  
h : eldro fren çözüçüsü, k : limit şalter,  
l : Eldro fren çözüçüsü için ayarlanabilen frekans vericisi, m : hareket tekerleri,  
n : hareket sisteminin mili, o : hareket sistemi dişli kutusu, p: kavrama, fren diskli elastik, g : Eldro fren çözüçüsü, r : Araba taşıyıcı çerçevesi.



Şekil 59 da, taşıma gücü 50 ton olan bir kreyen arabasının şeması görülmektedir. Kaldırma hızı 2m/dak. dir. Yardımcı kaldırma sisteminin kaldırma gücü 10 ton olup, bunun kaldırma hızı 5m/dak. dir.

Ana motor  $a_1$  : gücü ED % 40 da 21 Kw ve devri  $n = 850$  d/dak.

Yardımcı motor  $a_2$  : gücü ED % 40 da 11 Kw ve devri  $n = 1100$  d/dak. dir.

Araba hareket hızı 15 m/dak. dir.

Araba hareket motoru b : gücü ED % 40 da 6,3 Kw ve devri  $n = 1100$  d/dak.

Bu kreyen arabası 60 Hertz frekansta çalışmaktadır, araba ağırlığı takiben 12 tondur.

$C_1, C_2$ : Yük kaldırma elemanları.

$d_1, d_2$  : Halat tamburları.

$e_1, e_2$  : Dengeleme makaraları.

$f_1, f_2$  : Kaldırma sistemi dişli çarkları

$g_1, g_2$  : Elastik kavramalar.  
(g fren disk ile beraber).

$h_1, h_2$  : Fren diskleri,

$i_1, i_2$  : Eldro fren çözüctüeli geri çekme yayları ile beraber)

$k_1, k_2$  : Limit şalterler.

l : Tekerler.

m : Hareket sistemi mili

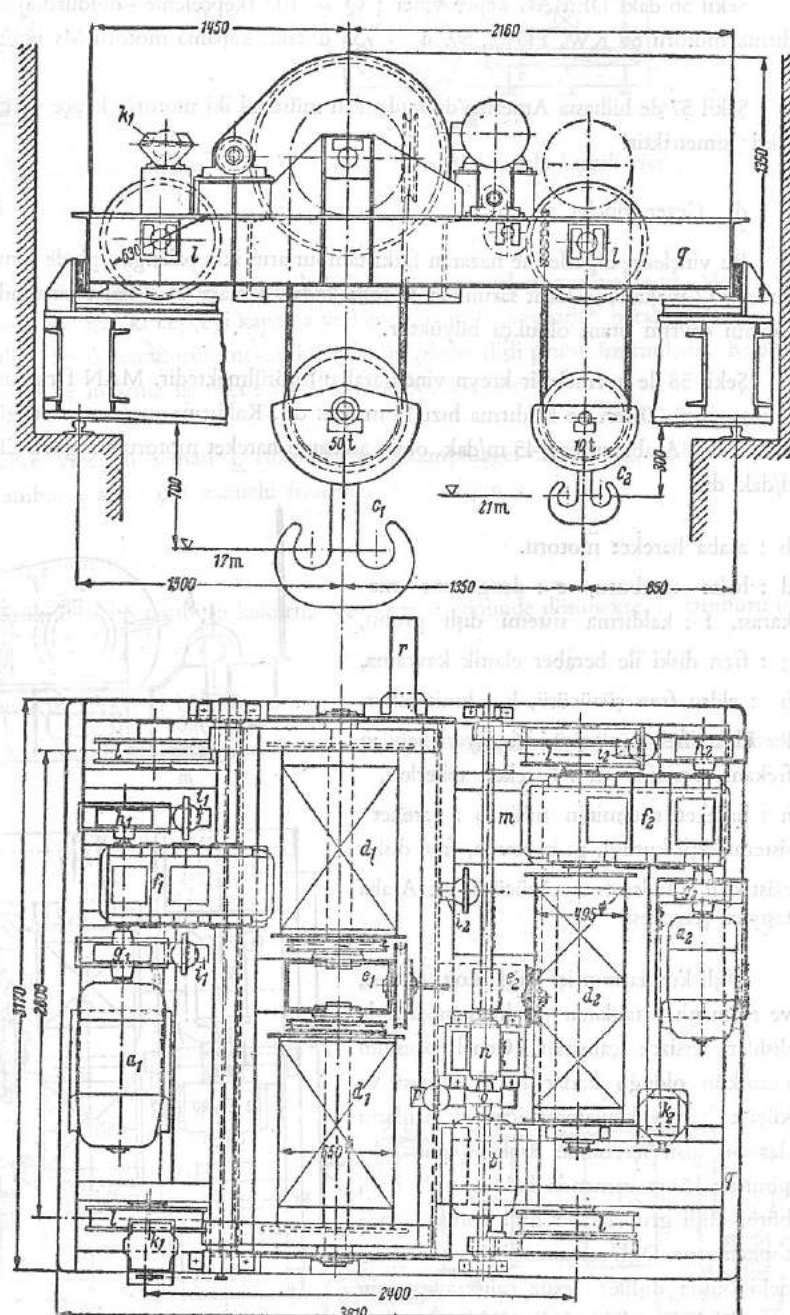
n : Hareket dişli grubu.

o : fren diskli elastik kavrama,

p : Geri çekme yay tertibatlı  
Eldro fren çözüctüsü

q : Araba taşıyıcı gövdesi  
(çerçeve)

r : Kablo bağlantı taşıyıcısı.



Şekil : 59, Taşıma gücü 50 ton olan bir kreyen arabasının şeması

## F — KALDIRMA MAKİNALARINDA KULLANILAN ELEKTRİK MOTORLARI :

Kaldırma makinalarında kullanılan elektrik motorlarından istenilen şartlar şunlardır : Tutma momenti büyük olmalı, kısa bir zaman içerisinde yüksek hızı erişebilmeli, sık sık çalışma ve durma imkânını sağlamalı, darbe tesiri yapmamalı, iki yönde de dönbilmeli ve motorun devri yükün ağırlığına bağlı olmamalı gibi hususlardır.

### A — DOĞRU AKIM MOTORLARI :

#### 1 — Doğru akım seri motorları

Endüvi ve magnetik alan aynı elektrik akımı tesirinde bulunurlar. Motorun çalıştırılmasında R direnci, max. n devrine ulaşabilseceye kadar kademeli olarak ayarlanabilmektedir. Motorun devri yönünün değişmesi için endüvi akım yönü de değişmesi gereklidir.

Seri motorların tutma momenti çok büyüktür. Normal momentin 3-25 katıdır. Motorun devri yükün değerine bağlı olarak değişir. Yük azaldıkça devir artar. Çoğaldıkça azalır. Bu özelliklerinde dolayı da seri doğru akım motorları kreyen işletmelerinde çok kullanılabilmektedir.

#### 2 — Paralel bağlı doğru akım motorları :

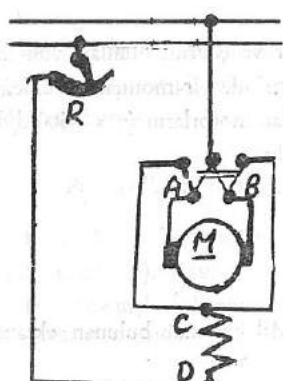
Bunlar tek başlarına pek kullanılmayıp, genellikle leonard-Aggregat ile beraber kullanılırlar. Burada rotor ve alan sarımı paralel bağlanmıştır. Şekil 61 de paralel sarım doğru akım motorunun şeması görülmektedir.

Bu motorlarda devir yükle bağlı değildir. Tutma momentleri seri bağlı doğru akım motorlarına nazaran daha küçütür.

Bazı hallerde seri ve paralel bağlı doğru akım motorları beraberce kullanılırlar. Böylece tutma momenti yüksek ve devri yükle bağlı olmayan bir sistem elde edilmiş olur.

Motorlarda daha büyük güç, sık sık açma kapama (çalıştırma) ve hassas ayarlama imkânına sahip olabilmek için Leonard-Aggregat kullanılır. Şekil 63 de bu sistemin şeması görülmektedir.

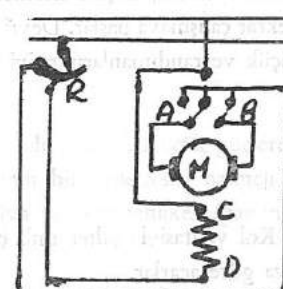
Leonard aggregat, bilhassa dökümhane gezer kreyenleri, üzeren kreyenlerde, konveyörlerde kullanılır.



Şekil : 60, Seri motor akımı şeması :

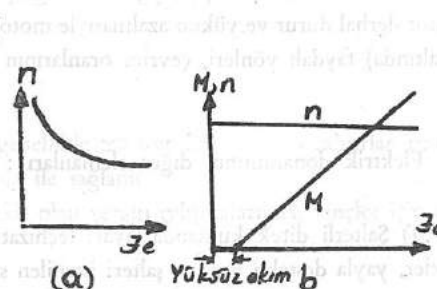
motoru şeması

A-B Endüvi statörü, C-D alan, R direnç



Şekil : 61, Parelel sarım

doğru akım motorunun devri



Şekil : 62; (a) İkaz akımına bağlı

doğru akım motorunun devri

(b) : Yük altında paralel bağlı doğru

akım motorunun durumu.

A = Tahrik motoru (dizel motoru, doğru akım veya asenkron motorundan biri olabilir.)

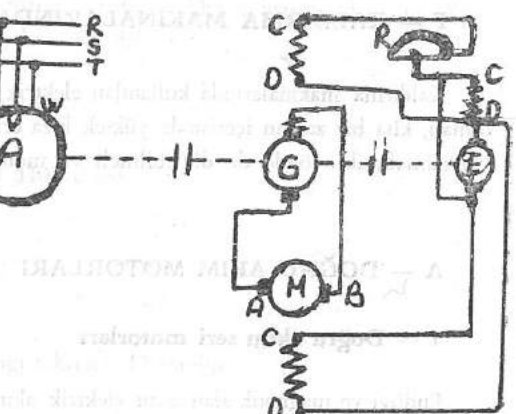
B = Leonard-Jeneratörü,

E = İkaz dinamosu

M = Motor, A-B = Statör

R = Direnç, C-D : Alan

Bu sistem sayesinde devir istenilen değerde ayarlanabilir ve yüze bağlı değildir.



Şekil : 63; Leonard-Aggregat şeması.

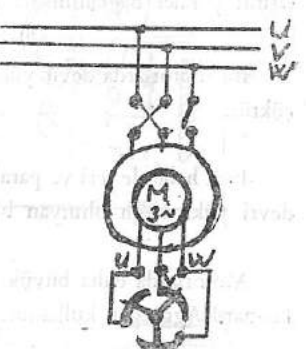
## B — ALTERNATİF AKIMLI MOTORLAR :

Genellikle induktif tesirli asenkron motorlar kullanılır. Kısa devre rotorlu motorlar daha ziyade küçük güçteki kaldırma makinalarında kullanılır. Diğer hallerde bilezik rotorlu motorlar kullanılır. Rotor, küçük güçlerde iki fazlı büyük güçlerde üç fazlı olarak bağlanmıştır.

Endüktör sarımı direk olarak harici devreye bağlı olup, rotor sarımının uçları ise dirençleri ayarlanabilen üç bileziğe bağlanmıştır. Bu üç direnç aynı anda açılıp kapanabilirler. Şekil 64.

Motorun devri yönünün değiştirilmesi istendiğinde, endüktör sarımının iki harici bağlantısının birbirine deşistirilmesi kâfi gelir. Motorun devri, kutup sayısına ve harici bağlantının frekansına bağlıdır. Frekansı 50 Hz olan bir harici bağlantıda normal motor devirleri 1500, 1000, 750, ve 600 dür.

Asenkron motorunun normal devri hem yüksüz durumda ve hemde rotor direncileri devreye girdiğinde vardır. Motor güç vermeye başladıkça ve dirençlerin devreye gitmesiyle devir biraz düşmeye başlar.



Şekil : Alternatif akım motor şeması

Devri yüksek olan motorların hacimleri küçük ve ucuzdurlar, fakat çabuk aşınır ve çevrim oranları yüksektir. Bunlar hızlı ilk hareket için uygunlardır. Eğer asenkron motor, düşme momentinin üzerinde bir momentle yüklenirse motor derhal durur ve yükün azalmasıyla motor tekrar çalışmaya başlar. Devri küçük olan motorlar ( $n = 600/d/dak.$  m altında) faydalı yönleri, çevrim oranlarının küçük ve randimanlarının iyi olmalarıdır.

Elektrik donanımının diğer elemanları :

a) Şalterli direk kumanda (ayar) teçhizatı : Kol vasıtasıyla şalter mili çevrilir. Mil üzerinde bulunan eksantrik diskler, yayla destekli her bir şalteri istenilen sıraya göre açarlar.

b) Dirençler : Dirençler genellikle (Cu, Ni合金) tellerden meydana gelmiştir. Direnç kademeli bağlama başlıklarına sahiptir.

c) Ana ve yardımcı akım limit şalteri : Bunlar kaldırma ve iletme hareketlerini sınırlamak için gereklidir.

Aşağıdaki tablo 9 da motor tip ve giçeri verilmiştir.  $M_K$  : Devrilme momenti,  $M_N$  : Nominal moment.

Tip hR	ED % 25			ED % 40			ED % 65			Rotor savurma momenti GD <sup>2</sup> (kgm.)	Ağırlık (Kg.)
	Nominal güç (PS)	Nominal devir (d/dak.)	$M_K/M_N$	Nominal güç (PS)	Nominal devir (d/dak.)	$M_K/M_N$	Nominal güç (PS)	Nominal devir (d/dak.)	$M_K/M_N$		
671-6	12,9	920	2,2	11,6	930	2,4	10,2	935	2,6	0,45	128
771-6	17,5	930	2,2	15,5	935	2,4	14,4	940	2,6	0,65	148
971-6	20,0	935	2,2	21,0	940	2,4	20,0	945	2,6	0,95	175
1271-6	37,0	940	2,4	32,5	945	2,7	30,0	950	2,9	1,70	250
1371-6	51,5	950	2,4	46,0	955	2,7	42,0	960	2,9	3,05	325
1271-8	27,0	705	2,1	24,5	710	2,3	22,0	715	2,5	1,95	245
1371-8	41,0	715	2,1	35,5	720	2,3	32,5	720	2,6	3,15	320
1571-8	54,5	715	2,2	49,0	720	2,4	45,0	725	2,6	5,80	450

## DİĞER GÜÇ KAYNAKLARI :

a) Dizel motorları : Hareketli döner kreynler, vasita üzerine monteli kreynler 1500-2000 d/dak. li dizel motorları ile tahrik edilirler. Motorun ağırlıkları 8-10 kg/PS olup su veya hava soğutmalıdır. Muhtelif hareketlerin sağlanması için şalterli kavrama ile bağlanmıştır.

Dizel elektrikli büyük yüzey ve seyyar kreynlerde, dizel motoru sabit bir devirle harici ikazlı doğru akım jeneratörü nü çevirir. Çeşitli hareketlerin sağlanması için jeneratörden, sabit ikazlı tahrik motorları beslenirler.

Orta veya büyük güçteki seyyar kreynlerde ekseriya elektrikle kuvvet iletimi mevcuttur. Fakat tahrik, dizel motorladır. Dizel motor kendiliğinden ikazlı jeneratör tahrik eder. Kreyn motorları jeneratöre normal dirençli şalterlerle bağlıdır. Eğer jeneratör dizel motor tarafından sabit bir devirle çevrilirse, jeneratörün gerilimi, yüksüz durumındaki maximum durumdan, yükli durumundaki minimum değere kadar düşer. Gerilimin bu minimum değeri, motor momenti dolayısıyla, kanca yükünü sınırlayan emniyetli azamı akıma tekabül eder. Motorun devri artan yük karşısında otomatik olarak düşmeye başlar. Jeneratörün gerilimine ve dolayısıyla motorun devrine teşir etmek için, gaz pedalını hareket ettirmek lâzımdır.

## b) Hidrolik motorlar :

Kaldırma makina elemanlarının doğru hareketleri, basit veya çift tesirli piston üzerinden basıncı yağ ile sağlanır. Yağ basıncı, genellikle 120 atüye kadar basit dişli pompa ile sağlanır. İşletme basıncının daha büyük olduğu hallerde, pistonlu pompalarдан istifade edilir. Basıncı yağ, kumanda organları tarafından iş silindirine ayarlı olarak gönderilir.

Dönme hareketlerinin kademesiz olarak yapılması istenirse (maden endüstrisindeki seyyar kreynlerde), pompalar radial veya aksiyal pistonlu veya son zamanlarda çok kullanılan döner pervaneler olurlar. Bunlara ait motorlarda aynı yapıya sahiptirler.

## c) Pnömatik motorlar :

İş silindirinin kaldırıcı pistonlarının yolu kısıdır. Küçük güçlerde genellikle  $\approx 6$  atüllük basınçla çalışırlar (meselâ dökümhanelerde). Kavrama ve dişilerinin birbirine tesiri basınçlı hava ile sağlanır.

Hava basınçlı dişli pompaları, bilhassa patlama tehlikesi (gaz infilâki) olan yeraltı çalışmalarında, vinçler için ideal bir tahrik elemanıdır.

## G — KREYNLER :

Kreynlerin gövdesi (taşıcı kism) genellikle normal profillerden veya şekillendirilmiş saç konstrüksiyondan teşkil etmiştir. Malzeme, St 37 kalitesinde çelik veya daha kaliteli (St 52) çeliği (hadde profilleri ve saçlar), hafif yapı için köşeli profiller, soğuk çekilmiş ve haddelenmiş profiller, perçin (St 34 veya St 44) civatalar (St 38, St 52) dir.

Seçilen kreyin iskeleti yapısına, yerine, büyülüklüğine ve istikametine göre tesir eden dış kuvvetler tespit edilir. Statik yolla dahili kiriş kuvvetleri, eğilme momentleri, enine kuvvetler çizimle veya hesapla bulunarak meydana gelen gerilmeler saptanır. Bu gerilmeler, mevcut yüklenme durumuna göre, seçilen malzemelerin emniyetli gerilme değerlerinden daha küçük olmalıdır. Hareket yükünün en kritik durumları, elemanların kendi ağırlıkları, rüzgâr ve frenleme kuvvetleri ve gerilmelerin birbiri üzerine etkileri hesaplarda ayrı ayrı dikkate alınmalıdır.

### KREYN ÇEŞİTLERİ :

**1 — Gezer kreyner:** Bunlar kaldırma ve indirmeye, araba hareketleri ve kreyin hareketleri olmak üzere üç ayrı hareket yapacak şekilde imal edilirler. Herbirinin tahrik sistemi ayrıdır. Bu kreyner bılıhassa atelyelerde ve malzeme sahalarında kullanılır.

Elle hareketli gezer kreynerinde, tüm veya sadece kreyin hareketi zincir ve zincir dişli vasıtasiyle yapılır.

Motorlu gezer kreynerde taşıyacağı yükle ve kaldıracağı yüksekliğe bağlı olarak işletmedeki hızlar normalleştirilmiş olup, tablolardan okunurlar.

Tablo : 10 Motorlu gezer kreynerde taşıma güçleri ve iş hızları

Kreyin işletme şekli	I	II	III
	Hafif işletme	Normal işletme	Ağır işletme
Saatteki azamî iş sayısı adet/saat	18 e kadar	30 a kadar	60 a kadar ve (daha fazla)
Araba hızları [m/dak.]	16-31,5	20-40	25-63
Kreyin hızları [m/dak.]	25-63	50-100	63-160
	3,2	6,3	16
	5	6,3	31,5
	8	5	12,5
	(10)	5	25
	12,5	5	12,5
	(16)	5	25
	20	4	10
	32	3,15	8
	50	2	16
	80	2	4
	100	2	8
Hassas kaldırma	m dak.	0,3	0,5-0,8-1,0
			1,25

**Kreyin köprüsü :** Kreyin gövdesi arabanın hareket sahası olan ana taşıyıcı kısım ile onu destekleyen, tamamlanan yardımcı yapıdan ibarettir. Ana ve yardımcı taşıyıcılar arasındaki yatay kuvvetleri baş kırıfları destekler.

Hadde profillerinin ve taşıyıcı saç konstrüksiyonun seçiminde ele alınacak hususlardan biri kreyin köprüsünün ortasındaki eğilmenin değeridir. Bu eğilim  $(1/500 + 1/600) L$  değerinden daha büyük olamaz.  $L$  = köprü tekerler arası mesafesi. Motorlu kreynerde ise eğilme azamî  $(1/750 + 1/1000) \cdot L$  olabilir.  $L/[m]$ .

Tablo : 11 Normal kreyin arabasının taşıyacağı yükle göre kendi ağırlığı :

Taşıma gücü Q [ton]	5	(8)	(10)	12,5	16	20	32	50
Arabanın ağırlığı $G_o$ [ton]	2,4	3,5	3,7	4	5	6	8	10

Tablo : 12 Kreyner için tahrik sisteminin gruplandırılması

Gruplar	Hareketin sıklığı	Yüklenme durumu
I	Ayarlama hareketleri	gelişi güzel
II	Hareket sıklığı az	kismî yüklenme
III	Hareket sıklığı az sık sık hareketler	kismî yüklenme azamî *
IV	Sık hareketler	Azamî yüklenme
V	Sık *	İmalât cevher yüklenme haddehanе

I : Döner, yüzey kreyner ve yükleme köprüleri.

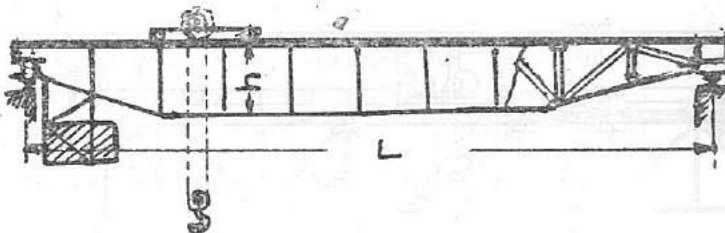
II ve III : Genellikle bütün atelyeler ve dökümhane kreyneri

IV : Çeşit parça ve blok taşıma kreyneri

V : Kokil, blok, derin firın ve sıyrıma kreyneri.

Tablo : 13 Kreynerde kullanılan çelik teli halatlara ait k ve c faktörleri ve v emniyet sınır değerleri

Kreyin Grupları	Halat		Tambur C	Makara C	Dengeleme makarası C
	Takribi v değerleri ( $\sigma_b = 180 \text{ kg/mm}^2$ için)	k	Çelik teli halatlar için ( $\sigma_b = 160 \text{ ve } 180 \text{ kg/mm}^2$ )		
I	5,5-6,0	0,30-0,32	5-6	5,5-7	4,5-5
II	5,5-6,0	0,30-0,32	6-7	7-8	4,5-5,5
III	6-7	0,32-0,34	7-8	8-10	5-6
IV	7-8	0,34-0,37	8-9	9-12	6-7,5
V	8-9,5	0,37-0,40	8-9	9-12	6-7,5



Şekil : 65, Profil ve saç konstrüksiyonlu gezer kreyin köprüsü

P = Teker basıncı (Kg.)

L = Tekerler arası mesafesi (m.)

b = Arabanın tekerler arası mesafesi (m.)

fm = Köprü ortasındaki eğilme (cm.)

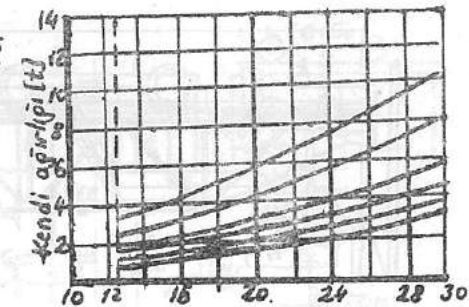
E = Elastisitat modul =  $2,1 \cdot 10^6 \text{ kg/cm}^2$   
olduğuuna göre köprüün gerekli atalet momenti Jger.

$$J_{ger} \approx \frac{P}{48 \cdot E \cdot fm} \cdot (L-b) [3 \cdot L^2 - (L-b)^2] [\text{cm}^4] \text{ dür.}$$

Şekil 65 e göre h ve ho yüksekliklerinin değerleri;

$$h = (1/12 \div 1/15) L \text{ ve } ho = (0,4 \div 0,5) h \text{ dir.}$$

Kreyin taşıma gücüne göre saç kalınlıkları :  $s = 6 \div 12 \text{ mm. dir.}$



Şekil : 66, Kreyin ağırlığı ile köprü arası mesafesi [m] bağıntısı

Buna göre köprünün ortasındaki max. Eğilme momenti :

$$M_{E\max} = \frac{G_1 \cdot L}{8} + \frac{G_2 \cdot L}{4}$$

Gerektiğinde kreyin operatör mahallî  $G_L$  nin ağırlığı da dikkate alınmalıdır.

2. Hareketli yükün meydana getirdiği eğilme momentleri :

$Q$  = kaldırılan yük,

Arabanın her teker üzerine isabet eden

$G_o$  = Arabanın ağırlığı

teker basıncı  $P \approx \frac{Q+G_o}{L}$

Buna göre max. Eğilme momenti :

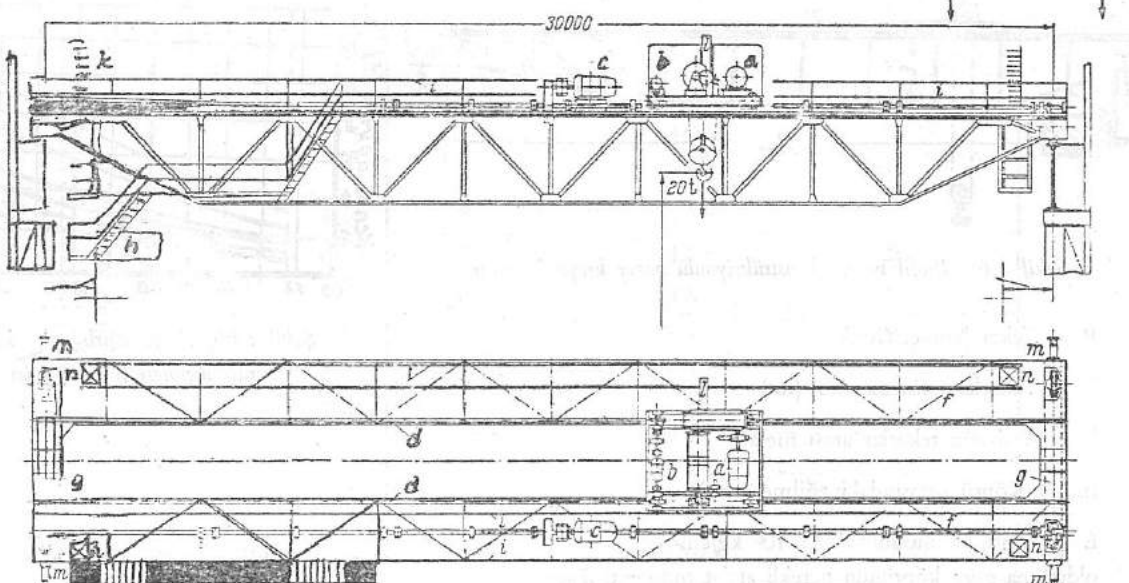
$$M_{E\max} = \frac{P \cdot (L-b/2)^2}{2 \cdot L} \text{ dir.}$$

Eğer arabanın tekerleri üzerine tesir eden  $P_1$  ve  $P_2$  kuvvetleri eşit değilse, meydana gelen max. Eğilme momenti;

$$M_{E\max} = \frac{(P_1 + P_2) \cdot (L-b_1/2)^2}{4 \cdot L}; R = P_1 + P_2 = \text{toplam kuvvet}$$

$$b_1 = R \text{ kuvvetinin köprünün ortasına olan uzaklığı.}$$

Kreyin köprüsünün tekerler arası mesafesi 12,5 m. den daha büyükse konstrüksiyonu şekil 67 deki gibi uygulamak yerinde olur. Burada köprünün h yüksekliği  $h = (1/10 \div 1/12) L$  dir.



Şekil : 67, Elektrikli gezer kreyin, taşıma gücü 20 ton ve köprü uzunluğu 30 m. (FIRMA KRUPP), a: motoru ile kaldırma hızı 9 m/dak, b: motoru ile tırnaklı arabanın hareket hızı 41 m/dak, c: motoru ile tırnaklı kreyin hareket hızı 92 m/dak. dir, d: Ana taşıyıcı kireşler, e: yardımcı taşıyıcı kişiler, f: delikli saçtan bağlantılar, g: köprübaşı kireşleri, h: operatör mahalli, i: muhafaza, l: kablo bağlantıları, m: elektrik akımı giriş bağlantıları, n: tampon, o: merdiven

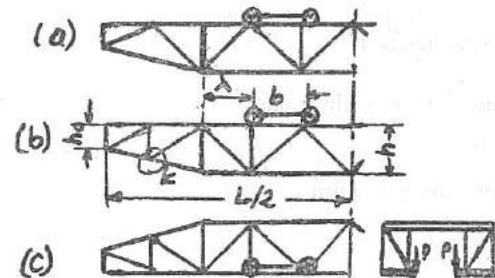
Şekil 68 de gezer kreyin köprülerinin konstrüktif tipleri görülmektedir.

a : Perçin bağlantılı trapez şekilli köprü

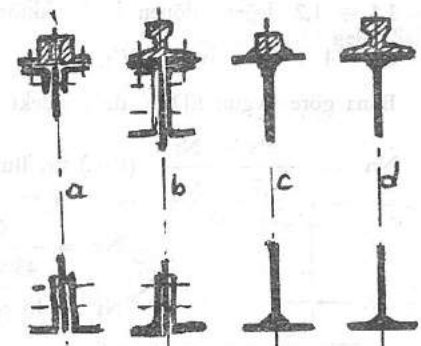
b : Kaynaklı, basit köşelendirilmiş köprü (k)

c : Nadiren imal edilen alt tabandan arabalı köprü.

Şekil 69 da, kreyin köprülerinin alt ve üst yapı bağlantıları görülmektedir.



Şekil : 68, Gezer kreyin köprü tipleri.



Şekil : 69, Köprülerin alt ve üst yapı bağlantıları şekilleri.

Bunlar ana taşıyıcı kireş sistemleridir.

a,b : Perçin bağlantılı tipler,

c,d : Kaynak bağlantılı konstrüksiyon çeşitleridir.

Köprü başının konstrüksiyonu :

Bu kısmın konstrüksiyonu ve hesapları kreyin hareket sistemleri ile yakinen ilgilidir. Bu kısımda U profillerinden ve saçlardan kaynak ve perçin bağlamalı olarak imal edilmişlerdir.

Daimi yükü teşkil eden elemanlar, kreyin ana ve yardımcı taşıyıcı elemanlarının ağırlıklarının toplamının yarısıdır (Yani :  $G_{Hsol}/2$ ,  $G_{Nsol}/2$  ve  $G_{Hsağ}/2$ ,  $G_{Nsağ}/2$ ). Operatör mahallinin ağırlığının yarısını da buna eklemek gerekir.  $G_{FA} = \frac{G_F (L-f)}{L}$

En büyük eğilme momenti hareketli yükten meydana gelmektedir. Arabanın ağırlık merkezinin kreyin tekerine olan uzaklığı e olduğunda  $M_E = P_p \cdot \frac{L-s}{2} = \frac{Q + G_o}{2} \cdot \frac{L-e}{L} \cdot \frac{L-s}{2}$  dir.

Şekil 70 de kreyin köprü başı kuvvet şemaları görülmektedir.

a : Durum şeması, b : Daimi yükle ve bunların meydana getirdiği momentin dağılışı. c : Hareketli yükün meydana getirdiği moment.

Kreyin hareket sistemi hesapları :

Kreyin tekerlerinin seçimi en büyük teker yüküne bağlıdır. Değişmeyen şartlar ve sabit ivmedeki mukavemet direnci  $W$

olduğunda ve tam yükteki motor gücü :  $N_v = \frac{W \cdot V' L}{60 \cdot 102 \cdot \eta}$  (Kw.)

$V_L$  = Hareket hızı (m/dak)

$\eta$  = Tüm randiman.

Tüm kreyin kütlesini  $G_T/g$  yi, ta (saniye) zamanı içinde  $V$  [m/dak.] hızına çıkarmak ve dönen kütlelere ivme sağlamak için, hareketin nihayetinde şu ivme gücü gereklidir

$$N_i = (1,1 \approx 1,2) \cdot \frac{G_r}{g} \cdot \frac{V'_L}{60 \cdot ta} \cdot \frac{V'_L}{102 \cdot \eta} \text{ (Kw.)}$$



ufki yönde tesir eden kuvvetler, rüzgâr kuvveti  $P_{rb}$  ve kütle kuvveti  $P_H$  dir. Bu harici kuvvetler dikkate alınarak, kuvvet reaksiyon bağıntılarından şu değerler elde edilir :

$$\text{Düsey yönde : } B_1, B_2, B_3 = \pm \frac{1}{1} \cdot (P_{rb} \cdot h_1 + P_H \cdot h_2)$$

$$\text{Yatay yönde : } B_{H1} = \pm \frac{1}{h_1} (B_1 \cdot i + B_2 \cdot k)$$

$$B_{H2} = \frac{1}{h_1} \left[ B_3 \cdot \frac{1}{2} - P_H (h_1 - h_2) \right]$$

$$B_{H3} = - \frac{1}{h_1} \cdot \left( B_3 \cdot \frac{1}{2} \right) \text{ dir.}$$

Bu kuvvetlerin değerleri hesaplandıktan sonra, her taşıyıcı kiriş üzerine gelen kuvvetlerin hesabına geçirilir.

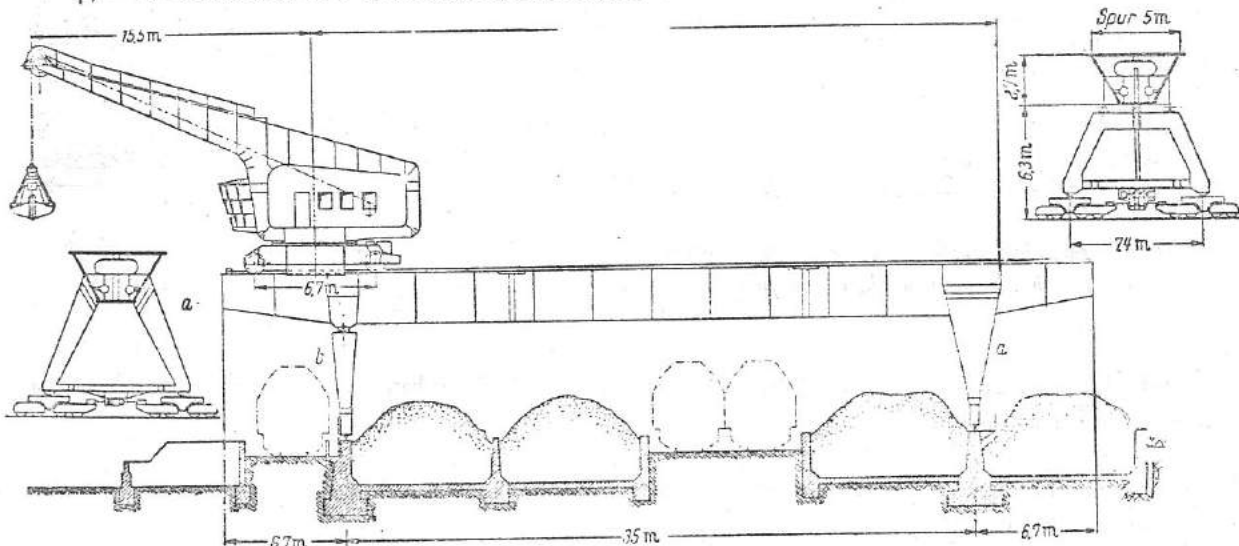
#### 4 — Yükleme köprüleri :

Bugün daha ziyade konveyör sistemleriyle beraber kullanılan yükleme köprüleri, malzemelerin taşınmasında büyük kolaylıklar sağlarlar. Şekil 74 de bir yükleme köprü modeli görülmektedir (KRUPP-MAN imali).

Bu tip kreynerin taşıma güçleri  $3 \div 30$  tondur. Taşıma yoluna göre, kaldırma hızları  $4-100$  m/dak. (veya  $80-300$  m/dak.) dir. Üstteki döner kreyn hızları ise  $60-200$  m/dak. (veya köprünün hızı azamı  $60$  m/dak. ya kadardır. Bunların taşıma güçleri ton olarak  $50 \div 500$  ton/saat tir.

a) Arabalı yükleme köprüleri : Operatör mahalli olan köprü araba, köprü üzerinde hareket etmektedir. (Şekil 74)  $4-5$  m. genişliğinde bir saha arabaya kaldırma alanına girmektedir.

#### b) — DÖNER KREYNİ YÜKLEME KÖPRÜLERİ :



Şekil : 75, Döner kreynlü yükleme köprüsü (DEMAG), Cevher aktarılması için kullanılan bu sisteme kreyninin taşıma gücü  $10$  tondur. Kepçenin hacmi  $1,6 \text{ m}^3$  ve ağırlığı  $4,5$  tondur. a : sabit, b : mafsallı destek.

Döner kreynin büyük ağırlığına rağmen, uygun konstrüksiyon sayesinde köprünün ağırlığı arabalılara nazaran daha büyük değildir. Bunlar, daha ziyade nehir limanları, malzeme ve hurda sahalarında kullanılırlar. Döner kreyn sayesinde yükleme köprüsünün nehir tarafındaki kolundan tasarruf edilmiş olur. Yani köprü uzatması daha kısalır.

Şekil 76 da yükleme köprülerinde uygulanan konstrüksiyon tipleri görülmektedir.

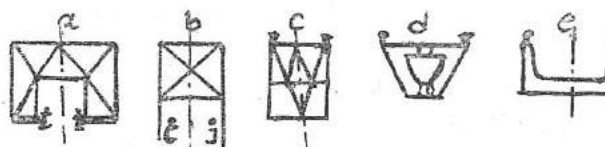
Küçük tip yükleme köprülerinde köprü tekerleri köprü ortasında bir motor vasıtasıyla trausmisyon mili üzerinden tahrik edilir. Büyüük tip yükleme köprülerinde ise :

1) Her teker tarafı müstakil bir tahrik gücüne sahiptir. İki tahrik sisteminde bir mil bağlantısıyla eşit hızlanmaya zorlanır. Bundan dolayı, sistemin konstrüksiyonu, hareket direncini büyük olan taraf dikkate alınarak uygulanma yapılmalıdır.

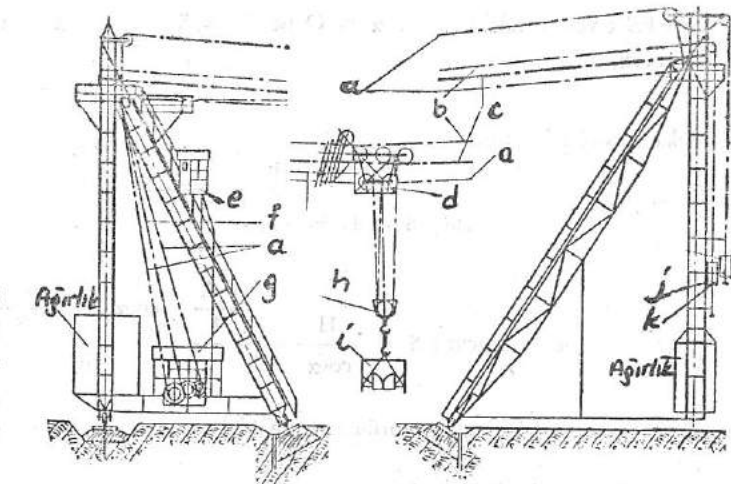
2) Yukarıda 1. deki gibi, sadece her iki tahrik sisteminin bir elektrik kavraması vardır. «Elektrik mil»

3) Meyilli ayarlanabilen köprülerde, her iki hareket kısmı için ayrıca bir mekanik veya elektrikli kavramaya ihtiyaç yoktur.

Havannın aniden rüzgârlı oluşu bu sistemi tehlikeye sokabilir. Onun için krenin üzerinde bir «ruzgar saatı» bulunur. Rüzgâr belirli bir hızla eriştiği zaman, bu saatten kumanda alarak sistemin durması sağlanır.



Şekil : 76, Yükleme köprüsü taşıyıcılarının kesitleri  
a,b : Arabalı yükleme köprülerinde. c : döner kreynlü yükleme köprülerinde, d,e : Trapez şekilli deli profil



Şekil : 77, Hareketli kablo kreyinin şeması  
a : Hareket halatı, b : Düggümlü halat, c : Taşıma halatı d : Halat arabası, e : Kumanda kabini, f : kaldırma halatı, g : Vinç kabini, h : zincir makarası, i : kubel, j : halat germe ağırlığı, k : Düggüm halatını germe ağırlığı.

#### 5 — Kablo kreyleri :

Bilhassa büyük sahalarda, çeşitli malzeme ve araçların taşınmalarında kullanılırlar.

Genellikle çelik konstrüksiyon iki direk arasına bir veya birçok halat bağlantı yapılmıştır. Bu halat bağlantıları aynı zamanda arabanın hareket organıdır. Yani arabalar, halatlarla ileri geri hareket ederler.

Direk aralıkları  $150 \div 400$  m. ( $800$  m. ye kadar). Taşıma güçleri  $2-5$  tondan  $20$  tona kadar. Özel hallerde  $150$  tona kadar olabilir. Yükseklik tahdit edilmemiştir.

İş hızları : Yükle kaldırma :  $60-90$  m/dak. Boş iken  $150$  m/dak. dir. Araba hızları :  $8-24$  m/dak. dir. Direk hızları ise :  $8-24$  m/dak. dir. Taşıma yük kapasitesi  $250$  ton/saat e kadar olmaktadır.

Kablo kreyleri sabit veya hareketli olurlar. Hareketli kablo kreylerinde direkler aynı anda ve hızda hareket ederler.

Burada taşıyıcı halatlar, ağırlıklarla gerilmişlerdir. Bu halatlar,  $3-6$  mm. kalınlığında, çekme mukavemetleri  $180$  kg/mm<sup>2</sup> olan halatlardır. Halatlar korozyonu karşı mukavim ve yüzeyleri parlaktır.

Halat hesabı : Taşıma halatı çekme mukavemetine karşı  $3,5-4$  misli emniyet faktörü ile hesaplanır.

Halatın azamı schimi :

$$f_{max} = \frac{25}{1} \cdot L \text{ dir. } L = \text{Halat gerilim uzunluğu.}$$

Herhangi bir X noktasındaki schimin değeri şu bağıntıdan bulunur.

$$f_x = \left( \frac{P}{L} + \frac{q}{2 \cdot \cos \alpha} \right) \cdot \frac{(L-x) \cdot x}{H} \text{ dir.}$$

$$x = \frac{L}{2} \text{ için } f_x = f_{max} \text{ dir.}$$

P = (Kg) = Arabanın ve yükün ağırlığı.

q = (Kg/m) = Taşıyıcı halatların her metresinin ağırlığı.

S = (Kg) = Halat kuvveti

H = (Kg) = Halat kuvvetinin yatay bileşeni.

Taşıma halatı bir ucunda sabit, diğer ucunda makara üzerinden gergin bağlanmıştır.

Eğer halat yere paralel ise, yani  $\alpha = 0$  ise,  $H = S$  dir. Eğer  $\alpha$  açısı kadar bir schim var ise, H nin değeri :  $H = S \cdot \cos \alpha$ , dir.

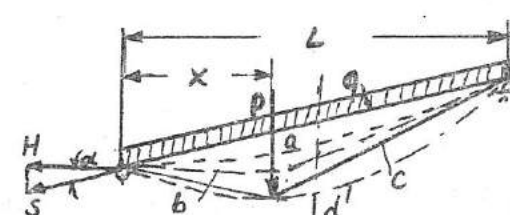
Halat kuvvetinin değeri :

$$\alpha = 0 \text{ için : } S = H = \frac{\frac{P \cdot L}{4} + \frac{q \cdot L^2}{8}}{f_{max}} \text{ dir.}$$

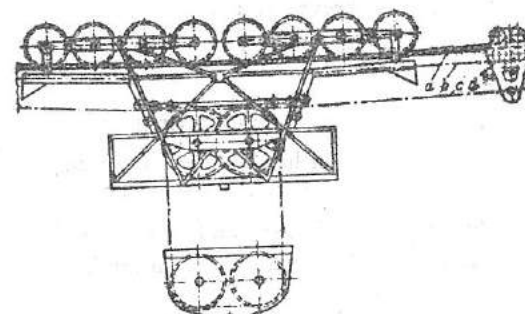
$$\alpha = \alpha \text{ için : } S = \frac{H}{\cos \alpha} = \frac{\frac{P \cdot L}{4} \cdot \cos \alpha + \frac{q \cdot L^2}{8} \cdot \cos^2 \alpha}{f_{max}}$$

Taşıma halatının kullanma ömrünün uzun olnası için teker basıncı R [kg] nin halat kuvveti S [kg] ye oranı

$$\frac{1}{30} \div \frac{1}{60} \text{ 1 aşmamalıdır.}$$



Şekil : 78, Kablonun kendi ağırlığı ve taşıdığı yük nedeniyle schim şeması. a : Taşıma halatının kendi ağırlığı ile schim eğrisi b : münferit yükler altında schim ; c : a ve b schimlerinin toplamı d : Hareket esnasında tümünün toplamı.



Şekil : 79, Kablo kreyni arabası (10 ton taşıma gücünde) (firma PÖHLIG)

Şekil 79 da kablo kreyn arabasının şeması görülmektedir. Şekildeki arabanın taşıma gücü 10 tondur. Kablo kreyn arabalarının konstrüksiyonu, arabanın taşıyacağı gücün değerine çok sıkı bağlıdır.

a : Taşıma halatı, b : Hareket halatı, c : Kaldırma halatı, d : Takip eden kısım.

## 6 — Döner kreynler :

Bunlar atelyelerde, genellikle her tip işlerde; limanlarda, tersanelerde, cevher yerlerinde, gemilerde vs. kullanılır.

Döner kısmın konstrüktif şekillerine göre döner kreynler : Sabit sütunlu, döner sütunlu (ana göbek mili döner), döner tabanlı ve kreyn kolu çekme tertibath (wipp sistemli) döner kreynler diye ayrırlar.

### a) Sabit sütunlu döner kreynler :

Sütun, ya yere betonla tespit edilmiş bir taşıyıcı üzerine veya tekerlekli özel bir vasita üzerine veya hatta bir gemi gövdesi üzerine monte edilmiştir.

Küçük tip kreynler için sütunlar dövülmüş dolu parçalardandır.

Orta tipler için içi boş silindirik, piramit şekilli veya konik silindirik sütunlar kullanılır. Kule tipi imal edilen sütunlar ise, ağır kule kreynlerinde ve üzeri kreynlerinde kullanılır.

Sütun üzerine tesir eden kuvvetler, üst kısmda bir boyuna mesnetle, yatay kuvvetler ise, enine boyun yatakları tarafından alınırlar.

### Şekil 80 e göre kreyn hesapları :

Düsey kuvvet :  $V = Q + G_1$  = Dengeleme ağırlığı yok iken

$V = Q + G_o + G_g$  dengeleme ağırlığı  $G_g$  var.

Burada  $G_o = G_1 + G_2$  dir.

Eğer dengeleme ağırlığı  $G_g$  nin momenti, kreynin kendi ağırlık momenti + yük momentinin yarısını karşılaması isteniyorsa :

$$G_g = [G_o \cdot e_o + \frac{1}{2} Q \cdot a] / b \text{ dir.}$$

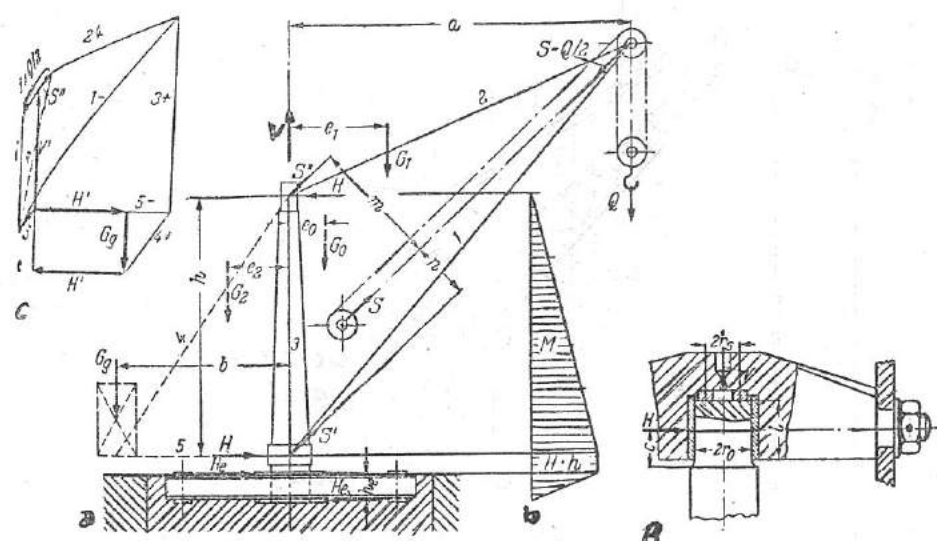
Sütun yüksekliği :  $h = (0,4 + 0,6) \cdot a$  dir.

Yatay mesnet kuvvetleri H nin değeri şöyle ifade edilir.

$$H = (Q \cdot a + G_1 \cdot e) / h$$

$$H = (Q \cdot a + G_o \cdot e - G_g \cdot b) / h \text{ ve burada } G_o \cdot e_o = G_1 \cdot e_1 - G_2 \cdot e_2 \text{ dir.}$$

$$\text{He kuvvetinin değeri ise : } He = H \cdot \frac{h}{he} \text{ dir.}$$



Şekil : 80, Sabit sütunlu bir döner kreyn şeması.

a : Şema ve kuvvetlerin dağılımı,

b : Sütum boyunca eğilme momentinin dağılışı

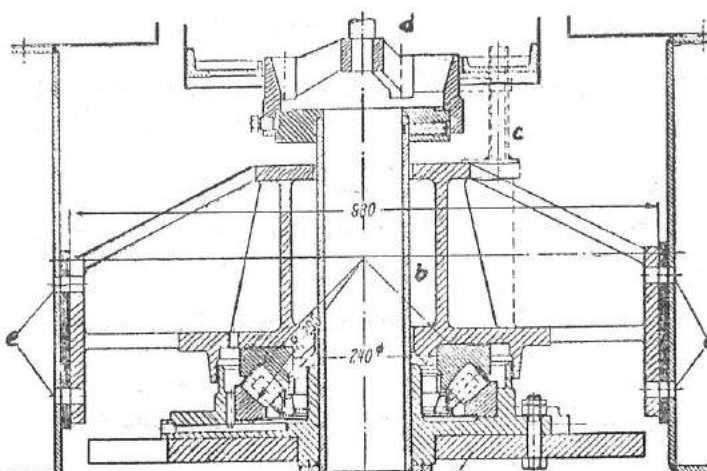
c : Cremona plan=kuvvetlerin planı (Dengeleme ağırlığı  $G_g$  ile)

B : Gst mesnet boyun yatağı (kaymali yataklı)

Şekil 81 de, bilişsiz ağır tip kreynlerin sütunlarının yataklanma şekli görülmektedir.

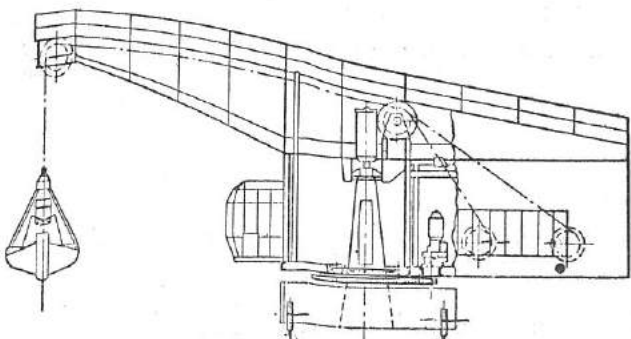
Mesnet ve boyun yatakları konik silindirik rulmanlı yataklı birleştirilmiştir. Kapalı bir gövde içinde rulmanlar yağ içerisinde hareket etmektedirler.

Şekildeki ana elemanlar şunlardır.  
a : Sabit kısmı, b : Dönen kısımlar,  
c : Elektrik bağlantıları, d,e : Ayar civataları. Travers, çelik konstrüksiyon kısmına bu civatalarla bağlanmıştır.



Şekil : 81, Birleştirilmiş konik silindirik rulman yataklı mesnetin kesiti (MAN)

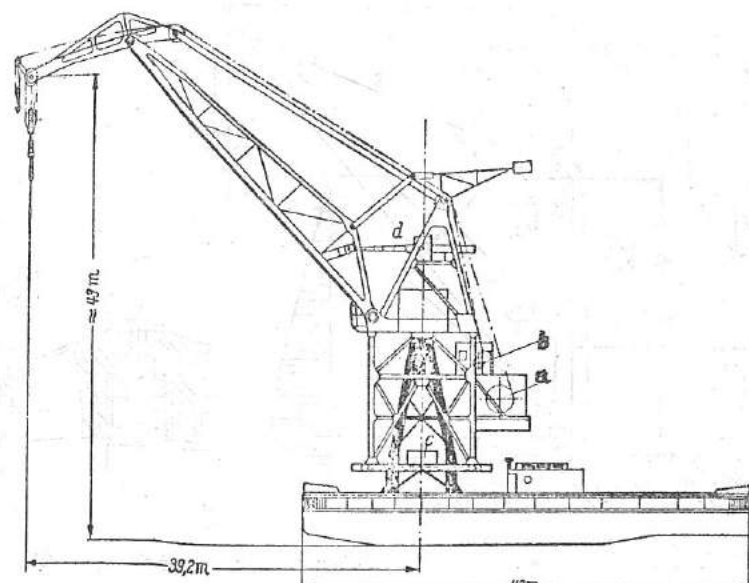
Şekil 82 de, hareket edebilen kepçeli döner kreyn tipi görülmektedir. Taşıma gücü 12,5 ton ve kreyn kolu uzunluğu da 12,5 m. dir. Kreyn sabit sütunlu olup, daha ziyade yükleme köprüleri üzerinde iş görürler (MAN).



Şekil : 82, Hareket edebilen kepçeli döner kreyn (MAN)

Dönebilen üst kısma geçiş içi boş sütun içerdindir.

Şekil 83 de, sabit bir sütun üzerine inşa edilen, ve üst kısmı dönebilme imkânına sahip, DEMAG firmasının üzeren kreyinin şeması görülmektedir. Gemi üzerine monte edilirler. a : Her biri 100 ton taşıma gücünde iki adet kaldırma vinç sistemi, b : Taşıma gücü 10 ton olan yardımcı vinç sistemi, c : iki adet döndürme tıbrık sistemi, d : Mil tertibatı ile kreyn kolunu çekme tertibatı.



Şekil : 83, Üzeren kreyn (DEMAG)

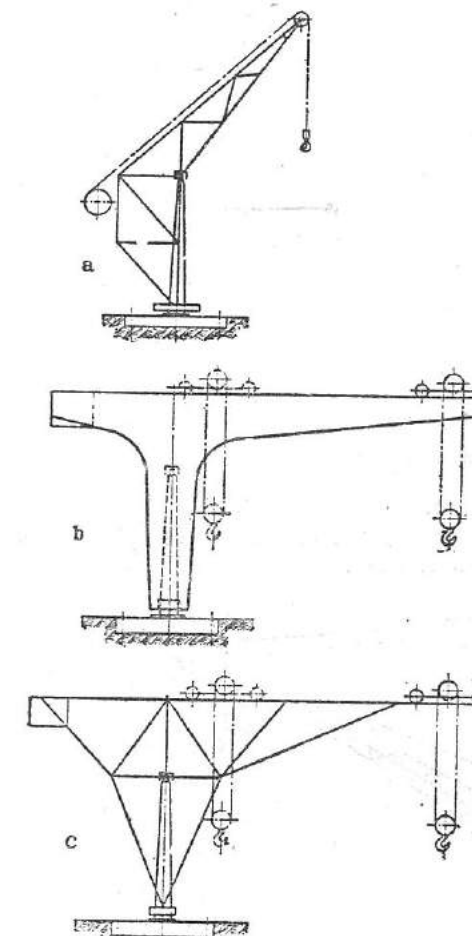
Şekil 84 de, sabit sütunlu küçük döner kreynlerin çeşitli tipleri görülmektedir. Bu kreynlerin konstrüksiyonunda dikkat edilecek husus, tesir eden kuvvetlerin, duvarlardan sütun üzerindeki mesnetlere uygun şekilde aktarılmalıdır. Kreynin taşıyıcı yapılarının şekilleri, kullanma maksatlarına uygun olarak imal edilmelidirler. Şekil 84 deki kreyn tipleri şunlardır.

a : Makara başlıklı nehir liman kreyni. b : Arabalı dökümhane döner kreyni. c : Arabalı atelye döner kreyni.

β) Döner sütunlu (ana göbek mili döner) kreynler.

Bu tip kreynlerin genel olarak iki ana yapı tipi mevcuttur. Biri, Şekil 85 de görüldüğü gibi, kreyn sisteminde ve alta birer mihver yatakları öngörülmüştür. Üstteki yatak enine yatak olarak ve alttaki de enine ve boyuna yataklar olarak öngörülmüş ve sütun desteklenmiştir.

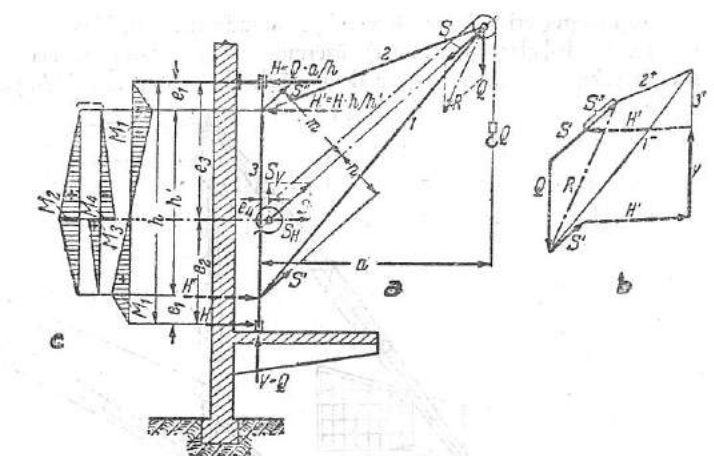
Şekil 85 deki makara başlıklı duvar kreyinde : a : Kuvvet tesir nokalarını gösteren durum planı, b : Kevvetlerin planı (Cremona plan), c : Eğilme momentleri :



Şekil : 84, Çeşitli sabit sütunlu küçük tipte döner kreynler

$$\begin{aligned} M_1 &= \pm H \cdot e_1 \\ M_2 &= +S_H (e_2 - e_1) (e_3 - e_1) / h' \\ M_3 &= +S_V \cdot e_4 (e_1 - e_1) / h' \\ M_4 &= -S_V \cdot e_4 (e_3 - e_1) / h' \end{aligned}$$

Diğer imalat tiplerinde belirli bir sütun mevcut olup, bunun sadece alt kısmında destek ve sevk mihveri yatağı vardır. Üst boyun yatakları ise, silindirik rulman yatakları ile desteklenmiştir. Şekil 86 da görüldüğü gibi. Bunlar genellikle 3 ton taşıma gücünde olurlar, liman ve tersanelerde kullanırlar. Kreyn kolu sahası 20 m. ve daha fazladır.



Şekil : 85, Makaralı döner duvar kreyni

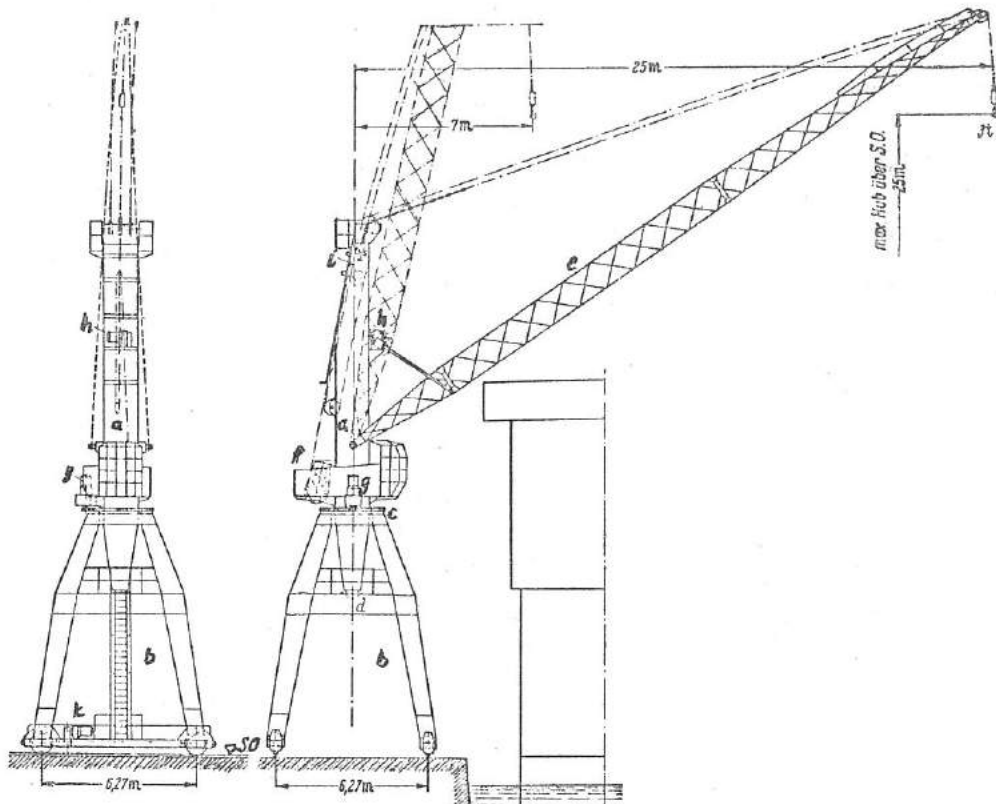
Göbek mili (sütun) burada, çeki, bası ve eğilmeye zorlanır.

Şekil 86 da blok sütunlu kreyn görülmektedir.

a : Blok sütun, b : Kreyen açıklığı (girişi), c : Üst boyun yatağı, d : Alt boyun ve mesnet yatağı, e : wipp'li (yük yere paralel hareket ediyor) kreyen kolu, f : Blok kaldırma düzeni, g : Döndürme tertibatı. h : Kremayer dişli Wipp sistemi, i : Dengelenme ağırlığı, k : Hareket sistemi

İş hızları :

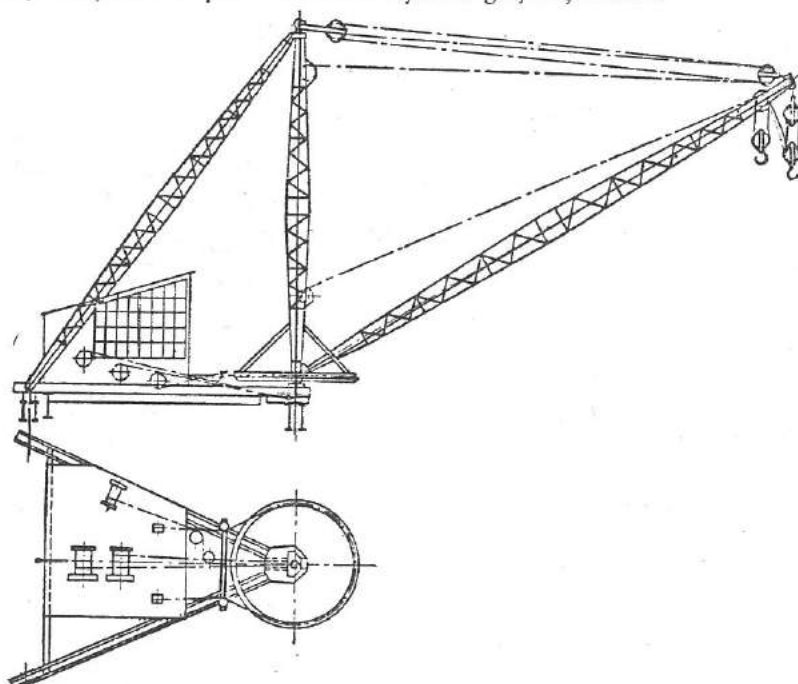
Kaldırma, 40 m/dak, kreyin kolunun yatay hareketi 63 m/dak. devir 2,8 d/dak. ve kreyin tekerler üzerindeki hareket hızı : 20 m/dak. dir.



Şekil : 86, Blok sütunlu kreyin (MAN)

Şekil 87 de, montaj hizmetlerinde, malzeme sahalarında u.s kullanılan Derrik kreyini (direkli kreyin) görülmektedir.

Taşıma güçleri 5-20 ton. Kreyin kolunu indirmek ve kaldırırmak için makaranın çekme halatı ile her iki yük makarasıının çekme halatları (makaralar) üzerinden vincin tamburlarına irtibatlandırılmışlardır. Direğin dönebilmesi vinç sistemi yakınına yerleştirilmiş zit devir yönlü iki tambur sayesinde gerçekleştirilmektedir.



Şekil : 87, Derrik kreyin (Schmidt-Tychsen)

**8 — Taban dişli dönen döner kreynler :** En küçükten en büyük taşıma güçlerine kadar imal edilen tipleri vardır. Dönebilen kreyin üst kısmı, sabit alt kısmı üzerine desteklenmiştir. Bu desteklenme bir döner dişli kranz (bilyali döner bağlantı) la sağlanmıştır. Bu kranz axial, radial kuvvetleri ve momentleri taşıyabilecek güçte olmalıdır.

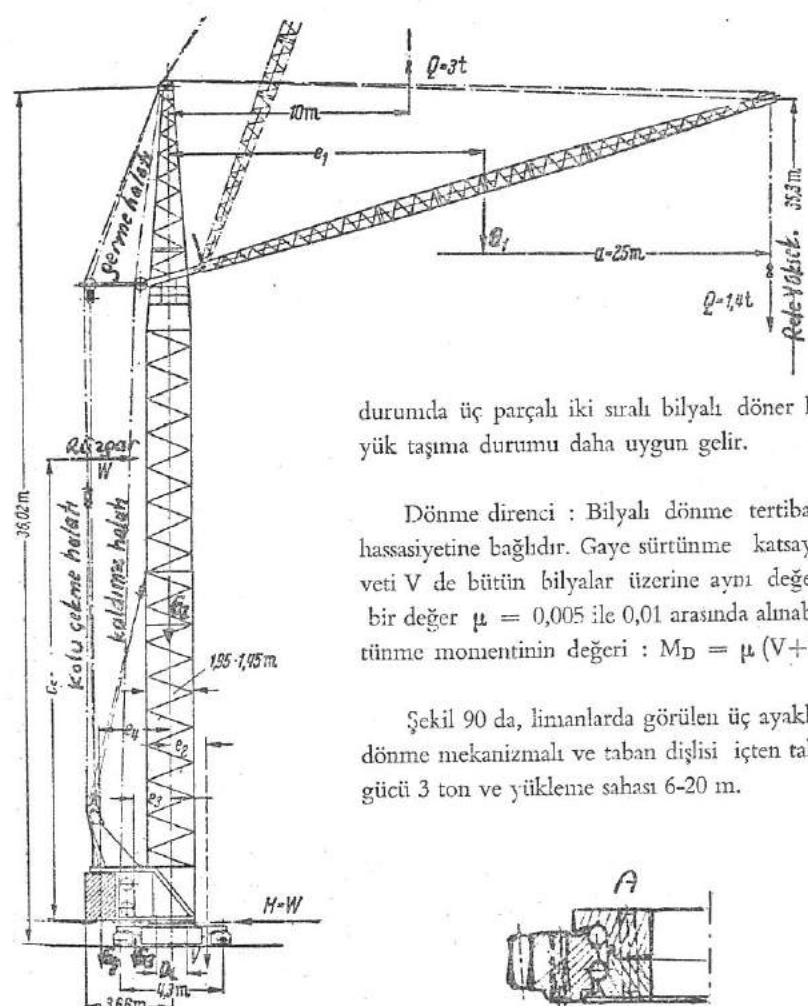
Şekil 88 de iki sıralı bilya bağlı ve teleskop direkli inşaat kreyini görülmektedir. (firma LIEBHERR) Kreyin yüklü olduğu zaman kuvvetlerin değeri :

Aksiyal kuvvet :  $V = Q + G_1 + G_2 + G_3 + Gg$ ; ( $G_1, G_2, G_3$  kreyin kısmı ağırlıkları ve  $Gg$  dengeleme ağırlığı).

Radial kuvvet :  $H = W$ . Aksiyal kuvvetin dönme ekseni olan uzaklığı :  $c_2 = (Q \cdot a + G_1 \cdot c_1 - G_3 \cdot c_3 - Gg \cdot c_4) / V$

Rüzgar kuvvetinin momenti :  $M_H = W \cdot c_3$

Toplam moment :  $M = V \cdot c_2 + W \cdot c_5$



Şekil : 88, İnşaat kreyini

Kaldırma hızı : 39 m/dak; motor 25 Kw. Dönüş devri : 1,4 m/dak. Kreyin tekerler üzerindeki hareket hızı : 20 m/dak. her biri 5,6 Kw güçte motorla tarihlendi. firma (DEMAG).

Bu kreyin hesaplanmasında en önemli bir husus toplam axial kuvveti  $V_L$  nin  $D_L$  dairesi içerisinde bulunması gerekdir. Yani  $V$  kuvvetinin dönme ekseni olan  $c_2$  uzaklığı küçük olmalıdır. Yatay kuvvetlerin (ruzgar) meydana getireceği devrilme momentinin değerde küçük olmalıdır.

Şekil 88 de  $V$  aksiyal kuvveti  $D_L$  çapının dışına rastlamaktadır. Bu durumda üç parçalı iki sıralı bilyalı döner kranz kullanılır. Böylece  $D_L$  büyür ve yük taşıma durumu daha uygun gelir.

Dönme direnci : Bilyalı dönme tertibatında, sürtünme imalâta ve montajın hassasiyetine bağlıdır. Gaye sürtünme katsayısi  $\mu$  minimum olmalıdır. Aksiyal kuvveti  $V$  de bütün bilyalar üzerine aynı değerde yüklenmeyebilir.  $\mu$  için ortalama bir değer  $\mu = 0,005$  ile  $0,01$  arasında alınabilir. Böylece dönme ekseni göre sürtünme momentinin değeri :  $M_D = \mu (V+H) \cdot D_L/2$  dir.

Şekil 90 da, limanlarda görülen üç ayaklı (üç teker üzerinde), iki sıralı bilyalı dönme mekanizmali ve taban dişli içten tarihlendi kreyin tipi görülmektedir. Taşıma gücü 3 ton ve yükleme sahası 6-20 m.



Şekil : 89, 3 Parçalı ve iki sıralı bilyalı döndürme tertibi  
A) Diştan dişli düzeni, B) İçten dişli düzeni

### λ) Döner tabanlı döner kreyner :

Kreyin dönebilen üst kısmı ray üzerinde dönen dört tekerlet vasitasiyle desteklenmiştir. Fazla yükler için 8 tekerlekli olabilir. Tekerler kendi ekseni etrafında küçük dönebilme imkânına sahiptirler. Kreyin gövdesi ise ana taban mihveri etrafında dönmektedir. Bu mihver devrilme momenti tazikine maruz kalamaz (sadece rüzgâr ve fazla yük kuvvetiyle çekmeye zorlanır). Kreyin ağırlık merkezi, yüklü ve yüksüzdurumda taşıyıcı tekerlerin hareket etmekleri daire içerisinde bulunmak mecburiyetindedir. Bu şart, yükün değeri arttıkça ray çapında büyük olmasını gerektirir.

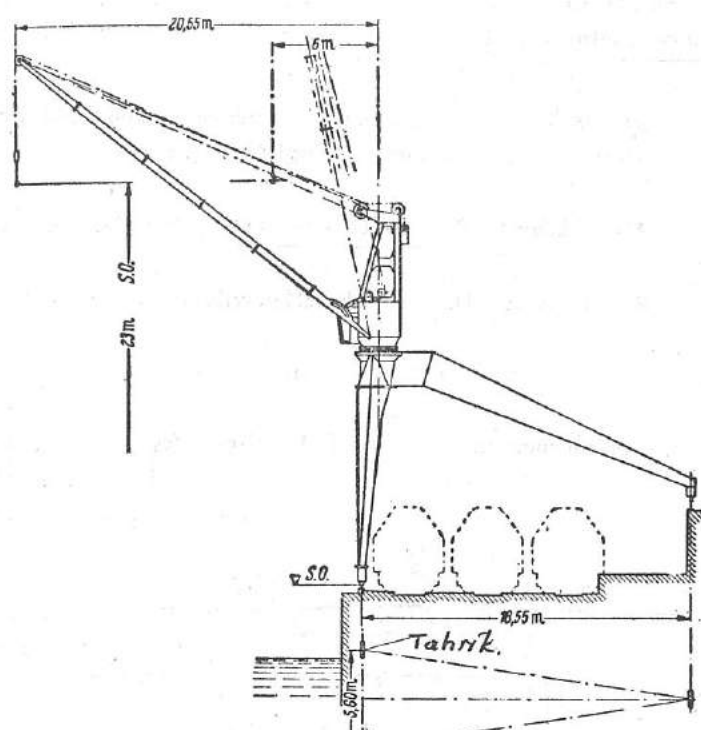
Şekil 91 de döner tabanlı döner kreyin tipi görülmektedir :

S : Döner tekerlerin rayı,

O : Döner tekerler.

K : Taban ana mihveri,

Z : Dişli kranz.



Şekil : 90, Döner liman kreyini

Kreyin yüklü veya yüksüzdurumda iken ağırlık dengeleme şartı olarak I veya II noktasına göre devrilme durumunu şu bağıntıyla kontrol ederiz :

$$1,5 \cdot Q(a-l/2) = G_o(l/2-e_o) + Gg(g+l/2) \text{ ve yine yüksüzdurumda iken : } G_o \cdot \left( \frac{1}{2} + l_o \right) = Gg\left( g - \frac{1}{2} \right) \text{ dir.}$$

Eğer kreyin dönmeye tekerleri; yüklü durumda iken ön tekerler veya yüksüzdurumda iken arka döner tekerlerin eşit basınç altında olması istenir ve dönen tekerler arasındaki açı,  $45^\circ$  ise, teker ekseni merkezlerinden meydana gelen dairenin çapı :

$$D_s \approx 2,2 \cdot \frac{Q \cdot a}{G_o + Gg + 2 \cdot Q} \text{ dir.}$$

Dönen sistemlerin hesabı : Döner sistemlerde hesaplanması gereken üç ana husus vardır.

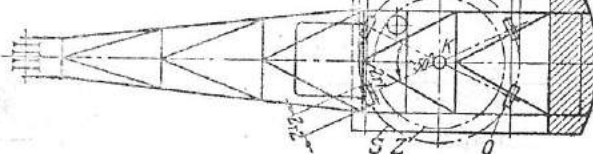
1)  $M_d$  = Dönme mukavemet momenti.

2)  $M_I$  = Dönen kütelerin atalet momenti.

3)  $M_R$  = Rüzgâr tesirinin meydana getirdiği moment.

$$1) M_d = 1,25 \cdot (Q + G_o + Gg) \cdot (\mu \cdot r_1 + f) \cdot \frac{R_s}{r_2}; f \approx 0,05 \text{ cm} = \text{teker sürütmeye kolu}$$

$$2) M_I = \frac{\pi}{30 \cdot g} \left[ Q \cdot a^2 + G_A \cdot e^2 + \sum G_m \cdot m^2 \right] \cdot \frac{n}{t_a}; M_I = \text{Dönme eksenine göre hesaplanmıştır.}$$



Şekil : 91

$G_A$  = Kreyin kolu ağırlığı ve  $e$  = Onun eksene olan mesafesi.

$G_m$  = Diğer dönen kreyin kütelerinin ağırlığı (Dengeleme ağırlığı V.S. dahil) (motor ve dişli kutusunun ağırlığı dikkate alınmamıştır).

$m$  =  $G_m$  nin eksene olan mesafesi

$n$  = Kreyin devir adedi =  $(1 \div 3)$  d/dak.

$t_a$  = Hızlanma süresi = 5-10 saniye

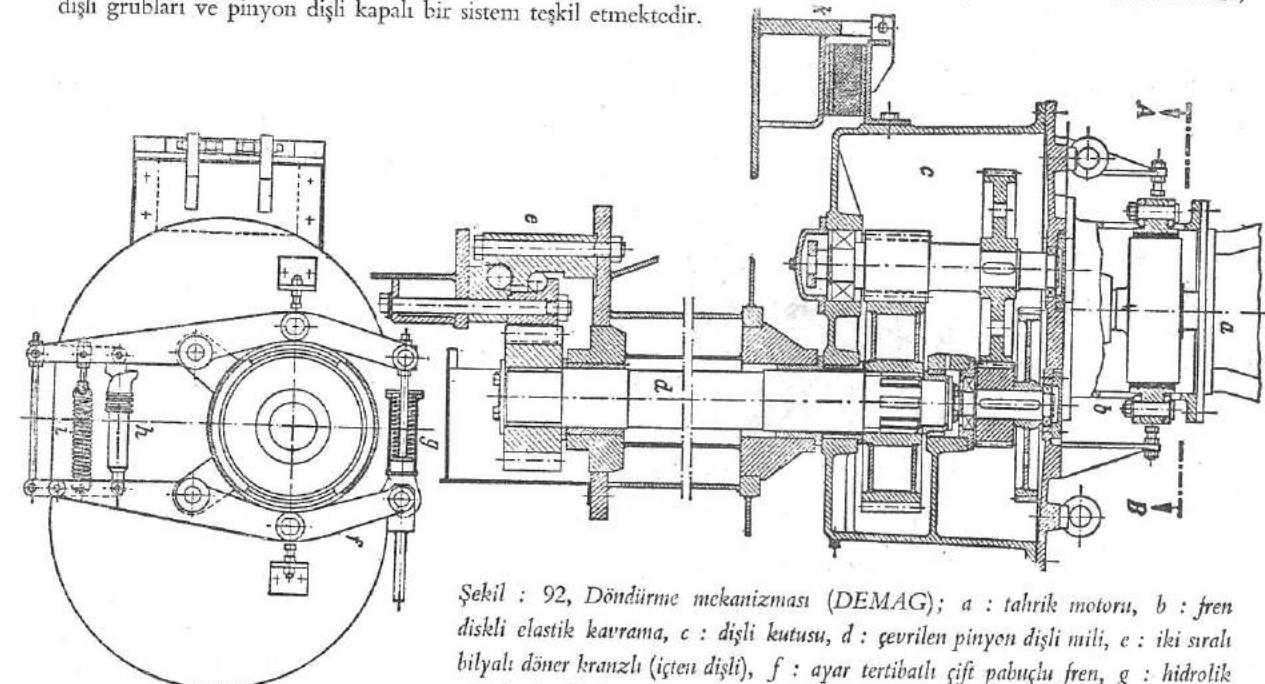
3) Rüzgâr momenti  $M_R$  nin hesaplanması için ortalama basınç değeri  $w$  nin tam olarak bilinmesi gereklidir. Hesaplarda, ortalama olarak  $w$  değeri için  $w = 15 \text{ kg/cm}^2$  kabul edilmektedir. Dönme ekseninin sağ veya solunda bulunan kreyin yüzeyleri  $F_1$  ve  $F_2$  olsun ( $F_1 > F_2$ ). Bu yüzeylerin ağırlık noktalarının mesafeleri de  $s_1$  ve  $s_2$  olduğunda :  $M_R = F_1 \cdot w \cdot s_1 - F_2 \cdot w \cdot s_2$  dir.

Buna göre seçilecek kreyin motorunun gücü :

$$N = \frac{(M_D + M_I + M_R)}{1,7 \cdot 974 \cdot \eta} n [\text{Kw.}]; \eta = \text{sistemin tüm rastımamı}$$

Motor gücü tespit edildikten sonra, motor imalat firmalarının kataloglarından kreyin işletme durumuna göre, relativ çalışma süresi (ED %) uygun bir değer seçilir. Dişli kutusunun tüm çevrim oranı ise, direk olarak  $i = \frac{n_{\text{mot}}}{n}$  bağıntısından hesaplanır.

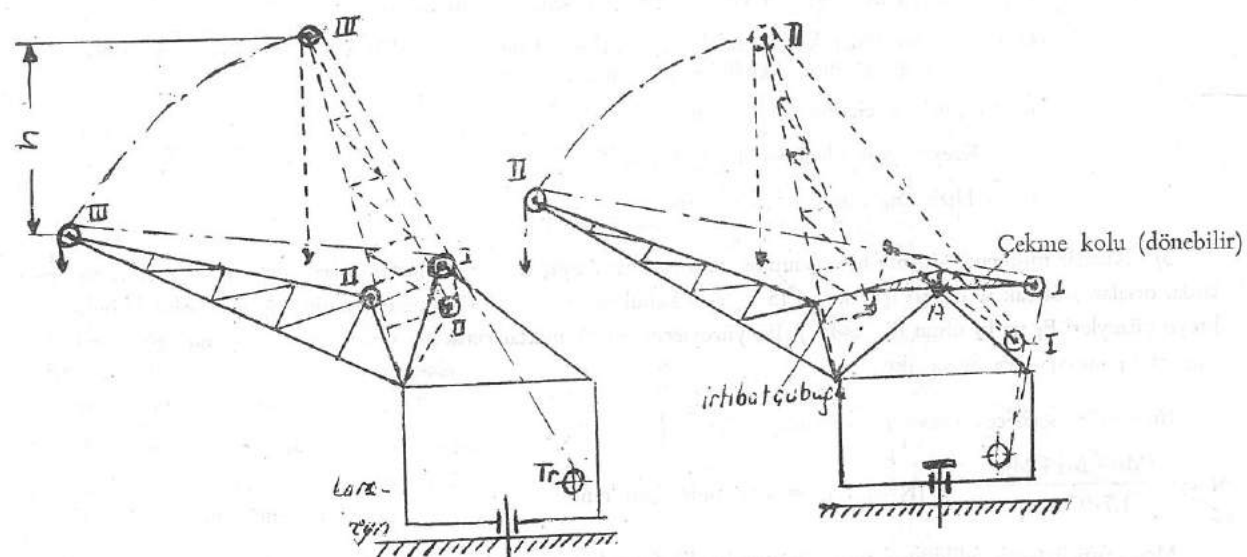
Şekil 92 de kreyin döndürme mekanizmasının kesit şeması görülmektedir (Firma DEMAG). Her iki dişli grubu, yaşı sızmazlığı temin edilmiş dökümle veya kaynakla imal edilmiş dişli kutusu içerisinde yer almaktadır. Miller rulmanlı yatakları yataklanmıştır. Güç aktarılması d mili üzerinden ve alttaki pinyon dişli ile sağlanmaktadır. Çift pabuçlu frenin çekme tesiri ekseriya hidrolikle sağlanır. Kreyin operatör mahallinden ayakla kumanda edilir. Motor, fren diskli elastik kavrama, dişli grubları ve pinyon dişli kapalı bir sistem teşkil etmektedir.



Şekil : 92, Döndürme mekanizması (DEMAG); a : tahrik motoru, b : fren diskli elastik kavrama, c : dişli kutusu, d : gevriilen pinyon dişli mili, e : iki sıralı bilyalı döner kranzı (ieten dişli), f : ayar tertibatlı çift pabuçlu fren, g : hidrolik silindir. h : frenleyici, i : yay (fren çözücü), k : titreşimleri azaltıcı yaylanabilir mesnet.

### 5) Kreyin kolunu çekme ve wipp sistemi :

Eğer kreyin kolu sabit bir sistem olarak inşa edilmişse, döner kreyin iş sahası teorik olarak sadece bir daire çizgisinden ibarettir. Fakat kreyin kolu, mafsallı bir şekilde kreyin gövdesine birleştirilmiş ve makaralar, vidalı mil veya kremayer dişli sistemiyle çكilebilir şekilde konstrüksiyonu gerçekleştirilmiş ise, en küçük yükleme dairesi ile en büyük yükleme dairesi arasında kreyinler hizmet görmüş olurlar. Böylece kreyin hareket etmemesinin sadece «wipp» hareketi ile (yani yükün yere paralel hareket etmesi), yükleme işi gerçekleşmiş olur. Yine, kreyin kolu en uzak durumunda küçük yükün ve en yakın durumunda büyük yükün kaldırılması sağlanmış olur.



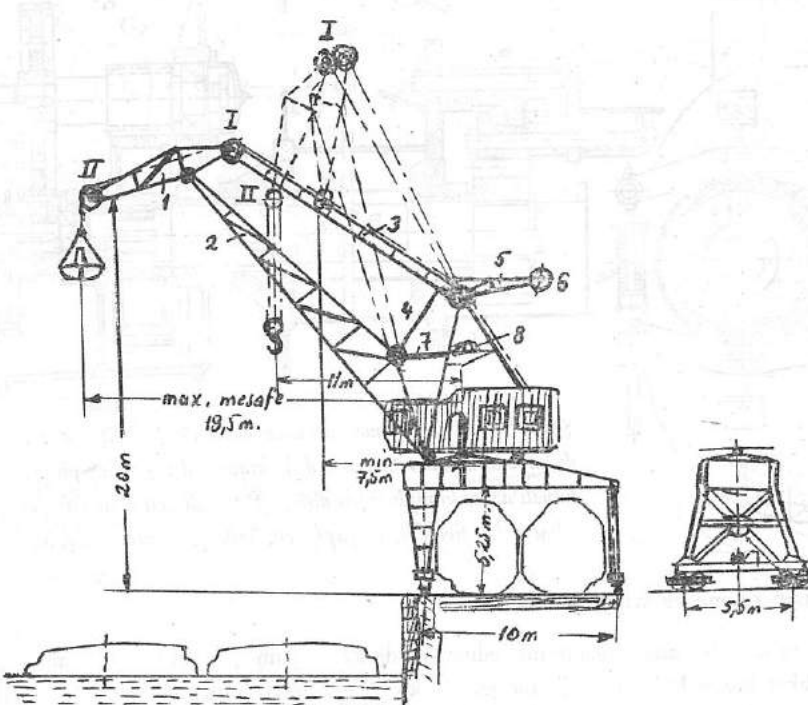
Şekil : 93, I makarası sabit, II makarasının yeri değişen wipp kreyen

Şekil : 94, A ekseninde dönen wipp kreyen

Normal döner kreyenlerde yük kaldırılırken, yükle beraber kreyen kolumnun ağırlığıda kaldırılmaktadır. Halbuki wipp kreyenlerde yük yere paralel hareket ettiğinden böylece lüzumsuz kaldırma işinden tasarruf edilmiş olunacaktır. Kreyen kolu ağırlığı uygun bir dengeme ağırlığı ile karşılandığı takdirde geriye sadece mafsallardaki sürtünmelerin etkisini ortadan kaldırmak işi gerekir.

Yükün yere paralel hareketi şu şekillerde sağlanır :

a) Kreyen kolumnun çekilmesi kaldırma sarım tamburu, indirme istikametinde döner. Burada indirme hızı çekme hızına uygun düşmelidir.



Şekil : 95, Demag «wipp kreyen» 5 t× 19,5 m ; 10 t× 11,0 m. 1. uç (tali) kreyen kolu, 2. ana kreyen kolu. 3. çekme kolu 4. irtibat çubuğu, 5. dengeme irtibatı 6. dengeme ağırlığı  
7. çekme mili (dişli), 8. motor.

b) Şekil 93 de olduğu gibi kaldırma halatı, mesafeleri değişen I ve II makaraları üzerinden geçer. Aynı zamanda I ve II makaraları arasındaki mesafe değiştirdiğinden (kaldırma tamburu hareketsiz durumda), yükseklik farkı h yi dengelemek için kazanılan bütün halat uzunluğu kifayet etmemelidir.

c) Şekil 94. Dönen kreyen kolu, kreyen kolu ile mafsallı olarak bağlanmıştır. Diğer ucunda kaldırma halatı için bir makarası vardır. Kreyen kolumnun çekilmesi esnasında I makarası aşağı kayar. Böylece II-I-Tr halat uzunluğu kısalır. Böylece yük yere paralel hareket etmiş olur.

d) Çift dönen kolu wipp-kreyen Şekil 95. (Lemniskateşenker) yük hareketi esnasında II makarası hemen tamamen yere paralel olarak hareket eder.

Vidalı mil çekme tertibatında motor dişileri üzerinden dişli milin somununu çevirir. Vidalı mil trapez dişli olup üç ağızlıdır. Somunun dönmesiyle milde ilerleme hareketi kazanmış olur.

Sistem motoru pabuçlu veya kendiliğinden frenlidir. Kuvvetli aksiyal yük meydana geleceği için axial rulmanlı yataklar donatılmıştır. Kurs boyunu, yani kreyen kolu hareketinin yolunu tahrif eden çanak yollar sisteme mevcuttur. Vidalı mil, harici tesire karşı koruması için teleskoplu boru içeresine yerleştirilmiştir. Böylece milin trapez dişleri harici tesire karşı korunmuş olur.

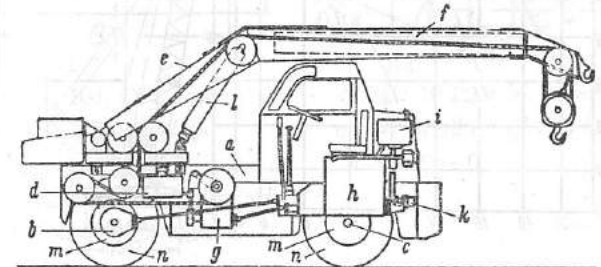
#### 7 — Vasita üzerine monteli kreynler .

Bu kreyni taşıyan vasıtalar iki, üç veya dört akslı olurlar. Bu vasıtaların hızları azamı 60 km/s olabilir.

Küçük vasitalı kreynler : Taşıma güçleri 2÷7 tondur. Gövde genellikle saç ve profillerden kaynak yoluyla imal edilmiştir. Vasita genellikle dizel motor tahraklıdır. Motor kavrama üzerinden çok kademeli dişli kutusunu tahrif eder. Araba hızları (3÷20) km/s tir. Kreyen kaldırma ve indirme gibi iş hareketleri, kreyen kolumnun çeşitli hareketleri hidrolik, mekanik veya karışık bir sistemle sağlanır.

Şekil 96 da DEMAG firmasının küçük tip vasitalı kreyni görülmektedir. Taşıma gücü/kreyen kolu sahası : 7 ton/4,9 m; 1 ton/8,9 m.

a : Vasitanın gövdesi, b : tahrif dingili (aksı), c : direksiyona bağlı aks., d : Suspansiyon (sallantılara karşılık), e : eğilebilen kreyen kolu, f : İç içe kaydırılabilen kreyen kolu kısmı ve başı, g : kaldırma sistemi, h : tahrif sistemi, Dizel motoru, kavrama-vites kutusu, i : hidrolik yağ deposu, k : hidrolik pompa 1 : kreyen kolumnun ayarlammasını temin eden eğik hidrolik silindiri. m : fren tamburu, n : altı adet lastikli tekerler. (Bunlardan dördü kreyen gövdesi altındadır).



Şekil : 96, Vasita üzerine monteli kreyen ± 180° dönenbilir (DEMAG)

Orta büyüklükteki vasitalı kreynler, 12 tona kadar yükleri kaldırma ve taşımalarda kullanırlar. Bu tonaja kadar yükü kaldıracak kreyenlerin vasıtaları iki akslı olurlar. 12 ile 20 ton arasındaki yükler için vasıtalar üç akslı ve 20 tondan daha fazla yükler için vasıtalar 4 akslı olarak imal edilirler.

Çeşitli yüklenme durumlarına ve farklı kreyen kolu uzunlıklarının kullanılmasına göre, destekli veya desteksiz 4 akslı bir vasitalı kreyenin taşıma güçleri, şekil 97 de gösterilmiştir. Bu şekilde gösterilen kreyen dizel-mekanik tahraklı olup, motor gücü 75 PS tir. Şanzımanı 4 ileri bir geri viteslidir. 16 ile 8 km/s arasında 4 ileri hareket hızlarına ve 1,9 km/s olan bir geri hızı sahiptir. 4 ayrı ileri hareket hızları kreyenin bütün hareketlerine aktarılabilir.

#### Azami iş hızları (kaldırımda) :

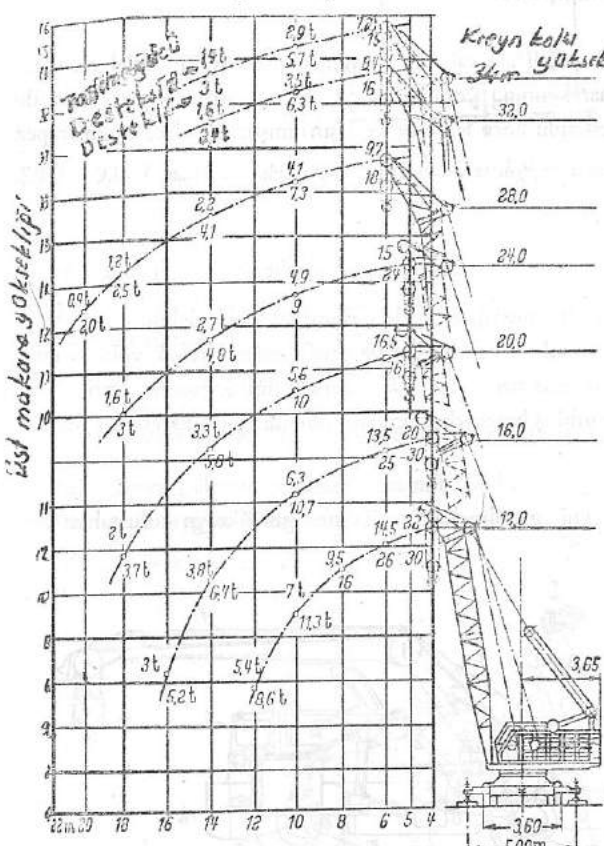
Bir makara üzerinden kaldırma hızı : 48m/dak. ve kaldırılan yük 4 ton. İki makara üzerinden kaldırma hızı : 24 m/dak ve kaldırılan yük 8 tondur.

Böylece makara adedi, dolayısıyla halat adetleri artırılarak kaldırabileceği yükün değeri 25 tona kadar çıkarılabilir. 6 makaralı olduğunda kaldırma hızı 8 m/dak. dir.

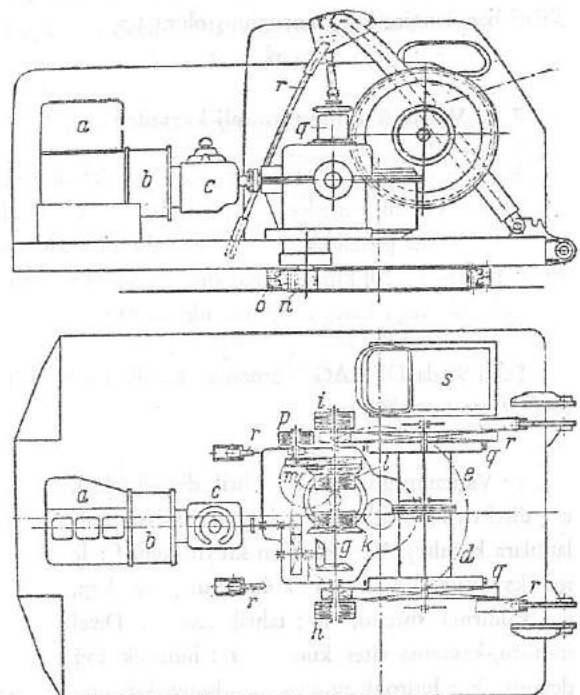
Kepçeli kaldırımda hız : 48 m/dak. ve yük 8 tondur. Kreyin eksenin etrafında dönüs devri 2 d/dak. dir.

Eğer taşıyıcı vasita, ağır yük vasıtası olarak öngörülmüş ise, bunun üzerine monte edilen kreyin kaldırma sistemleri ile döndürme mekanizmaları kapalı tek bir sistemden ve vasıtada ayrı bir tahrif sisteminden meydana getirilmiştir. Kreyin ve vasita müstakil tahrif sistemlerine sahiptirler. Tahrif sistemi, dizel-mekanik, dizel-elektrik ve yeni tiplerinde olduğu gibi dizel-hidroliktir.

Vasitanın motor gücü kreyin sistemine aktarılabilen gibi müstakil de olmaktadır.



Şekil : 97, 4 Akslı bir vasitalı kreyin taşıma güzlerinin şeması



Şekil : 98, Dizel mekanik sistemli vasitalı döner kreyinin araç şeması

Şekil 98 de, dizel mekanik sistemli, orta büyüklükte vasitalı döner kreyinin araç kısmının şeması görülmektedir.

a : Dizel motoru, b : Kuru diskli kavrama, c : Dişli kutusu, d : Kaldırma tamburu, e : Tutma tamburu, f : Çekme halatı tamburu, g : Anamili, h,i : Kaldırma ve tutma tamburları için lamelli kavramalar, k,l : Döndürme mekanizması için konik dişli lamelli kavramalar, n : Döndürme mekanizması pinyon dişisi, o : İç yüzeyi dişli bilyalı döner çember, p : Döndürme düzeni için ayarlanabilen fren tesirli lamelli kavrama, g : Bandlı fren, r : Destek bağlanması s : Operatör mahalli.

Genellikle lamelli kavramalar hava basıncı ile kumandalıdır. Bu tip kreynlerin raylar üzerinde hareket eden tipleri de vardır. Kullanma gayelerine uygun olarak imal edilirler.

## TAŞIMA MAKİNALARI :

Kontinu bir tesis kısa bir zaman içerisinde büyük mikarda bir malzemenin istenilen sahaya iletilmesinde büyük kolaylık sağlar. Taşınacak sahanın vaziyetine göre taşıma vasıtaları şekillendirilir. Taşıma yolu, ufkı, hafif meyilli veya düşey olabilir. Böyle bir sistemin gücü saatte sevk ettiği malzemenin miktarı ile tanımlanır.

$I_H = [m^3/h]$  = Taşınan malzemenin saatteki hacmi.

$I_A = [ton/h]$  = Taşınan malzemenin saatteki ağırlığıdır.

### A — BANDLI TAŞIYICILAR (Konveyörler) :

Bir ucunda tahrif tamburu ile hareket ettirilen uzun bir band, diğer ucunda ise yön değiştirme tamburu vardır. Bu iki tambur arasındaki band taşıyıcı silindirik rulellerle desteklenmiştir. Bandın malzemeyi daha iyi taşıması için düz veya yandan meyilli olabilir. Bandın dönüsü alttaraftandır ve düz roleler üzerinden kayarlar. Tahrif motorunun bandı daha kuvvetle çekebilmesi için, band bir ağırlıkla gerilir. Şekil 99 da bandlı bir taşıyıcının şeması görülmektedir. a : Tahrif tamburu, b : Yön değiştirme tamburu, c : Tamburun sarılma açısını arturan tambur, d : Taşıyıcı roleler, e : Bandı gerdirme ağırlığı. Bunlar çok çeşitli malzemelerin (cevher, kömür vs. gibi) taşınmasında kullanılır.

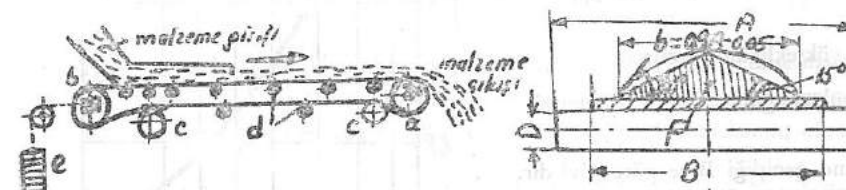
a) Kauçuk bandlar : Bandın ömrünü artırmak için tekstil veya çelik tellerle takviye edilirler. Tekstil maddeleri ile takviyeli bandın tamımı söyle olur. Büyüyük harf malzemenin cinsini ve rakamda bandın boyuna istikametindeki kopma mukavemetini kg/cm olarak gösterir. Pamuk için B 50,80 B 100 ve suni ipek R 125, 150, 175 gibi. Çelik tel takviyeli bandların tamımı ise : St 1500, 2000, 3000 gibi (1500 bandın her cm. sinin kopma mukavemetidir).

b) Taşıma hesapları : Saatte taşınan miktarının hesaplanması için, akan malzemenin ortalama kesiti  $F [m^2]$ , malzemenin akış hızı  $V [m/s]$  ve malzemenin özgül ağırlığı  $\gamma [t/m^3]$  nün bilinmesi gereklidir.

$$I_H = V \cdot F [m^3/s] = 3600 V \cdot F [m^3/s]$$

$$I_A = \gamma \cdot V \cdot F [t/s] = 3600 \cdot \gamma V \cdot F [t/s]$$

Taşınan malzemenin kesiti, bandın genişliği B ve bandın şecline bağlıdır.



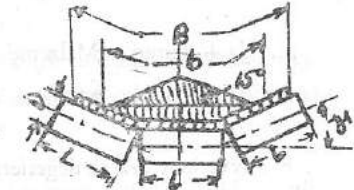
Şekil : 99, Taşıma bandının şeması

Şekil : 100, Düz band

A : Rolenin uzunluğu

B : Bandın genişliği

b : malzemenin band üzerindeki genişliği =  $0,05 \div 0,90 \text{ m}$ .



Şekil : 101, 3角色 ve yan roleleri meyilli ve bağlantılı band.

$b = 0,05 \div 0,9 \text{ m}$ .

Şekil 100 ve 101 e göre taşınan malzemenin miktarı şu bağıntılarla bulunur :

$$\text{Band düz ise, } I_H \approx 240 \cdot V [0,9 \cdot B - 0,05]^2 [m^3/s]$$

$$\lambda = 20^\circ \text{ için } I_H \approx 465 \cdot V [0,9 \cdot B - 0,05]^2 [m^3/s]$$

$$\lambda = 30^\circ \Rightarrow I_H \approx 545 \cdot V [0,9 \cdot B - 0,05]^2 [m^3/s]$$

Band genişliğine uygun olarak role çapları, aşağıdaki tablo 14 den seçilir.

Band genişliği B [mm]	500	650	800	1000	1200	1400	1600	1800	2000	2400
Role çapı D [mm]	63,5-89	63,5-89	89-108	108-133	133-159	133-159	133-159	159-191	159-191	191-216

Eğer taşıma band konveyörü yatayla  $\delta^\circ$  açısı kadar bir şeine sahipse, teorik olarak taşınan malzeme miktarını bulmak için  $I_H$  yi k faktörü ile çarpınmak gereklidir.

$\delta^\circ$  açısına bağlı olarak k faktörünü gösteren tablo : 15

$\delta^\circ$	4	10	14	16	18	20	21	22	23	24
k	0,99	0,95	0,91	0,89	0,85	0,8	0,78	0,76	0,73	0,71

Band hızları 1 ile 6 m/san. arasında değişir. Büyüklük kütelerin taşınmalarında hız  $4 \div 6$  m/san. dir (meselâ kömür ocaklarında). Cevher iletiminde 2,5 m/san. kadardır. Tahlılin ve çimento, un vs. gibi tozlu maddelerin taşınmasında band hızı 1 m/san. dir.

## B — HAREKET DİRENÇLERİ VE MOTOR GÜCÜNÜN HEBASI :

Konveyör sisteminde ana dirençler şunlardır. Taşıyıcı rolelerin dirençleri, band ile malzemeler arasındaki malzeme dirençleri, tamburla band arasındaki dirençler, tambur yataklarındaki sürtünme kayipları ve tali dirençler vs. dir.

$f$  = Tüm konveyör sistemin sürtünme katsayısı

$L$  = (m) = konveyör uzunluğu

$C$  = Tablodan okunacak katsayı (tali dirençler için)

$G_m$  = (kg/m) = Her metre başına taşıyıcı silindir, role, band ve dönen parçaların ağırlığı.

$V$  = (m/san) : Bandın hızı

$H$  = (m) = Taşıma yüksekliği.

Bu ifadelerle, tahrik tamburundan band üzerine aktarılan çevresel kuvvet  $P$  nin değeri :

$$P = C \cdot f \cdot L \left( G_m + \frac{I_A}{3,6 \cdot V} \right) = \frac{I_A \cdot H}{3,6 \cdot V} \text{ kg} \text{ dir.}$$

Tambur miline aktarılacak gerekli motor gücü :

$$N_a = \frac{P \cdot V}{102} = \frac{C \cdot f \cdot L}{102 \cdot 3,6} (3,6 \cdot G_m \cdot V + I_A) \pm \frac{I_A \cdot H}{102 \cdot 3,6} ; [\text{Kw.}]$$

+ İşareti : Malzeme  $H$  yüksekliğine taşınırsa

-- İşareti : Malzeme  $H$  yüksekliğinden aşağıya taşınırsa.

$P$  kuvvetinin azamî değerleri band genişliği  $B$  ye göre şöyledir.

Band genişliği $B$ (mm)	500	1000	$> 1000$
$P$ kuvveti [kg]	75	150	225-300

Motorun randimani dikkate alınarak gerekli motor gücü.

$$N_m = \frac{N_a}{\eta} ; \eta = 0,8 \div 0,9 = (\text{motor mili ile tambur mili arasındaki tüm aktarma organlarının randimani}).$$

Band çekme kuvveti  $T_1$ , Eytelwein eşitliğinden hesaplanır.  $T_1 = T_2 \cdot e^{\mu \alpha}$

$$\text{Çevresel kuvvet : } P = T_1 - T_2 = T_1 - \frac{T_1}{e^{\mu \alpha}} \text{ ve } T_1 = P \left( 1 + \frac{1}{e^{\mu \alpha} - 1} \right) \text{ dir.}$$

$e = 2,718$   $\mu$  = Sürtünme katsayısı; Tambur yüzeyi ıslak iken=0,1, nemli=0,2, kuru iken 0,3

$\mu$  = 0,15-0,40 (Eğer tanbur yüzeyin sürtünme balatasi varsa)  $\alpha$  = Sarılım açısı.

Eğer tek tambur tahrik ediliyor ve  $T_2$  kuvveti kâfi gelmiyorsa, iki tamburda tahrik edilir. Teorik olarak her iki tambur üzerine  $P$  kuvvetinin dağılışı şöyledir ( Şekil 103 A )

$$P = P_1 + P_2$$

$$\frac{P_1}{P_2} = e^{\mu \alpha_2} \cdot \frac{e^{\mu \alpha_1} - 1}{e^{\mu \alpha_2} - 1}$$

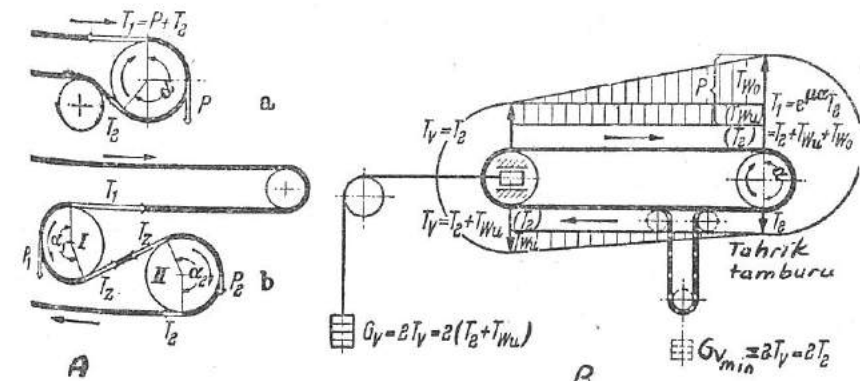
Pratik olarak  $P_2/P_1$  oranı 2 : 1 dir. 1 : 1 oranı da çok kullanılır.

Tahrik tamburunun çapı  $D_t$  aşağıdaki bağıntıyla hesaplanır :

$$D_t = \frac{360 \cdot P}{p \cdot \pi \cdot \alpha \cdot B} \text{ [m]}$$

$p = 1600-2000 \text{ kg/cm}^2$  (Pamuk takviyeli band için)

$p = 5000-6000 \text{ kg/cm}^2$  (Çelik tel takviyeli band için)



Şekil : 103, A : Tahrik tamburundaki kuvvetler.

a : Tek tambur tahrikli

b : İki tambur tahrikli

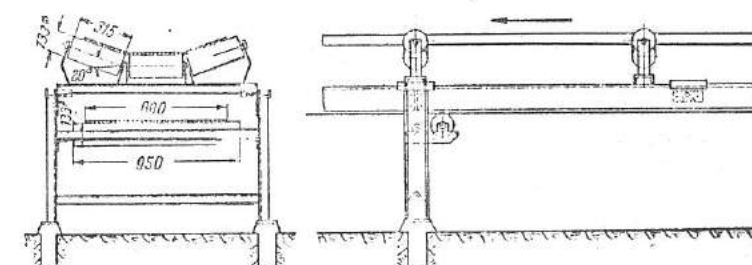
B : Ön gerilme kuvveti  $T_v$  nin elde edilmesi için band boyunca kuvvetlerin dağılışı planı

Taşıyıcı Ruleler :

Taşıyıcı Ruleler genellikle mil üzerine rulmanlı yataklarla, bazende ince uzun silindirik rulmanlarla yataklanmıştır. Rule silindiri dikişsiz borudan veya silindirik duruma getirilerek kaynatılmış saçılandır. Yatak yerlerinin yağlanması temin edilmiş ve yağın sızmasına meydana verilmemesi için iyi contalanmış olmalıdır.

Şekil 104 de bir konveyörün şeması görülmektedir. Malzeme üstten, üç rule üzerinden taşınmaktadır. Bandın dönüsü ise alttan düz rule üzerindendir. Üst rulelerin B genişliği 315 mm. ve alt tek ruleninki ise 950 mm. dir.

Şekil 105 de taşıma yüksekliği ayarlanabilen tekerlekli bir konveyörün şeması görülmektedir. Tambur bir veya iki motor tarafından tahrik edilir. Orta ve büyük tesislerde ekseriya tesisin baş kısmından tahrik yapılır.



Şekil : 104, Üç silindirik ruleli konveyörün tanzim şekli (EISENWERK)  
W.) Gövde yere sabit ve  $\lambda \approx 20^\circ$

Şekil 105 de taşıma yüksekliği ayarlanabilen tekerlekli bir konveyörün şeması görülmektedir. Tambur bir veya iki motor tarafından tahrik edilir. Orta ve büyük tesislerde ekseriya tesisin baş kısmından tahrik yapılır.

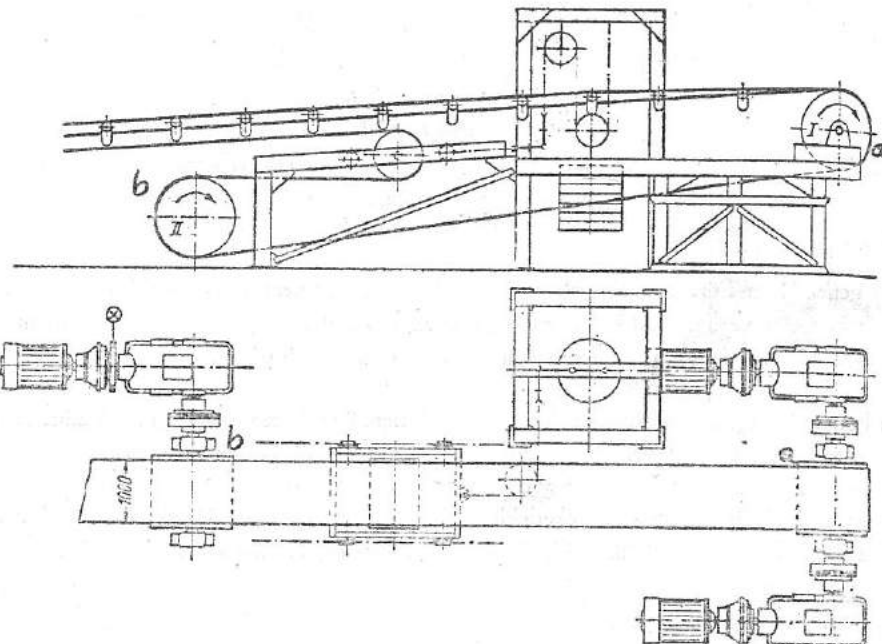
Tahrik sistemi (motor-kavrama-dişli kutusu-kavrama-sabit iskelet üzerinden tamburlardan) meydana gelmiştir.

Şekil 105; a : Tahrik edilen taşıma bandı tamburu, b : Band yönünü değiştirmeye tamburu, c : Kramayer dişli kaldırma düzeni, d : 90° dönen tekerler.

Şekil 106 da görülen konveyör aynı güçte üç adet motor tarafından tahrik edilmektedir. Yani a tamburu iki adet, b tamburu ise bir adet motorla çevrilmektedir. Şekilde görülen konveyörün taşıma mesafesi 1200 m. dir. 4 m/san. band hızında saatte taşınan malzeme miktarı 1400 m<sup>3</sup>/S tir.

Tahrik tamburu banda temiz yüzeyinden temas etmektedir. Bandın öngerilmesi yan taraftan tesir eden bir ağırlık vasıtasiyle sağlanmaktadır. Sistemin kısa zaman içinde durmasını temin etmek amacıyla, tek motorlu tahrikli kısmı II (b) bir Eldro fren çözücsü konulmuştur.

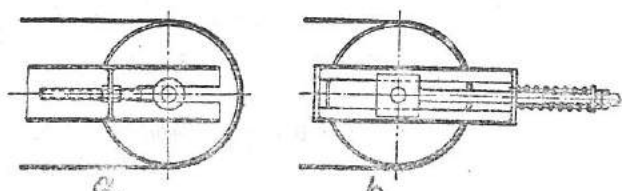
Taşınabilir ve hareketli konveyörlerle, küçük tesis konveyörlerde germe düzeni olarak şekil 107 de görülen bazı civatalı germe düzeni ile, ön gerilmenin sınırlanmasını temin etmek amacıyla yaylı civatalı düzenler çok sık kullanılırlar.



Şekil : 105, Yüksekliği ayarlanabilecek ve hareket edebilen bir konveyör şeması

Büyük tesilerde germe tamburu gerdirmeye arabası üzerine yerleştirilmiştir. Araba taşınan malzeme yönünde tanzim edilen raylar üzerinde hareket eder. Germe kuvveti ağırlıkla veya vinç sistemiyle sağlanır. Kuvvet, Elektromotorlu bir sistemle ayarlanır ve kuvvetin değeri bir dinamometre göstergesi üzerinden okunur. İki limit değer arasındaki kuvvet gerilimleri elektrikli sistemle tam olarak ayarlanabilir.

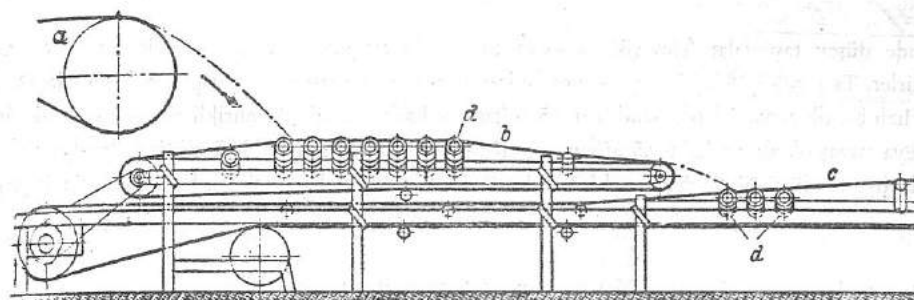
Yüksek hızda çalışan konveyörlerde, yükleme ve aktarma, kısa uzunlukta hızlandırıcı ara bandları sağlanır. Şekil 108 de böyle bir sistemi görmekteyiz.



Şekil : 107, Band germe düzenleri

a : Sevkeden band, b : Aktarma yüksekliği küçük olan ara band, c band sistemi de, c konveyörünü tahrik eden motor tarafından çevrilir, d: Yaylı (yastıklı) ruleler.

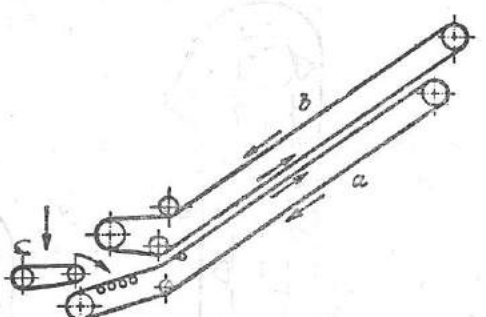
Özel tip konveyörler : Taşınan malzeme ile band arasındaki sürtünmeyi artırmak, böylece daha eğik bir düzlemdede akış sağlanmak mümkündür.



Şekil : 108, hızlandırıcı ara bandlı aktarma düzeni

Şekil 109 da görülen sistemle malzemeyi 35°-40° lik schim altında yukarıya taşımak mümkün olmaktadır. Burada malzeme iki band arasından taşınmaktadır. Bandlardan biri taşıyıcı ve diğeri örtme bandıdır. İki bandın hızı da aynıdır.

Örtme bandı kendi ağırlığı nedeniyle bir tesir yaptığı gibi, bu tesir baskısı ruleleriyle de artırılabilir.

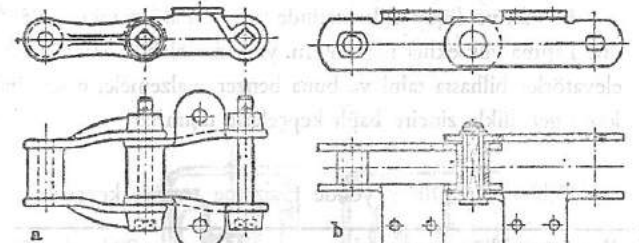


Şekil 109, İki band arasından malzemeyi yüksèle taşıma sistemi.  
a : normal taşıma bandı, b : Örtme bandı, c : malzeme aktarma bandı.

## B — TAŞIMA ELEMANLARIYLA TAŞIMA :

Taşınan malzemelerin şekline bağlı olarak, plakalar, kutular, tekneler, asılı elemanlar, kazıcı elemanlar vs. kullanılır. Bir sistemde kullanılan taşıyıcı elemanlar birbirinin aynıdır.

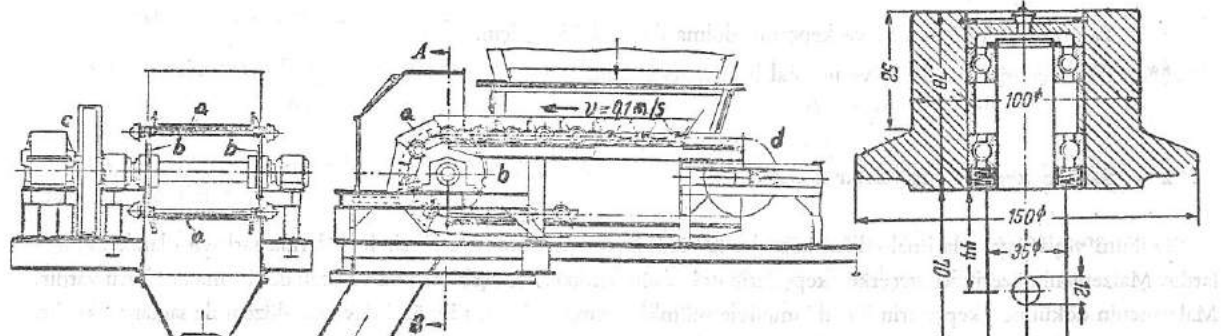
Şekil 110 da elemanlı taşıyıcılar için zincir tipleri görülmektedir.



Şekil : 110, Elemanlı taşıyıcılar için zincir tipleri

Konveyör sevk rayı üzerinde vasıtalarla hareket etmektedir.

a : Zincirli band, b : Tahrik zincir dişli c : Dişli kutusu d : Germe tertibath yön değiştirme tamburu.



Şekil : 111, Kömür sevkiyatında kullanılan zincir bağlantılı kanallı taşıyıcı

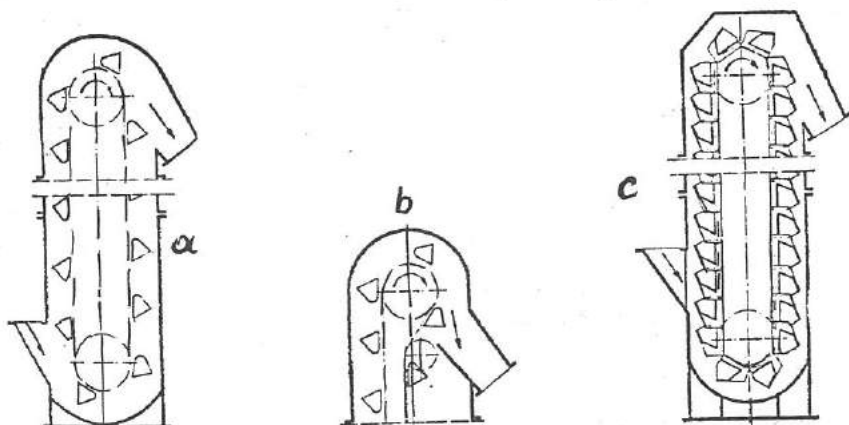
Şekil : 112, Rule yatak şeması

Şekil 112 de, böyle bir taşıma sisteminde kullanılan rulenin yatakları kesiti ve ölçüleri görülmektedir. Rulelerin dış ölçüleri normalleştirilmiştir. Rulelerin mesafeleri, 1 ile 12 zincir hatve uzunluğu arasında olabilir.

Kepçe şeklinde düşey taşıyıcılar (elevatörler) kova biçiminde taşıyıcı elemanlar, zincir, band vs. gibi çekme organları ile çekilirler. Tesisin büyüklüğünne, çekme organlarının tipine ve malzemenin yapısına bağlı olarak elevatörün hızları farklıdır. Hızlı bandlı elevatörlerde band hızı 2,5 m/san. ye kadarır. Zincir tahraklı elevatörlerde zincir hızı 1,0- $\div$  1,2 m/san. veya yavaş olanlarda 0,3-0,5 m/san. dir. Kepçeler genellikle her ikinci zincir halkasına asılmıştır. Her zincir halkasına da uygun düşüğü takdirde asılabilir. Taşıyıcı elemanların hareketi tambur, rule, zincir dişileri üzerinden sağlanır.

Şekil 113 düşey istikamette malzeme taşıyan elevatör tipleri görülmektedir.

a : Malzemenin dökülübü santrifij kuvvetin tesiriyle olmaktadır, b : Burada malzeme kendi ağırlığı ile dökülmektedir. c : Kepçelerin aralıkları daha kısa ve malzemenin dökülübü santrifij kuvvetin tesiriyedir.



Şekil : 113, Çeşitli tipe düşey istikametinde taşıyıcılar.

Meyilli ve düşey istikametinde malzeme devri takiben 50° den itibaren başlar ve taşıma yüksekliği 30 m. ye kadarır. Taşıma yüksekliği max. 80 m. ye kadar olabilmektedir. Saatte sevk edilen malzeme miktarı 350 t/s. e kadarır. Bandlı elevatörler bilhassa tahlı ve buna benzer malzemelerin sevkinde kullanılırlar. Kömür, cevher ve buna benzer madde lerde genellikle zincire bağlı kepçelerle taşınırlar.

Tablo : 16 Düşey yönde malzeme taşıyan kepçeli elevatörlerde normalleştirilen değerler.

Kepçe genişliği [mm]	160	200	250	315	400	500	630	800
Kepçe hacmi [l]	1,5	2,4	3,75	6,0	9,5	15	21,6	37,5
Malzeme miktarı [m³/s]*	10	16	21	33	52	72	90	135
Motor gücü [PS]**	3,5	4	5	6	9	12,5	15	25

\* : Taşıma hızı 1,15 m/san. ve kepçenin dolma derecesi 75 % için.

\*\* : Eksenler mesafesi 20 m ve normal band taşıyıcı için.

## 2 — Sarkaç kepçeli taşıyıcılar :

Döküm veya kaynakla imal edilen kepçeler (28-250 litre) eşit aralıklarla zincir halkalarına sarkaçlı olarak asılmışlardır. Malzemenin üzerinden geçen kepçelerin dolmasını temin edecek şekilde yön verecek doldurma tamburu vardır. Malzemenin dökülmesi kepçelerin 90° dönmesiyle mümkün olmaktadır. Bu ise özel devirme düzeni ile sağlanmaktadır.

Şekil 114 de sarkaçlı taşıma düzeninin şeması görülmektedir.

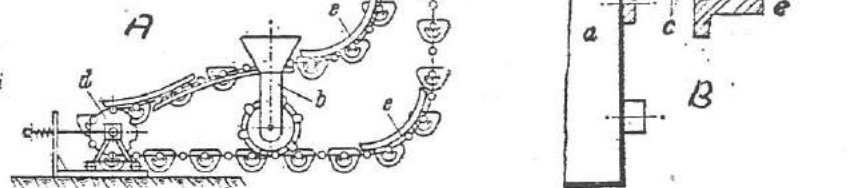
Şekil 112 de, böyle bir taşıma sisteminde kullanılan rulenin yatakları kesiti ve ölçüleri görülmektedir. Rulelerin dış ölçüleri normalleştirilmiştir. Rulelerin mesafeleri, 1 ile 12 zincir hatve uzunluğu arasında olabilir.

Şekil 114 A : a : Kepçe zinciri, b : dol durma tamburu, c : tahrilik motoru, d : yön de ğiştirme diski, e : yön de ğiştirme rayı f : devirme düzeni.

Şekil 114 B : a : Kepçeler, b : Role başlığı, c : Zincir lamaları, d : Aks tutucusu, e : Flanş yatağı.

Bu tip taşıyıcılar, bilhassa kuvvet, enerji merkezleri ve ambarlarda kömür ve yanmış artıkların vs. nin taşınmalarında kullanılır.

Şekil : 114, sarkaçlı taşıma sistemi;  
Bu sisteme ait hareket roleleri



Burada taşanan malzeme miktarı şu bağıntıyla bulunur.

$$I_H = 3,6 \cdot \varphi \cdot V_K \cdot v/a;$$

$\varphi \approx 0,80 \div 0,90$  = (kepçenin dolma katsayı)

a = 1÷2 m = kepçeler arası mesafe.

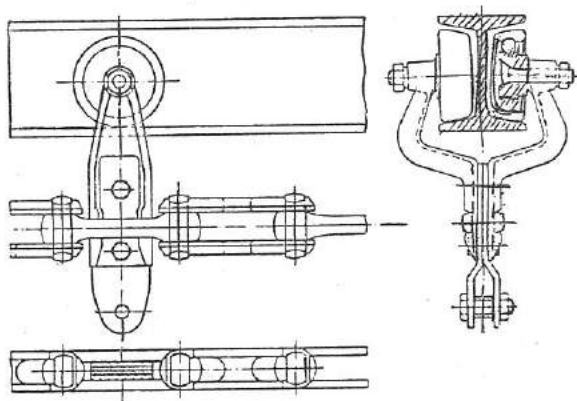
V<sub>K</sub> = (Litre) = kepçe hacmi.

v = 0,25÷4 m/san = malzemenin akış hızı.

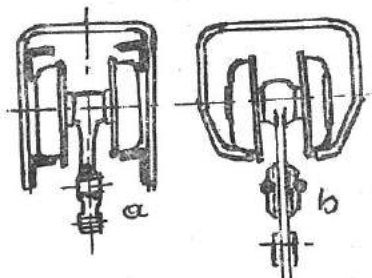
## 3 — Roleli dairesel taşıyıcılar :

Malzemenin özelliğine göre şekillendirilmiş taşıyıcılar, dairesel veya değişken bir hat üzerinde role çiftiyle hareket eden sistemde (iki veya 4 adet role) asılı olarak bağlanılmışlardır. Taşıyıcı elemanlar direk olarak zincir dişili tarafından tahrilik edilen zincire asılmışlardır. Yükün taşıyıcı elemanına asılması veya alınması elle veya kendiliğinden olur.

Şekil 115 de I profilli hat üzerinde uygun tekerlerle hareket eden zincirle çekilen taşıma düzeni görülmektedir. Tekerler rulmanla veya kaymalı yatakları kullanılmışlardır.



Şekil : 115, I profilli hat üzerinde hareket eden roleli taşıma düzeni



Şekil : 116, Tekerlerin hareket hattının şemaları.  
a : açık hat, b : kapalı hat.

Bu tip taşıyıcılarda zincir hızları 0,25 m/san. den küçütür. Genellikle hız kademesiz olarak ayarlanabilir. Taşınan malzeme miktarı :

$$I_A = 3,6 \cdot G \cdot v \cdot a [t/s];$$

G = [Kg] = Her taşıyıcı elemanla taşınan malzeme ağırlığı

a = [m] = İki eleman arasındaki mesafe.

v  $\leq$  0,25 m/san. = Hız.

Sisteme meydana gelen tüm dirençler ve sürüünme kayipları hesaplanarak, sistemi çalıştıracak motorun gücü tespit edilir.

Bu taşıyıcılar bilhassa montaj atelyelerinde ve diğer atelyelerde çeşitli parçaların taşınmasında kullanılır. Yine işl işleme tabi tutulacak veya kaplanacak çeşitli imalat parçaları taşıma elemanlarına asılı olarak kontinü bir hareketle sevk edilirler.

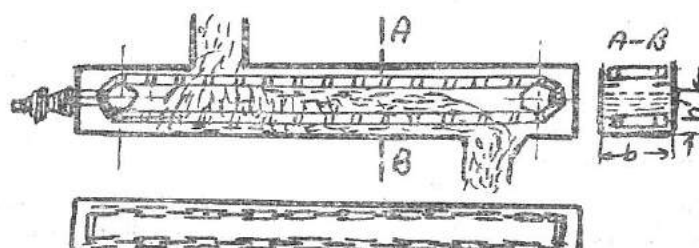
#### 4 — Taraklı, kaziyıcı taşıyıcılar :

Yatay veya eğik durumda bulunan elemanlar, sevk zincirine bağlı olan kaziyıcı saçları ileriye iterler. Böylece taşınacak malzemede sürüklenecek ileri itilmiş olur. Bunlar bilhassa maden endüstrisinde çok kullanılır. Sistem, elektrik motoru (hidrolik veya mekanik kavrama üzerinden) veya hava basıncı motorla tarih edilir. Hareket dişli kutusu üzerinden zincir dişlerine iletir. Taşıma hızı  $0,6 \div 0,9$  m/san. dir. Saatte taşınan malzeme miktarı tesisin büyüklüğüne göre  $80 \div 300$  ton/s. dir.

#### Kapali sistemli taşıyıcılar :

Malzemeyi sürükleme elemanlar kapali bir kanal içerisinde olup, küçük ilerleme hızıyla ( $\approx 0,3$  m/san.) hareket ederler. Taşınan kanal içerisinde yukarıdan ince veya kaba taneli malzemeler aktarılır. Bu malzemeler önce itici elemanlar tarafından ve daha sonra biriken malzemeler üzerinden taşınır. Taşıma yatay veya çok hafif eğimli bir düzlemede olabilir.

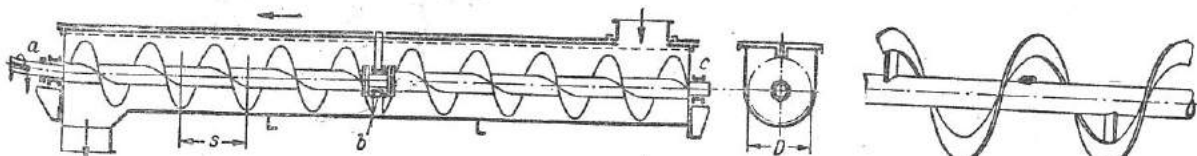
Şekil 117 de bu tip bir taşıyıcının şeması görülmektedir. Toz halinde çeşitli malzemeler, şeker, tuz, çimento, briket kömürü, tahlil, çeşitli kimyasal maddeler, yapışmayan diğer malzemeler bu tip taşıyıcılarla taşınır. Nakledilen mesafe küçük ve orta uzunluktadır. silo doldurma ve boşaltma, gemi boşaltması gibi.



Şekil : 117, Kapali bir kanal içerisinde, zincir tarihli bir taşıyıcının şeması

#### C — HELEZONİ TAŞIYICILAR :

Malzemeyi taşıyan eleman uzun bir mil üzerinde saç veya band çeliğinden sarılmış bir vidasına sahip helezondur. Mil dönerken malzemelerde bir kanal veya boru içerisinde ileri doğru itilirler. Helezon mil rulmanla veya kaymamış yataklardan biri aksiyal yükü taşıyacak şekilde ve degerdedir. Mil çekmeye zorlanır. Sistem elektrik motoru ve dişli kutusu üzerinden tarih edilir. Bugün daha ziyade dişli çarklı motorla tarih edili.



Şekil : 118, Kapali (dolu) helezon bir taşıyıcının şeması  
a : Tarih tarafındaki yatak (Radial ve aksiyal yük için)  
b : Sarkaçlı ara yatak.  
c : Milin diğer ucundaki yatağı.

Taşınan malzemenin hesabı : Helezonun çapı D [m], hatvesi S [m] ve milin devri n [d/dak.] ile ifade edilirse, yatay düzlemede şekil 118 de görülen helezon taşıyıcının sevkettiği malzeme miktarı :

$$I_A = \frac{\pi \cdot D^2}{4} \cdot S \cdot \varphi \cdot 60 \cdot n \cdot \gamma; [t/s]; \quad \varphi = 0,15 \div 0,20 \text{ (Ağır, aşındırıcı malzemeler için)} \\ \varphi = 0,20 \div 0,40 \text{ (Kolay, akıcı, hafif, malzemeler için)}$$

Tablo : 17, Helezon taşıyıcının ana değerleri :

Helezon çapı D [mm] .....	160	200	250	315	400	500	630	800
Hatve s [mm] .....	160	200	250	300	355	400	450	500
Devir n [d/dak.] ...	112*	100	90	80	71	63	50	40
	(90)**	(80)	(71)	(63)	(56)	(50)	(40)	(32)

Tablodaki değerler normalleştirilmiştir.

\* = Hafif malzemeler için, \*\* = normal malzemeler için

L [m] uzunlığında yatay bir düzlemede çalışan bu tip taşıyıcının tarih gücü (motor gücü) şu bağıntıyla hesaplanır :

$$N_m = \frac{I_A \cdot L \cdot f_1}{270} [\text{PS}] \quad f_1 = 2 \div 4 = (\text{Sistemin tüm direnciyle ilgili katsayı})$$

Bu taşıyıcılar, bilhassa toz halinde veya küçük tanecikler şeklindeki malzemelerin 40 m. nin altındaki mesafelere taşınmalarında (mesafe nadiren 40 m. nin üzerinde) veya ara taşıyıcı olarak kullanılır. Sevk genellikle yatay veya çok az eğimli düzlemededir. Daha eğik bir düzlemede sevk, özel konstruksiyonla mümkündür. (Yüksek devir ve boru içerisinde taşıma)

#### D) TİTREŞİMLİ TAŞIYICILAR (VİBRATÖRLER) :

Ufki veya çok hafif eğimli düzlemede ileri ve geri hareket yapan sisteme, ileri harekette kütte kuvvetleri, malzeme üzerine aktarılırken; sistem geri hareket ederken, malzeme yine ileri hareket etmiş olur.

##### a) Sarsmalı (kaydırımalı) hareketle taşıma :

Hareket ivmesi sabit olmayan sistem üzerinde malzeme; ileri hareket esnasında sürtünme bağlarının kopmasına kadar ivme kazanır (sürtünme katsayı  $\mu_r$ ) ve nihayet ileri itilir. O andan itibaren ve sistemin geri hareketi esnasında malzeme kinetik enerji nedeniyle kaymaya devam eder. Bu ileri kayma hareketi, kinetik enerjinin kayma direnci  $\mu_k$  ile yutulmasına kadar devam eder.

Sarsmalı kaydırma hareketi aşağıdaki tarih sistemiyle elde edilir.

1. Hava basıncı pistonlu motorlarla.
2. Elektrik motorunun meydana getirdiği dönme hareketi, kısa uzunlukta biyel kolu yardımıyla ( $\lambda = \frac{r}{l} = 0,2 \div 0,45$ ) ivmesi değişken ileri ve geri harekete çevrilir. Böylece malzemenin sevk için gerekli sarsmalı hareket meydana getirilir.

##### 3. İki adet elips şeklinde dişli çifti yardımıyla (biyel kolla bağlanmış).

Sistemin dakikada ileri geri hareket sayısı küçük ( $n = 50 \div 100$  gidiş geliş/dakika) olmasına rağmen kurs boyaları bu sistem için oldukça büyüktür. (120-300 mm).

Ortalama malzeme akış hızı  $V_m$ ,

$$V_m = S_u \cdot \frac{n}{60} [\text{m/san}]$$

$S_u$  = Bir ileri geri harekette malzemenin katıldığı yol

Saatte taşınan malzeme miktarı ise :

$$I_A = 3600 \cdot \gamma \cdot F \cdot V_m [\text{ton/s}] \text{ dir.}$$



Şekil : 120, a) Sarsmalı iletmenin prensib şeması, İvme kazançlı metodu.

(a) : Yatak kuvveti sabit (ileri ivme  $b_1 \leq y \cdot \mu_r$ )

(b) : Yatak kuvveti değişken :

$$b_{max} = g \cdot \mu_r (1 - \mu_r \cdot \tan \beta) \cdot \tan \beta$$

Sistemin şekli tamamen kullanılan yere ve malzemeye bağlıdır. Daha ziyade maden cevherlerinin taşınmalarında kullanılır. Taşınan malzeme miktarı 200t/s e kadar çıkabilir. Bu sistemle daha ziyade ince veya kaba taneli malzemelerle aşındırıcı malzemeler taşınır.

### b) Küçük titreşimli vibratörler :

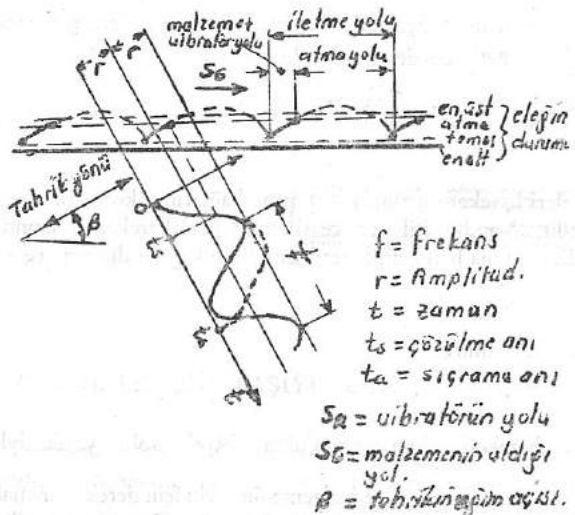
Boru veya dikdörtgen kesitli bir kanal içerisinde malzeme, küçük kurs boyunda (amplitudunda) fakat hızlı titreşimde ileri geri hareketle itilirler. Sinüs eğrisi şeklinde titreşim hizetinin ileri ve geri gidişi aynı zaman süresine sahiptir. Böylece taşınan malzeme, aynı şekilde akım hizetinin yapan (sinüs) akışa çevrilir.

### Tahrik sisteminin çeşitleri :

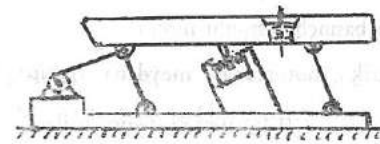
#### 1. Biyel kolu titretme sistemi.

İtici biyel koluun ( $l$ ), manivela kolu  $r$  (yarıçap  $r$ ) ye oranı büyük veya  $r$  nin  $l$  ye oranı çok küçüktür.  
 $\lambda = \frac{r}{l} = 0,1 \div 0,01$

Buna göre titreşim hizetinin amplitudları  $3 \div 15$  mm olup, ilgili frekans değerleri  $5 \div 25$  Hz dir. Malzemenin taşıdığı kanal çelik saçtan veya meşe ağacından olup yaprak yayla desteklenmiştir. İlave çelik veya lastik yay elemanları vs. nin frekansı işletme frekansına yakındır. Böylece sistemin güç ihtiyacından biraz tasarruf edilmiş olur. Şekil 121 de biyel kolu titreşim düzeni şeması görülmektedir.

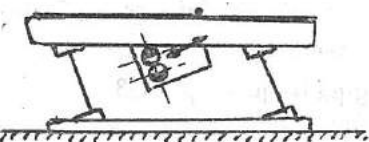


Şekil : 120b Mikro fırlatma hareketli vibratörün çalışma şeması.

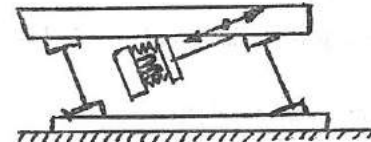


Şekil 121, Biyel kolu titreşim düzeni.

2. Zıt yönde devreden iki eksantrik kütlenin meydana getirdiği titreşimli taşıma düzeninin şeması Şekil 122 de görülmektedir. Eşit büyüklükte ve birbirinin  $180^\circ$  karşıtı iki büyük kütlenin zıt yönde dönmelerin meydana getirdiği titreşimlerin amplitudları  $0,5 \div 5$  mm ve frekansı  $15 \div 30$  Hz. dir. (50 Hz e kadarda olabilirler). Sistem yaprak veya silindirik yayla desteklenmiştir.



Şekil : 122, Eşit büyüklükte iki kütlenin ters devirleriyle elde edilen titreşimli hareketin şeması.



Şekil 123, Elektro mıknatıslı vibratör.

### 3 — Elektro mıknatıslı vibratörler :

Elektro mıknatısın göbeği (anker) sadece malzeme kanalı ile irtibatlı olmasına rağmen, serbest küteli bobin gövdesi ise bütün sistem ile (anker göbeği malzeme kanalı ve taşınan malzeme) ön gerilmeli bası yolları üzerinden irtibatlandırılmıştır. Elektromanyetik kuvvet, devreyi besleyen elektrik akımının karesiyle doğru orantılı olduğundan 50 Hzlik dış şebeke frekansı, sistemde 100 Hz lik bir frekans meydana getirir. Büyük vibratörlerde tek yönlü redresörler 50 Hz le titreşim de sağlanır. titreşim amplitudları  $0,95 \div 1$  mm. dir. Amplitudlar kolayca ayarlanır ve malzeme akış hızında gerilim regülatörüyle ayarlanır. Sistemi destekleyen yolların kanalın titreşimi üzerine bir tesiri yoktur. Sadece hareket yolunu sabit tutar.

Parçalı, kaba ve ince taneli, hatta toz halinde malzemeler (mekanik veya kimyasal etkisi olabilen malzemeler) genellikle 30 m. mesafeye kadar (çok nadiren 100 m. ye kadar) yatay veya az hafif eğik düzeyde taşınır. Saatte taşınan malzeme miktarı 500 ton/s. e kadar olabilir.

### E — MALZEMENİN KENDİ AĞIRLIĞI İLE TAŞINMASI :

a) Kayarak : Malzemeler meyilli veya düşey bir düzeyde kendi ağırlıklarıyle kayarak taşınır. Kaymanın meydana gelebilmesi için meylin eğim açısı  $\delta$ , sürtünme açısı  $\phi_s$  den daha büyük olmalıdır. ( $\operatorname{tg} \phi_s = \mu_s$ ;  $\mu_s$  = Sürtünme katsayısi).

Pratikte çelik saç hat üzerinde kaymayı sağlayan değerlerin şöyledir. Tahıl için  $30 \div 35^\circ$ , çuvallar için  $25 \div 30^\circ$ , parçanın şekline göre kömürler için  $30 \div 40^\circ$ , maden cevheri için  $\approx 45^\circ$ , tuzlar için  $\approx 50^\circ$  ve toz halindeki malzemeler için  $\approx 60^\circ$  dir.

Başlangıç hızı sıfır, yükseklik farkı  $h$ , eğim açısı  $\delta$  ve malzeme ile kayma yüzeyi arasındaki kayma katsayısı  $\mu_K$  olduğunda, malzemenin düşme anındaki hızı :  $V = \sqrt{2 \cdot g \cdot h (1 - \mu_K \cdot \operatorname{ctg} \delta)}$  dir.  $V = (\text{m/san.})$

#### b) Role hattı üzerinde taşıma :

Sağlardan veya profillerden meydana getirilen taşıyıcı iskelet üzerine sabit akslı roleler az aralıklarla tespit edilmiştir. Rolelerin ölçülerini normalştirilmiştir. Rulman yataklı rolelerle gerekli seçimin değeri  $2 \div 5\%$  tir. 1-3 m. uzunluktaki taşıyıcı iskelet blokları, sabit ayaklara sahip olup, yükseklikleri de ayarlanabilir. Her blok birbiri ile birleştirilerek bir hat meydana getirirler. Eğer taşıma hattı çok uzun olursa, malzeme, hat ortalarında zincir tahrikli rolelerle kaldırılarak kayması kolaylaştırılmış olur.

Bilyalar üzerinden elle itmek suretiyle sevk edilen, malzeme taşıma düzenleri de vardır.

Ruleli sevk hatları, bilhassa ambarlarda, paketleme istasyonlarında, atelyeler ve dökümhaneler de kullanılır.

### F — PNÖMATİK VE HİDROLİKLİ TAŞIMA TESİSLERİ :

Boru veya kanal içerisinde parçaların iletilmesini sağlamak için minimum hava hızının tespit edilmesi lâzımdır. Hava akımına bağlı olarak iki tip taşıma şekli vardır.

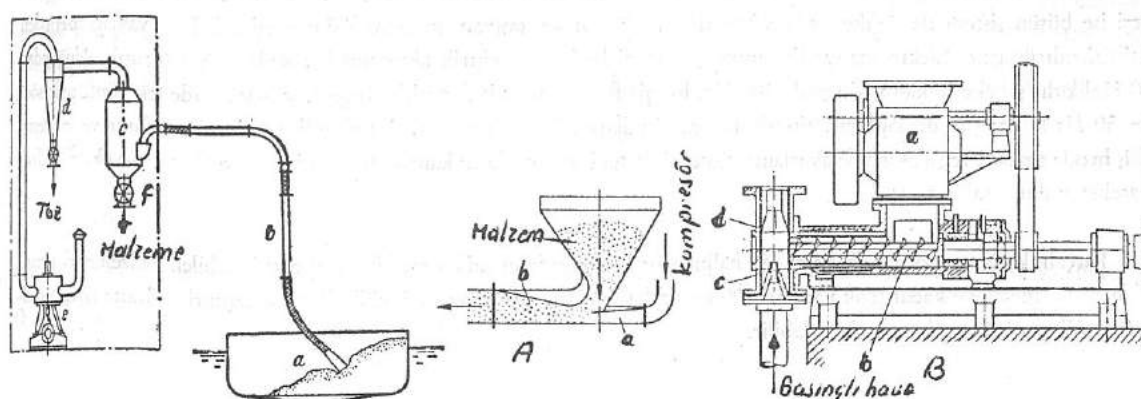
Emiş hava akımında sevk etme : Emme pompası taşıma hattının sonundadır. Malzemenin emilişi bir çok kanaldan olabilir ve toplama yerine nakledilir.

Basılan hava ile taşıma : Basınçlı hava taşıma hattının başından sevk edilir. Malzeme bir yerden birçok istasyona dağıtılabılır.

Emişli ve basınçlı hava tesisleri birbirini arkasına da kurulabilir. Bunlar, toz halinde, ince taneli ve küçük parçalı malzemelerin nakli için uygundur.

a) Emişli hava ile taşıma düzenleri :

Şekil 124 de bir emişli hava ile taşıma tesisinin şeması görülmektedir :



Şekil : 124, Emişli hava ile taşıma tesisinin şeması

A : Malzeme, kompresörden gelen direk hava akımına bırakılmıştır.  
B : Malzeme kanatlı rotor ve sonsuz vida üzerinden basınçlı havaya bırakılmaktadır.

a : Hortum emiş ağızı, b : Emiş borusu (hortumu), c : Ayırıcı; Hava akımının yön değiştirmesinden ve hacim büyümesi ile hava akış hızının biraz düşmesinden dolayı malzeme burada birikmeye başlar. Malzeme burada yığılmadan, hücreli (kanatlı) rotor f tarafından dökülür.

d : Kuru toz ayırıcı : Taşıyıcı hava burada tozdan arınlamaktadır. (c ve d bazan tek bir sisteme toplanabilir.) Emiş havasının temini vakum pistonlu pompa e ile sağlanmaktadır. ( $0,3 \div 0,7$  ata). Böyle bir tesis sabit veya seyyar olabilir.

Pompa olarak rotatif kompresörler, pistonlu kompresörler, santrifüj vantilatörler vs. ler kullanılır. Sistemdeki havanın sevk hızı, parçanın şekline, büyülüklüğine ve özgürlüğine bağlıdır. Parçaların taşınması için gerekli hava hızı oldukça yüksektir. ( $20 \div 40$ ) m/san.

Enerji ihtiyacı da oldukça büyektir. Mesela 120 mm. çapındaki boru içerisinde 20-25 m. yükseklikte kadar saatte 40 ton tahu hava emisi ile çeken sistemin tahrik miline vereceği güç yaklaşık olarak 1 Kwh/t dir. Enerji ihtiyacı büyük olmasına rağmen bazı önemli faydalari vardır : Kullanılması ve monte edilmesi kolaydır. Hacim itibarıyle az yer işgal eder. Sesiz ve toz meydana getirmeden çalışır. Gerektiğinde malzemeyi havalandırır ve soğutma tesiri yapar. (Kimyasal maddelerde). Malzeme yükleme elemanlarına ihtiyaç yoktur. Nakledilecek yatay mesafe 350 m. ye ve yükseklikte 45m. ye kadar olabilir. Tahu naklinde saatte taşınan azamı miktar  $150 \div 300$  t/s. dir.

b) Basınçlı hava ile taşıma tesisleri :

Giriş kısmında malzeme direkt olarak basınçlı hava akımına maruz bırakılmıştır.

Şekil 125, de taşınacak malzemelerin basınçlı havaya veriliş şekilleri görülmektedir.

Şekil 125 A : Kompresörden gelen hava a dar kanalından geçerken daha da hız kazanarak yukarıdan inen malzemeyi beraberinde sürüklüyor. Hava ve malzeme karışımı b diffüsöründen (gittikçe genişleyen boru) geçerek sevk edilir. Şekil 125 B: Malzeme, kanatlı (hücreli) rotor a üzerinden eşit miktarlarda, b helezoni (sonsuz vida) mil üzerine bırakılmaktadır. Sonsuz vida yoluyla ilerleyen malzeme basınçlı hava tesirine maruz bırakılır. c dar kanalından daha yüksek hızla çıkışan hava, d boşluğu içerisinde malzeme ile karışarak yukarı doğru sevk edilir. Borular içerisinde istenilen yere gönderilir.

Basınçlı hava, vantilatörler, döner pistonlu (rotatif) kompresörler vs. lerle temin edilir. Vantilatörler 300 mm. WS ye kadar (Tablo 18 iletiminde 100 m. mesafeye kadar), Döner pistonlu kompresörler :  $0,3 \div 0,8$  atü. (Malzeme sevk azamı 100 t/s ve mesafe 500 m. ye kadardır). Toz halindeki malzemelerde basınçlı sonsuz vida ile: Basınç:  $0,5 \div 3$  atü. dür. (mesafe 1500 m. ye kadar ve malzeme miktarı 100 t/s e kadardır).

Kullanıldığı yerler : Mahsul siloları içinde, çimento fabrikalarında, kuvvet merkezlerinde kömür tozu naklinde, kimyasal fabrikalarda kullanılır. Enerji ihtiyacı oldukça fazladır ve boruların kıvrıntı yerlerinde aşınma fazladır.

b) Tazyikli su içerisinde iletme :

Boru veya kanallar içerisinde malzemeler tazyikli su ile istenilen mesafelere kadar taşınırlar. Pompanın emiş borusu yoluyla malzeme basma borusuna sevk edilerek taşınırlar. Buna da emme ve basma yoluyla taşıma denilir.

Su ile daha ağır ve büyük parçaların iletilmeleri mümkün değildir. Taşıma mesafesi çok büyük olabilir. Mesela ince veya küçük parçalı kömürler 170 km. mesafelere kadar sevk edilmektedirler.

**G — UYGULAMALAR :**

**1 — Tutma freninin hesabı :**

Taşıma gücü 3t ve kaldırma yüksekliği  $h = 27$  m. olan bir liman parça taşıma kreyinine ait tutma freninin, diskin işinması dikkate alınarak hesaplanması isteniyor.

$$\text{Ortalama indirilen yük} = \frac{2}{3} \times \text{tam yük} \quad : Q = 2000 \text{ kg.}$$

$$\text{Ortalama indirme yolu} = \text{kaldırma yolu} = \frac{2}{3} \times \text{kaldırma yüksekliği} \quad : h = 20 \text{ m.}$$

$$\text{Kreyinin saatteki ortalama hareket adedi} \quad : z = 40$$

$$\text{Relativ çalışma süresi} \quad : ED = \% 40$$

$$\text{Kaldırma sisteminin mekanik randimani} \quad : \eta = 0,85$$

$$\text{İndirme hızı} = \text{kaldırma hızı.} \quad : v = 66 \text{ m/dak.}$$

$$\text{Kaldırma motorunun gücü: } N = \frac{3000 \times 66}{4500 \times 0,85} \quad : N = 52 \text{ PS}$$

$$\text{Motor devri} \quad : n = 570 \text{ d/dak.}$$

Tablo : 18 Tutma frenli sistemde kaldırma motoruna uygun fren disklerinin tanımı :

Çap (mm)	genişlik (mm)	ağırlık (kg)	Savurma mo- menti (kg m <sup>2</sup> )	Atalet momi- (kg ms <sup>2</sup> )	n devrindeki kaldırma motor gücü (Parentez içindeler 100°C de sevk edilen ısı (kcal/s))		
					n=570	n=730	n=960
250	80	16	0,7	0,018	7 (197)	8 (219)	9 (248)
320	100	29	1,96	0,05	12 (330)	13 (370)	15 (426)
400	125	53	5,5	0,14	21 (610)	24 (680)	28 (790)
500	160	90	15,7	0,40	37 (1055)	42 (1195)	50 (1388)
630	200	135	43,2	1,10	67 (1925)	77 (2196)	— (2570)
800	250	203	86,4	2,20	122 (3486)	144 (4011)	— (4730)

Tablodan mevcut sistem için seçilen diskin çapı 630 mm ve genişliği 200 mm. dir.

1. Saatte meydana gelen ısı miktarı :

$$E = Q \cdot h \cdot z \cdot \eta \cdot \frac{1}{427} = 2000 \cdot 20 \cdot 40 \cdot 0,85 \cdot \frac{1}{427} = 3180 \text{ kcal/s. veya diğer bir formülle göre :}$$

$$E = 316 \cdot N \cdot \eta^2 \cdot ED \cdot X = 316 \cdot 52 \cdot 0,85^2 \cdot 0,40 \cdot 0,67 = 3170 \text{ kcal/s.}$$

1.2. Sevkedilen ısı miktarı : En yüksek ısı  $t_1 = 135^\circ\text{C}$  (fren diskinde) dış hava ısısı  $t_2 = 35^\circ\text{C}$

a) Şua yaymak yoluyla : (Radyosyonla)

$$E_1 = [C_1 \cdot F_1 + C_2 \cdot F_2] \times \left[ \left( \frac{273+t_1}{4} \right)^4 - \left( \frac{273+t_2}{4} \right)^4 \right]; \quad F_1 = \text{Pabuçların örtmediği yüzey}$$

Çift pabuçun kavrama açısı olan  $2 \times 70 = 140^\circ$  de,  $C_1 = 1,3$  ( $F_1$  yüzeyine ait ısı geçiş katsayısı)

fren pabuçları tarafından örtülmeyen yüzey :  $F_1 = 4,3$  ( $F_2$  yüzeyine ait ısı geçiş katsayısı)

$$F_1 = \pi \cdot 0,63 \cdot 0,20 \cdot \frac{360-140}{362} = 0,242 \text{ m}^2$$

$C$  = Katsayıları değerleri termodinamik kitaplardan alınabilir.

Pabuçlar tarafından çevrilen yüzey:

$$F_2 = 2 \cdot \frac{\pi}{4} \cdot 0,63^2 = 0,625 \text{ m}^2$$

$$E_1 = (1,3 \cdot 0,42 + 4,3 \cdot 0,625) \cdot \left[ \left( \frac{273+135}{100} \right)^4 - \left( \frac{273+35}{100} \right)^4 \right] = 570 \text{ kcal/s.}$$

b) Konveksiyonla sevkedilen ısı : (sistem dururken)

$$E_2 = \alpha_1 \cdot F_3 (t_1 - t_2) (1-ED); \quad \alpha_1 = 5 \text{ kcal/m}^2 \cdot \text{C.h.} = \text{Isı geçirme katsayısı}$$

$$F_3 = F_1 + F_2 + 0,6 \cdot \pi \cdot 0,16 = 0,242 + 0,625 + 0,7 =$$

$$F_3 = 1,167 \text{ m}^2$$

$$E_2 = 5 \cdot 1,167 \cdot (135-35) (1-0,4) = 350 \text{ kcal/s.}$$

c) Fren diskinin hareketi esnasında, ısı geçirme katsayısı fren disk ve çevre hava arasındaki relativ hız nedeniyle artmaktadır. Relativ hız  $V_o$  ya eşitse, Nusselt'e göre ısı geçirme katsayısı  $\alpha_2 = 6,14 \cdot V_o^{0,78}$  dir.  $V_o = \pi \cdot D \cdot n / 60$  dir.

Buna göre bir saatte zoraki akışla sevkedilen tüm ısı miktarı :

$$W_3 = ED \cdot (t_1 - t_2) \cdot 6,14 \cdot \left[ F_4 \cdot \left( \frac{\pi \cdot D \cdot n}{60} \right)^{0,78} + 2 \cdot f_1 \cdot V_1^{0,78} + 2 \cdot f_2 \cdot V_2^{0,78} + \dots + 2 \cdot f_n \cdot V_n^{0,78} \right]$$

$F_4$  = Fren disk kranzının iç ve dış yüzeyleri ( $\text{m}^2$ ) ve onun hızı  $V_o = \pi \cdot D \cdot n / 60$  dir.  $f_1, f_2, f_3, \dots, f_n$  : Diskin her bir küçük yüzeyleri ve  $V_1, V_2, V_n$  bunlara ait ortalama hızlar. Yukarıdaki probleme basitçe  $f_1$  ve  $f_2$  yüzeylerine ayırmaya yapılmıştır.

$$F_4 = \pi (0,63 \cdot 0,2 + 0,6 \cdot 0,16) = 0,7 \text{ m}^2$$

$$f_1 = \frac{\pi}{4} (0,6^2 - 0,4^2) = 0,125 \text{ m}^2$$

$$f_2 = \frac{\pi}{4} \cdot (0,4)^2 = 0,125 \text{ m}^2$$

$$V_o = \pi \cdot D \cdot n / 60 = \pi \cdot 0,63 \cdot 570 / 60 = 18,8 \text{ m/san.}$$

$$V_1 = \frac{\pi \cdot 0,5 \cdot 570}{60} = 14,9 \text{ m/san.}$$

$$V_2 = \frac{\pi \cdot 0,2 \cdot 570}{60} = 6 \text{ m/san. Böylece ısı kaybı :}$$

$$W_3 = 0,4 (135-35) \cdot 6,14 \cdot [0,7 \cdot 18,8^{0,78} + 3,14 \cdot 14,9^{0,78} + 0,25 \cdot 6^{0,78}] = 246 (6,9 + 2,59 + 1,01) = 2580 \text{ kcal/s.}$$

$$\text{Saatte sevkedilen tüm ısı miktarı} = W_1 + W_2 + W_3 = 570 + 350 + 2580 = 3500 \text{ kcal/s.}$$

Sonuç gösteriyorki, sevkedilen ısı miktarı, meydana gelen ısı miktarından daha büyüktür. (Frenlemede meydana gelen ısı miktarı 3180 kcal/s tir). Dolayısı ile fren diskinin en yüksek temperatürü  $t_1 = 135^\circ\text{C}$  in altındadır. Ferodo-Fibre balatası  $180^\circ\text{C}$  a kadar ısıya emniyetle dayandığından seçilen fren disk, işletme şartlarına uygundur. soğutucu kanatların öngörülmesi tavsiye edilir.

### 1.3 — Fren balatasının ömrü hesabı :

$$\text{Her frenlemedeki iş} : A = \frac{2000 \cdot 20 \cdot 0,85}{270000} = 0,126 \text{ PSs}$$

$$\text{Aşınabilecek balata miktarı} : = 2 \cdot \text{bo.lo.s} = 2 \cdot 19 \cdot 38,5 \cdot 0,6 = 882 \text{ cm}^2$$

$$\text{Her saatte 40 frenleme olduğuna göre saat olarak ömrü} : = 35000 / 40 = 875 \text{ saat}$$

$$\text{Frenleme adedine göre ömrü} : Z = 2 \cdot \text{bo.lo.s} ; q = \text{aşınma katsayısı} = 0,2 \text{ cm/ps} \cdot \text{s} \\ \cdot A = 880^2 / 0,2 \cdot 0,126 = 35000$$

$$8 \text{ saat bir iş günü kabul edildiğinde gün olarak balata ömrü} : = 875 : 8 = 109 \text{ gün.}$$

### 2 — Bir çift pabuçlu tutma freninin hesabı :

Bir gezer kreyn ünitesi için tutma freninin tayini istenmektedir. Kreynin taşıyacağı azamî yük  $Q=10$  ton ve kaldırma hızı 30 m/dak. (elektrikli fren şalterli) Kreynin işletme tarzı ağır. (150 frenleme/saat)

$$\text{Kaldırma ünitesinin mekanik randimanı} : \eta = 0,8$$

$$\text{Kaldırma motorunun gücü} : N = \frac{10000 \cdot 30}{4500 \cdot 0,8} = 83,5 \text{ PS}$$

$$\text{Kaldırma motorunun devri} : n = 570 \text{ d/dak.}$$

Tablo : 19 Normal işletmede tutma fren disklerinin tanzimi :

(Randiman % 80, çalışma normal, yük değişken, ters yönde çalışmada fren tesiri yok). Fren disk motor mili üzerindedir.

Fren diskleri		n devrinde kaldırma motorunun gücü (PS)		
Çap (mm)	Genişlik (mm)	n = 570 d/dak.	n = 730	n = 960
160	50	9	10	11
200	65	13	15	16
250	80	19	21	24
320	100	31	35	40
400	125	52	59	67
500	160	85	96	112
630	200	135	156	—
800	250	220	260	—

Tablo 19 a göre, 500 mm. çapında fren disk öngörüldüğünde, normal işletme için  $n=570$  d/dak. da 85 PS gücünde bir kaldırma motoru uygun ve yeterlidir. Ağır işletmede motorun gücü % 20 nispetinde daha az, elektrikli fren şalterlide % 20 daha fazla olmalıdır.

b)  $P_o \cdot v$  değerinin kontrolü :

$$\text{Motor nominal momenti} : M = 71600 \cdot \frac{83,5}{570} = 10500 \text{ kg. cm.}$$

$$\text{Ferodo-fibre balatasının sürtünme katsayısı} : \mu = 0,45$$

$$\text{Fren pabucunun sürtünme yüzeyi} : b_o = 15 \text{ cm}; \quad l_o = 29 \text{ cm.}$$

$$\text{Sıkıştırma basıncı} : P_o = \frac{M}{D \cdot \eta} \cdot \frac{1}{\text{bo.lo}} = \frac{10500}{50 \cdot 0,45} \cdot \frac{1}{15 \cdot 29} = 1,07 \text{ kg/cm}^2$$

$$\text{Çevresel hızlar} : v = \frac{\pi \cdot D \cdot 570}{60} = 14,9 \text{ m/san.}$$

$$\text{Buna göre} : P_o \cdot v = 1,07 \cdot 14,9 = 16 \frac{\text{kg.m}}{\text{cm}^2 \cdot \text{san.}}; \quad \left[ (P_o \cdot v) \text{ emn.} = 12 \div 25 \frac{\text{kg.m}}{\text{cm}^2 \cdot \text{san.}} \text{ dir.} \right]$$

c) Fren balatasının ömrü kontrolü (Elektrikli frenleme kullanılmaksızın)

Her frenlemedeki iş :  $A = M_F \cdot \frac{\pi \cdot n}{30} \cdot t_b \cdot \frac{1}{2}$ ; Frenleme süresi  $t_b$  kaldırma ve indirmede farklıdır.

1) Kaldırmada :

$$\text{Toplam atalet momenti} = \Sigma J = 1,4 \text{ kg.m.san}^2$$

$$t_{b1} = \frac{\Sigma I \cdot \omega}{M_F + M_Y}; \quad \text{Yük momenti} : M_Y = 67 \text{ kgm}; \quad \omega = \frac{\pi \cdot n}{30}$$

$$M_F = v \cdot M \cdot \eta^2 = 2,5 \cdot 20500 \cdot 0,64 = 168 \text{ kgm.}$$

$$v = 2 \div 3 = \text{Emniyet faktörü (tutma frenlerinde)}$$

$$t_{b1} = \frac{1,4 \cdot \frac{\pi \cdot 570}{30}}{168+67} = 0,355 \text{ san.}$$

2) İndirmede :

$$t_{b2} = \frac{\Sigma J \cdot \omega}{M_F - M_Y} = \frac{1,4 \cdot 59,5}{168-67} = 0,82 \text{ san. dir.}$$

$$\text{Ortalama süre} : t_b = \frac{1}{2} (t_{b1} + t_{b2}) = \frac{1}{2} (0,355 + 0,82) = 0,59 \text{ san. dir.}$$

$$\text{Frenleme işi} : A = M_F \cdot t_b \cdot \frac{\pi \cdot n}{30} \cdot \frac{1}{2} = 168 \cdot 59,5 \cdot 0,59 \cdot \frac{1}{2} = 2980 \text{ kgm.}$$

$$A = \frac{2980}{270000} = 0,011 \text{ PSs}$$

Aşınabilir balata hacmi :  $Q = 2 \cdot b_o \cdot l_o \cdot s = 2 \cdot 15 \cdot 29 \cdot 0,5 = 435 \text{ cm}^3$ ;  $s$  : balatanın azamı aşınma derinliği

$$\text{Frenleme adedi} : Z = \frac{Q}{q \cdot A} = \frac{435}{0,2 \cdot 0,011} = 198000; q = \text{Aşınma katsayısi} = 0,2 \text{ cm /PSs.}$$

Saatte 150 frenlemeye göre :

$$\text{Saat olarak ömrü} : 198000 / 150 = 1320 \text{ saat}$$

8 saatlik işletmeye göre gün

$$\text{olarak balata ömrü} : 1320 : 8 = 165 \text{ gün.}$$

d) Isınmanın kontrolü (elektrikli frenlemesiz)

Her frenlemede ısı miktarı :  $2980 : 427 = 7 \text{ kcal.}$

$$\text{150 frenlemede meydana gelen} \\ \text{ısı miktarı} : 7 \cdot 150 = 1050 \text{ kcal/s}$$

$100^\circ\text{C}$  da sevk edilen ısı miktarı :  $1055 \text{ kcal/s}$  (Tablo 18 ye göre) Yukarıdaki neticeye göre, fren diskleri  $100^\circ\text{C}$  den daha fazla isınmış olamaz.

e) Fren çözücüsünün tespiti :

$$\text{Birim yüzeyel sıkıştırma kuvveti} : p = \frac{M_F}{D \cdot \mu} = \frac{16800}{50 \cdot 0,45} = 745 \text{ kg.}$$

$\lambda$  Fren aralığı değeri öyle olmalıdır, fren balatasi ile disk arasındaki emniyet mesafesi bulunmalıdır.

Tablo : 20; Fren disk çapına bağlı olarak  $\lambda$  hava aralığı değeri ;

Fren disk çapı D (mm)	160	200	250	320	400	500	630	800
Hava aralığı (cm)	0,1 ÷ 0,15			0,15 ÷ 0,20			0,18 ÷ 0,25	

$$\text{Fren çözücüsünün işi} : A = 2,2 \cdot \frac{M_F}{D \cdot \mu} \cdot \lambda \cdot 2,2 \cdot 745 \cdot 0,20 = 330 \text{ kgcm.}$$

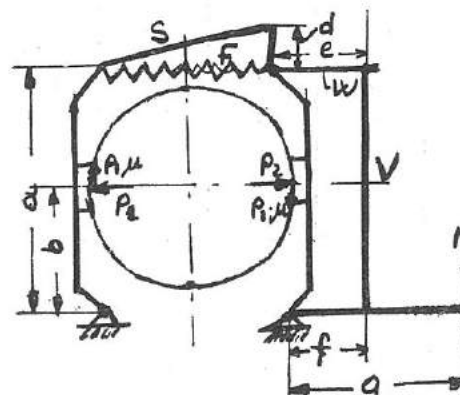
Aşınma dikkate alınarak, fren çözücüsünün çözme işi bu değerin % 25 üzerinde olmalıdır. O halde işin değeri en azından :  $330 \cdot 1,25 = 420 \text{ kgcm. dir.}$

Uygun olarak seçilen fren mıknatısının kursu :  $h = 5 \text{ cm}$  ve çekirdek ağırlığı  $K = 22 \text{ kg}$ . olsun. Çekme kuvveti :

$$Z = \frac{420}{5} = 84 \text{ kg.}$$

f) Fren kolumnun çevrimi : (Şekil 125) :  $5 \cdot 0,8 = 4 \text{ cm}$ . fren çözücüsünün kurs boyu ile fren kolu çevrimi üzerinden iki parçacık için  $2 \cdot \mu = 2 \cdot 0,2 = 0,4$  hava aralığına erişilir. Fren kolumnun tüm çevrim oranı :

$$i = \frac{g}{f} \cdot \frac{e}{d} \cdot \frac{a}{b} = \frac{4}{0,4 \cdot 1,1} = 9,1 \text{ dir.}$$



Şekil : 125 Fren şeması

Paydadaki 1,1 değeri fren kolumnun ölü (boş) hareketi için düşülmüştür.

Frenin çizimi ile şu değerler elde edilir :

$a = 515 \text{ mm}$ ;  $b = 270 \text{ mm}$ ;  $d = 60 \text{ mm}$ ;  $e = 205 \text{ mm}$

$f = 260 \text{ mm}$ . Fren çözücüsünün tesir noktası için  $g$  uzunluğu ise:

$$g = 9,1 \cdot \frac{270}{515} \cdot \frac{60}{205} \cdot 260 = 363 \text{ mm.}$$

g) Fren yayının tesbiti :

$$P \text{ kuvvetinin değeri} : P = F \cdot \frac{a}{b} + V \cdot \frac{a}{d} \cdot \frac{a}{b};$$

$V$  çekici çubuğuuna aktarılan fren çekirdeği ve kol düzeninin ağırlığının değeri

$$V = (K + G_{çub}) \frac{g}{f} = (22 + 3) \frac{363}{260} = 35 \text{ kg.}; (G_{çub} = \text{kol (çubukların) ağırlığı})$$

$$\text{Böylece} F \text{ değeri} : F = P \cdot \frac{b}{a} - V \cdot \frac{e}{d} = 745 \cdot \frac{270}{515} - 35 \cdot \frac{205}{60} = 390 - 119 = 271 \text{ kg.}$$

Seçilen yay: Tel çapı :  $d = 12 \text{ mm}$ ; ortalama sarılım yarı çapı :  $r = 3,6 \text{ cm}$ ; ve tesirli sarım sayısı :  $n = 12$  dir.

271 kg. lik ön gerilim için gerekli yay yolu :

$$f = \frac{64 \cdot n \cdot r^3}{\delta^4} \cdot \frac{F}{G} = \frac{64 \cdot 12 \cdot 3,6^3}{1,2^4} \cdot \frac{271}{850000} = 5,5 \text{ cm}$$

Buna çözüm esnasındaki yay kursu değeride eklenir :

$$f_1 = 2 \cdot \lambda \cdot \frac{a}{b} = 2 \cdot 0,2 \cdot \frac{515}{270} \approx 0,8 \text{ cm.}$$

Böylece tüm yay kursu :  $5,5 + 0,8 = 6,3 \text{ cm. dir.}$  En büyük yay gerilimi :  $271 \cdot \frac{6,3}{5,5} = 310 \text{ kg. dir.}$

$\tau = 4000 \text{ kg/cm}^2$  için yayın taşıma gücü :

$$F_{\max} = \frac{\pi \cdot \delta^3}{16 \cdot r} \cdot 4000 = \frac{\pi \cdot 1,2^3}{16 \cdot 3,6} \cdot 4000 = 377 \text{ kg. dir.}$$

O halde, yay gayet emniyetli seçilmişdir.

Tablo : 21 Fren disk çapları ve hareket motor güçlerinin tanzimi. (satte 80÷100 frenleme ve randiman  $\eta=0,80$ )  
Fren diskleri motor mili üzerinde.

Hareket frenleri için :

Fren diskleri		Hareket motor gücü (PS) olarak								
Çap	Genişlik	n = 570 d/dak. Hareket hızları (m/dak)			n = 730 d/dak. Hareket hızları (m/dak)			n = 960 d/dak. Hareket hızları (m/dak)		
		90	120	180	90	120	180	90	120	180
250	80	18	13	9	20	15	10	22	17	11
320	100	29	23	15	33	26	17	37	29	19
400	125	50	40	27	56	45	30	65	52	35
500	160	80	65	45	90	73	50	105	85	59
630	200	130	110	80	150	125	90	—	—	—
800	250	210	180	138	250	210	160	—	—	—

Hareket - Frenlerinde, saatte z frenleme adedinde sevk edilen ısı miktarı şu bağıntıyla hesaplanır :

$$W_{\text{Tam}} = z \left[ \frac{G}{g} \cdot \frac{V^2}{2} - w_1 \cdot \frac{V \cdot ts}{2} \right] \cdot \eta \cdot \frac{1}{427}; \quad w_1 = \text{Hareket direnci (kg)}; \\ V = \text{hareket hızı (m/san)}; \\ ts = \text{frenleme süresi (san)}; \\ \eta = \text{Tahrik sisteminin randimanı.}$$

Balata çeşitleri :

- a) Ferodo-fibre ..... :  $\mu = 0,4 \div 0,6$  .....  $p_{\min} = 0,5 \text{ kg/cm}^2$ ;  $p_{\max} = 3 \text{ kg/cm}^2$
- b) Ferodo-asbest ..... :  $\mu = 0,3 \div 0,35$  .....  $p_{\min} = 0,5$  .....  $p_{\max} = 6 \text{ kg/cm}^2$
- c) Jurid ..... :  $\mu = 0,25 \div 0,30$  .....
- d) Emora-Buna çeliği ..... :  $\mu = 0,25 \div 0,35$  .....  $p_{\max} = 10 \div 15 \text{ kg/cm}^2$

3. Bir yükleme köprüsünün kepçeli arabasının hareket motorunun hesaplanması isteniyor. Kreynin ağırlığı 80 ton ve taşıma gücü 16 tondur. Hareket hızı 3 m/s; hareket sahası 50 m. dir. Saatlik çalışma sıklığı 40 kaymali yataklı ve elektrik frenlidir.

### 3.1 — Norm tablolarından motor seçimi :

Yükleme köprüleri için (kepçeli işletme) motorun ED değeri olarak  $ED=40 \div 60\%$  öngörülmüştür ve nominal güçte tam yükteki atalet gücün % 150-180 değerindedir. (Kreynin kullanılma yerlerine göre motorların ED değerleri normalleştirilmiştir.)

Motorun tam yükteki atalet gücü :

$$Nv = \frac{(G+Q)}{1000} \cdot \frac{w \cdot V}{75 \cdot \eta} ; \quad w = 20 \text{ (kg/t.)} = \text{Hareket direnci} = 15 \div 20$$

(Hareketli kreyn olduğunda  
W değeri formüle konulur.)

$$Nv = \frac{80000+15000}{1000} \cdot \frac{20 \cdot 3}{75 \cdot 0,80} = 95 \text{ (PS)}$$

$$N_{\text{nom}} = 1,70 \cdot Nv = 1,7 \cdot 95 = 161 \text{ PS}$$

### 3.2) İvmeli güce göre motor seçimi :

$$N_{\text{nom}} = \frac{Ni+Nv}{1,7} \text{ ile } \frac{Ni+Nv}{2,0} \text{ arasında.}$$

$$\text{İvme gücü : } Ni = \frac{Q+G}{g} \cdot \frac{V}{ta} \cdot \frac{V}{75 \cdot \eta} \cdot \beta$$

ta = 10 saniye alınmıştır = ivme süresi.

$$Ni = \frac{80000+15000}{9,81} \cdot \frac{3}{10} \cdot \frac{3}{75 \cdot 0,8} \cdot 1,2 \quad \beta = \text{Dönen kütlelerin tesir faktörü} = 1,1 \div 1,2$$

$$Ni = 174 \text{ PS}$$

$$\text{Buna göre } N_{\text{nominal}} = \frac{174+95}{1,8} = 150 \text{ PS}$$

### 3.3 — Termik yönden gerekli gücün hesabı :

tb = 10 san. deki frenleme gücü :

$$N_F = (Ni-Nv) \cdot \eta^2 = (174-95) \approx 50 \text{ PS}$$

İvme ve frenleme esnasında araba, ivme ve gecikme eşit değerde kabul edildiğinde ortalama yarı atalet hızına sahiptir. Buna göre bu zaman içerisinde yolun değeri  $(ta+tb) \cdot \frac{V}{2} = (10+10) \cdot \frac{3}{2} = 30 \text{ m. geride olur.}$

Atalet için daha 20 m. lik hareket yolu kaldığına göre, atalet süresi t in değeri :  $t_1 = 20/3 = 6,7 \text{ san. dir.}$

Tüm harenetin devamı :  $t_1 = 10+6,7+10 = 26,7 \text{ san.}$

Saatte 40 defa iş yapıldığında, iş süresi :  $T = \frac{3600}{40} \cdot 100 = 90 \text{ san. dir.}$  Buna göre relativ çalışma süresi

ED nin değeri :  $ED = \frac{26,7 \cdot 2}{90} \cdot 100 = 60\% \text{ dir.}$

Hareketin devamı sırasında ortalama karesel güç :

$$N_{\text{ort}} = \sqrt{\frac{(N_i + N_v)^2 \cdot t_a + N_v^2 t_b + N_f^2 \cdot t_b}{t}}$$

$$N_{\text{ort}} = \sqrt{\frac{(174+95) \cdot 10 + 95^2 \cdot 6,7 + 50^2 \cdot 10}{26,7}} = 174 \text{ PS} \text{ dir}$$

Relativ yük dikkate alınarak gerçekli termik güç :  $N_{\text{th}} = N_{\text{ort}} \cdot r$  dir. Burada  $r$  tablodan alınacak bir değerdir.

$$\text{Relativ yük } g_R = \frac{G + (Q + G)}{2(Q + G)} = \frac{80000 + 95000}{2 \cdot 95000} = 0,92$$

Tablo 22 : Relatif yük'e bağlı olarak  $r$  değerleri (kaldırma sistemlerinde)

Relatif yük $g_R$	0,55	0,60	0,70	0,80	0,90	1,0
$r = \frac{\text{nominal güç}}{\text{Tam yük atalet gücü}}$	0,74	0,74	0,76	0,83	0,91	1,0

Tablo 23 : Hareket eden sistemlerde  $\frac{N_{\text{nom}}}{N_v}$  değerleri :

Hız V (m/san.)	0,5	1,0	1,5	2,0	2,5	3,0
Tam devir erme süresi $t_a$ (san.)	5,0	6,0	7,0	8,0	9,0	10,0
$\frac{N_{\text{nom}}}{N_v}$	1,0	1,0	1,2	1,3	1,4	1,5
Kaymал yataklı: $w=20 \text{ kg/t}$	1,0	1,0	1,2	1,3	1,4	1,5
Rulmanlı yataklı: $w=7 \text{ kg/t}$	1,45	2,0	2,5	2,8	3,0	3,2

Tablo 22 den :  $g_R = 0,92$  için  $r \approx 0,93$  dir. Buna göre  $N_{\text{th}} = 174 \cdot 0,93 = 162 \text{ PS}$  dir.

150 PS lik ivme gücüne göre tespit edilen motor küçük olacaktır. Rüzgâr tesiri dikkate alınmaksızın motor, ısmaya göre en azından ED = % 60 da 162 PS lik gücü sahip olmalıdır.

### 3.4 — Rüzgâr basıncı dikkate alınarak ivme dramunun kontrolü :

Rüzgâra karşı yüzey  $15 \text{ m}^2$ , rüzgâr basıncı  $w = 15 \text{ kg/m}^2$  olduğunda, tüm rüzgâr basınç kuvveti :  $15 \cdot 15 = 225 \text{ kg. dir.}$

$$\text{Rüzgâra karşı atalet gücü : } N_v = 95 + 225 \cdot \frac{3}{75 \cdot 0,8} = 95 + 11 = 106 \text{ PS} \text{ dir.}$$

Nominal gücü 162 PS olarak yukarıda tespit edilen motorun ortalama gücü :  $162 \cdot 1,8 = 292 \text{ PS}$  dir.

Sadece ivme gücü :  $292 - 106 = 186 \text{ PS}$  dir.

$15 \text{ kg/m}^2$  rüzgâr basıncında ivme zamanı süresi :

$$t_a = \frac{G+Q}{g} \cdot \frac{V^2}{186} \cdot \frac{3}{75 \cdot 0,8} = 9,5 \text{ san. dir.}$$

İvme zamanı süresi önceden tahmin edilen 10 san. den daha küçüktür.

### 3.5 — $15 \text{ kg/m}^2$ lik rüzgâr basıncı dikkate alınarak gereklili termik gücün kontrolü :

Burada, arabanın dolu kepçe ile rüzgâra karşı ve boş kepçe ile rüzgârla beraber hareket ettiği hususun dikkate alınmıştır.

a) Dolu kepçe ile rüzgâra karşı hareket ettiğinde :

$$\text{Hareket süresi } 9,5 \text{ san. ivme anındaki hareket yolu : } 9,5 \cdot \frac{3}{2} = 14 \text{ m. dir.}$$

$$t_b = 9,5 \text{ san. de ivme gücü, } N'_i = (186 - 95 - 11) \cdot 0,82 = 51 \text{ PS;}$$

$$\text{Fren yolu } 14 \text{ m. olduğunda atalet yolu : } 50 - 14 - 14 = 22 \text{ m. dir.}$$

$$\text{Atalet süresi : } 22:3 = 7,3 \text{ san. Atalet gücü : } 106 \text{ PS}$$

b) Boş kepçe ile rüzgârla hareket ettiğinde :

$$\text{Atalet gücü : } \frac{(80000 + 7500) \cdot 20 \cdot 3}{1000 \cdot 75 \cdot 0,8} - 11 = 87,5 - 11 = 76,5 \text{ PS}$$

$$\text{Yalnız ivme gücü : } 292 - 76,5 = 215,5 \text{ PS}$$

$$\text{İvme süresi : } t_a = \frac{87500}{9,81} \cdot \frac{32}{215,5} \cdot \frac{1,2}{75 \cdot 0,8} = 7,5 \text{ san.}$$

$$\text{İvme esnasında hareket yolu : } 7,5 \cdot \frac{3}{2} = 11 \text{ m.}$$

$$t_b = 9,5 \text{ san. ve } 14 \text{ m. fren yolunda fren gücü : } N''_F = (186 \cdot \frac{87500}{95000} - 87,5) \cdot 0,82 + 11 = 65 \text{ PS}$$

$$\text{Atalet yolu : } 50 - 11 - 14 = 25 \text{ m.}$$

$$\text{Atalet süresi : } 25 : 3 = 8,3 \text{ san.}$$

Rüzgârla ve rüzgâra karşı hareketin süresi esnasında motorun ortalama gücü :  $N_{\text{ort.}} =$

$$\sqrt{\frac{292^2 \cdot 9,5 + 106^2 \cdot 7,3 + 51^2 \cdot 9,5 + 292^2 \cdot 7,5 + 76,5^2 \cdot 8,3 + 65^2 \cdot 9,5}{9,5 + 7,3 + 9,5 + 7,5 + 8,3 + 9,5}}$$

$$N_{\text{ort.}} = 178 \text{ PS}$$

Buna göre nominal gücü  $N_{\text{nom}}$  en azından 178 PS ve relativ çalışma süresi ED = % 60 olan bir motor seçilebilir.

### 4. Malzeme nakli için kullanılan bir açık saha kreyinin, kreyin hareket motorunun hesabı istenmektedir.

Kreyin taşıma gücü 10 ton, kendi ağırlığı 15 ton ve hareket hızı  $1,5 \text{ m/san.}$  dir. Ortalama hareket sahası 40 m; saatte ortalama iş sıklığı 16'dır. Kreyin kayma yataklı ve mekanik frenlemelidir.

#### 4.1 — Kabaca motor seçimi :

Açık malzeme sahalarında kullanılan küçük güçlü kreyler için verilen değerler : ED = % 25;

$$N_{\text{nom}} = (100 \div 130) \% \times \text{tam yük atalet gücü (1,5 m/san. hareket hızında)}$$

$$\text{Tam yük atalet gücü : } N_v = \frac{(G+Q) \cdot w \cdot V}{1000 \cdot 75 \cdot \eta} = \frac{(15000 + 10000)}{100} \cdot \frac{20 \cdot 1,5}{75 \cdot 0,8} = 12,5 \text{ PS}$$

$$N_{\text{nom}} = 1,15 \cdot 12,5 = 14,5 \text{ PS}$$

#### 4.2 — İvme gücüne göre motor seçimi :

$$N_i = \frac{(G+Q)}{g} \cdot \frac{V}{ta} \cdot \frac{V}{75 \cdot \eta} \cdot \beta ; \beta = 1,2 \text{ Dönem kütüllerin tesir faktörü.}$$

$$ta = 7 \text{ san. alındığında : } N_i = \frac{15000 + 10000}{9,81} \cdot \frac{1,5}{7} \cdot \frac{1,5}{75 \cdot 0,8} \cdot 1,2 = 16,4 \text{ PS}$$

$$N_{\text{nom}} = \frac{N_i + N_v}{1,8} = \frac{16,4 + 12,5}{1,8} = 16 \text{ PS}$$

#### 4.3 — Gerekli termik gücün kontrolü :

$$N_{\text{ort.}} = \sqrt{\frac{(Ni + Nv)^2 \cdot ta + Nv^2 t_b + N_f^2 \cdot tb}{t}}$$

Mekanik yolla frenleme yapıldığında, frenleme gücü  $N'_F = 0$  dir.

Hareket süresi  $ta = 7$  san. esnasında geride bırakılan yol :  $t_1 \cdot \frac{V}{2} = 7 \cdot \frac{1,5}{2} = 5,25 \text{ m.}$  Mekanik frenlemede gecikme, hareket anındaki ivmeye eşitse, frenleme zamanında da eşit yol yapılır. O halde atalet için  $40 - 10,5 = 29,5 \text{ m.}$  yol arası kalmaktadır. Buna göre atalet zamanı süresi :  $t_1 = 29,5 : 1,5 = 20 \text{ san. dir.}$

Motorun hareket esnasında çalışma zamanı süresi :  $t = 7+20 = 27$  san. dir. Bir tam iş süresi ise  $2 \cdot 27 = 54$  san. dir. Saatte 16 iş yapıldığına göre, bir iş devresinin karşılığı olan zaman :  $3600 : 16 = 225$  san.

Buna göre motorun relatif çalışma süresi :  $ED = \frac{54}{225} \cdot 100 = 24\%$  dir. ED değeri ise % 25 alınmıştır.

$$\text{Ortalama güç : } N_{\text{ort}} = \sqrt{\frac{(16,4+12,5)^2 \cdot 7+12,5^2 \cdot 20}{27}} = 18,2 \text{ PS}$$

relatif yük gr =  $\frac{15000+10000}{2 \cdot 15000} = 0,83$ . Buna göre tablo 22 den okunacak r değeri r = 0,83 tür. Böylece termik yönden yeterli motor gücü :  $N_{\text{th}} = N_{\text{ort}} \cdot r = 18,2 \cdot 0,83 = 15,1 \text{ PS}$  dir.

#### 4.4 — Rüzgâr basıncı dikkate alınarak ivme durumlarının kontrolü :

Rüzgâr basıncı w = 15 kg/m<sup>2</sup> kabul edilmektedir. Rüzgâra karşı yüzey ise 19 m<sup>2</sup> dir. Rüzgâra karşı atalet güç :

$$N_{\text{v}} = 12,5 + 285 \cdot \frac{1,5}{75 \cdot 0,8} = 12,5 + 7,1 = 19,6 \text{ PS} \text{ tir.}$$

16 PS lik nominal güçle, ivme esnasında motorun ortalama gücü :

$1,8 \cdot 16 = 28,8 \text{ PS}$  ve sadece ivme gücü ise :  $28,8 - 19,6 = 9,2 \text{ PS}$  tir. 15 kg/m<sup>2</sup> rüzgâr basıncında ivme süresi :

$$t_a = \frac{G+Q}{g} \cdot \frac{V^2}{9,2} \cdot \frac{\beta}{75 \cdot 0,8} = \frac{15000+10000}{9,81} \cdot \frac{1,5^2}{9,2} \cdot \frac{1,2}{75 \cdot 0,8} = 12,5 \text{ san.}$$

Bu değer 15 kg/m<sup>2</sup> lik rüzgâr basıncı için emniyetli gözükmemektedir.

#### 4.5 — 15 kg/m<sup>2</sup> lik rüzgâr basıncı dikkate alınarak gereklî termik gücün kontrolü :

Kreynin yüklü olarak rüzgâra karşı ve yüksüz, rüzgârla birlikte hareket ettiğini kabul edelim.

a) Yük altında rüzgâra karşı hareket :

Hareket süresi : 12,5 san; ivmeli hareket yolu :  $12,5 \cdot \frac{1,5}{2} = 9,4 \text{ m. dir. Gecikmedeki hareket yolu } 3,1 \text{ m. dir}$

(Rüzgâr frenleme tesiriyle, mekanik frenlenmeye yardımcı olmaktadır.)

Ataletteki hareket yolunun değeri :  $40 - 9,4 - 3,1 = 27,5 \text{ m. dir}$

Atalet zamanı :  $t_1 = 27,5 : 1,5 = 18,3 \text{ san. dir.}$

b) Yüksüz rüzgârla hareket ettiğinde :

$$\text{Atalet gücü : } 12,5 \cdot \frac{15}{10+15} - 7,1 = 0,4 \text{ PS}$$

İvmektedeki ortalama güç : 28,8 PS

Sadece ivme gücü :  $28,8 - 0,4 = 28,4 \text{ PS.}$

$$\text{İvme süresi : } t_a = \frac{15000}{9,81} \cdot \frac{1,5^2}{28,4} \cdot \frac{1,2}{75 \cdot 0,8} = 2,4 \text{ san.}$$

$$\text{İvmeli hareket yolu : } 2,4 \cdot \frac{1,5}{2} = 1,8 \text{ m}$$

Geçikmedeki hareket yolu : 7,2 m

Ataletteki hareket yolu :  $40 - 1,8 - 7,2 = 31 \text{ m.}$

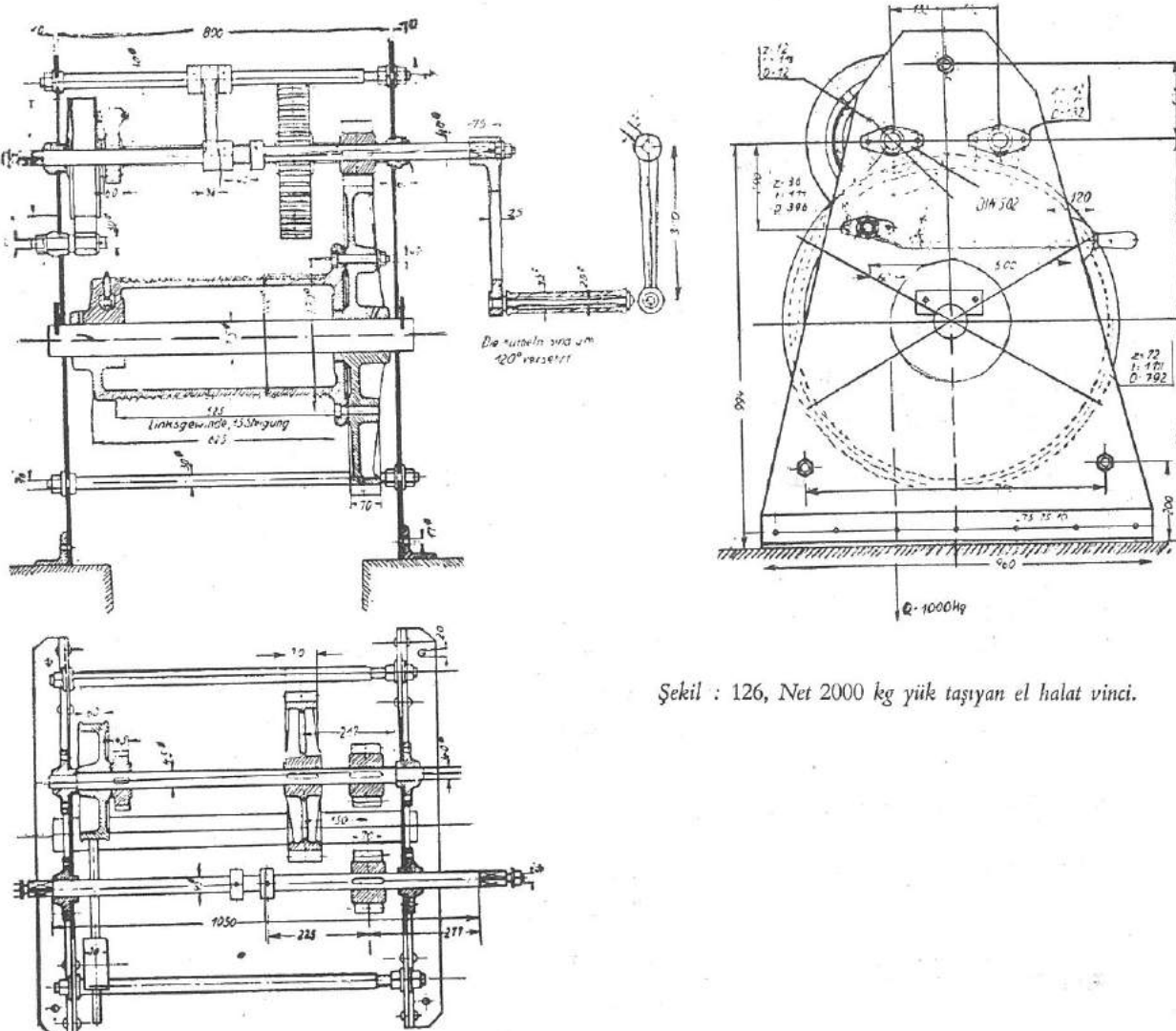
$$\text{Atalet süresi : } t_1' = \frac{31}{1,5} = 20,7 \text{ san.}$$

Rüzgâra karşı ve rüzgârla birlikte hareket ettiğinde, motorun hareket esnasındaki ortalama karesel (karekök) gücü :

$$N_{\text{ort}} = \sqrt{\frac{28,8^2 \cdot 12,5 + 19,6^2 \cdot 18,3 + 28,8^2 \cdot 2,4 + 0,4^2 \cdot 20,7}{12,5 + 18,3 + 2,4 + 20,7}} = 19,0 \text{ PS}$$

Bulunan bu değer, çeşitli işletme durumlarına göre en büyük güç değeri olduğundan, motorun bu gücüne göre seçimi uygundur. O halde listeden motorun seçiminde, en azından gücü 19 PS ve ED si % 25 olan motor seçilmelidir.

5. Aşağıda şekil 126 da görülen 2000 kg. net yük taşıyan vincin hesabi isteniyor.



Sekil : 126, Net 2000 kg yük taşıyan el halat vinci.

a) Halat ve tambur hesabı :

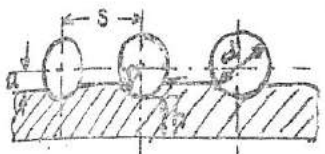
$$d = \text{Halat çapı} = k \cdot \sqrt{P} ; \quad k = 0,30 \text{ (Tablo 13 den)} \\ P = Q = 2000 \text{ kg.} \\ d = 0,30 \cdot \sqrt{2000} = 13 \text{ mm.}$$

Halat çapı bulunduktan sonra norm tablolardan uygun halat seçilir. Yukarıdaki değere göre seçilen halat : B 13 × 160 DIN 655 tir.

$$\text{Tambur çapı : } D = C \cdot \sqrt{P} \quad C = 6 \div 7 = \text{katsayı. (Tablo 13 den)} \\ D = 6,5 \cdot \sqrt{2000} = 300 \text{ mm.}$$

Bu tambur çapına göre tambur yivlerinin hatvesi  $s = 15 \text{ mm. dir. (tablo : 24)}$

Tablo : 24; Halat çapına bağlı olarak s,r,a değerleri (Şekil 127)



Halat Ø	10	13	16	19	22	27	33	40	44
s (mm)	12	15	18	22	25	31	37	45	49
r (mm)	5,7	7	9	10,5	12	15	18	22	24
a (mm)	1	1,5	2	2,5	3	3,5	4	5	6

Şekil : 127

$$30 \text{ m. kaldırma yüksekliği için tambur üzerindeki halat sarım sayısı : } n = \frac{30}{0,3 \cdot \pi} + 2 = 34 \text{ dir.}$$

$$\text{Tambur uzunluğu : } l = n \cdot s = 34 \cdot 15 = 510 \text{ mm.}$$

$$\text{Uygulanın tambur uzunluğu : } l = 525 \text{ mm. dir.}$$

b) Çevrim oranı :

$$\text{Yük momenti : } M_Y = Q \cdot \frac{D}{2} = 2000 \cdot \frac{30}{2} = 30000 \text{ kgcm.}$$

Manivela üzerinden üç işçinin tatbik ettiği kuvvet momenti : (Bir işçi 35 kg. kuvvet uyguluyor).

$$M_k = 3 \cdot 35 \cdot 20 = 21000 \text{ kgcm.}$$

Sistemin tüm randimanı  $\eta_T = 0,8$  tahmin edildiğinde çevrim oranı  $\iota_T$  :

$$\iota_T = \frac{30000}{2100 \cdot 0,8} = \frac{300}{16,8} = 17,8 \text{ seçilen tüm çevrim oranı : } \iota_T = 18 \text{ dir.}$$

Herbir dişli çifti için öngörülen çevrim oranları :

$$\iota_1 = 6 \text{ ve } \iota_2 = 3 \text{ olsun.}$$

Sistemin randimanının kontrolü : tambur için  $\eta = 0,96$ ; Dişli çiftleri için :  $\eta_1 = \eta_2 = 0,92$

$$\text{Tüm randiman : } \eta_T = \eta \cdot \eta_1 \cdot \eta_2 = 0,96 \cdot 0,82 \cdot 0,92 = 0,81$$

c) Dişli hesapları : Dişiler dökümdendir.

Tambur dişli grubu : seçilen değerler :  $m = 11, Z_1 = 12$  diş sayısı  
 $b = 7 \text{ cm. } Z_2 = 72 \dots$

$$\sigma_{\text{tüm}} = \frac{U}{b \cdot m} \cdot q \cdot \frac{1}{f} \quad U = \text{çevresel kuvvet} \\ q = \text{katsayı (Tablo 24 den okunabilir)} \\ f = \text{işletme faktörü} \\ m = \text{modül, : } b = \text{dişli genişliği}$$

Tablo : 25;  $20^\circ$  düz dişiler için

q değerleri : a) Dıştan dişiler için

Z=Diş sayısı	10	11	12	13	14	15	16	17	18	21	24	28	34	40	50	65	80	100÷00
p =	52	49	46	43,5	41	39	37,5	36	35	33	32	31	30	29	28	27	26	25

b) İç yüzeyden dişiler için

Z = Diş sayısı	00	100	100	70	50	38	30	24	20
q =	25	24	23	22	21	20	19	18	17

Tablo : 26,  $f = 1$  için  $\sigma_{\text{EMN}}$ . Değerleri

Malzeme	(St.52.11)	(St.50.11)	(St.60.11)	(St.70.11)	(Si.Mn.St) 75÷80kg/mm <sup>2</sup>	(Si.Mn.St) 85—90kg/mm <sup>2</sup>
$\sigma_{\text{EMN}}$ (kg/nm <sup>2</sup> )	900	1000	1200	1350	1550	1700

$$\text{Tambur dişisinin çevresel kuvveti : } U = \frac{M_Y}{m \cdot \frac{Z_2}{2} \cdot \eta_T} = \frac{30000}{11 \cdot \frac{72}{2} \cdot 0,96} = 790 \text{ kg.}$$

q = Değeri tablo 25 den :

$$Z_1 = 12 \text{ dişli için } q_1 = 46 \\ Z_2 = 72 \dots q_2 = 26 \text{ elde edilir.}$$

Tablo : 27; İşletme faktörü f nin değerleri

Kaldırma ve hareket sistemi	Döner kreyn sistemlerinde Kreyn ve köprü hareket sistemlerinde	f değeri
Kullanılması	Yüklenmesi	
Devamlı sık sık	tam yüklenme ekseriya tam y.	Devamlı sık sık yüklenme
sık sık	nadiren » »	normal kullanma
normal	normal	1,00
nadiren	ekseriya tam.y.	nadiren kullanma
nadiren	nadiren » »	nadiren kullanma

Elle tarihlili vinç sistemi için f değeri (tablo 26 dan) :  $f = 1,25$  tir. Buna göre :

$$\text{Pinyon dişli için : } \sigma_{\text{tüm}} = \frac{790}{7 \cdot 11} \cdot 46 \cdot \frac{1}{1,25} = 378 \text{ kg/cm}^2$$

$$\text{Büyük dişli için : } \sigma_{\text{tüm}} = \frac{790}{7 \cdot 11} \cdot 26 \cdot \frac{1}{1,25} = 215 \text{ kg/cm}^2$$

Bu değerler, malzemenin emniyetli  $\sigma$  değerlerine nazaran oldukça küçük olduğundan uygundur.

Tablo : 28 dişilerin işlenmesi ve yağlanması :

Taksimat dairenin çevresel hızı	İşlenmesi	Yağlanması
0,8 m/san.yekadar	Dişler temiz dökülmüş veya frezelenmiş	Gres yağlama Gres veya daldırılmış yağlama.
4 m/san » »	Dişiler tezgâhta daha temiz işlenmiş.	Daldırılmış yağlama başılı yağı.
12 m/san » »	Dişiler hassas işlenmiş ve taşlanmış.	
12 m/san. üzerinde	Dişiler taşlanmış	

Tablo : 29 Dişli genişliğinin taksimata oranı

Dişli tipi	Yataklamaların tipi (dişlinin)	Dişli genişliği (cm)
Dişiler tezgâhlar da temiz işlenmiş	Rulmanlı veya tercihan kayma yataklı.	3 × modul
	Diğer normal dişli kutuların daki yataklamalar ve benzeri Kreyen konstrüksiyon eleman ve taşıyıcıların yataklanmaları	2,5 × modul
Dişli temiz dökümlü	Kreyen konstrüksiyon eleman ve taşıyıcıların yataklanmaları	1,5 × modul
		1,0 × modul

Tablo : 30; Pinyon dişlerinin diş sayısı ( $\alpha = 20^\circ$  de)

İşletme tipi	Minimum diş sayısı
Büyük hızla dönen dişler	$Z_{\min} = 16$
Orta hızda dönen dişler	$Z_{\min} = 14$
Küçük hızda dönen dişler	$Z_{\min} = 10 \div 12$

d) Dişli mili üzerindeki milin hesabı :

$v = 2$  emniyetinde fren momenti :

$$M_F = \frac{30000}{t_1} v \cdot \left(2 - \frac{1}{\eta_T}\right) \cdot \left(2 - \frac{1}{\eta_1}\right) = \frac{30000}{6} \cdot 2 \cdot 0,96 \cdot 0,91 = 8740 \text{ kgcm.}$$

Fren diskinin çapı  $D = 280$  mm. seçildiğinde en büyük band kuvveti :

$$S_1 = \frac{M_F \cdot 2}{D} \cdot \frac{e^{\mu z}}{e^{\mu z} - 1} : \quad \alpha = 20^\circ = \text{sarılım açısı} \quad \therefore \quad e^{\mu z} = 4,8$$

$$S_2 = \frac{8740 \cdot 2}{28} \cdot \frac{4,8}{4,8 - 1} = 790 \text{ kg.}$$

Seçilen bandın ölçütleri :  $6 \times 0,2$  cm. dir. Perçin çekimi dikkate alınarak band gerilmesi :

$$\sigma_c = \frac{790}{6 \cdot 0,2 - 2 \cdot 0,6 \cdot 0,2} = \frac{790}{0,96} = 820 \text{ kg/cm}^2 \text{ dir.}$$

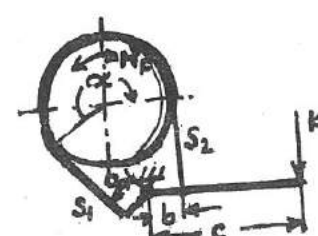
Bu gerilim değeri yüksek olmasına rağmen el vinçleri için emniyetlidir.

$$S_2 \text{ değeri ise : } S_2 = \frac{S_1}{e^{\mu z}} = \frac{790}{4,8} = 165 \text{ kg. dir.}$$

Her iki yönde fren tesiri yapan bandlı diferansiyel fren için gerekli K fren ağırlığı (kuvveti)

$$K = \frac{S_2 \cdot 16 - S_1 \cdot 3}{50} = \frac{2640 - 2370}{50} = 54 \text{ kg. dir.}$$

(Şekil 128 : b = 10; c = 50; a = 3 cm dir).



(Şekil 128, Diferansiyel bandlı fren)

e) Dişli millerinin ve tambur aksı, bunlarla ilgili formüllerle hesaplanabilir.

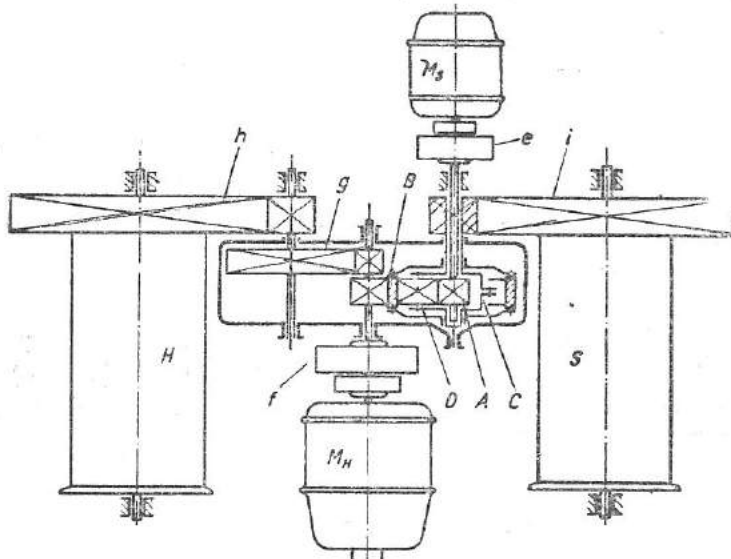
f) Kaldırma hızları :

Manivela hızı  $0,6 \text{ m/san.}$  olduğunda, manivela milinin devri :

$$n_m = \frac{0,6 \cdot 60}{2 \cdot \pi \cdot 0,37} = 15,5 \text{ d/dak. dir.}$$

$$\text{Tambur devri : } n_T = \frac{n_m}{t_T} = \frac{15,5}{18} = 0,86 \text{ d/dak.}$$

$$\text{Kaldırma hızı : } V = 0,86 \cdot \pi \cdot 0,3 = 0,81 \text{ m/dak. dir.}$$



Şekil : 129, Planet dişli çarklı bir kavrama vinç sisteminin ana prensip şeması.

$M_h$  : Kaldırma motoru,  $M_s$  : Kapama motoru,  $S$  : Kapama tamburu,  $H$  : Tutma tamburu,  $A$  : Güneş dişliği,  $B$  : Dişli,  $C$  : Planet dişli mili ve tutucusu,  $e$  : kapama freni,  $f$  : kaldırma freni,  $g$  : Dişli çarkı,  $h$  : tutma tamburu dişleri,  $i$  : kapama tamburu dişleri.

a) Halat çapı : Kapama tamburu halatları tüm kavrama kepçesinin yükünü taşımaktadırlar. Her iki halattan birine isabet eden yük  $P : 2500 \text{ kg. dir.}$

Kavramalı döner kreynleri Tablo 12 ye göre III ve IV. gruba ait olduklarından Tablo 13 den seçilen k değeri (halat için)  $k = 0,35$  dir. Buna göre halat çapı  $d = 0,35 \cdot \sqrt{2500} = 17,5 \text{ mm. dir.}$

Buna göre seçilen halat tipi B 18×160 DIN 655. Bu halatlardan biri sağ, diğeri sol sarılmıştır. Böylece her iki halatın kıvrımları birbirine zıt yönde tesir ederek kavrama kepçesinin dönmesine mani olur.

Tutma halatları, sadece kavramanın açılış anında tam yükte, diğer durumlarda ise boş kepçenin ağırlığı (Taşıyıcı kuvvetin 50 % si) ile yüklenir. Takribi değer,  $S = 2500 \cdot 0,75 = 1875 \text{ kg}$  ve  $d = k \cdot \sqrt{P} = 0,35 \cdot \sqrt{1875} = 15,2 \text{ mm.}$

Seçilen tel halat : B 16 × 160 DIN 655; Biri sağ diğeri sol sarılmış halat.

b) Tambur değerleri :

$$\text{Çap} : D = C \cdot \sqrt{P}$$

$$C \text{ değeri (Tablo 13, grup IV 2)} : C = 8 \text{ ile } 9 \text{ arası}$$

$$\text{Kapama tamburu, en küçük çap} : D = 8 \cdot \sqrt{2500} = 400 \text{ mm.}$$

$$\text{Tutma tamburu, en küçük çap} : D = 8 \cdot \sqrt{1875} = 350 \text{ mm.}$$

Kaldırma yüksekliğinin büyülüüğü dikkate alınarak kapama tamburunun çapı 500 mm. seçilmiştir. Tutma tamburunun tam halat çapı değeri, halatların eşit hareket hızları dikkate alınarak, dişli çevrim oranı tespit edildikten sonra belirlenecektir.

$$32 \text{ m. kaldırma yüksekliğinde halat sarım sayısı : } n = \frac{32}{\pi \cdot 0,5} \pm 2 = + 21+2 = 23$$

Yivler mesafesi :  $s = 2 \text{ mm. (Tablo : 24)}$

Kapama tamburunun halatla sarılan uzunluğu :  $l = 2 \cdot n \cdot s = 2 \cdot 23 \cdot 22 = 1010 \text{ mm.}$

Tambur devir sayısı :  $n_T = 80/0,5 \cdot \pi = 51 \text{ d/dak.}$

Kaynak kontraksiyonlu tamburun et kalınlığı (yiv altında) :  $h = 11 \text{ cm.}$

Tamburun et kalınlığı (yivlerin haricinde) :  $h' \approx 20 \text{ mm.}$

c) Motor seçimi :

$$\begin{aligned} \text{Kaldırma motorunun gücü : } N_V &= 5000 \cdot 80/4500 \cdot \eta_{ges} ; \eta_{tüm} = 0,8 \text{ için} \\ N_V &= 5000 \cdot 80/4500 \cdot 0,8 = 111 \text{ PS.tir.} \end{aligned}$$

Tablo 9 dan seçilen motor tipi : SSW hR-1871-10 dur. 40 % ED gücü 100 PS. relatif yük değeri tablo 22 ye göre  $\eta_R = 0,80$  olduğundan, nominal güç değeri, tam yük atalaet gücünün ancak 83 % dir. Motorun çekme (kavrama) momenti, tam yük momentinin yine de iki katıdır; dolayısıyla işinme durumu kontrol edilmelidir. Motor devri  $n = 580 \text{ d/dak.}$  Kapama motorunun gücü  $N_V/2 = 56 \text{ PS}$  alınabilir.

d) Çevrim oranları : Kaldırma motoru ile kapama tamburu arasındaki tüm çevrim oranı

$$\frac{\text{Motor devri}}{\text{Tambur devri}} = \frac{580}{51} = 11,4$$

Kapama motoru ile kapama tamburu arasındaki tüm çevrim oranı

$$\frac{\text{Motor devri}}{\text{Tambur devri}} = \frac{715}{51} = 14$$

$$\text{Planer dişli çarkı için } J = \frac{\text{Yuvarlak dişlinin içten diş sayısı B}}{\text{Güneş dişlinin dış sayısı A}} = 3,5$$

Böylece planet dişli çarkının çevrim oranı, kaldırma motoru ve B yuvarlak dişli üzerinden : [Kapama motoru duruyor]

$$t_B = \frac{J+1}{J} = \frac{3,5+1}{3,5} = 1,285,$$

Kapama motoru, A güneş dişli üzerinden tahrik ettiğinde (Kaldırma motoru ve B dişli durmakta) planet dişli çarkının çevrimi :

$$t_A = J+1 = 3,5+1 = 4,5$$

$$\text{Kapama tambur diş grubu çevrimi : } t_2 = \frac{t_2 \text{ tüm}}{t_A} = \frac{14}{4,5} = 3,12$$

$$\text{Kaldırma motoru diş grubu-B dişlinin dış yüzeyinden : } t_1 = \frac{t_1 \text{ tüm}}{t_B \cdot t_2} = \frac{11,4}{1,285 \cdot 3,12} = 2,85$$

Tutma tambur diş grubu h :  $t_4 = 3,12$

$$\text{Kaldırma motoru diş grubu g : } t_3 = \frac{t_1 \text{ tüm}}{t_4} = \frac{11,4}{3,12} = 3,66$$

Planet dişli çarkının dişleri :

Dişli hesaplarında, aşınma hesaplarına genellikle en küçük dişinden başlandığından bu problemede de güneş dişinden başlanılmıştır.

a) Kaldırma motoruyla tahrik edildiğinde : yük, planet dişleri üzerinden tahrik edilerek kaldırılmaktadır :

$$\text{Kaldırma motorunun nominal momenti: } M_{TM} = 71620 \cdot \frac{111}{580} = \underline{13700 \text{ kgcm}}$$

$$\text{B Dişlisindeki moment : } M_{TB} = 13700 \cdot t_1 \cdot \eta' = 13700 \cdot 2,85 \cdot 0,98 = \underline{38300 \text{ kgcm.}}$$

Dişli basınç kuvvetleri güneş dişli ile B dişlisinin iç yüzeyinde aynı olduğundan moment oranları çaplarının oranı gibidir :  $M_{TA} = \frac{M_{TB}}{J} = \frac{38300}{3,5} = 11000 \text{ kgcm. dir.}$

Kapama motoru güneş dişisini tahrik ettiğinde de aynı moment meydana geleceğinden, kapamada, kapama halatlarına en büyük çekme kuvvetleri tesir eder.

Kaldırma motorunun tahrikinde güneş dişisinin devri :  $n_A = 0 \text{ dir.}$

$$c - \text{planet kolumnun devri : } n_C = \frac{580}{t_1 \cdot t_B} = \frac{580}{2,85 \cdot 1,285} = 159 \text{ d/dak.}$$

Relatif devir, planet dişli ve c kolu arasında :  $n_C - n_A = 159 \text{ d/dak.}$

$$\text{Planet dişli D nin kendi eksenin etrafındaki devri : } n_D = \frac{\text{Güneş dişli çapı}}{\text{Planet dişli çapı}} = 159 \cdot \frac{1}{\frac{3-1}{2}} = 127 \text{ d/dak dir.}$$

Dişli malzemeleri (Si-Mn — St75-80) olduğunda emniyetli yüzeysel sıkışma Pem. :

$Pem = 9300 \text{ kg/cm}^2$  (159 d/dak.da) } Bu değerler ilgili (Pem-devir) diagramlarından okunurlar. Malzemenin  
 $Pem = 9500 \gg (127 \gg \gg)$  } cinsine bağlıdır. Bunlardan en küçük değer alınır.

$$\text{Kepçeli işletmeler için işletme faktörü } f = 0,8 \text{ dir. (Tablo 27), Böylece } bdG^2 = 5720000 \cdot \frac{M_{TA}}{P^2 \text{ cm}} \cdot \frac{t+1}{t+0,14} \cdot$$

$\frac{1}{f}$  bağıntısından güneş dişisine ait  $bd^2 G$  hesaplanır.

$$t = \frac{\text{D dişisinin çapı}}{\text{Güneş dişisinin çapı}} = \frac{(3-1)/2}{1} = \frac{(3,5-1)/2}{1} = 1,25 \text{ dir. Buna göre :}$$

$$bdG^2 = 5720000 \cdot \frac{11000}{9300^2} \cdot \frac{1,25+1}{1,25+0,14} \cdot \frac{1}{0,8} = 1470 \text{ cm}^3 \text{ dir.}$$

B) Kapama motoru üzerinden tahrik edildiğinde :  $M_{TA} = 11000 \text{ kg cm.}$

güneş dişisinin devri :  $n_A = 715 \text{ d/dak.}$

$$c - \text{kolumnun devri: } n_C = \frac{715}{J+1} = \frac{715}{3,5+1} = 159 \text{ d/dak.}$$

Güneş dişli ve C kolu arasındaki relatif devir :  $n_A - n_C = 715 - 159 = 566 \text{ d/dak.}$

$$\text{Planet dişisinin kendi eksenin etrafındaki devri : } n_D = 556 \cdot \frac{1}{J-1} = 556 \cdot \frac{1}{2} = \underline{445 \text{ d/dak.}}$$

Si-Nn-st 75-80 malzemeleri için emniyetli sıkışma değerleri :

$Pem = 7600 \text{ kg/cm}^2$  (556 d/dak. da) } ilgili diagramlardan  
 $Pem = 7999 \gg (445 \gg \gg)$  }

Kapama motoru üzerinden tahrik edildiğinde işletme faktörü  $f = 1$  dir. (Tablo 27). Çünkü en büyük yük ancak kapama kursunun sonunda meydana gelmektedir. Böylece

$$bdG^2 = 5720000 \cdot \frac{11000}{7600^2} \cdot \frac{1,25+1}{1,25+0,14} \cdot \frac{1}{1} = \underline{1770 \text{ cm}^3 \text{ dir.}}$$

Bu değer daha büyük olduğundan dişinin ölçülendirilmesi bu değere göre yapılır. (Burada :

$b = \text{Güneş dişisinin genişliği} \text{ (cm)}$

$d = \text{Güneş dişisinin taksimat dairesi çapı} \text{ (cm)}$

γ) Dişli sayısı, dişli genişliği ve taksimatın seçimi :

Taksimat dairesinin seçiminde dikkat edilecek husus, planet dişlerinin rulmanlı yataklarla yataklanmış olmalıdır. Uygun rulmanlar, hesabı yolla rulman kataloglarından seçilir. Mesela seçilen silindirik rulmanın iç çapı 50 mm ve dış çapı 110 mm. olduğunda, planet dişlisinin en küçük taksimat dairesi çapı 150 mm alnabilir. Bu değere göre güneş dişlisinin en küçük çapı da  $150 : 1,25 = 120$  mm. dir.

Seçilen değerler : Modul m = 5; dişli sayısı  $Z_A = 24$ , dişli genişliği (Tablo 29 e göre)  $2,5 \cdot m = 2,5 \cdot 5 = 12,5$  cm. dir.

$$\text{Mevcut } b \cdot d^2 = 12,5 \cdot \left( \frac{5 \cdot 24}{10} \right)^2 = 1800 \text{ cm}^3 \text{ hesaplanan değerden biraz büyük.}$$

Planet dişli :  $Z_D = 24 \cdot 1,25 = 30$  diş,

B - dişli iç yüzündeki diş sayısı :  $Z_B = 24 \cdot 3,5 = 84$

Dişli genişliği bütün dişlerde aynı.

ε) Mukavemet değerinin kontrolü :

$$\text{Güneş dişli : Çevresel kuvvet : } \cup = \frac{M_{tA} \cdot 20}{m \cdot Z_A} = \frac{11600}{6} = 1840 \text{ kg.}$$

$Z_A = 24$  için q değeri (Tablo 25) :  $q = 32$

$$\sigma_{T\text{üm}} = \frac{V}{b \cdot m} \cdot q = \frac{1840}{12,5 \cdot 5} \cdot 32 = 940 \text{ kg/cm}^2 \quad (f = 0,8 \text{ için } \sigma_{EMN} = 1550 \cdot 0,8 = 1240 \text{ kg/cm}^2)$$

Planet dişli de Si. Mn.St 75-80 malzemesinden olduğundan, onun dayanıklığı da kâfi değerdedir.

ε) B — Yuvarlak dişli iç yüzeyi :  $Z_B$  değeri = 84 için  $q = 22$  ;

$$\sigma_r = \frac{\cup}{b \cdot m} \cdot q = \frac{1840}{12,5 \cdot 5} \cdot 22 = 650 \text{ kg/cm}^2; f = 0,8 \text{ ve St60 çeliği için } \sigma_{EM} = 1200 \cdot 0,8 = 960 \text{ kg/cm}^2$$

Diğer dişli gruplarına ait hesap neticeleri aşağıdaki tabloda verilmiştir.

Dişli çarkları	Pinyon-daki moment (kg/cm)	Pinyon-daki devri (d/dak)	Çevrim	Malzeme		(1) PEM (kg/cm <sup>2</sup> )	(2) bderf <sub>1</sub> (cm <sup>3</sup> )	Modul m mm.	Dişli sayısı Pinyon dişli	Dişli genişliği (cm)	$\sigma_{T\text{üm}}$ (kg/cm <sup>2</sup> )	$\sigma_{EMN}$ (kg/cm <sup>2</sup> )
				Pinyon dişli	Karşılık dişli							
Motor-dişli B	13700	580	2,85	St70	St60	6600 (7300)	2900	6	30/85	10	790	1080
Kapama motor dişli i	47500	159	3,12	St60	Stg. 15.81	(7500) (6800)	9270	10	25/78	15	810	960
Kaldırma motor dişli grubu g	6850	580	3,66	St70	Stg 60.81	(6600) (6500)	1380	5	22/81	12	1380	1690
Tutma tamburu dişli grubu h	24000	159	3,12	St60	Stg 52.81	(7500) (6800)	4700	8	23/72	15	1380	1500
											1160	1130

(1) Üst değerler pinyon dişli, alt değerler büyük dişli için.

(2) » » » » » » » » » »

9) Tutma tamburunun tam çapının hesabı :

Bütün çevrim oranları dişli sayıları ile tespit edildiğinden, tutma tamburunun çapında tam olarak hesaplanabilir. kaldırma motoru ile tahrik edildiğinde her iki tamburun çevresel hızlarının eşit olması şartından :

$$580 \cdot \frac{1}{85} \cdot \frac{\frac{24}{84}}{\frac{24}{84} + 1} \cdot \frac{1}{78} \cdot 500 \cdot \pi = 580 \cdot \frac{1}{81} \cdot \frac{1}{72} \cdot D \cdot \pi,$$

$$D = 500 \cdot \frac{30}{85} \cdot \frac{84}{84+24} \cdot \frac{25}{78} \cdot \frac{81}{25} \cdot \frac{72}{23} = 500 \cdot 1,0140 = 507,0 \text{ mm.}$$

h) Tüm randiman kontrolü : Tüm randiman değeri, aşağıdaki değerlerden teşekkür etmiştir.

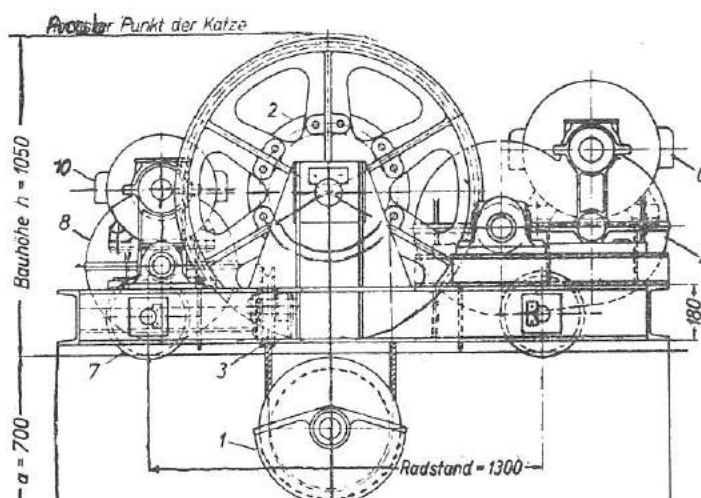
Vinç kolu makarasının randimanı (rulmanlı yatak)	$\eta_{m1} = 0,98$
Yön değiştirme » » (rulmanlı yatak)	$\eta_{m2} = 0,98$
Tamburun randimanı (gresli yağlama) (kayma yatakh)	$\eta_T = 0,96$
Tamburun randimanı (kayma yataklı)	$\eta_1 = 0,95$
Motor-dişli grubunun randimanı (rulmanlı yataklı)	$\eta_2 = 0,98$
Planet dişli çarkının randimanı (rulmanlı yataklı)	

Planet dişlisinin randimanı  $\eta_u$  : (tahrik, C-kranz dişli üzerinden olduğunda) :

$$\eta_u = \frac{J + \eta_o^2}{J + 1} = \frac{3,5 + 0,98^2}{3,5 + 1} = 0,99; \quad \eta_o = \text{herbir dişli grubunun randimanı}$$

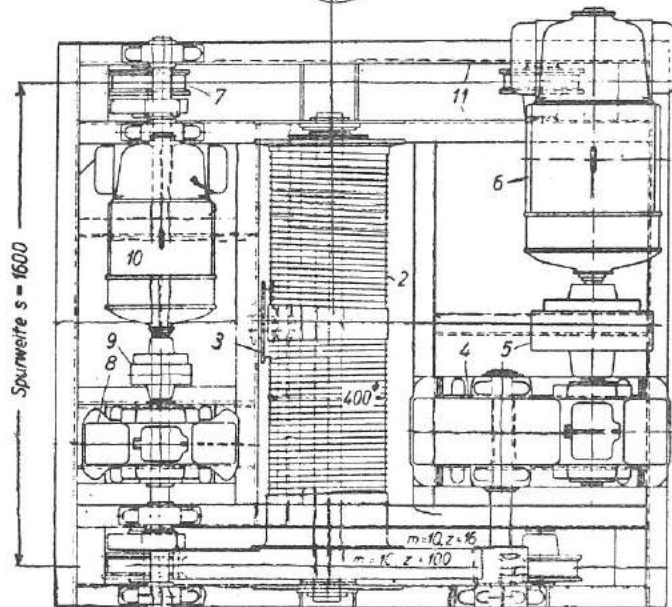
Böylece tüm randiman değeri :  $\eta_{T\text{üm}} = 0,98 \cdot 0,98 \cdot 0,96 \cdot 0,95 \cdot 0,98 \cdot 0,99 = 0,85$

Bu netice, tahmini olarak alınan 0,80 değerinden daha elverişlidir.



Şekil : 130;

Taşıma gücü 10 ton olan normal kreny arabası



7. Yukarıda şkil 130 da görülen, taşıma gücü 10 ton olan, normal atelye işletmesi için bir kreny arabasının (max. yük nadiren) hesabı istenmektedir.

Kaldırma hızı :  $5 \div 16 \text{ m/dak}$  ;  
Araba hızları :  $20 \div 50 \text{ m/dak}$  ;  
Kaldırma yüksekliği  $5 \div 12,5 \text{ m/dak}$ , dır. Şebeke gerilimi 380 V tur.

a) Halat hesabı : Yük ikiz palanga üzerinden asılı ve 4 adet halatla bağlıdır. Alt makara kısmının ağırlığı : 170 kg. dir.

$$\text{Tek halat başına düşen yük} : P = \frac{10000+170}{4} = 2540 \text{ kg. dir.}$$

$$\text{Halat çapı} : d = k \sqrt{\frac{P}{\mu}} \quad \text{k tablo 13 den} \quad k = 0,30 \text{ alınmıştır.}$$

$$d = 0,3 \sqrt{\frac{2540}{0,45}} \approx 15 \text{ mm.}$$

Seçilen halat : B 16×160 DIN 655

b) Halat tamburu :

$$\text{Tambur çapı} : D = C \sqrt{\frac{P}{\mu}} \quad C = 6 \text{ ile } 7 \text{ arasındadır.}$$

$$D = 7 \sqrt{\frac{2540}{0,45}} = 354 \text{ mm. Seçilen tambur çapı } 400 \text{ mm dir.}$$

Tamburun hatvesi :  $s = 18 \text{ mm. (Tablo 24 den)}$

12,5 m. kaldırma yüksekliği için (Halat uzunluğu  $2 \times 12,5 = 25 \text{ m}$ ) Tamburdaki sarım (yiv) adedi n :

$$n = \frac{25}{0,4 \cdot \pi} + 2 = 22 \text{ dir.}$$

$$\text{Sarılan tambur uzunluğu} l = n \cdot s = 22 \cdot 18 = 396 \text{ mm}$$

İkiz makara kullanıldığından, tamburun tüm uzunluğu, yukarıdaki hesaplanan değerin iki katıdır. Halat bir defa sağ ve bir defa sol sarım yönünden tambura sarılmıştır.

Tambur kaynaklı olarak imal edilmiştir ve malzemesi St37 dir. Yiv tabanındaki tambur kalınlığı  $h = 10 \text{ mm.}$  dir.

$$\text{Bası gerilmesi} : \sigma_b = 0,5 \cdot \frac{P}{h \cdot s} = 0,5 \cdot \frac{2540}{1,0 \cdot 1,8} = 705 \text{ kg/cm}^2$$

$$\text{Eğilme gerilmesi} : \sigma_E = 0,96 \cdot P \cdot 4 \sqrt{\frac{1}{D^2 \cdot h^6}} = 0,96 \cdot 2540 \cdot 4 \sqrt{\frac{1}{40^2 \cdot 1,0^6}} = 385 \text{ kg/cm}^2$$

Bası gerilmesi oldukça yüksek olmasına rağmen eğilme gerilmesi nispeten daha azdır. Bu gerilmelere göre tambur kalınlığı yeterli seçilmiştir.

c) Kaldırma motoru :

Tüm randiman  $\eta_T = 0,8$  olarak kabul edildiğinde, sınır iş hızları için güç değerleri :

$$N_{v1} = \frac{10170 \cdot 5}{60 \cdot 75 \cdot 0,8} \approx 14 \text{ PS}$$

$$N_{v2} = \frac{10170 \cdot 16}{60 \cdot 75 \cdot 0,8} \approx 45 \text{ PS}$$

Motorun relativ çalışma süresi : ED : 25 % ve relativ yük değeri  $gr = 0,6$  tir. (tablo 22) motorun çekis momenti, tam yük momentinin en azından iki misli olmalıdır.

Buna göre en küçük motor tipleri :

$$\begin{aligned} hR 671 - 6 &\rightarrow 12,9 \text{ PS ve } n = 920 \text{ d/dak.} \\ hR 1271 - 6 &\rightarrow 37 \text{ PS ve } n = 940 \text{ d/dak.} \end{aligned} \quad \text{tablo 9 dan.}$$

d) Dişli çevrimleri :

$$5 \text{ m/dak. hızda tambur devri} : 2 \cdot 5 / \pi \cdot 0,4 = 7,97 \text{ d/dak.}$$

$$16 \text{ m/dak.} \quad \gg \quad \gg : 2 \cdot 16 / \pi \cdot 0,4 = 25,5 \text{ d/dak.}$$

$$5 \text{ m/dak. hızda tüm çevrim oranı} : 920 / 7,97 = 115$$

$$16 \text{ m/dak.} \quad \gg \quad \gg : 940 / 25,5 = 36,8$$

Tambur dişli grubu için tambur dişli çevrim oranı  $\xi = 6,25$  alındığında, dişli kutusunun her iki sınır hız durumındaki çevrim oranları :

$$115 / 6,25 = 18,5 \text{ ve } 36,8 / 6,25 = 5,9 \text{ dir.}$$

Birinci çevrim oranı için iki, ikinci çevrim oranı için tek kademeli dişli kutusu yeterlidir. İki araba (dişli kutusu) tipinden sakınmak için bu konstrüksiyon hem iki kademeli ve hemde tek kademeli helis dişli grubu ile gerçekleştiriliyor.

f) Tutma freni :

Fren disk çapı (Tablo 19)

14 PS güç için :  $D = 200 \text{ mm.}$

45 PS » » :  $D = 400 \text{ mm.}$

$$\text{Fren çözücüünün çözme işi} : A_c = 2,2 \cdot \frac{v \cdot M \cdot \eta^2}{D \cdot \mu} \cdot \lambda ;$$

Emniyet faktörü  $v = 2,5$ , kaldırma sisteminin randimani  $n = 0,8$ , sürtünme katsayısi

(Ferodo fibre için)  $\mu = 0,45$ ; Fren hava aralığı  $\lambda = 0,15 \text{ cm. dir.}$

$$\text{Motorun nominal momenti} : M = 71620 \cdot \frac{14}{920} = 1090 \text{ kgcm. ve}$$

$$M = 71620 \cdot \frac{45}{940} = 3430 \text{ kgcm. dir.}$$

Buna göre A<sub>c</sub> nin değerleri :

$$A_c = 2,2 \cdot \frac{2,5 \cdot 1090 \cdot 0,8^2}{20 \cdot 0,45} \cdot 0,15 = 64 \text{ kgcm.}$$

$$A_c = 2,2 \cdot \frac{2,5 \cdot 3430 \cdot 0,8^2}{40 \cdot 0,45} \cdot 0,15 = 100 \text{ kgcm.}$$

Sistemdeki çözme işinin değeri, hesabı değerin 25 % nispetinde daha fazla olmalıdır. Aşağıdaki Tablo 31 den her iki durum için KN 330-4 tipi yeterlidir.

Tablo : 31 Alternatif akımlı manyetik fren çözucusu SSW nin çözme iş değerleri :

Tipler	Çekirdek kısmının ağırlığı (kg)	Kaldırma yüksekliği (cm)	Çözme işi (kgcm)		Ağırlık (Kg)	
			ED % 15-40			
			Çalışma sıklığı 120 defa/saat	Çalışma sıklığı 300 defa/saat		
KN 330-3	3,2	5	75	65	65	
KN 330-4	5,4	5	150	140	140	
KN 330-5	12,0	5	300	280	280	

KN 330-4 tipinin çözme işi, saatte 120 defa çalışma sıklığı için 150 kgcm. dir.

g) Tekerler :

Yük, ortadan tesir ettiğinden, tekerlere düşen yük eşit olarak alınabilir. Arabanın kendi ağırlığı 4 tondur

$$\text{Teker basıncı} : P = \frac{10+4}{4} = 3,5 \text{ ton}$$

$$\text{Teker çapı} : D = \frac{R}{(b-2r)k}$$

Norm tablolardan seçilen rayın değerleri :  $b = 4,5 \text{ cm}$  ve  $r = 0,4 \text{ cm}$  dir. k değeri aşağıdaki tablo 32 den alınır.

Tablo : 32 k için emniyet değerleri.

Yüklenme durumu	Çalışma sıklığı	Hareket hızı	İşletme tipi	k için Emniyet Değerleri		
				çelik döküm Stg 60-81	Stg 60-81 Alevle sertleştirilmiş	Bandaj tekeri
Nadiren tam yükl.	nadiren	60 m/dak. dan küçük	hafif	70	80-90	90
nadiren tam yükl.	»	» » » büyük				
» » »	sık sık	» » » küçük	normal	60	70-80	80
Ekseriya tam »	nadiren	» » » »				
nadiren » »	sık sık	» » » büyük				
Ekseriya » »	nadiren	» » » »	orta ağır	50	60-70	70
» » »	sık sık	» » » küçük	Ağır.	40	50-60	60
» » »	» » »	» » » büyük				

Çalışma durumu sık sık, yüklenme nadiren ve hareket hızı 60 m/dak. dan küçük, olduğuna göre seçilen k değeri,  $k = 60 \text{ kg/cm}^2$  dir. Malzeme Stg 60.81 dir.

$$\text{Buna göre teker çapı : } D = \frac{3500}{(4,5-2 \cdot 0,4) \cdot 60} = 15,8 \text{ cm. dir.}$$

Uygulamada teker çapı  $D = 250 \text{ mm.}$  alınmıştır.

#### h) Araba hareket motoru :

Motor gücünün hesaplanması için hareket direncinin bilinmesi gereklidir.

Tablo : 33 Hareket direnci w ve w tüm in değerleri (Kg/her ton teker basıncı)

Teker ve aks çapı (mm)	200	250	320	400	500	630	710	800	900	1000	1120	1250
w (kg/t)	27 kaymali yataklama	23 rulmanlı »	21 »	18,5 »	16,5 »	14,0 »	14,0 »	14 »	14 »	14 »	14 »	14 »
w tüm (kg/t)	32 kaymali yataklama	28 rulmanlı »	26 »	23,5 »	21,5 »	19,5 »	19 »	19 »	19 »	19 »	19 »	19 »
	(55)	(60)	(70)	(80)	(90)	(100)	(110)	(125)	(160)	(180)	(200)	(200)

250 mm. teker çapı için, (kaymali yataklama) olduğundan tablo dan w tüm değeri :

w tüm = 28 kg/t dur. 14 ton yük için tüm direnç değeri :  $28 \cdot 14 = 390 \text{ kg. dir.}$

20 m/dak. hareket hızında, tam yükteki atalet gücünün değeri :

$$\frac{390 \cdot 20}{60 \cdot 75 \cdot 0,8} = 2,2 \text{ PS tir.}$$

$$50 \text{ m/dak. hızdaki güç : } \frac{390 \cdot 50}{60 \cdot 75 \cdot 0,8} = 5,4 \text{ PS tir.}$$

Tablo 23 e göre, bu neticeler dikkate alınarak bir değerlendirme yapılabilir. Motorun devri  $n = 960 \text{ d/dak. dir.}$

#### i) Araba hareket dişli grubunun çevrimi :

Tekerlerin devirleri : 20 m/dak. hızda :  $20/0,5 \cdot \pi = 25,5 \text{ d/dak.}$   
50 » » » :  $50/0,5 \cdot \pi = 63,5 \text{ » » }$

Çevrim oranları : 20 m/dak. hızda :  $i_{T\bar{U}M} = 960/255 = 37,6$   
:  $i_{T\bar{U}M} = 960/63,5 = 15,1$

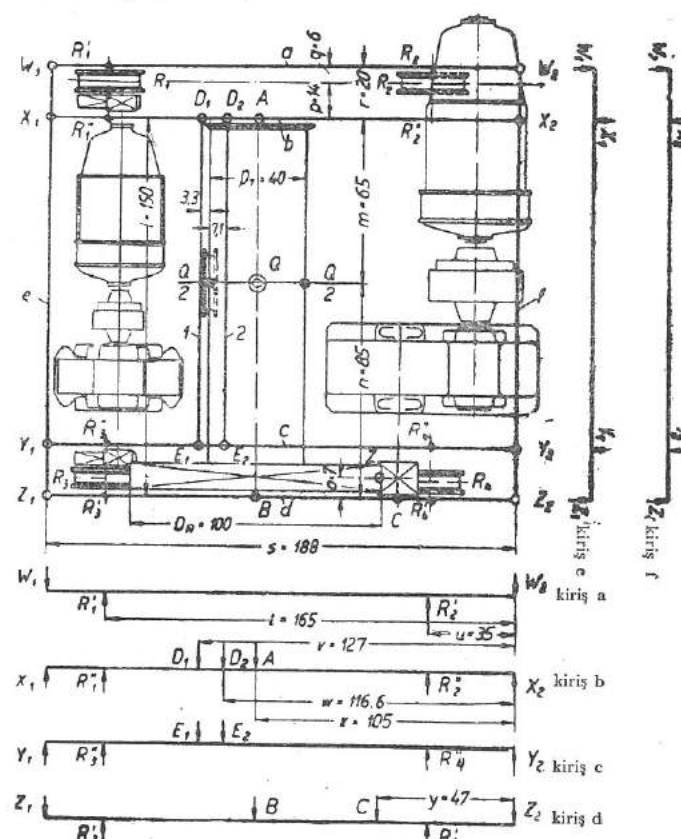
Teker dişli çiftinin çevrim oranı  $\ell = 4$  alındığından dişli kutusunun konstrüksiyonu için seçilecek çevrim oranının değerleri (her iki sınır hızlar için) :

$37,6/4 = 9,4$  ve  $15,1/4 = 3,78$  olmalıdır. Her iki çevrim oranı da bir kademeli dişli kutusu ile gerçekleşir.

#### k) Araba taşıyıcı iskeleti :

(Şekil 131 de araba iskeletinin basit şeması ve elemanların yüklenme şekilleri görülmektedir.)

Şekil : 131; Araba iskeletin basit şeması ve yüklenme şekli a dan f ye kadar taşıyıcıların ölçülerini cm. cinsindenir.



Mesela a taşıyıcı kiriş için eşitliklerden şu değerler elde edilir.

$$W_1 = -\frac{R'_1 \cdot t + R'_2 \cdot u}{s} = -\frac{1,75 \cdot 165 + 1,75 \cdot 35}{188} = 1,86 \text{ t (tesiri aşağıya doğru)}$$

$$W_2 = -\frac{R'_1(s-t) + R'_2(s-u)}{s} = -\frac{1,75 \cdot 23 + 1,75 \cdot 153}{188} = 1,64 \text{ t (tesiri aşağıya doğru)}$$

b taşıyıcı profilinde :

$$X_1 = \frac{D_1 \cdot v + D_2 \cdot w + A \cdot x - (R''_1 \cdot t + R''_2 \cdot u)}{s} = \frac{1,7 \cdot 127 + 0,8 \cdot 117 + 2,7 \cdot 105 - (0,75 + 165 + 0,75 \cdot 35)}{188} = 2,39 \text{ t}$$

$$X_2 = \frac{D_1(s-v) + D_2(s-w) + A(s-x) - [R''_1(s-t) + R''_2(s-u)]}{s} = \frac{1,7 \cdot 61 + 0,8 \cdot 71 + 2,75 \cdot 83 - (0,75 \cdot 23 + 0,75 \cdot 153)}{188}$$

$X_2 = 1,36$  ton dur.

Aynı yoldan devam edilerek c ve d taşıyıcı kirişleri içinde :

$$Y_1 = 0,85 \text{ t}; Y_2 = 0,15 \text{ t}; Z_1 = 1,22 \text{ t}; Z_2 = 0,03 \text{ t} \text{ bulunur.}$$

e ve f taşıyıcı kirişlerindeki kuvvetler, tüm kuvvetlerin bağıntılarından elde edilirler :

$$W_1 + X_1 + Y_1 + Z_1 = -1,86 + 2,39 + 0,85 - 1,22 = 0,16 \neq 0$$

$$W_2 + X_2 + Y_2 + Z_2 = -1,64 + 1,36 + 0,15 - 0,03 = 0,16 \neq 0$$

$Z_1$  ve  $Z_2$  noktalarına göre bütün momentlerin toplamı = 0 eşitliğinden :

$$\Sigma M = -1,86 \cdot 170 + 2,39 \cdot 150 + 0,85 \cdot 20 = 60 \neq 0$$

$$\Sigma M = -1,64 \cdot 170 + 1,36 \cdot 50 + 0,15 \cdot 20 = -71 \neq 0$$

Toplam netice gösteriyorki, e  $W_1$  çok küçük, f  $W_2$  çok büyktür. Dolayısıyla  $R_1$  değeri büyük ve  $R_2$  değerde küçük olarak alınmalıdır.

Yine tahmin edilen husus bütün R kuvvetlerin bileşkesi, Q tesir noktası üzerinde sayılmaktadır.

$$R_1 = 3,0 \text{ t}; R_2 = 2,0 \text{ t}; R_3 = 2,3 \text{ t}; R_4 = 2,7 \text{ t};$$

$$R'_1 = 2,1 \text{ t}; R'_2 = 1,4 \text{ t}; R'_3 = 1,61 \text{ t}; R'_4 = 1,89 \text{ t};$$

$$R''_1 = 0,9 \text{ t}; R''_2 = 0,6 \text{ t}; R''_3 = 0,69 \text{ t}; R''_4 = 0,81 \text{ t}.$$

Buna göre şunlar elde edilir.

$$a \text{ taşıyıcı kiriş } W_1 = -2,1 \text{ t}; W_2 = 1,4 \text{ t}$$

$$b \text{ } \rightarrow \text{ } : X_1 = 2,29 \text{ t}; X_2 = 1,46 \text{ t}$$

$$c \text{ } \rightarrow \text{ } : Y_1 = 0,89 \text{ t}; Y_2 = 0,11 \text{ t}$$

$$d \text{ } \rightarrow \text{ } : Z_2 = -1,12 \text{ t}; Z_2 = -0,13 \text{ t}$$

$$\Sigma = -0,04 \text{ t}; \Sigma = +0,04 \text{ t}$$

$$\Sigma M = +3 \text{ tcm}; \Sigma M = -17 \text{ tcm}.$$

Kuvvetler toplamı sıfırda oldukça yaklaşmış olduğundan, bu değerler yeterli bulunabilirler.

ö) a taşıyıcının hesabı :

$$M_{E\max} = W_1(s-t) = 2,1 \cdot 23 \approx 49 \text{ tcm.}$$

Mevcut taşıyıcı profil  $\cup 18$  dir ve bunun mukavemet Momenti  $W = 150 \text{ cm}^3$  tür.

$$\sigma_E = \frac{49000}{150} = 325 \text{ kg/cm}^2$$

ε) b Taşıyıcı kirişin hesabı :

En büyük moment A kuvvetinin tesiriyle meydana geldiğinden, bu noktada kiriş, tambur mesnet sacı ile tesirli bir şekilde desteklenmiştir. D<sub>1</sub> noktasındaki momentin değeri :

$$M_E = X_1(s-v) + R''_1(t-v) = 2,29 \cdot 61 + 0,9 \cdot 38 = 174 \text{ t cm.}$$

Seçilen Profil  $\cup 18$  iki lamelli 60.10 ve  $W = 244 \text{ cm}^3$  dir.

$$\text{Eğilme gerilmesi : } \sigma_E = \frac{174000}{244} = 710 \text{ kg/cm}^2.$$

p) c taşıyıcı kirişinin hesabı :

En büyük moment, E<sub>1</sub> dedir.

$$M_{E\max} = Y_1(s-v) + R''_3(t-v) = 0,89 \cdot 61 + 0,69 \cdot 38 = 80 \text{ tcm.}$$

∪ 18 profilinin eğilme zorlanması :

$$\sigma_E = \frac{80000}{150} = 530 \text{ kg/cm}^2$$

η) d taşıyıcı kirişinin hesabı :

En büyük Moment C dedir.

$$M_{E\max} = Z_2 \cdot y R'_4(y-v) = -0,13 \cdot 47 + 1,89 \cdot 12 = 16,6 \text{ tcm.}$$

$$\cup 18 profilinin zorlanması : \sigma_E = \frac{16600}{150} = 110 \text{ kg/cm}^2 \text{ dir.}$$

v) e ve f taşıyıcı kirişlerinin hesabı :

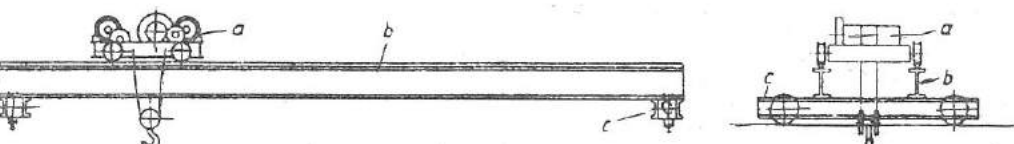
e taşıyıcı kirişinde en büyük moment X<sub>1</sub> dedir.

$$M_{E\max} = W_1 \cdot r = 2,1 \cdot 20 = 42 \text{ tcm.}$$

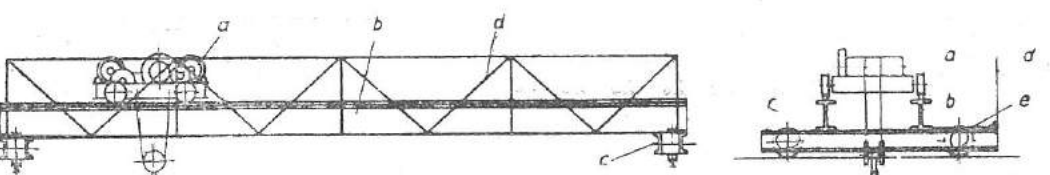
$$\cup 18 profilinin zorlanması : \sigma_E = \frac{42000}{150} = 280 \text{ kg/cm}^2 \text{ dir.}$$

f profili ise, daha az bir yükle yüklenmektedir.

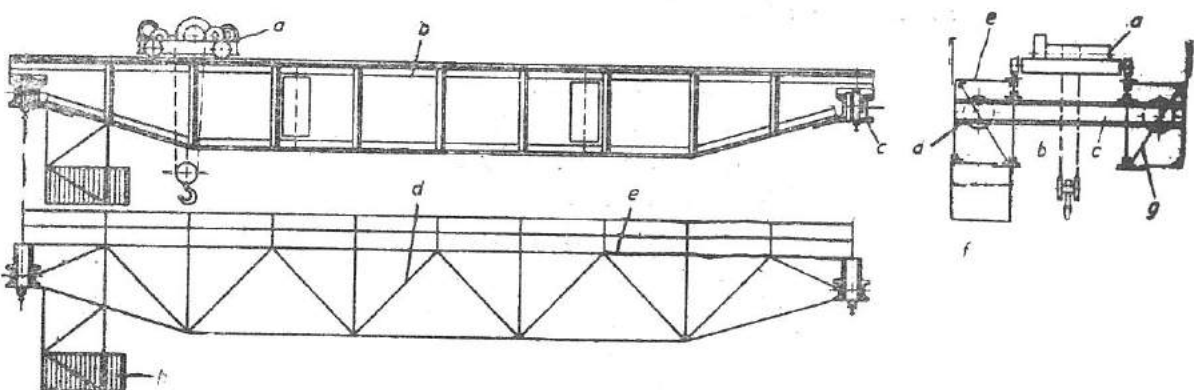
Bazı Taşıyıcı Kirişlerinin Şeması



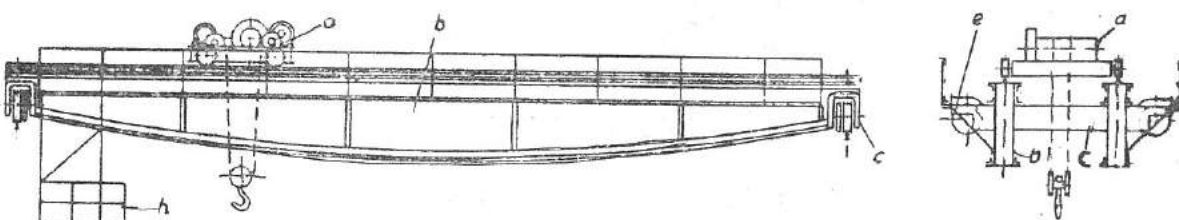
Şekil : 132 Platformsuz hadde profil taşıyıcıları.



Şekil : 133, Yürürlük platformlu hadde profil taşıyıcı.

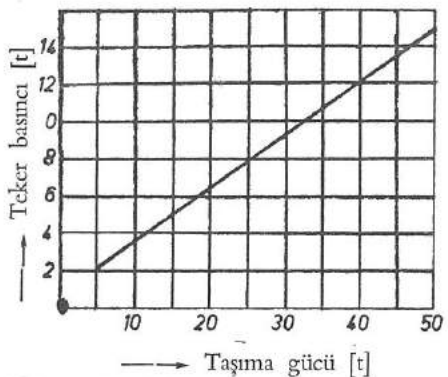


Şekil : 134, Çift yürürlük platformlu dolu saç gövdeli taşıyıcı kiriş.

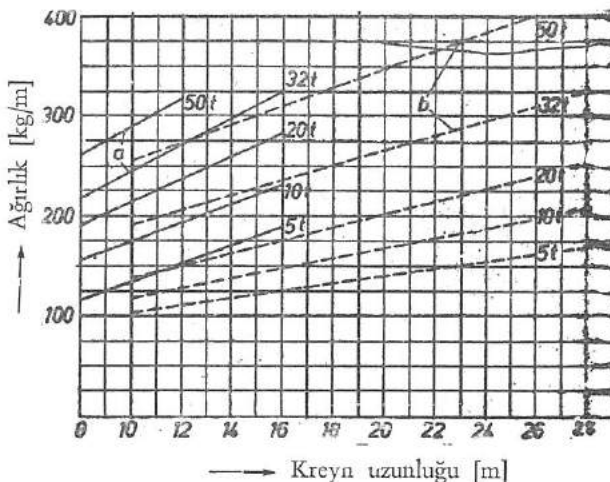


Şekil : 135, Konsol tipi yürürlük platformlu kafes kiriş :

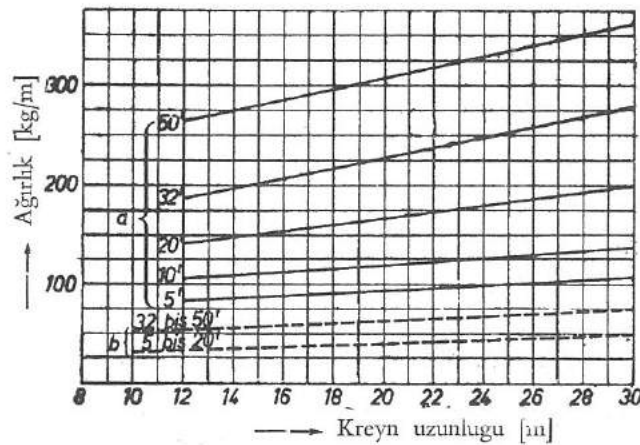
a : Araba, b : Ana taşıyıcı kiriş, c : Baş kısmındaki taşıyıcı kiriş, d : yardımcı kirişler, e : Yürürlük platform; f : Alt bağlantılar, g : enine bağlantı, h : kumanda kabini.



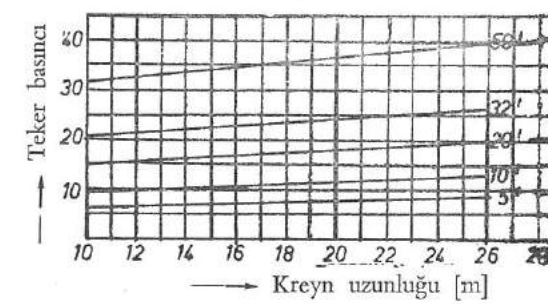
Şekil : 136, Elektrikle tarihlenen kreyin arakasının teker basıncı [t] vs. Taşıma gücü [t]



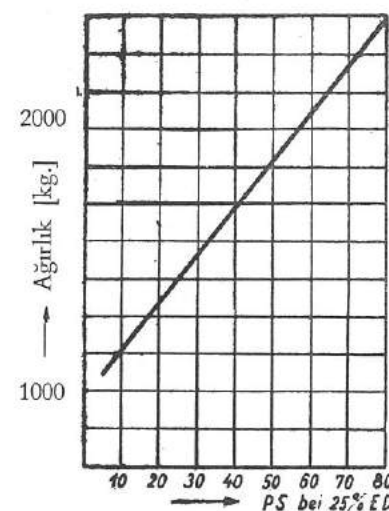
Şekil : 137, Dolu kafesli ana kirişin, kg/cinsinden ağırlıkları a : Hadde profil kiriş (ip), b : perçin bağlantılı kafesli kiriş.



Şekil : 138, Çeşitli taşıma güçlerine ve köprü uzunluklarına sahip kreyinlerde (kg/m) cinsinden kiriş sistemlerin zati ağırlıkları a : Ana kirişler, b : Yardımcı kirişler



Şekil : 139, Taşıma güçleri farklı ve elektrik motorları ile tarihlenen gezer kreyinlerin en büyük teker basıncı



Şekil : 140, Köprü ortasında hareket sisteminin zati ağırlığı :  
(Motor, dişli kutusu, frenler, kavrama)

8. Bir kreyin köprüsünün şu şartlarda hesabı düşünülmektedir. Köprü uzunluğu  $l = 8350$  mm. ve taşıdığı yük 8 tondur. Arabanın tekerler arası mesafesi  $a_1 = 1700$  mm. dir.

Arabanın teker basıncı şekil 136 ya göre  $P = 2,9$  tondur. Taşıyıcı köprünün tipi Şekil 133 deki gibidir. İşletme normal zorlanmalı (grup II) dir.

Ana taşıyıcı kirişin hesabı : Gerekli atalet momenti :

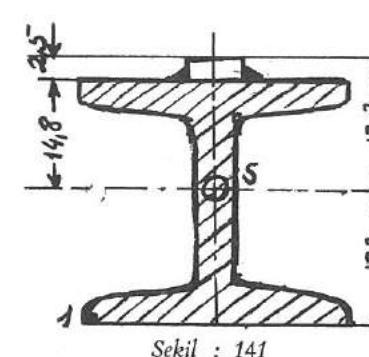
$$J_G = \frac{P}{48 \cdot f \cdot E} (1 - a_1) \cdot [3l^2 - (l-a_1)^2]; f = \frac{835}{750} = 1,1 \text{ cm.} = \text{Köprü ortasındaki eğilme değeri}$$

$$J_G = \frac{2900}{48 \cdot 1,1 \cdot 2150000} \cdot (835-170) [3 \cdot 835^2 - (835-170)^2] = 28000 \text{ cm}^4$$

Seçilen profil : I 32 dır. Kaynaklı düz rayın ölçütleri 50.25 ve seçilen profilin J değeri :  $J = 36000 \text{ cm}^4$  dür.

Gezer yükün en büyük momenti :

$$M_{pmax} = P \left( 1 - \frac{a_1}{2} \right) = 2900 \cdot \left( \frac{835 - 170}{2} \right) = 980.000 \text{ kg cm.}$$



Kendi ağırlığından dolayı eğilme momenti :  $M_{E1} = \frac{ge \cdot l^2}{8}$  dir.  $ge$

değeri I - taşıyıcısının kendi ağırlığını kapsamaktadır. (Birim ağırlığı 135 kg/m), rayın her metresinin ağırlığı 9,81 kg/m ve kabin kısmının değerde 40 kg/m. tahmin edilebilir.

$$\text{Buna göre : } M_{E1} = \frac{1,85 \cdot 835^2}{8} = 162000 \text{ kgcm.}$$

Tahrik sisteminin (motorun gücü 5 PS) meydana getirdiği eğilme momenti:

Şekil 140 ge göre tüm ağırlık 500 kg. Ana taşıyıcı kiriş üzerindeki kısmı 250 kg. dir.

$$M_{g2} = \frac{250 \cdot 835}{4} = 52000 \text{ kgcm.}$$

Tablo : 34 Dengeleme katsayısi  $\varphi$  ve darbe katsayısi  $\varphi$

Kreyin grubu	$\varphi$	Hareket rayı darbeleri	$\varphi$
I	1,2	mevcut mevcut değil veya kaynamış	
II	1,4	Hareket hızı (m/san.)	
III	1,6	$\leq 1$ $\leq 1,5$	1,1
IV	1,8	$> 1$ $> 1,5$	1,2

Dengeleme katsayıısı :  $\varphi = 1,4$  (Kreyin grubu II)  
Darbe katsayıısı :  $\varphi = 1,1$  (1,0 m/san. hızda) } Tablo 34 den.

Ana taşıyıcı kirişin gerilimleri :

$$\sigma = \frac{1,1 \cdot (162000 + 52000) + 1,4 \cdot (98000)}{Wx}$$

$$Wx = \frac{J}{17,3} = \frac{36000}{17,3} = 2080 \text{ cm}^4 \text{ (Şekil 141)}$$

$$\text{Buna göre : } \sigma = \frac{236000 + 137000}{2080} = \frac{1606000}{2080} = 775 \text{ kg/cm}^2 \text{ (çünkü } 1400 \text{ kg/cm}^2 \text{ dir)}$$

Frenleyici kuvvetlerden dolayı yatay eğilme momentinin değeri : (takriben)

$$M' = \frac{Mp_{max}}{14} + \frac{Mg_1}{14} = \frac{98000+162000}{14} = 81500 \text{ kgcm.}$$

Ana ve tali kuvvetlerden dolayı gerilmenin değeri :

$\sigma = \frac{1606000}{W_x} + \frac{81500}{W_y}$ ; (Wx ve Wy değerleri, Şekil 141 deki 1 noktasına göre hesaplanmalıdır, çünkü gayri müsait nokta 1 dir.)

Buna göre :  $W_x = \frac{36000}{17,2} = 2090 \text{ cm}^3$  ve  $W_y = 661 \text{ cm}^3$  dir.

$$\sigma = \frac{1606000}{2090} + \frac{81500}{661} = 770+123 = 893 \text{ kg/cm}^2 \quad (\sigma_{emn} = 1600 \text{ kg/cm}^2)$$

Kontrol hesabından da görüleceği üzere, taşıyıcı profil, zorlanmadan dolayı değil, kabul edilen eğilmeden tespit edilir.

Taşıyıcı ile düz ray arasındaki kaynağın hesabı :

Devamlı bir kaynakta kayma gerilmesi :

$$J = \frac{S \cdot Q_{max}}{J \cdot 2a}; \quad S : \text{Ray kesitinin statik momenti}$$

$$S = 5 \cdot 2,5 \cdot 16,05 = 200 \text{ cm}^3$$

$Q_{max}$  = En büyük yatay (enine) kuvvet, (araba ve kendi ağırlığı nedeniyle)

$$Q_{max} = 2 \cdot 2800 \cdot \psi + \frac{ge \cdot 1}{2} \cdot \varphi = 5800 \cdot 1,4 + \frac{185 \cdot 8,35}{2} \cdot 1,1 = 8950 \text{ kg.}$$

$$J = \frac{2000 \cdot 8950}{36000 \cdot 2 \cdot 0,4} = 62 \text{ kg/cm}^2$$

Eğer kaynak boydan boyaya değilde, kesikli yapılmış ise (yani 300 mm. uzunluğun 60 mm. si kaynaklı ise) böylece 5 misli bir değer ortaya çıkar. O halde  $\tau = 62 \cdot 5 = 310 \text{ kg/cm}^2$  dir. Bu değer bile emniyetlidir.

Yan (tali) taşıyıcılar :

Şekil 142 ye göre, yan taşıycinin metre başına ağırlığı 30 kg/m. dir. Buna ilâveten kabin kısmının her metre başına ağırlığı 40 kg/m. dir. Tüm ağırlık :  $(30+40) \cdot 8,35 = 580 \text{ kg}$  dir.

Sistem 8 düğüm noktasına sahiptir. ve her düğüm noktası yükü 73 kg. dir. (Şekil 142)

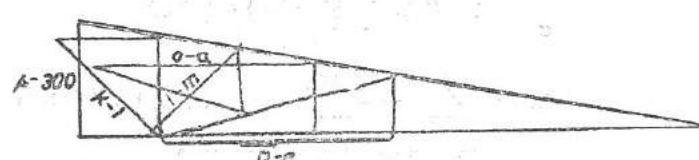
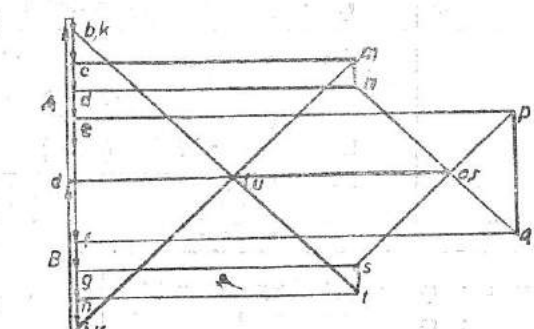
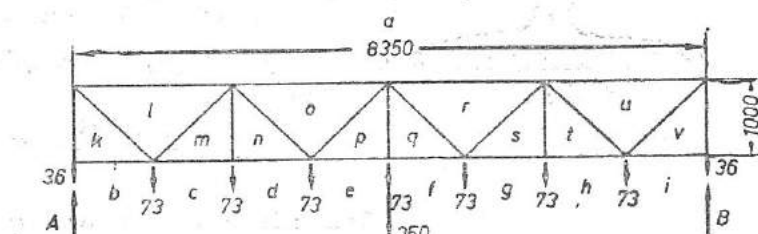
Hareket tahrîk sistemi 250 kg la köprü ortasında tesir etmektedir.

Bu yüklenme değerleri ile Şekil de gösterilen çubuk kuvvetlerin Cremona planı çizilir.

Ayrıca taşıyıcı kısmı, 300 kg. lik gezer yükle göre (A-Polygonu ile) Culmann-metodu göre kontrol edilir.

Şekil 142 in alt kısmında en büyük torsyon gerilimleri çizilmiştir. Üst kuşak için (o-a), alt kuşak için (p-e), çeki diagonali için (k-l), ve bası diagonali için (l-m).

Bunlar en büyük zorlanma değerleri olup, taşıyıcının ölçülerini tespit etmek için yeterlidir.



Şekil : 142, Yan (yardımcı) kirişteki çubuk kuvvetlerinin tespiti.

Üst kuşak çubuğu : Kendi ağırlığı  $S_g = 1000 \text{ kg}$ .

Gezer yük nedeniyle ilâve kuvvet  $= S' = 600 \text{ kg}$ .

$$\text{Seçilen profil : L 70.7, } \xi_{min} = 1,37, \lambda = \frac{209}{1,37} = 152, \omega = 546$$

( $\xi_{min}$   $\lambda$  ve  $\omega$  değerleri, kullanılan malzemenin cinsine bağlı olarak literaturlerdeki ilgili tablolardan okunurlar : Burada :

$$i_{min} = \text{En küçük atalet yarıçapı} = \sqrt{\frac{J_{min}}{F}} \text{ cm. dir. } J_{min} = \text{Çubuğu en küçük atalet momenti}$$

$$\lambda = \text{Çubüğün incelik katsayısi} = \frac{S_k}{i_{min}} = \frac{\text{Çubüğün iki bağlantı arasındaki serbest kırılabilen uzunluğu}}{\text{En küçük atalet yarıçapı}}$$

$$\omega = \text{Kırılma katsayısi} = \frac{\sigma_{Em}}{\sigma_{Bem}}; \quad \sigma_{Bem} = \text{Bası altındaki emniyet gerilmesi.}$$

Tatbikatta  $\lambda$  değeri, 250 den daha büyük olamaz).

$$\text{Yukarıdaki değerlerle } \sigma \text{ hesap edilir : } \sigma = \omega \cdot \frac{1,1 \cdot S_g + S'}{F} = 5,46 \cdot \frac{1,1 \cdot 1000 + 600}{9,4} = 985 \text{ kg/cm}^2$$

Buna ilaveten 30 kg. gezer yükten dolayı eğilme momenti (çünkü üst kuşak merdiven basamağı olarka hizmet görtür) :

$$M_{E1} = \frac{S_k \cdot Q}{4} = \frac{209 \cdot 30}{4} = 1570 \text{ kg cm.}$$

Eksantrik çubuk bağlantılarından dolayı eğilme momenti  
(Eksantrilik Şekil 143 e göre)

$$M_{E2} = 1700 (1,97-0,7) = 2160 \text{ kgcm.}$$

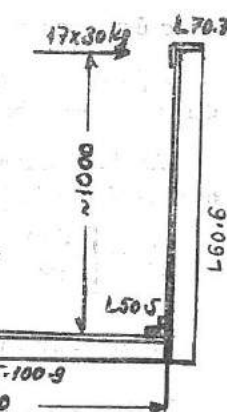
$$\sigma_E = \frac{1570+2160}{W_x} = \frac{3730}{21,5} = 174 \text{ kg/cm}^2$$

$$(W_x = \frac{J_x}{1,97} = \frac{42,4}{1,87} = 21,5 \text{ cm}^3 \text{ tür})$$

$$\sigma_{Tüm} = \sigma + \sigma_E = 985 + 174 = 1159 \text{ kg/cm}^2$$

$$\left( \sigma_{Em} = 1600 \frac{\text{kg}}{\text{cm}^2} \right)$$

Üst kuşak boydan boyaya aynı profil uygulamalıdır).



Şekil : 143, Ana ve sahne taşıyıcının kesiti

Alt kuşak (kemer) bağlantısı : p-e :

Kendi ağırlık kuvveti :  $S_g = 1170 \text{ kg}$ .

Gezer yükten dolayı ilave kuvvet :  $S' = 630 \text{ kg}$ .

$$\text{Seçilen profil : L 50.5; } F_n = 4,10 \text{ cm}^2; \quad W_x = \frac{J_x}{1,4} = \frac{11}{1,4} = 7,85 \text{ cm}^3$$

$$\sigma = \frac{1,1 \cdot 1170 + 630}{4,10} = \frac{1920}{4,10} = 470 \text{ kg/cm}^2$$

Eksantrik çubuk bağlantısı nedeniyle eğilmeye zorlanma,

$$\sigma_{E1} = \frac{1920 \cdot 1,4}{7,85} = 343 \text{ kg/cm}^2$$

300 kg lik gezer herbir yükten dolayı eğilme (uzunluk takriben 100 cm) momenti :

$$M_E = \frac{300 \cdot 100}{5} = 6000 \text{ kgcm.}$$

$$\sigma_{E2} = \frac{6000}{7,85} = 765 \text{ kg/cm}^2$$

$$\sigma_{Tüm} = 470 + 343 + 765 = 1578 \text{ kg/cm}^2 \quad (\sigma_{Em} = 1600 \text{ kg/cm}^2)$$

Alt kuşakta boydan boyaya aynı profildendir.

Basındaki diagonal l-m :

Kendi ağırlık kuvveti :  $S_g = 460 \text{ kg}$

İlâve kuvvet :  $S' = 330 \text{ kg}$ .

$$\text{Seçilen profil : } L 50.5; f_{min} = 0,98; \lambda = \frac{145}{0,98} = 148; w = 5,18; F = 4,8 \text{ cm}^2$$

$$\sigma = w \cdot \frac{1,1 \cdot S_g + S'}{F} = 5,18 \cdot \frac{1,1 \cdot 460 + 330}{4,8} = 5,18 \cdot \frac{840}{4,8} = 900 \text{ kg/cm}^2$$

$$\text{Eksantrik çubuk bağlantısı nedeniyle eğilme (Wx = } \frac{J_x}{1,4} = 7,85)$$

$$\sigma_E = \frac{840 \cdot 1,4}{7,85} = 150 \text{ kg/cm}^2$$

$$\sigma_{\text{tüm}} = 900 + 150 = 1050 \text{ kg/cm}^2$$

Çeki altındaki diagonal : k-l :

Kendi ağırlığı :  $S_g = 570 \text{ kg}$ .

İlâve kuvvet :  $S' = 380 \text{ kg}$ .

Seçilen profil : L 50.5;  $F_n = 4,10 \text{ cm}^2$

$$\sigma = \frac{1,1 \cdot 570 + 380}{4,10} = 250 \text{ kg/cm}^2, \text{ Eğilme } \sigma_E = \frac{1010 \cdot 1,4}{7,85} = 180 \text{ kg/cm}^2$$

$$\sigma_{\text{Tüm}} = \sigma + \sigma_E = 250 + 180 = 430 \text{ kg/cm}^2 \text{ dir.}$$

Diğer diagonallar, yukarıdaki hesaplanan diagonallere nazaran daha az zorlandıklarından ve aynı profile sahip oluklarından ayrıca bir hesaba ihtiyaç yoktur.

Yan direkler: Bunların vazifesi üst kuşağı (kemerin) kırılmasına mani olmaktadır. (Yan kuvvet üst kuşak kuvvetinin takiben 1/100 üdür.) ve 30 kg lik gezer yükün ağırlığını taşırlar.

$$M_E = \left[ \frac{1700}{100} + 30 \right] \cdot 100 = 4700 \text{ kgcm.}$$

$$\text{Seçilen profil : } L \cdot 60 \cdot 6; \sigma = \frac{4700}{5,29} = 890 \text{ kg/cm}^2$$

Böylece yan taşıyıcının bütün kısımları ölçüldürmüştür.

Köprüün baş kısım taşıyıcı kırıları :

Araba ve yükten dolayı en büyük teker basıncı : (Arabanın Q yükü ile kreyn tekeri arasındaki mesafe  $f = 800 \text{ mm}$ ).

$$R_1 = 2 \cdot P \cdot \frac{1}{l-f} = 2 \cdot 2900 \cdot \frac{8,35-0,8}{8,35} = 5250 \text{ kg.}$$

Eğilme momenti :  $M_{PEmax} = R_1 \cdot a$ ; Burada  $a : 33 \text{ cm}$ . ( $a$  : Kreyn köprü kırısı ile köprü tekeri arasındaki mesafe)  $M_{PEmax} = 5250 \cdot 33 = 173000 \text{ kgcm.}$

Kendi ağırlığı nedeniyle teker basıncı :

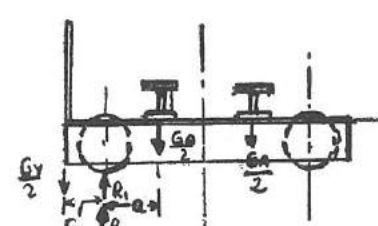
$$R_2 = \frac{G_A + G_Y}{2} = 1320 \text{ kg}; G_A = \text{Ana taşıyıcı kırısın ağırlığı}, G_Y = \text{Yardımcı taşıyıcı kırısın ağırlığı},$$

$$Mg = R_2 \cdot a - \frac{G_Y}{2} \cdot c; c = 125 \text{ cm}; (\text{Şekil 144})$$

$$Mg = 1310 \cdot 33 - \frac{830}{2} \cdot 125 = 9000 \text{ kgcm.}$$

$$\text{Tüm Moment : } M_{Tmax} = 1,4 \cdot 173000 - 9000 = 233000 \text{ kgcm}$$

$$(M_{Tmax} = \psi \cdot M_{Emax} - \varphi \cdot Mg. \text{ (bağıntısından)} \quad \psi = 1,4; \varphi = 1)$$



Şekil : 144, Köprüün yandan görünüşü

Köprü başında her bir taşıyıcı C kırısın üzerine gelen max. momentin değeri : Şekil 145);

$$M_{max,T} = 233000 \cdot \frac{108}{186} = 2 \text{ C kırıs arası mesafesi}$$

$$180 \text{ mm} = \text{Tekerin cıta noktasının bir C kırısına olan uzaklığı.}$$

$$= 135000 \text{ kgcm. dir}$$

$$\text{Seçilen profil : } C 16, W_x = 116 \text{ cm}^3, \sigma = \frac{135000}{116} = 1200 \text{ kg/cm}^2 \quad (\sigma_{Emn} = 1400 \text{ kg/cm}^2)$$

Yatay momentin değeri :

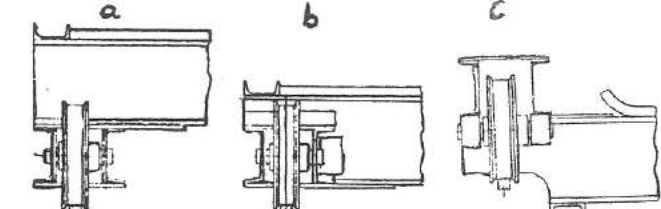
$$M' = \frac{R_1 + R_2}{10} \cdot a = \frac{5250 + 1310}{10} \cdot 33$$

$$M' = 21700 \text{ kgcm. dir.}$$

$W_y = 375 \text{ cm}^3$  (186 mm. C profilleri arasındaki mesafe)

Buna göre ilâve geriliminin değeri :

$$\sigma_i = \frac{21700}{375} = 60 \frac{\text{kg}}{\text{cm}^2}$$



Şekil : 145, Hadde profili ana taşıyıcı kırısların, köprü başı kırıslarıyla bağlantı şekilleri.

Ana ve tali kuvvetlerde tüm gerilimin değeri :

$$\sigma_T = 1200 + 60 = 1260 \text{ kg/cm}^2 \text{ dir} \quad (\sigma_{Emn} = 1600 \text{ kg/cm}^2)$$

Bir kreyn köprüsünün aşağıdaki şartlarda hesabı istenmektedir.

9. Bir kreyn köprüsünün aşağıdaki şartlarda hesabı istenmektedir.  
Köprü uzunluğu :  $l = 26250 \text{ mm}$ ; Taşıyacağı yükün azamî değeri 10 ton. Arabanın tekerler arası mesafesi  $a_1 = 180 \text{ cm}$ . Teker basıncı Şekil 136 ya göre  $P = 3,5 \text{ ton}$ , işletme ağır bir işletmedir. (Kreyn grubu III). Kreyn hareket hızı :  $V = 100 \text{ m/dak. dir}$  Kreyn kafes taşıyıcı kırıslı ve kaynak konstrüksiyonludur.

Taşıyıcı profolin tespiti ve kontrolü :

Emniyetli bükülmeye durumuna göre gerekli  $J_G$  nin değeri,

$$J_G = \frac{P}{48 f \cdot E} (3l^2 - (l-a_1)^2); f = \frac{2625}{750} = 3,5 \text{ cm.}$$

$$J_G = \frac{3500}{48 \cdot 3,5 \cdot 2150000} (2625 - 180) [3 \cdot 2625^2 - (2625 - 180)^2]$$

$$J_G = 346000 \text{ cm}^4$$

Yukarıdaki neticeye göre profil kesitin seçimi (Şekil 146 dan). Kafes taşıyıcı kırısların yüksekliği :  $h = \frac{1}{15} = \frac{2625}{15} = 1700 \text{ mm}$

Profilin ağırlık merkezinin yeri :

$$e = \frac{5,4 \cdot 2 + 20 \cdot 1 \cdot 4,5 + 170 \cdot 0,8 \cdot 90 + 20 \cdot 1 \cdot 175,5}{5,4 + 20 \cdot 1 + 170 \cdot 0,8 + 20 \cdot 1} \approx 81 \text{ cm.}$$

Atalet momentinin hesabı ve kontrolü :

$$J = \frac{0,8 \cdot 170^3}{12} + 4 \cdot 5 \cdot 792 + 20 \cdot 1 \cdot 76,5^2 + 20 \cdot 1 \cdot 94,5^2 + 170 \cdot 0,8 \cdot 92$$

$$= 760.000 \text{ cm}^4$$

Mukavemet momentleri :  $W_{x\text{üst}} = \frac{760000}{81} = 9400 \text{ cm}^3$ :

$$W_{x\text{alt}} = \frac{760000}{95} = 8000 \text{ cm}^3$$

Gezer yükün en büyük momenti :

$$M_{pmax} = P \cdot \frac{\left(1 - \frac{a_1}{2}\right)^2}{2 \cdot 1} = 3500 \cdot \frac{(2625-90)^2}{2 \cdot 2625} = 4280000 \text{ kgcm.}$$

Kendi ağırlığından dolayı eğilme momenti :

$$M_{g1} = \frac{ge \cdot l^2}{8}; ge = \text{Kafes kırışlı taşıyıcıının kendi ağırlığı. (Her m. uzunluk için) (Şekil 137 ye göre } \approx 200 \text{ kg/m dir}$$

Kafes ve alt bağlantı kısmının her 1,5 m. si için ağırlığı takiben 60 kgm alınabilir.

$$M_{g1} = \frac{(2000+60) \cdot 2625^2}{8} = 2240000 \text{ kg cm.}$$

Hareket sisteminin ağırlığından dolayı eğilme momenti : (Motor 20 PS, Tüm ağırlık Şekil 140 a göre : 880 kg.

$$M_{g2} = \frac{440 \cdot 2625}{4} = 289000 \text{ kgcm.}$$

Operatör mahallinin ağırlığından dolayı eğilme momenti (Ağırlığı takiben 1,4 ton)

$$M_{g3} = \frac{1400}{2} \cdot \frac{150}{2625} \cdot \frac{2625}{2} = 52000 \text{ kg cm.}$$

Ana kuvvetlerden dolayı zorlanmanın değeri :

$$\begin{aligned} \text{Dengeleme katsayısi} &: \varphi = 1,6 \text{ (Kreyn grubu III)} \\ \text{Darbe faktörü} &: \varphi = 1,2 \text{ (Hareket hızı } 60 \text{ m./ dak. dan büyük)} \end{aligned} \quad \left. \begin{array}{l} \text{Tablo 34 den.} \\ \hline \end{array} \right\}$$

$$\sigma = \frac{\varphi \cdot Mg_{max} + \varphi \cdot M_{pmax}}{W_{xalt}} = \frac{1,2 \cdot (2240000 + 289000 + 52000) + 1,6 \cdot 4280000}{8000} \leq \sigma_{emn}.$$

$$\sigma = 1240 \text{ kg/cm}^2; (\sigma_{emn} = 1400 \text{ kg/cm}^2 \text{ dir}).$$

Frenleme kuvvetinden dolayı yatay eğilme momentinin değeri :

$$M' = \frac{M_{pmax}}{14} + \frac{M_{g1} + 2M_{g2} + 2M_{g3}}{14} = \frac{4280000 + 2 \cdot 240000 + 2 \cdot 289000 + 2 \cdot 52000}{14}$$

$$M' = 514.000 \text{ kgcm.}$$

Bu moment, ana ve yardımcı taşıyıcıların üst kuşakları tarafından alınırlar. Yardımcı taşıyıcıların aralıkları birbirinden 1,5 m. mesafededir. Buna göre üst kuşağıın kuvveti :

$$P_{KU} = \frac{514000}{150} = 34000 \text{ kg.}$$

Üst kuşağıın zorlanması. (Kesit F = 46,4 cm olduğundan)

$$\sigma'_{KU} = \frac{3400}{46,4} = 74 \text{ kg/cm}^2 \text{ dir.}$$

Ana ve tali kuvvetlerle tüm zorlanmanın değeri :

$$\sigma = \frac{\varphi \cdot Mg_{max} + \varphi \cdot M_{pmax}}{W_{xust}} + 74 = \frac{1,2 \cdot (2240000 + 289000 + 52000) + 1,6 \cdot 4280000}{9400} + 74 = 1130 \text{ kg/cm}^2$$

$$\sigma = 1130 \text{ kg/cm}^2 \leq \sigma_{emn} = 1600 \text{ kg/cm}^2$$

Buraya kadar taşıyıcıların ebatları sistemin eğilme durumuna göre değil, mukavemet değerlerine göre tespit edilmişlerdir.

T — Dikiş kaynağının kontrolü :

$$\text{Kafes taşıyıcı kırıştı kesme gerilmesi : } \tau = \frac{F \cdot h_F \cdot P_{Kmax}}{J \cdot t}$$

$F \cdot h_F$  = ilgili kuşak kesitin statik momenti.

(Kesit Şekil 147 de görülmektedir)

$$\text{Sistemin ağırlık merkezi : } c = \frac{5,4 \cdot 2 + 20 \cdot 1 \cdot 4,5 + 60 \cdot 0,8 \cdot 35 + 20 \cdot 1 \cdot 65,5}{5,4 + 20 \cdot 1 + 60 \cdot 0,8 + 20 \cdot 1} = \frac{28,8}{28,8} \text{ cm}$$

$$F \cdot h_F = 20 \cdot 1 \cdot 24,3 + 5 \cdot 4 \cdot 26,8 = 1022 \text{ cm}^3 \text{ (Şekil 147 den)}$$

$$J = \frac{0,8 \cdot 60^3}{12} + 20 \cdot 1 \cdot 24,3^2 + 5 \cdot 4 \cdot 26,8^2 + 20 \cdot 1 \cdot 36,7^2 + 60 \cdot 0,8 \cdot 6,2^2 = 69450 \text{ cm}^4$$

Arabanın kreyin üzerinde uca doğru hareket ettiğine göre en büyük enine kuvvet  $P_{Kmax}$  :

$$\text{a) Gezer yükten dolayı : } \sim \varphi (3500 + 3200) = 1,6 \cdot 7600 = 10700 \text{ kg.}$$

$$\text{b) Kreynin kendi ağırlığından dolayı : } \sim \varphi \left[ \frac{2625 \cdot 2,60}{2} + \frac{440}{2} + 700 \cdot \frac{2625 - 150}{2625} \right] = 5150 \text{ kg.}$$

$$P_{Kmax} = 10700 + 5150 = 15850 \text{ kg.}$$

$t$  = Kafes kırışın kalınlığı = 0,8 cm. Buna göre kayma (torsiyon) gerilmesi :

$$\tau = \frac{1022 \cdot 15850}{69450 \cdot 0,8} = \frac{290}{69450} \text{ kg/cm}^2 \leq (\tau_{emn} = 910 \text{ kg/cm}^2)$$

Kaynağın kalınlığı  $a = 3,5$  mm olarak alındığında, kaynaktaki kesilme gerilmesinin değeri :

$$\tau = \frac{1022 \cdot 15850}{69450 \cdot 2 \cdot 0,35} = 330 \text{ kg/cm}^2$$

Ayrıca, en büyük eğilme momentinin meydana geldiği yerde, eğilme gerilimi  $\sigma_E$  ve kesme gerilimi  $\tau$  dan meydana gelen toplam gerilme  $\sigma$  kontrol edilmelidir. Bu nokta taşıyıcı sistemin orta noktasıdır. Şekil 146 da taşıyıcıının ortasındaki kesit gösterilmiştir. Buna göre

$$\sigma_E = \frac{M_{max}}{J} \cdot c = \frac{9940.000}{760.000} \cdot 76 = 934 \text{ kg/cm}^2; c = 760 \text{ mm (Şekil 146 dan)}$$

$$J = \frac{Q \cdot F \cdot h_F}{J \cdot t}; P_K = \text{Eğer araba ortada ise, taşıyıcıının ortasındaki enine kuvvetin değeri. (En büyük eğilme momenti buradadır.)}$$

$$\text{a) Gezer yükten dolayı } P_{K1} = \frac{2 \cdot 3500 \cdot 1,6}{2} = 5600 \text{ kg.}$$

$$\text{b) Kendi ağırlığından dolayı : } P_{K2} \approx 0 \text{ dir. (Orta noktası olduğu için)}$$

Böylece :  $P_K = 5600 \text{ kg. dir.}$

$F \cdot h_F$  = Şekil 146 daki kuşak kesitin statik momentidir.

$$F \cdot h_F = 20 \cdot 1 \cdot 76,5 + 5 \cdot 4 \cdot 79 = 1530 + 1580 = 3110 \text{ cm}^3 \text{ (Şekil 146 dan)}$$

Kırışın atalet momenti :  $J = 760000 \text{ cm}^4$  dir. Buna göre kesilme gerilmesi :

$$\tau = \frac{5600 \cdot 3110}{760.000 \cdot 0,8} = 30 \text{ kg/cm}^2 \text{ dir.}$$

$$\text{Tüm gerilimin değeri : } \sigma = \frac{\sigma_E}{2} + \frac{1}{2} \sqrt{\sigma_E^2 + 4 \cdot \tau^2} = \frac{994}{2} + \sqrt{\frac{994^2 + 4 \cdot 30^2}{4}} = 1000 \text{ kgcm}^2$$

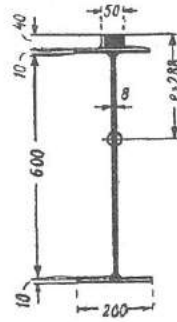
$$\sigma < \sigma_{emn} = 1540 \text{ kg/cm}^2 \text{ dir.}$$

Hareket rayı ile kuşak plakasının arasındaki boyun kaynağının hesabı, taşıyıcı hadde profilinin hesabı gibidir.

Şekil 134 de görülen konstrüksiyona sahip taşıyıcı, iki bağlantıya sahiptir. Kafes kırıştı bağlantıları Kreyn köprüsünün rayından 8000 mm. mesafededir. Kuşak bağlantıları : Kafes kırış bağlantısına nazaran 300 mm. kaydırılmıştır.

En büyük eğilme momenti ve en büyük enine kuvvet, araba ön tekerleriyle bağlantı noktaları üzerinde olduğu zaman meydana gelir.

$$\text{Gezer yük nedeniyle enine kuvvet : } P = 3500 \frac{(1825 + 1645)}{2625} = 4620 \text{ kg.}$$



Şekil: 147, Kafes taşıyıcı kırışın üç tarafından kesiti

Gezer yükten dolayı eğilme momenti :  $M_E = 4620 \cdot 800 = \frac{3700000}{2} \text{ kgcm}$

$$\text{Kendi ağırlığından dolayı eğilme momenti: } Mg_1 = \frac{ge \cdot 1}{2} \cdot 800 = \frac{ge \cdot 800^2}{2} = \frac{2,60 \cdot 2625}{2} \cdot 800 = \frac{2,60 \cdot 800^2}{2} \\ = 1910.000 \text{ kgcm.}$$

$$\text{Hareket eden sistemden dolayı eğilme momenti : } Mg_2 = \frac{440}{2} \cdot 800 = 176000 \text{ kgcm;}$$

$$\text{Operatör mahallin ağırlığı nedeniyle eğilme momenti : } Mg_3 = \frac{700 \cdot 150}{2625} \cdot 1825 = 73000 \text{ kgcm.}$$

Bağlantı noktasında tüm eğilme momentlerinin toplamı :

$$M_T = \varphi \cdot M_E + \varphi (Mg_1 + Mg_2 + Mg_3) = 1,6 \cdot 3700000 + 1,2 \cdot (1910000 + 176000 + 73000) = 8510000 \text{ kgcm.}$$

Alın kaynağındaki en büyük eğilme gerilmesi :

$$\sigma_E = \frac{8510000}{760000} \cdot 94 = 1070 \text{ kgcm}^2$$

(Yatay) kuvvetlerin değerleri :

$$\text{Gezer yükten dolayı} = 4620 \text{ kg.};$$

$$\text{Kendi ağırlığından dolayı: } 2,60 \left( \frac{2625}{2} - 800 \right) = 1330 \text{ kg.};$$

$$\text{Hareket eden sistemden dolayı: } \frac{440}{2} = 220 \text{ kg. dir.}$$

Operatör mahallinin meydana getirdiği yatay kuvvet dikkate alınmamıştır.

$$\text{Yatay kuvvetlerin tüm toplamı : } \varphi \cdot 4620 + \varphi (1330 + 220) = 1,6 \cdot 4620 + 1,2 (1330 + 220) = 9260 \text{ kg.}$$

$$\text{Alın kaynağındaki kesme gerilmesi : } \tau = \frac{9260}{170 \cdot 0,8} = 68 \text{ kg/cm}^2 \text{ dir.}$$

$$\text{Alın kaynağındaki toplam gerilme : } \sigma_T = \frac{\sigma_E}{2} + \frac{1}{2} \sqrt{\sigma_E^2 + 4\tau^2} = \frac{1070}{2} + \frac{1}{2} \sqrt{1070^2 + 4 \cdot 68^2} \\ = 1080 \text{ kg/cm}^2 \leq \sigma_{EMN} = 1580 \text{ kg/cm}^2$$

Taşıyıcı köprüün gezer yükten dolayı eğilme mesafesinin değeri :

$$f_1 = \frac{P}{48 \cdot J \cdot E} (l - a_1) [3 \cdot l^2 - (l - a_1)^2] = \frac{3500}{48 \cdot 760000 \cdot 2,15 \cdot 10} (2625 - 180) [3 \cdot 2526^2 - (2625 - 180)^2] \\ = 1,6 \text{ cm.} < \frac{1}{750} = \frac{2625}{750}$$

Kreynin kendi ağırlığından dolayı eğilme değeri :

$$f_2 = \frac{ge}{E} \cdot \frac{l}{J} \cdot \frac{5 \cdot l^3}{384} = \frac{2,60 \cdot 2625}{2150000 \cdot 760000} \cdot \frac{5 \cdot 2625^3}{384} = 0,98 \text{ cm.}$$

(Hareket sistemi ve operatör mahallinin tesiri küçük olduğundan dikkate alınmamıştır.

Tüm eğilme değeri :  $f_{max} = f_1 + f_2 = 2,6 \text{ cm.}$

Burada daha ziyade destekleyici lama demiri kullanılır. Mevcut sistemde  $\square 90 \times 8$  lama kullanılmıştır.

10. Aşağıda verilen şartlarda, perçin konstrüksiyonlu kafes yapılı bir kreyn köprüsünün hesabı istenmektedir.

Köprü uzunluğu :  $l = 23350 \text{ mm}$ ; Taşıma gücü  $Q = 10 \text{ ton}$ , arabanın tekerler arası mesafesi  $a = 1,8 \text{ m}$ ; Arabanın teker besinci şekil 136 ya göre  $P = 3,5 \text{ ton}$ , kreyn grubu II, kreyn hareket hızı  $V = 100 \text{ m/dak. dir.}$

Sistem ve yüklenme durumu :

Şekil 148 de seçilen sistem gösterilmiştir. Şekil 138 deki diagramdan taşıyıcı kırısların metre başına ağırlığı 125 kg/m olarak okunur.

(Kemer ile alt bağlantının her metresinin ağırlığı 45 kg/m. dir)

Sistemin toplam olarak her metresinin ağırlığı 170 kg/m. dir

Köprünün tüm ağırlığı :

$$170 \cdot 23,35 \approx 4000 \text{ kg. dir.}$$

Bu ağırlık 11 düğüm noktasına dağılmıştır. Bununla beraber son düğüm noktaları, diğer düğüm yüklerinin yarısını taşırlar.

Buna göre düğüm noktalarının yükü :

$$4000 : 10 = 400 \text{ kg.}$$

Tahrik sisteminin ağırlığı şekil 140 a göre 880 kg. dir. Tahrik motorunun gücü 20 PS tir. Ağırlık merkezi ortada bulunduğuanda, ana taşıyıcı kırıslı üzerine  $\frac{880}{2} = 440 \text{ kg. lik}$

yük tesir eder. Operatör kumanda kabininin ağırlığı 1,6 ton kabul edilmiştir. Buna göre her taşıyıcıya  $1600 : 4 = 400 \text{ kg-yük isabet eder.}$

Mevcut bu yüklerle göre mesnet kuvvetleri (gezer yük dikkate alınmamıştır.) :

$$A = 2985 \text{ kg; } B = 2255 \text{ kg; }$$

Gezer yük nedeniyle çubuk yüklenme kuvvetleri Sp nin hesabı :

Bunun için Şekil 148 de A-Polygon çizilmiştir. En büyük çubuk kuvvetleri arabanın en gayri müsait durumu dikkate alınarak tespit edilmiştir. Alt ve üst kuşak (kemer) lardaki kuvvetlerin değerleri sistemin sadece yarısı için hesaplanmıştır. Çünkü sisteminin her iki yarısının kuvvetleri birbirlerini aynısızdır. Diagonalallerde değişken zorlamalar mevcuttur. Burada bilhassa  $D_3$  ve  $D_4$  önem taşımaktadır.  $D_2$  de gezer yükten dolayı çekili kuvveti ve daimi yükten dolayı bası kuvveti dengeleşir. Değişken zorlama olduğunda en küçük ve en büyük çubuk kuvvet değerleri tespit edilir.

$D_3$  ve  $D_4$  e ait en küçük çubuk kuvveti için ayrıca B-Polygonunun hesaplanması gereklidir. Simetrik durumdan dolayı onlar, A-Polygonundan da okunabilirler.

$$D_3 \min = D_6 \text{ ve } D_4 \ min = D_5$$

En büyük çubuk kuvveti  $D_1$ , araba ön tekerleriyle  $D_1-O_1$  kesim noktası üzerinde bulduğu zaman meydana gelir ve hesaplanarak elde edilir.

$$D_{1max} = 3500 \cdot \left( 1 + \frac{209-180}{209} \right) \cdot \sqrt{\frac{209^2+190^2}{190}} = 5940 \text{ kg.}$$

Daimi yük dikkate alınarak Sg çubuk kuvvetlerinin tesbiti :

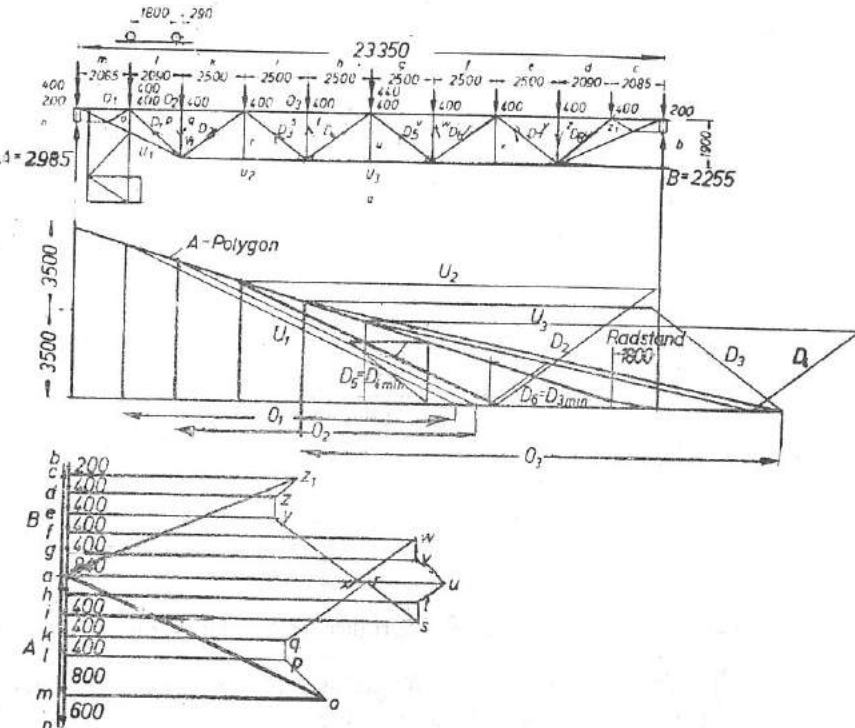
Bunlar Şekil 148 deki Cremonas-planından elde edilirler. Bu plan, sistem tam simetrik olmadığından, her iki yarında eşit kuvvetler meydana gelmez. Bu durumda kuvvetlerin büyük olduğu kısmı hesaplanır.

İvmeli hareket kuvvetlerinden dolayı Sb çubuk kuvvetlerinin tespiti : Gezer yükün frenlenmesinden meydana gelen frenleme kuvvetinin doğurduğu eğilme momenti :

$$M_{E'} = \frac{P \left( l - \frac{a_1}{2} \right)^2}{14 \cdot 2 \cdot l} = \frac{3500 (2335-90)^2}{14 \cdot 2 \cdot 2335} = 270000 \text{ kgcm.}$$

Zati ağırlığın, frenleme ile meydana getirdiği eğilme momenti :

$$Mg'_1 = \frac{g'e \cdot l^2}{14 \cdot 8}; g'e = \text{Ana ve tali taşıyıcı kırısların ağırlığının yarı değeri ile kabinin ağırlığını ifade eder. [kg/m.]}$$



Şekil : 148 Sistem; Gezer yük için A-Polygonu ve ana taşıyıcı kırısların daimi yükleri için Cremona planı görülmektedir.

$$g''e = \frac{125}{2} + \frac{40}{2} + 80 \approx 163 \text{ kg/m.}$$

$$M'g_1 = \frac{163 \cdot 2335^2}{14 \cdot 8} \approx 80000 \text{ kgcm.}$$

Hareket sisteminin frenleme kuvvetinden meydana gelen eğilme momenti :

$$M'g_2 = \frac{880 \cdot 2335}{14 \cdot 4} \approx 37000 \text{ kgcm.}$$

Kumanda kabininin frenleme kuvvetinden meydana gelen eğilme momenti değeri dikkate alınmamıştır.

Eğilme momentinin toplam değeri :  $M'_T = M_E + Mg'_1 + Mg'_2 = 270000 + 80000 + 37000 = 387000 \text{ kgcm.}$

Ana taşıyıcı kirişin üst kuşağındaki kuvvet (üst bağlantı 1,25 m. genişliğinde)  $S_b = \frac{387000}{125} \approx 310 \text{ kg. dir.}$

Alt rüzgar bağlantısı için bir Cremonaplan çizilebilir. Burada 10 düğüm noktasındaki düğüm noktalarının yüklenme değerleri :

$$P' = \frac{g''e \cdot 1}{14 \cdot 10}; \text{ Burada } g''e = \frac{125}{2} + \frac{40}{2} + 12,5 = 95 \text{ kg/m.}$$

$$P' = \frac{95 \cdot 23,35}{14 \cdot 10} \approx 16 \text{ kg.}$$

Bu küçük kuvvetler dikkate alınarak, tahmini bir hesap yapmak mümkündür.

$$\text{Eğilme momentinin değeri : } Mg'_1 = \frac{g''e \cdot l^2}{14 \cdot 8} \approx 46000 \text{ kgcm}$$

Alt kuşaktaki kuşak kuvvetinin değeri (her 1,25 m. kuşak mesafesi için)  $S_b = \frac{46000}{125} = 370 \text{ kg.}$

Alt bağlantının nihayetinde en çok zorlanan diyagonaldeki çubuk kuvvetinin değeri (Şekil 149 da görüldüğü gibi) şöylece tespit edilir.

$$A' = \frac{23,35 \cdot 95}{14 \cdot 2} = 80 \text{ kg.}$$

$D_1' = 160 \text{ kg. dir.}$

Bunun için en küçük norm profili L50-5 kâfi gelir.

Diğer diyagonellerin hesaplanması ihtiyaç yoktur. Çünkü zorlanma- lar daha küçüktür.

Tablo : 35 Çubuk kuvvetleri ve zorlanmaları :

Cubuk Nr.	Sp	1,4 · Sp	Sg	1,2 · Sg	S <sub>b</sub>	1,4 · Sg + 1,2 · Sg	1,4 · Sp + 1,2 · Sg	Profil	F	F <sub>n</sub>	Sk	i	λ	ω	γ	σ Ana kuvvetler kg/cm <sup>2</sup>	σ Ana ve tali kuvvetler kg/cm <sup>2</sup>
	t	t	t	t	t	t	t	<	cm <sup>2</sup>	cm <sup>2</sup>	cm	cm					
O <sub>1</sub>	-13,3	-18,6	-5,3	-6,4	-	-25,0	-	■	65,7								
O <sub>2</sub>	-12	-16,8	-4,4	-5,3	-	-22,1	-	■	355,8								
O <sub>3</sub>	-19,1	-26,8	-7,0	-8,4	± 3,1	-35,2	-38,3	■	65,8	250	11,2	22	1,03	-	550	- 600	
U <sub>1</sub>	+14,6	+20,5	+5,8	+7,0	-	+27,5	-	■	75,8	23,0	20,2				+ 1360		
U <sub>2</sub>	+16,5	+23,1	+6,0	+7,2	-	+30,3	-	■	30,2	26,2					+ 1160		
U <sub>3</sub>	+19,6	+27,5	+7,6	+9,1	± 0,4	+36,6	+37,0	■	80,10	30,2	26,2				+ 1395	+ 1410	
D <sub>1</sub>	-7,6	-10,7	-1,2	-1,4	-	-12,1	-	■	65,7	17,4	215	2,47	87	1,78	-	1240	
D <sub>2</sub>	-7,8	-10,9	-2,1	-2,5	-	-13,4	-	■	75,8	23,0	260	2,85	91	1,92	-	1120	
D <sub>3</sub>	+ 6,6	+ 9,2	+ 1,3	+ 1,6	-	+ 10,8	-	■	55,9	12,62	10,6	260	2,08	125	3,69	+ 1080	
D <sub>4</sub>	-2,8	-3,9	-	-	-	-2,3	-	■	65,7	17,4	14,6	260	2,47	105	2,61	+ 860	
D <sub>4</sub>	-5,3	-7,4	-0,7	-0,8	-	-8,2	-	■	65,7	17,4	14,6	260	2,47	105	2,61	+ 1230	
V <sub>1</sub>	+ 4,2	+ 5,9	-	-	-	+ 5,1	-	■	55,6	12,62	165	2,08	79	1,56	-	+ 350	
V <sub>1</sub>	-5,7	-8	-0,4	-0,5	-	-8,5	-	■	55,6	12,62	165	2,08	79	1,56	-	- 1050	

Çubukların ölçülerı :

Bulunan Sp, Sg ve Sb çubuk kuvvetleri tablo 35 de görüldüğü gibi bir araya toplanır. Ve bu kuvvetler ω ve φ kat sayları ile çarpılır ve ana kuvvetlere, ana-tali (yardımcı) kuvvetlere ilâve edilirler. Tablonun sağ tarafında: seçilen profiller, F kesiti, faydalı kesit Fn, serbest kırılma uzunluğu Sk, atalet yarı çapı i, incelik katsayıları λ, kırılma katsayıları ω, değişken zorlanmalı çubuklar için γ<sub>1</sub> katsayısi ve nihayet ana kuvvetlere ait zorlanmalar ile ana-tali kuvvetler için değerleri ayrı ayrı ifade edilmiştir.

Bası çubukları için ana kuvvetlerden meydana gelen gerilme :

$$\sigma = \omega \cdot \frac{1,4 \cdot Sp + 1,2 \cdot Sg}{F} \text{ ve}$$

Çeki çubukları için :

$$\sigma = \frac{1,4 \cdot Sp + 1,2 \cdot Sg}{Fn} \text{ dir.}$$

Ana-tali kuvvetlerde Sb çubuk kuvveti de ilave edilir. Ayrıca eğilmeye zorlanan üst kuşakla ve değişken zorlanmalı D<sub>3</sub> ve D<sub>4</sub> çubukları için ayrıca bir hesap zorunludur.

Üst kuşağın ölçülerı :

Araba tekerler arası mesafesi a<sub>1</sub> in, alan genişliği l<sub>1</sub> e olan oranı :

a<sub>1</sub> : l<sub>1</sub> = 1,8 : 2,5 = 0,72 dir. Buna ait k<sub>1</sub> ve k<sub>2</sub> değerleri Şekil 151 den : k<sub>1</sub> = 0,155 ve k<sub>2</sub> = 0,170 dir.)

En büyük alan momenti : P · l<sub>1</sub> · 0,155 = 3500 · 250 · 0,155 = 136000

$$M_A = 136000 \text{ kgcm}$$

En büyük mesnet momenti :

$$M_M = P \cdot l_1 \cdot 0,170 = 3500 \cdot 250 \cdot 0,170 = 149000 \text{ kgcm.}$$

Seçilen kesit ile kesitin ağırlık merkezinin yeri Şekil 150 de gösterilmiştir.

Bu kesitin atalet momenti J :

$$J = 66,8 + \frac{0,8 \cdot 35,5^3}{12} + 17,4 \cdot 5,65^2 + 5_2 \cdot 4 \cdot 9,5^2 + 35,5 \cdot 0,8 \cdot 10,25^2$$

$$J = 8317 \text{ cm}^4 \text{ dir.}$$

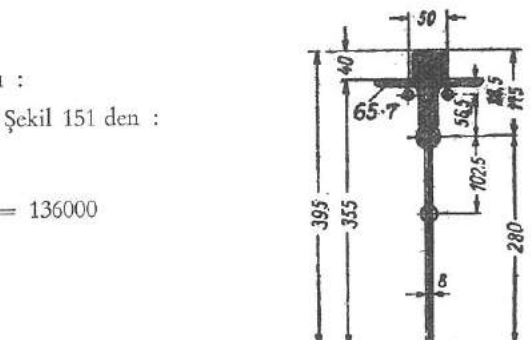
$$\text{Mukavemet momentleri : } W_{\text{üst}} = \frac{8317}{11,5} = 725 \text{ cm}^3 \text{ ve}$$

$$W_{\text{alt}} = \frac{8317}{28} = 297 \text{ cm}^3 \text{ dir.}$$

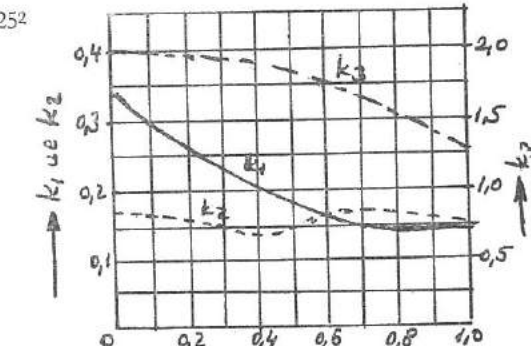
En büyük mesnet momentinde bası zorlaması (alt şerit için) mevcut olup, oen küçük mukavemet momenti Walt dikkate alınarak hesaplanır.

$$\text{En büyük eğilme gerilmesi : } \sigma_E = \frac{1,4 \cdot 149000}{297}$$

$$\sigma_E = -704 \text{ kg/cm}^2 \text{ dir.}$$



Şekil : 150, Üst kuşak (kemer) kesiti



Şekil : 151, Üst kuşağı eğilimine ait, k<sub>1</sub>, k<sub>2</sub> ve k<sub>3</sub> tesir katsayıları. Bunlar : a : l<sub>1</sub> orâna bağlıdır.

Tablo 35 e göre üst kuşağın en büyük bası zorlanması (dikkate alınan yer bir düğüm noktası olduğundan ω katsayısi dikkate alınmamıştır) ile ana kuvvetler için en büyük gerilim değerini σ hesaplanır.

$$\sigma = \sigma_E - \frac{550}{1,03} = -704 - \frac{550}{1,03} = -1240 \text{ kg/cm}^2 (\sigma_{EM} = 1400 \text{ kg/cm}^2) \text{ dir.}$$

V Düşey çubukları ve  $D_1$  Diagonali :

Şekil 151 e göre,  $\frac{a_1}{1} = \frac{1,8}{2,5} = 0,72$  oramı için mesnet basınç katsayısı  $k_3 = 1,63$  dür. Böylece mesnet basıncı

$1,63 \cdot P = 1,63 \cdot 3500 = -5700$  kg dir. Ve düşey çubuk bu basınç değerine göre tespit edilir.  $D_1$  için,  $\frac{a_1}{1} = \frac{1,8}{2,09}$  = 0,86 oram ile şekil 151 den okunan  $k_3$  değeri 1,47 dir. Mesnet basıncı da  $1,47 \cdot P = 5150$  kg, dir. Böylece, alan uzunluk oranlarından  $D_1$  değeri hesaplanır :

$$D_1 = 5150 \cdot \frac{280}{190} = -7600 \text{ kg. dir.}$$

Değişken zorlamalı çubukların ölçülerinin tespiti :

Tablo 35 e göre  $D_3$  — diyagonelinde min ve max. kuvvetlerinin oranı :  $\frac{\min S_1}{\max S_1} = -\frac{2,30}{10,8} = -0,21$  dir.

Bu değişken kuvvet oranına ait  $\gamma_1$  katsayısi 1,06 dır. ( $\gamma_1$  değeri malzemenin cinsine ve kuvvet oranlarına bağlıdır. 1 ile 2 arasında bir değerdir ve literaturlarda tablo halinde verilmiştir.) Böylece gerilimin değeri :

$$\sigma_1 = \frac{\gamma_1 \cdot \max S_1}{F_n} = \frac{1,06 \cdot 10800}{10,6} = 1080 \text{ kg/cm}^2 \text{ dir.}$$

Ayrıca  $-2,30$  ton bası kuvveti tesirinde bulunan  $D_3$  bası çubuğu  $\omega$  katsayısı dikkate alınarak ( $\gamma_1$  katsayısi dikkate alınmadan) kontrol edilmelidir. Hesaplanan gerilim değeri ( $\sigma = -680 \text{ kg/cm}^2$  dir) Tablo 35 e göre  $D_4$  diyagonalı için

$S_1$  bir bası kuvveti olduğundan, çubuk, ya değişken zorlamalı katsayı ile veya bası çubuğu olarak  $\omega$  kat-sayıısı ile hesaplanarak ölçülenlidir.

Bu durum için  $\omega$  değeri  $\gamma_1$  den daha büyük olduğundan, hesap  $\sigma = \omega \cdot \frac{-8200}{17.4} \approx -2,61 \cdot \frac{8220}{17.4} = -1320 \text{ kg/cm}^2$  dir.

Köprü ortasındaki eğilme :

Köprü uzunluğuna göre, köprünün ortasında meydana gelebilecek emniyetli eğilme değeri  $\alpha$

$$f_{\max} \approx \frac{1}{1000} \cdot 1 \approx 23 \text{ mm. dir.}$$

Diger dugum noktalarindaki egilmenin degeri :  $f = f_{max} \cdot 4 \cdot \frac{x}{l} \left( 1 - \frac{x}{l} \right)$  parabel esitliginden hesaplanir. Sistemin solundan baslanilarak x dugum mesafeleri esitlikte yerine konarak f degerleri hesaplanir.

Bu durum dikkate alınarak sistemin düğüm noktaları belirli bir yükseltmelere tabi tutulur ve konstrüksiyonu ona göre uygulanır. Bu sisteme ait uygulama değerleri Şekil 152 de gösterilmştir.

1 veya II nolu düğüm noktaları 13 mm. yükseltmiştir. 1 nolu noktanın D noktasına olan düşey uzaklılığı :  $1900 - 13 = 1887$  mm. dir. Yatay mesafesi ise :  $2085 + 2090 = 4175$  mm. dir.

$$u_1 = \sqrt{18872 + 14752} = 4582 \text{ mm. } 1$$

II nolu düğüm noktası I nolu düğüm noktasının 6 mm. üzerinde bulunduğundan : 1 — I düşey mesafe  $1900 - 6 = 1894$  mm. dir. Yatay mesafe ise :  $2090$  mm. dir.

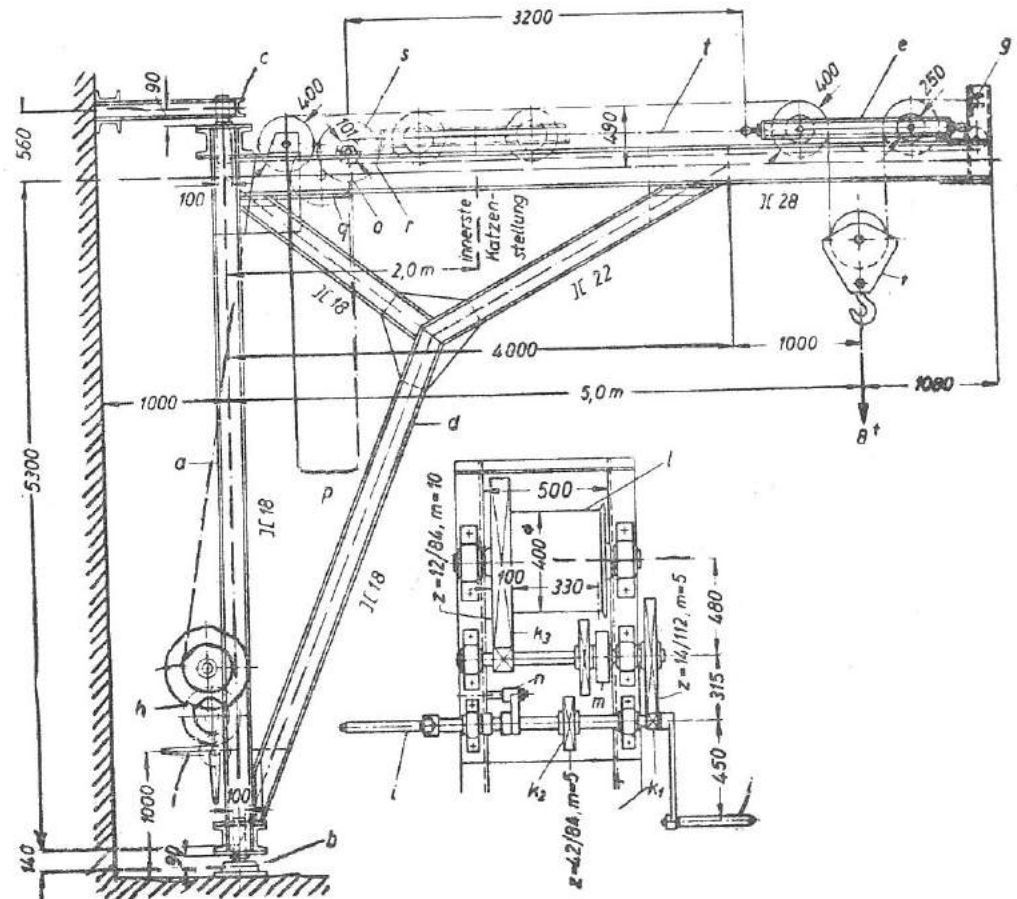
$D_1$  diyagonalının uzunluğu ise :  $D_1 = \sqrt{1894^2 + 2090^2} = 2821$  mm. dir. Böylece devam edilerek diğer düşüm noktalarına ait değerler tespit edilir.

Sistem uzunluğu, özel sistem üçgenleriyle de (Şekil 152'deki gibi) gösterilebilir.

Kreynin kısım bağlantıları itinâlı yapılmalıdır. En küçük eğilme momenti ve geriliminin bulunduğu yerlerden bağlantı yapılmalıdır. Genellikle perçin bağlantı yapıılır, çünkü kaba ciyatlar belirli bir esneme meydana getirirler.

Kreyn köprüsü ortadan, şekil 152 de x işaretile gösterilen yerlerinden bağlantıları kesilmiştir.

11. Döner duvar Kreyni : Şekil 152 de gösterilen döner duvar kreynin (perçinli konstrüksiyon uygulanmalı) hesaplanması ve ölçülendirilmesi isteniyor. Taşma gücü 8t. en büyük yükleme sahisi 5 m; en küçük sahisi 2 m, Kaldırma, araba hareketi ve döndürme el kumandalı. Kafes yapılı köprü kolu (St 37.11) dendir.



**Şekil : 152; Taşıma gitici 8 t. olan döner duvar kreyni. Kreyni kolu yükleme sahisi 5 m  
 a Dönebilen kreyn sütunu, b Alt ve yatak mesnetleri, c Üst yatak, d Kreyn yükleme kolu e Araba, f Alt makara, g Kaldırma halatı son bağlantısı, h Kaldırma sistemi, i Manivela  $k_1$  dişli çarkı,  $k_2 \cdot 2$  Hız değiştirme dişli çarkı,  $k_2$  Tambur dişli çarkı, l Kaldırma tamburu, m Kilit dişli band freni, n Ayarlı (kayıcı krank mili için tesbit tertibatı, o Araba hareket sistemi p Bucurgat zinciri, q Bucurgat tekeri, r Dişli çarkı, s Zincir t Araba talrik zinciri.**

Kreyen köprü yolu altında geniş bir serbest saha elde etmek için, alt kuşak Şekil 153 de görülen sistem çiziminde olduğu gibi iç kısma doğru kıvrıltılmıştır. Önce hareket eden yükün çubuk kuvvetleri (taşınan yük  $Q$  + araba ağırlığı  $G_K$ ) arabanın en dıştaki duruş vaziyeti dikkate alınarak tespit edilir. Mesnet kuvvetleri  $H_1$  ve  $H_2$  hesapla veya grafik yoluyla (Şekil 152) elde edilirler. Onlar  $Q_{\text{tüm}}$  de olduğu gibi düğüm noktasının haricinde tesir ettiğlerinden, kuvvetler planının çizilebilmesi için tesir değerleri düğüm notkalarına göre çevrilerek hesaplanırlar. Böylece, mesela I nolu düğüm noktasındaki yüklemeyi hesaplamak için I nolu çubuk, kiriş olarak I ve II mesnetlerinde yataklanmış gibi düşünülür ve mesnet kuvvetleri  $Q'$  tüm ve  $Q''$  hesaplanır.

$$Q'_{\text{tüm}} = Q_T \cdot \frac{5}{4} = 8,3 \cdot \frac{5}{4} = 10,4 \text{ ton}$$

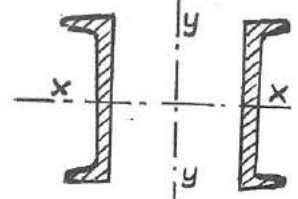
Halat çekim kuvvetleri de düğüm noktalarına göre kaydırılmış olduğundan böylece meydana gelen momentler dikkate alınmalıdır.



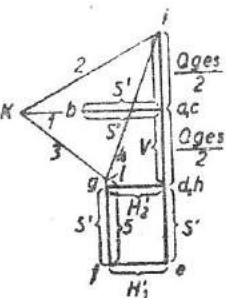
Çubukların ayrı ayrı hesaplarında şu hususa dikkat adilir. Çubuk 1 iki adet [ profilinden ibarettir. Bunlar, arabanın serbestçe hareket edebilmesi için sadece üç kısımlarında birbirine bağlanmışlardır. Çubuk bir çeki çubuğu olmasına rağmen, çekme gerilimi eğilme gerilimine nazaran daha küçük olduğundan, alt flanş basıya zorlanır. Çubuk 2 için en küçük atalet yarı çapı değeri  $\lambda y = 2,3$  alınabilir.

2 ve 3 çubukları birbirine bağlı (geçirilmiş) olduklarımdan, çok parçalı bası çubuğu gibi muamele görürler.

$x - x$  eksene göre kırılma durumunu kontrol etmek için normal incelik katsayısı yerine ideal incelik katsayı ile hesaplama yapılır. (Şekil 156)



Şekil : 156



Şekil : 157. Arabanın içteki duruş vaziyetine göre kuvvetlerin poligonu.

$$\lambda yi = \sqrt{\lambda y^2 + \lambda_1^2}; \lambda y = y-y ekseni için incelik katsayısi.$$

$\lambda_1$  = Herbir çubuğa ait incelik katsayısi.

[ - Profilin 500 mm. mesafesi için  $\lambda y = 27$ , 4 nolu çubuk için  $\lambda y = \frac{430}{27,0} = 15,9$  (Seçilen her profile ait  $\lambda$  değerleri malzeme listelerinden elde edilirler). ]

Her bir çubuğun 100 mm. uzunlığında  $\lambda_1$  (tüm çubuğun çeyrek kısmı) değeri :  $= \frac{100}{\lambda y_1} = \frac{100}{2,02} \approx 50$ ,

$$O halde 4 nolu çubuk için : \lambda yi = \sqrt{15,9^2 + 50^2} = 52,5$$

$$x - x$$
 eksene göre çubuk 4 için incelik katsayısi :  $\lambda x = \frac{430}{\lambda x} = \frac{430}{6,95} = 62; \omega = 1,29$  dir.

Bu eksene göre  $\lambda x$  katsayısi daha büyük olduğundan bu değer uygulanır.

Aynı yoldan devam edilerek 3 nolu çubuk için  $\lambda yi = 36$  değeri bulunur.  $x - x$  eksene göre incelik katsayısi  $\lambda x = \frac{206}{6,95} \approx 30$  dir.  $\lambda yi$  değeri daha büyük olduğundan bu değer dikkate alınarak hesap yapılır.  $\omega$  değeri ise 1,08 dir.

3 ve 4 nolu çubukların profilide ] [ 18 dir. Bu çubuklar daha az zorlanmalarına rağmen aynı tip profillerin kullanılması uygun görüldüğünden bu seçim yapılmıştır.

5 nolu çubuk, mevcut yükten dolayı küçük de olsa basıya zorlanır. Fakat bu çubuğun hareketi yük nedeniyle basıya zorlanabileceğinin ve dolayısıyla değişken yüklü çubuk olarak kabul edilip edilmeyeceği hususu araştırılmalıdır.

Arabanın en iç duruş vaziyetine göre kuvvetlerin poligonu Şekil 157 de gösterilmiştir. Bası kuvvetinin değeri 4,6 tondur.  $\gamma$  katsayısi değişken zorlanmanın durumuna göre (DIN 120) ye dikkate alınır. Çubuk kuvvetlerinin mevcut durumlarına göre :

$$\frac{\min S_I}{\max S_I} = \frac{\psi \cdot S_{min} + \varphi \cdot S_g}{\psi \cdot S_{max} + \varphi \cdot S_g} = \frac{1,2 \cdot 4,6 + 1,1 \cdot 0,06}{1,2 \cdot 7,2 - 1,1 \cdot 0,06} = 0,7; \text{ Bu değer bulununca } \gamma \text{ değeri tablolardan okunabilir. } \gamma^1 = 1,21 \text{ dir. } (\gamma \text{ değeri } 1 \text{ ile } 1,5 \text{ arasında değişir.})$$

Böylece düşünülen  $\sigma_I$  gerilimi hesaplanır.

$$\sigma_I = \frac{\psi \cdot \max S_I}{F_n} = \frac{1,2 \cdot 8630}{49,6} = 210 \text{ kg/cm}^2$$

Eğilme geriliminin ;  $\sigma_b = \frac{320+28}{290} \cdot 1000 = 1200 \text{ kg/cm}^2$  Ön işaretin değişmediğinden çubuk, emniyet değerinin haricinde zorlanmamıştır. Böylece sistemin çubuk kuvvetleri emniyetle hesaplanmıştır.

2. Araba hareket sistemi :

Hareket direnci :

$$W_1 = \frac{Q(1-\eta^3 R)}{\eta_R(1+\eta_R)} = \frac{8300(1-0,96^3)}{0,96(1+0,96)} \\ W_1 = 530 \text{ kg.}$$

Teker çapı 250 mm. olduğunda :

$$W_2 = \omega \text{ tüm } (Q+G_K) = 28 \cdot 8,3 = 232 \text{ kg.} \\ W = W_1 + W_2 = 530 + 232 = 762 \text{ kg.}$$

Zincir dişlisindeki çevresel kuvvet :

$$U = \frac{W}{\eta_1 + \eta_2} + S_I \left( \frac{1}{\eta_1 \cdot \eta_2} - 1 \right)$$

Seçilen zincir : çap :  $d=11 \text{ mm}$ ,  $t=31 \text{ mm}$ ; emniyetli faydalı yük :  $1140 \text{ kg}$ ; zincirin m. başma ağırlığı :  $2,7 \text{ kg/m}$ . Arabanın en uzak durumunda geçiş :  $x = 3,2$ ;  $f = 0,02 \text{ m}$ .

$$S_I = \frac{g \cdot x^2}{8 \cdot f} = \frac{2,7 \cdot 3,2^2}{8 \cdot 0,02} = 175 \text{ kg.}$$

$$U = \frac{762}{0,95 \cdot 0,93} + 175 \left( \frac{1}{0,95 \cdot 0,93} - 1 \right) = 860 + 23 = 883 \text{ kg.}$$

Dişli adedi 5 olduğunda zincir dişlisinin çapı :

$$D = \sqrt{\left(\frac{t}{\sin \frac{90}{5}}\right)^2 + \left(\frac{d}{\cos \frac{90}{5}}\right)^2} = \sqrt{\left(\frac{31}{0,31}\right)^2 + \left(\frac{11}{0,95}\right)^2} = 101 \text{ mm. dir.}$$

Zincir dişlisindeki yük momenti :  $883 \cdot \frac{10,1}{2} \approx 4450 \text{ kgcm.}$

Çapı 500 mm. olan tahrik dişlisindeki kuvvet momenti :  $22 \cdot \frac{50}{2} = 550 \text{ kgcm. dir.}$

$$\text{Gerekli çevrim oranı : } \ell = \frac{4450}{550 \cdot \eta \text{ (dişli kutusu)}} = \frac{4450}{550 \cdot 0,95} = 8,5$$

Döner Sistem :

Seçilen muylu çapı değeri : 100 mm. dir.

Muylu (mihver) deki eğilme momenti (Şekil 152 ye bakınız) :  $H_2 \cdot y_2 = (6900+440) \cdot 9 = 67000 \text{ kgcm.}$

$$\text{Eğilme zorlanması} : \sigma_E = \frac{67000}{W} = \frac{67000}{98} = 683 \text{ kg/cm}^2$$

$$\text{Bası zorlanması} : \sigma_B = \frac{V}{\pi d^2/4} = \frac{8300+2470}{\pi \cdot 10^2/4} = 137 \text{ kg}$$

$$\text{Tüm zorlanma} : \sigma_T = \sigma_E + \sigma_B = 820 \text{ kg/cm}^2$$

$$\text{Boyun (üst) yatağındaki yüzeysel sıkışma} : P = \frac{6900+440}{1 \cdot d} = \frac{7340}{8 \cdot 10} = 92 \text{ kg/cm}^2$$

$$\text{Diğer yataktaki yüzeysel sıkışma} : P = \frac{V}{\frac{\pi}{4} (d^2 - d_o^2)} = \frac{10770}{\frac{\pi}{4} (10^2 - 2^2)} = 145 \text{ kg/cm}^2$$

$$\text{Sürtünme momenti} : M_s = \left( V \cdot \frac{d+d_o}{4} + H \cdot d \right) \mu = \left( 10770 \cdot \frac{10+2}{4} + 7340 \cdot 10 \right) \cdot 0,1 \\ = 10570 \text{ kgcm.dir.}$$

Arabanın en dış durumunda, alt makaradaki dönme mukavemeti :

$$W = \frac{M_s}{a} = \frac{10570}{500} = 21 \text{ kg. dir.}$$

12. Şekil 159 ve 163 de şeması görülen döner kreynli ve hareket edebilen yükleme köprüsünün hesabı istenmektedir.

Döner kreyinin sabit kreyin kolumnun uzunluğu (yatay eksende) 20 m. iken kaldırılabilceği yük 5 tondur. Yani  $5t \times 20m$  dir.

Table 34 den :

$$\begin{aligned} \text{Dengeleme katsayısi } \varphi &= 1,4 \\ \text{Darbe katsayısi } \varphi &= 1,1 \end{aligned}$$

- a) Döner kreyni taşıyan tekerlerin basınç değerleri :

Döner kreyinin dönen bilen kısmının ağırlığı (araba kısmı hariç)  $G_q = 45,1$  tondur.

Tüm sistemin ağırlık merkezinin merkez harici  $\times$  mesafesi aşağıdaki bağıntıyla hesaplanır.

$$X = \frac{Q \cdot a + G \cdot e - Gg \cdot g}{Q + G + Gg}$$

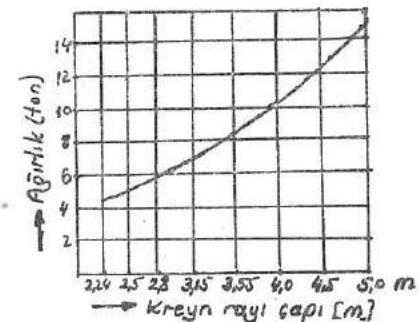
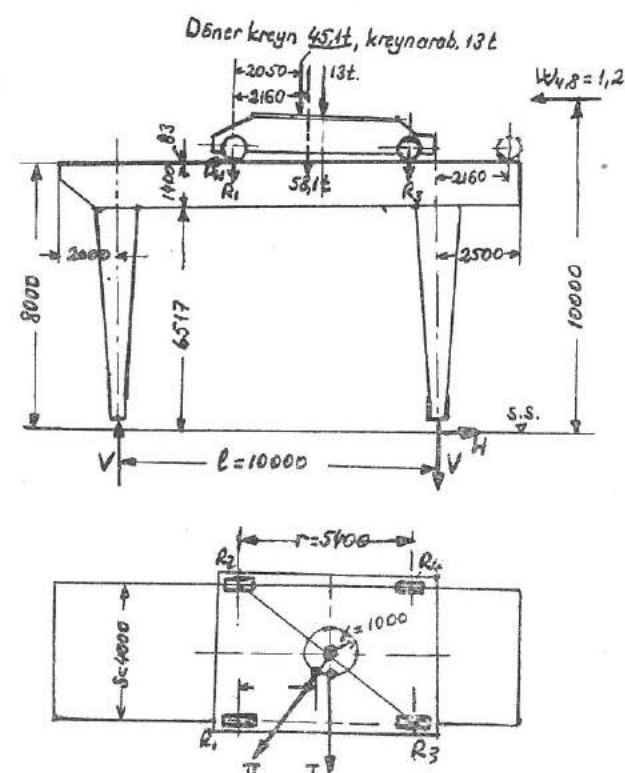
$$X = \frac{5 \cdot 20 + 24,1 \cdot 1,3 - 16 \cdot 5,15}{5 + 24,1 + 16} = 1,08 \text{ m. dir.}$$

Kreyin alt arabasının ağırlığı  $G_A = 13$  tondur. (Arabanın yuvarlak rayının çapı 4,5 m. dir.) (Şekil 159 den). Buna göre :

Şekil 158 den; Kreyin tekerler arası mesafesi  $r = 5400$  mm. ve teker hareket eksenleri arası mesafe  $S = 4$  m. dir.

- 1) Kreyin kolu I durumunda olduğuna göre :

$$R_1 = R_3 = \frac{G_A}{4} + \frac{Gg}{4} \left( 1 + 2 \frac{x}{s} \right) = \frac{13}{4} + \frac{45,1}{4} \left( 1 + \frac{2 \cdot 1,08}{4} \right) = 20,55 \text{ tondur.}$$



Şekil : 158, Döner kreynli ve hareket edebilen yükleme köprüsü. (Döner kreyin  $5t \times 20m$ ) ve yüklenme şeması

Şekil : 159 Döner kreyin alt arabasının ağırlıkları.

- 2) Kreyin kolu II. durumunda olduğuna göre :

(Eksantriklik  $t = 0$ )

$$R_{1\max} = \frac{G_A}{4} + \frac{Gg}{4} \cdot \left[ \frac{s}{s} + \frac{2 \times \sqrt{r^2 + s^2}}{S \cdot r} \cdot 2 \cdot \frac{r \cdot s}{r^2 + s^2} \right]$$

$$R_{1\max} = \frac{13}{4} + \frac{45,1}{4} \left[ 1 + \frac{2 \cdot 1,08}{4 \cdot 5,4} \left( \sqrt{5,4^2 + 4^2} + 2 \cdot 1,08 \cdot \frac{5,4 \cdot 4}{5,4^2 + 4^2} \right) \right] = 23,15 \text{ ton}$$

$$R_3 = \frac{G_A}{4} + \frac{Gg}{4} \left[ \frac{s}{s} + \frac{2 \times \sqrt{r^2 - s^2}}{r \cdot S} \cdot 2 \cdot \frac{r \cdot s}{r^2 - s^2} \right]$$

$$R_3 = \frac{13}{4} + \frac{45,1}{4} \left[ 1 + \frac{2 \cdot 1,08}{4 \cdot 5,4} \cdot \left( \frac{5,4^2 - 4^2}{\sqrt{5,4^2 + 4^2}} - 2 \cdot 1,08 \cdot \frac{5,4 \cdot 4}{5,4^2 + 4^2} \right) \right] = 15,35 \text{ ton}$$

### β — Ana Taşıyıcı Kirişin Hesabı :

Kirişin en büyük eğilme momenti kreyin arabasının belirli bir duruş vaziyetinde meydana gelir. Kreyin kolumnun I ve II duruş vaziyetine göre eğilme momentleri

- 1) Kreyin kolumnun I. duruş vaziyeti :

$$M_{EI \max} = R_1 \cdot \frac{\left( 1 - \frac{r}{2} \right)^2}{2 \cdot 1} = 20,55 \cdot \frac{\left( 10 - \frac{5,4}{2} \right)^2}{2 \cdot 10} = 55 \text{ tm}$$

- 2) Kreyin kolumnun II. nolu duruş vaziyeti :

$$M_{EII \max} = (R_1 + R_3) \cdot \frac{\left( 1 - \frac{a_1}{2} \right)^2}{4 \cdot 1} = (23,15 + 15,35) \cdot \frac{(10 - 2,16)^2}{4 \cdot 10} = \sim 59,5 \text{ tm.}$$

O halde bu moment dikkate alınacaktır.

Rüzgar bağlantısı ile beraber ana kirişin ağırlığı 6,5 tondur.  $M_{GE} = 6,5 \cdot \frac{10}{8} = 8,1 \text{ tm}$ . Ana kuvvetlerden dolayı en büyük eğilme momenti :

$$M_{max} = \varphi \cdot M_{GE} + \varphi \cdot M_{EII} = 1,1 \cdot 8,1 + 1,4 \cdot 59,5 = \sim 92,5 \text{ tm.}$$

Şekil 160 e göre seçilen kiriş :  $W_{xn} = 7410 \text{ cm}^3$

$$\text{Ana kuvvetlerle zorlanma : } \sigma = \frac{925000}{7410} = 1250 \text{ kg/cm}^2$$

(  $\sigma_{emn} = 1400 \text{ kg/cm}^2$  )

Şimdi ise ana ve tali kuvvetlerden dolayı zorlanmanın durumu kontrol edilmelidir.

Kreyin arabasının hareket yönündeki fren kuvveti  $= \frac{1}{7}$  tariqli tekerin en büyük teker basıncı (bir kiriş için)

$$P_H = \frac{23,15}{7} = 3,3 \text{ tondur.}$$

Rüzgar kuvveti (Döner kreyin ve köprü üzerine)  $W_{48} = 1,2 \text{ ton}$  (her taşıyıcı kiriş için)

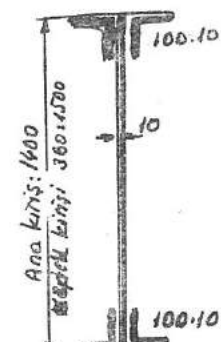
Köprü ayağındaki yatay destek kuvveti :  $H = 3,3 + 1,2 = 4,5 \text{ ton}$  (her ayak için)

$$\text{Düşey destek kuvveti : } V = \frac{1}{10} (1,2 \cdot 10 + 3,3 \cdot 8) = 3,8 \text{ ton.}$$

Taşıyıcı ortasındaki ilâve moment :  $M_{F+R} = 3,8 \cdot 5 = 19,0 \text{ tm.}$

İşletme durumunda ana ve ilâve kuvvetler nedeniyle en büyük eğilme momenti.

$$M_{max} = \varphi \cdot M_{GE} + \varphi \cdot M_{EII} + M_{F+R} = 1,1 \cdot 8,1 + 1,4 \cdot 59,5 + 19,0 = 111,5 \text{ tm.}$$



Şekil : 160 Ana ve destek kirişin kesiti

İşletme durumunda ana ve ilâve kuvvetler nedeniyle zorlanma :

$$\sigma = \frac{11150000}{7410} = 1500 \text{ kg/cm}^2 (\sigma_{\text{emn}} = 1600 \text{ kg/cm}^2)$$

İşletmede değilken ana ve ilâve kuvvetlerle zorlanma; rüzgâr basıncı  $128 \text{ kg/m}^2$

$$M_{\text{max}} = M_g + M_{\text{EI}} + M_R = 8,1 + 59,5 + 1,2 \cdot 5 \cdot \frac{128}{48} = 83,6 \text{ tm.}$$

Bu moment, yukarıdaki 111,5 tm. lik momente göre daha küçük olduğundan buna göre zorlanmayı kontrol etmeye ihtiyaç yoktur.

Köprüün hesabı :

Döner kreyn köprü üzerinde sağa doğru hareket ettiğinde, kreyn kolunun II duruş vaziyetine göre döner kreyn ile arabasının bileskesi takiben mesnet üzerinde bulunur. Mesnet yükü buna göre :

$$\text{Solda : } 23,15 + 15,35 = 38,50 \text{ t}$$

$$\text{sagda : } (45,1+13)-3850 = 19,60 \text{ t. dur.}$$

(Kuvvetler planına bakınız). Hareketli yük nedeniyle mesnet ana kirişinin yüklenmesi :  $S_p = -47,5$  tondur.

Köprüün tüm ağırlığı 27 ton ve her mesnetin yükü 13,5 tondur.

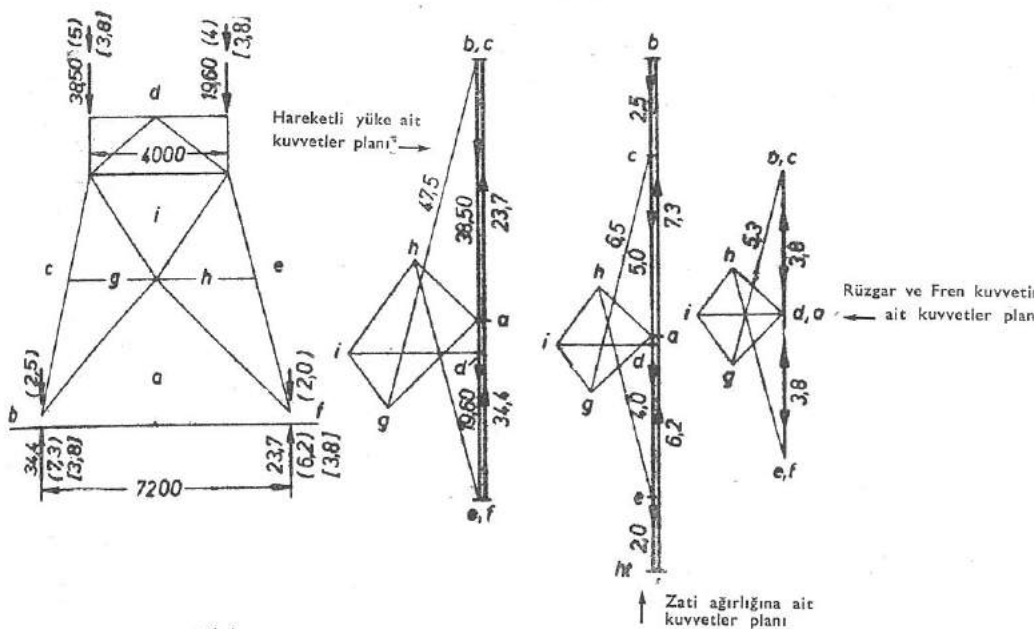
Şekil 161 de kuvvetlerin planı (poligonu) gösterilmiştir.

Ana kuvvetler nedeniyle yüklenme :  $1,1 \cdot 6,5 + 1,4 \cdot 47,5 = 73,7$  ton. Seçilen kesit şekil 160 a göre, yükseklikler devamlı artışla 360 dan 1500 mm. ye kadar:  $J_{y1} = 1563 \text{ cm}^4$   $J_{y2} = 1572 \text{ cm}^4$ ;  $F_1 = 112,8$ ,  $F_2 = 226,8 \text{ cm}^2$  dir.

$$l_1 = \sqrt{\frac{1563}{112,8}} = 3,72; \quad l_2 = \sqrt{\frac{1572}{226,8}} = 2,62 \text{ cm. } S_K = 290 \text{ cm.}$$

$$\lambda_1 = \frac{290}{3,72} = 78; \quad \lambda_2 = \frac{290}{2,62} = 110, \quad \omega_1 = 1,54, \quad \omega_2 = 2,86;$$

$$\sigma = 1,54 \cdot \frac{73700}{112,8} = 1010 \text{ kg/cm}^2 \text{ veya } \sigma = 2,86 \cdot \frac{73700}{226,8} = 930 \text{ kg/cm}^2$$



Şekil : 161 Köprüye ait mesnetlerin kuvvetler planı ve yüklenmesi.

Ana ve ilave kuvvetlerle zorlanma :

Fren ve  $48 \text{ kg/m}^2$  lik rüzgâr kuvvetiyle mesnet ayağındaki yatay kuvvet :  $H = 4,5$  ton dur.

En büyük moment :  $M_{F+R} = 4,5 \cdot 6,517 = 29,3 \text{ tm.}$

$$W_{xN} = 8210 \text{ cm}^3, \text{ Eğilme zorlanması : } \sigma_E = \frac{2930000}{8210} = 356 \text{ kg/cm}^2, \text{ Fren ve } 48 \text{ kg/m}^2 \text{ lik rüzgâr kuvvetiyle ek düşey mesnet kuvveti : } V = 3,8 \text{ tondur.}$$

Kuvvetler planından (Şekil 161) çubuk kuvveti :  $S_{F+R} = 5,3 \text{ ton.}$

$$\sigma = 2,86 \cdot \frac{73,7+5,3}{226,8} \cdot 1000 + 356 = 1356 \text{ kg/cm}^2$$

$48 \text{ kg/m}^2$  lik rüzgâr kuvveti köprüye çok az bir zorlanma vermektedir.

İşletme haricinde ana ve tâli kuvvetlerle zorlanma, işletme durumuna göreki değerden daha küçük olduğundan ayrıca bir kontrol hesabına ihtiyaç yoktur.

Mesnet ana kirişinin ilâve çubuk bağlantıları şekil 161 e göre ölçüldür.

d) Köprüün ana taşıyıcı kirişleri arasındaki rüzgâr bağlantıları :

Ana taşıyıcı kirişlerin alt ve üst kuşak yüzeylerinde, her biri için bir rüzgâr bağlantısı öngörülmüştür.

Üst rüzgâr bağlantısı daha kuvvetle zorlanır, çünkü burada kreynden gelen rüzgâr kuvvetleri de tesir ederler. En büyük yüklenme, işletme durumunun haricinde  $128 \text{ kg/m}^2$  lik en büyük rüzgâr kuvvetiyle meydana gelir.

Hareketli kreynin tüm rüzgâra karşı yüzeyi  $\sim 40 \text{ m}^2$  dir.

Kreyn üzerine tüm rüzgâr kuvveti :  $40 \cdot 128$

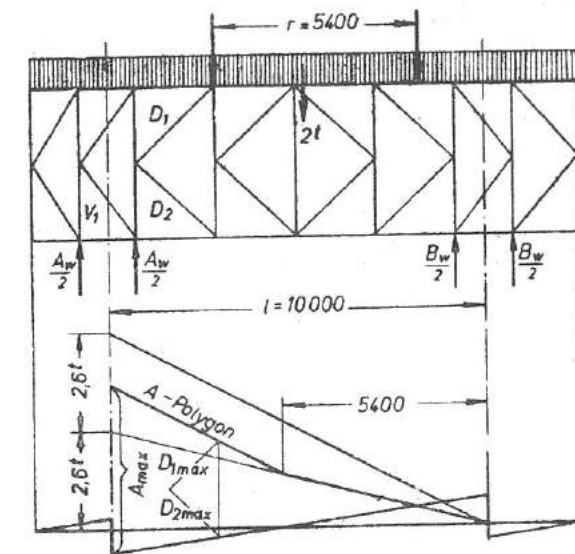
$$= 5100 \text{ kg, her teker için } = 2600 \text{ kg. dir. Köprü ana kirişleri üzerindeki rüzgâr basıncı : } 30 \cdot 128 = 3800 \text{ kg ve her bir rüzgâr bağlantısı için takiben } 2000 \text{ kg. dir.}$$

Üst rüzgâr bağlantısının yüklenme şekli ve şeması şekil 162 de gösterilmiştir. Hareketli yükten dolayı düşey ve diagonal en büyük çubuk kuvvetlerinin tesbiti A = poligonu ile yine şekil 162 de verilmiştir.

Kreyn arabasının en anormal duruş vaziyetine göre, mesnet yataklarının değeri A = 2,3 tondur. Buna ilaveten, bütün köprü boyunca eşit olarak dağılan rüzgâr kuvvetlerinden dolayı bir enine kuvvet vardır. Tüm enine kuvvetler her iki D<sub>1</sub> ve D<sub>2</sub> diagonal çubukları üzerine dağılırlar. Böylece : D<sub>1max</sub> = D<sub>2max</sub> = 1,85 tondur. Böylece diagonallerde ölçülebilirler. çünkü bunlar sadece rüzgâr basıncı ile yüklenirler.

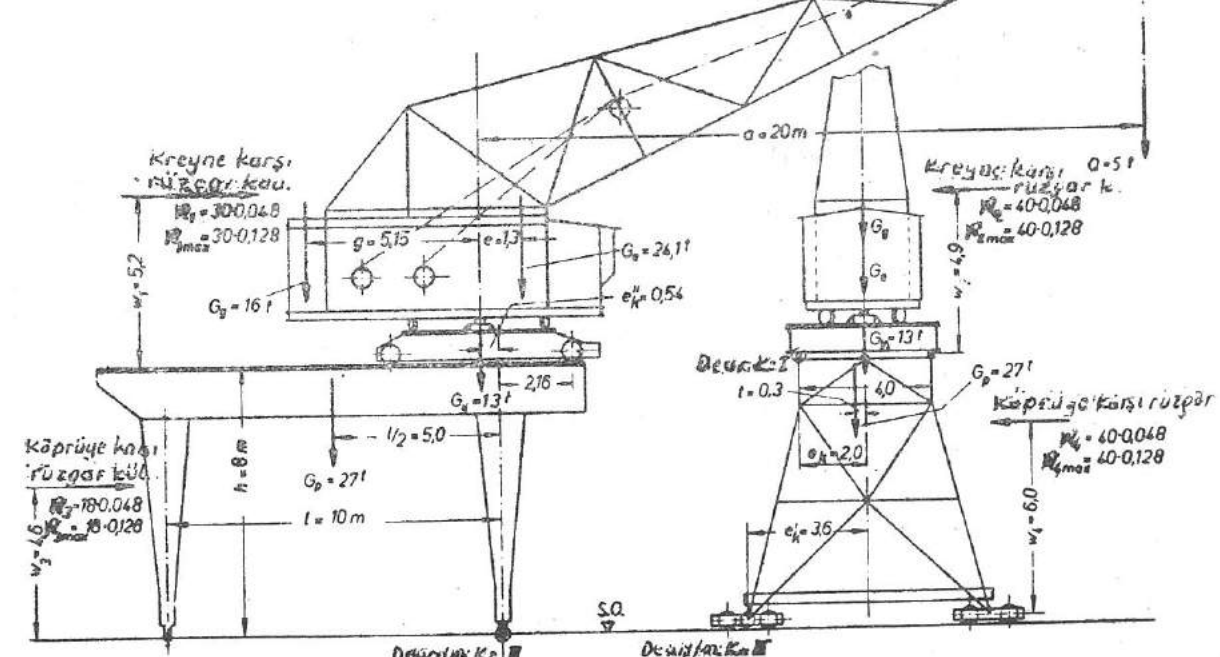
En büyük düşey kuvvet V<sub>1</sub> de meydana gelir. Onun değerde en büyük mesnet yatakları A<sub>max</sub>'ın yarısına eşittir.

e) Hareketli kreynin duruş emniyeti. (Devrilmemeye emniyeti). Aşağıdaki şekil 163 e bakınız.



Enine kuvvetler çizgisi (Eşit şekilde yüklenme için)

Şekil : 162, Yüklenme şeması ve üst rüzgâr bağlantısına ait A — poligonu



Şekil : 163 Denge emniyetinin kontrolü.

Bunun için ölçü I nolu devrilme köşesidir. (Kreyn kolumnun vaziyeti, köprü boyunun aksi istikametindedir.)

1) Kreyn 5 ton yükle ve  $48 \text{ kg/m}^2$  lik rüzgâr kuvvetiyle :

$$\begin{aligned} \text{Devrilmeme emniyeti : } D_E &= \frac{\sum \text{Denge momentleri}}{\sum \text{Devirme momentleri}} \\ (\text{Denge}) \quad &= \frac{Ge \cdot (e_k - e) + Gg (e_k + g) + G_A \cdot e_k}{(Q + dQ) \cdot (a - e_k) + W_1 \cdot w_1} \end{aligned}$$

İvme kuvveti  $dQ$ ,  $\frac{Q}{10}$  alınabilir. (ivme  $1 \text{ m/san}^2$ )

$$D_E = \frac{24,1 (2-1,3)+16 (2+5,15)+13,2}{(5+0,5) (20-2)+(30 \cdot 0,048) \cdot 5,2} = 1,47 \text{ bu değer emniyetlidir. (Min. Emniyetli değeri 1,3 tür.)}$$

2) Kreyn 5t yükle ve hareketsiz durumda :

$$D_E = \frac{24,1 (2-1,3)+16 (2+5,15)+13,2}{5 (20-2)} = 1,74$$

DIN 120 ye göre denge emniyeti bu durumda en azından 1,8 olmalıdır. Yukarıdaki neticeye göre emniyeti artırmak için bir kavrama (tutma) kancası öngörülmesi lazımdır (Kreyn arabasına bağlı). Eğer kavrama kancası 1,3 ton ile yüklenmiş ise, böylece denge emniyeti :

$$D_E = \frac{24,1 (2-1,3)+16 (2+5,15)+13,2+(1,3+4)}{5 (20-2)} = 1,8 \text{ dir.}$$

3) Kreyn yüksüz fakat en büyük rüzgâr kuvveti tesir etmekte ve işletme haricinde

$$\begin{aligned} D_E &= \frac{Ge(e+e_k)-Gg(g-e_k)+G_A \cdot e_k}{W_{1\max} \cdot w_1} & G_A = G_U = \text{Araba ağırlığı.} \\ & & W_{1\max} = \text{En büyük rüzgâr kuvveti} \\ D_E &= \frac{24,1 (1,3+2)-16 (5,15-2)+13,2}{(30 \cdot 0,128) \cdot 5,2} = 2,75 \text{ (emniyetli değer 1,5)} \end{aligned}$$

ζ) Köprüün denge emniyeti :

Burada denge emniyeti sadece rüzgâr kuvetine göre hesaplanacaktır. (Durum 1 ve 3) çünkü denge emniyeti (ruzgârsız hareketsiz durumda) köprünün kendi ağırlığı nedeniyle her halikârdâ kreynin hareketli oluşuna nazaran daha büyütür. O halde II ve III nolu devrilme köşeleri dikkate alınacaktır. Bu hesaplama yapılırken kreynin en anormal durus vaziyeti ve en büyük rüzgâr kuvveti dikkate alınmalıdır.

1) Köprü 5 ton yük ve  $48 \text{ kg/m}^2$  lik rüzgâr kuvvetiyle yüklü.

Devrilme köşesi II, kreyn kolu, köprü uzunluğuna göre ters yönde :

$$D_E = \frac{Ge(\epsilon_k - e) + Gg(\epsilon_k + g) + G_A \cdot \epsilon_k + Gp(\epsilon_k - t)}{(Q + dQ) \cdot (a - \epsilon_k) + W_1 \cdot (w_1 + h) + W_4 w_4}; W_1 \text{ ve } W_4 = \text{Rüzgâr kuvvetleri}$$

$$D_E = \frac{24,1 (3,6-1,3)+16(3,6+5,15)+13 \cdot 3,6+27 (3,6-0,3)}{(5+0,5) (20-3,6)+(30 \cdot 0,048) \cdot (5,2+8,0)+(40 \cdot 0,048) \cdot 6,0} = 2,75 \text{ (emniyetli)}$$

Devrilme köşesi III. Kreyn kolu köprü istikameti yönündedir. Kreyn tamamen dışa doğru (sağa veya sola) hareket etmiştir.

$$D_E = \frac{Ge(\epsilon_k - e) + Gg(\epsilon_k + g) + G_A \cdot \epsilon_k + Gp \cdot \frac{1}{2}}{(Q + dQ) \cdot (a - \epsilon_k) + W_1 \cdot (w_1 + h) \cdot W_3 \cdot w_4};$$

$$D_E = \frac{24,1 (0,54-1,3)+16 (0,54+5,15)+13 \cdot 0,54+27 \cdot 5}{(5+0,5) \cdot (20-0,54)+(30 \cdot 0,048) \cdot (5,2+8,0)+(18 \cdot 0,048) \cdot 4,6} = 1,65 \text{ (Emniyetli değer 1,3) Bu değer daha iyidir.}$$

2) Köprü yüksüz, en büyük rüzgâr kuvvetinin tesiri var. (İşletme durumunda değil)

Devrilme köşesi II, kreyn kolu köprü boyunun ters yönünde Zit ağırlık devrilme köşesine göre yönelmiştir.

$$D_E = \frac{Ge(e+e'_k) - Gg(g-e'_k) + G_A \cdot e'_k + Gp(e'_k - t)}{W_{1\max}(w_1 + h) + W_{4\max} \cdot w_4}$$

$$D_E = \frac{24,1 (1,3+3,6)-16 (5,15-3,6)+13 \cdot 3,6+27 (3,6-0,3)}{(30 \cdot 0,128) \cdot (5,2+8,0)+(40 \cdot 0,128) \cdot 6,0} = 2,8$$

D Köşesi III kreyn kolu köprü uzunluğu yönünde. Kreyn tamamen köprünün ucunda. Zit ağırlık kreyn kolumnun tarafında :

$$D_E = \frac{Ge(e+e''_k) - Gg(g-e''_k) + G_A \cdot e''_k + Gp \cdot \frac{1}{2}}{W_{1\max}(w_1 + h) + W_{2\max} \cdot W_2}$$

$$D_E = \frac{24,1 (1,3+0,54)-16 (5,15-0,54)+13 \cdot 0,54+27 \cdot 5}{(30 \cdot 0,128) \cdot (5,2+8,0)+(18 \cdot 0,128) \cdot 4,6} = 1,84 \text{ (Emniyetli değer 1,5) Bulunan değer daha iyi bir değerdir.}$$

## Kreyنlerin İşletilmesi ve Bakımı

Kreynlerin işletme masrafları, ömürleri, kullanılması sadece konstrüksiyonun özelliğine, malzemenin kalitesine ve imalatının uygulanmasına değil, aynı zamanda itinah bakımına ve iyi bir işletme tarzına bağlıdır. Kazadan korunma talimatı ile kreyn imalatçı firmaların işletme talimatlarına muhakkak dikkat edilmelidir. Bunlarla ilgili olarak aşağıdaki hususlar sayılabilir.

### 1) Kreyn Operatörü :

Kreyn operatörleri 18 yaşından büyük, hizmet ve kullanıcıları itimada, şayan kimseler olmalıdır. Bir kaza yapmak için gerekli bilgiler kendilerine verilmelidir. Sıhhatleri, görme ve işitme duyuları gayet iyi, az heyacanlı, ileriye ve derinliği iyi tahmin edebilme hassasiyetleri olmalıdır. Operatör, kreynlerin elektrik ve mekanik elemanları üzerinde ana bilgilere sahip olmalıdır. Büyüklük tesisler mevzubahis olduğunda operatörlerin montaj esnasında tesisin durumunu izleminde muhakkak büyük faydalalar vardır. Eğer kreyn birkaç vardiyede kullanılıyorsa, teslim edilen şahsa eksiklikler hususunda gerekli bilgiler verilmelidir. Eğer birçok kreyninin bakımı öngörülmüş ise, bunlara şef olarak nezaret edebilecek bir ustabaşının yetiştirmesi çok uygun düşer.

### 2) İşletme :

Her işletmeye almadan önce, tüm kapama, kilitleme düzenleri, ray makasları, rüzgar emniyetleri vs. ler çözülmeli dir. Ana şalteri harcet ettirmeden önce, tüm kumanda sistemlerinin normal olduğu kontrol edilmelidir. Kreyn'in hareketinde elektrik akımının normal değerde olup olmadığı hususu da önemlidir.

Her bir hareketi temin eden kumanda organları çalıştırılırken acele olmamaya dikkat edilmelidir. Aksi takdirde ani elektrik akımının yükselmesi ve kuvveti ivme darbesiyle sisteme elektrikli ve mekaniki zararlar meydana gelebilir. Uzun müddet kumandanın açık tutulması da mahzurludur. Çünkü dirençler genellikle bunun için yeterli değildir. Mekanik frenlerde ani açıp kapama işlemlerine maruz bırakılmamalıdır. Çok önem taşıyan bir husus şudurki, kreyn veya araba yüksek hızla limit şaltere doğru hareket ettilmemeli veya kanca; altmakara hızla çekilmemelidir. O halde operatör, motorun durdurulduğu andan itibaren hareketin daha ne değerde süreBILECEĞİNİ tahmin edebilmelidir. Ancak böyle bir kullanma tarzı sistemin kullanma ömrü üzerine olumlu etkide bulunur.

Kreyn'in taşıyabileceği azanı yük değerinin üzerine çekilmemalıdır. Yükün şekli ve yapabileceği yan tesir önceden iyice tesbit edildikten sonra kaldırma işlemine geçilmelidir. Kreyni kullanan operatör, aşağıda yükü kancaya veya başka bir şeye bağlıyan şahısların talimatına uygun olarak kreyn hareketlerini uygulamalıdır. Yükle beraber bir şahısın taşınması yasaktır. Yük o şekilde bağlanmış olmalıdır ki taşıma esnasında vaziyetini değiştirmemelidir. Ağır bir yük iki kreyn tarafından taşınması mevzu bahis olduğunda, kreyn ustası, işletme şefi veya diğer ilgili şahıslar işyerinde bulunmalıdır.

Genellikle kazaya imkân verilmelidir. Kumanda kabini içerisinde operatör için tüm talimatlar bulunmalıdır. İlgi si olmaların içeriye girmesine yasak tabelasıyle mani olunmalıdır.

Yük mümkün olduğu kadar şahısların baş yüksekliklerinde taşınmamalı ve taşınan yük altında insanlar bulunmamalıdır.

Kreynle ilgili alet ve edevatlar gelişigüzel etrafıta durmamalıdır.

Kreyn terkedilmeden önce yük çözülmeli ve boş kanca yukarı çekilmelidir. Bütün kumanda aparatları sıfır durumuna getirilmeli ve mekanik frenler çekilmelidir. Tespit etme, kilitleme, makaslama yapılmalıdır.

### 3) Devamlı bakım ve işletme :

Kreyn'in devamlı bakımından kreyn operatörü sorumludur. Bilhassa yerine getireceği hususlar : Çeşitli yağlama lar, frenlerin ayarı, halatların kontrolü ve tüm aşınan parçaların devamlı tetkikidir.

a) Yağlama : Bir yağlama planı öngörlerek, o şemaya göre hareket edilmesi tavsiye olunur. Genellikle hızlı devreden millerin kayma yatakları hergün, yavaş dönenlerin ise enazından haftada bir defa kontrol edilmeli ve gerektiğinde taze yağ doldurulmalıdır. Yatak yerlerinin ısmınlarına dikkat edilmelidir. Yağlanacak yerler çok az veya gereğinden fazla yağlanmış olmamalıdır. Nadiren hareket eden kolların hareket yerlerine zaman zaman biraz yağ konulmalıdır. Rulmanlı yataklara senede bir veya iki defa taze gres yağı konulmalıdır.

Bilhassa imalatçı firmanın yağlama yerleri için öngördüğü yağ cinslerinin veya çok yakın benzerlerinin kullanılmasına çok itina gösterilmelidir.

Dışı kutularının yağlanması kreynlerde bilhassa önem taşır. Açıktır olan dışlı gruplarının hiçbir zaman kuru çalışmalarına (yağsız) meydan verilmemelidir. Dışı kutusu içindeki yağ seviyesi zaman zaman kontrol edilmelidir. Yağ kutularının sizdirilmeliğine dikkat edilmelidir. En uygun yağ cinsi kullanılmalıdır.

Yataklar, dışlı kutuları, yağ depoları vs. ler her altı ayda bir defa, çok nadir çalışan işletmelerde her senede bir yağ veya gresden temizlenmeli, petrole yılanmalıdır, ve sonra yeni taze yağ ile doldurulmalıdır.

#### b) Frenlerin ayarı :

Bütün frenler hergün, nadir kullanılan kreynlerde kullanılmaya başlamadan önce frenin çalışma fonksiyonu kontrol edilmelidir. Fren çözümcülerin çalışmalarına mani olabilecek bir şey bulunmamalıdır. Eğer fren ayarı (aralığı) bozulmuş ise, yeterli derecede bir ayarlama yapılmalıdır. Frenin çözülmüş durumda fren pabuçları veya fren bandı diske hiçbir noktada temas etmemelidir. Ve pabuç ile disk arasındaki mesafe her yerde eşit olmalıdır. Fren disk tamamen parlak olmalıdır. Disk üzerinde çiziklikler varsa bu, ya disk malzemesinden veya balatın temsiriindendir. Balatın değiştirilmesiyle bu çizikliklerde kendiliğinden zamanla ortadan kalkar. Derin çizikler olduğunda disk torna edilerek düzeltir ve parlatalır.

Fren kollarının tüm hareketli yerleri iyi yağlanmış olmalıdır.

c) Halatların kontrolü : Halatlar asit etmeye uygun greslerle yağlanır. Halatların dış görünüşlerindeki tüm değişiklikler kontrol edilmelidir. Halatın tamburdan düşmesi, halatın bir sisteme takılması, düğüm yapması, vs. hususlar hemen ilgililere bildirilmelidir. Eğer her sicim uzunluğunda görünen tellerin aşağıda belirtilen oranları kopmuş ise, halatlar değiştirilebilir.

Halat sarım şekli .....	Çapraz sarım	Doğu sarım
222 Telli halatlarda .....	15 %	4 %
114 » » .....	8 %	2 %

Bir sicimin tamamen kopması veya kuvvetli paslanması halinde halat derhal saf dışı edilmelidir.

d) Diğer aşınan parçaların kontrolü : Tüm, aşınmaya maruz kalan parçalar devamlı kontrole tabi tutulmalıdır. Bilhassa tekerler, bilezikler, aşınan diskler, benzerleri buna aittir. Bilhassa fazla aşınmalar bilinerek zamanında değişikliklerin yapılması sağlanmalıdır. Az bir yağlama da bazan çok fazla aşınmalara sebebiyet verir.

### 4) Revizyonlar :

Kreynlerin durumları, işletme durumlarına göre belirli aralıklarla (mesela yılda en azından bir defa), uzmanlar tarafından baştan başa kontrole tabi tutulmalıdır. Kontrol, kreyn sisteminin sadece aşınmalarını değil, elektrik tesisini de içine almalıdır. Neticeler bir kontrol defterine kaydedilmelidir.

a) Kreyn gövdesi (iskeleti) : Çelik konstrüksiyonundaki bağlama elemanlarında gevşeme meydana gelmişse, ya sıkıştırılmış veya gerekiyorsa değiştirilmelidir. Yatay bağlantıların bağlanma şekillerine ve yüklenme durumuna göre aldığı vaziyetlere dikkat edilmelidir. Eğer münferit parçalar, çubuklar veya düğüm saç lamaları çizilmiş veya çatılmış ise, işletme hemen durdurulmalı, gerekli tedbirler alınmalı ve imalatçı firmanın tavsiyesi sorulmalıdır.

Çizinti yerleri önce iyice temizlenmeli ve yeni kurşun karışımı ana madde ile sıvanmalıdır. Bu kuruduktan sonra boyalı tabakası sürtülmelidir.

b) Elektrik tesisatı : Birinci planda kumanda kamları, kontakt verici başları ve temas bilezikleri kontrol edilmelidir. Aşınan yanık yüzeyli parçalar, itici başlıklar değiştirilerek münferit yanık yerleri ve noktaları uzaklaştırılmalı ve parlatılmalıdır. İtici başlıklarının itmesi yeterli derecede değilse, ayarlanmalıdır. Bütün parçalar, tozdan ve kirden temizlenmeli ve kontakt yüzeyleri hafifçe vazelinle yağlanmalıdır.

Motorlarda, fırçalar, kollektörler ve kömürler kontrol edilmelidir. Kömürler, tüm yüzey boyunca uygun bir biçimde tesis etmelidir. Kollektörler ve fırçalar kuru bir bezle temizlenmeli ve üflemeli şekilde vazelinle yağlanmalıdır. Onlar parlak olmalı ve salgısız dönmelidirler. Salgı yapması halinde veya fazla yüklenme veya kısa devre ile bozulan yüzeyi tornalanabilir ve taşlanabilir.

Diğer elektrik tesisatlarından bilhassa limit şalteri ve fren çözümleri fonksiyonları yönünden kontrol edilmelidir.

#### 5) Tamir İşleri :

Kazaya sebebiyet vermemeye yönünden aşağıdaki hususlara dikkat edilmelidir. İşe ancak mesul işletme memurunun haberdar edilmesinden sonra başlanılmalıdır. Bunlar boş zamanda iken yapılmalıdır.

Tamir işlemi için kreyin, kreyin hattının sonuna doğru çekilmeli ve tamiri gereken yerlere ulaşım mümkün mertebe kolay olmalıdır. Eğer tamire dilecek yere ulaşmak güç ve destek gerektiriyorsa, desteğiñ kaza yapmasına meydan verilmemeli, gerekli tedbirler alınmalıdır. Kreyinin altındaki sahayı çevirmeli ve gerilmesine mani olacak tabela konulmalıdır.

Bir kreyinin tamirde olduğu, diğer kreyin operatörleri tarafından bilinmeli ve dolayısıyle herhangi bir çarışma meydana gelmemelidir.

Tamir işleminin nihayetinde kreyin, mesul işletme amiri tarafından kontrol edilerek teslim alınmalıdır ve akabinde operatör tarafından deneme hareketleri yapılmalıdır.

#### 6) Yedek parçalar :

Çabuk aşınmaya maruz kalan parçalar için yeterli derecede yedek parçaların ambarlarda tutulması tavsiye olunur. Bir parçanın eksikliği halinde kreyin uzun süre boş kalabilir. Onun için yedek parçanın ambarda bulunması önem taşır.

Normal olarak aşağıda zikrolunan yedek parçaları sayılabilir :

Her biri için bir kaldırma halatı, yedeği,

Dişli ile komple teker veya sadece teker yedekleri (mevcut her teker çapında)

Herbir motor için motor pinyon dişli yedeği

Herbir yatak için yatak kovası yedeği (mevcut her çapta)

Rulman yedeği (mevcut her çapa göre)

Her çapta miller için çeşitli tipte conta yedekleri

Her fren için fren balata takımı yedeği (veya fren pabucu ile komple)

Her bir kavrama için kauçuk veya deri takımı yedekleri

Herbir kumanda kamı için itici baş ve yanıcı parça takımı yedeği.

Şunlarda tavsiye edilebilir. Birer fren çözümü, rotor, stator yedekleri vs. Birçok kreyne sahip olunması halinde, bir planlama yapılarak yedek parça adedinden tasarruf edilebilir.

## ~~TAHÇİMLİLER~~ KAYNAKLAR

1. Prof. Dr. Ing. A. Vierling : Hebe - und Fördemittel (Dubbel)
2. Hütte Bd. II B
3. Prof. Dr. Ing. H. Ernst : Die Hebezeuge, Bd. I - III
4. Altpeter, H. : Die Drahtseile
5. Aumund, H. : Hebe - und Förderanlagen
6. Barschew u. Chinitsch : Hubstabl, Tractorlader und ihre Verwendung
7. Bogdanow u. Petuchow : Bremsvorrichtungen an Kranen
8. Busch, H. V. : Bestimmungen über Einrichtung und Betrieb der Aufzüge
9. Czitary, E. : Seilschwebebahnen
10. Heidebroek, E. : Fördertechnik für Massengüter, Bd. I - II
11. Kussy, W. : Elektrische Antriebe von Hebezeugen und Transportanlagen
12. Meebold, R. : Die Drahtseile in der Praxis
13. Mey, H. : Fliessarbeit und Förderung von Massengütern
14. Mischenfelder, C. : Handbuch der Fördertechnik, Bd. I
15. Ricken, Th. : Fördermittel für Bearbeitungs - und Zusammenbauwerkstätten
16. Sondersorg, B. : Fördermittel im Untertagebetrieb
17. Spiwakowski, A. O. : Förderanlagen
18. Strathausen, E. : Hebemaschinen Bd. I - II
19. Tafel, G. : Die Hebezeuge
20. Wundram, O. : Mech, Hafenausrüstungen
21. Zeitschr. : Fördem u. Heben

ZİNCİR TIPLERİ ve ZİNCİR DİŞLİLERİ İLE İLGİLİ  
BAZI DIN NORMLARI

**ÇELİK MAFSALLI ZİNCİRLER**  
İşletmenin hesabı

**DIN**  
**8195**

Zincir ile çalışan bir tesisin ölçüleri seçilmiş olan zincirin aşınma mukavemetine (mafşal satır tazyiki) ve asgarı kırılma yüküne göre tespit edilir. Vasatı diş sayıları ve daima aynı şartlar altında kullanma halinde, aşınma mukavemetinin üst sınırı ve zincir uzunluğunun 3 % fazla alınabilir.

Bu Norm içindeki değerler umumi makina imalâtında tesadüf edilenlerin vasatileridir. Mafşal satır tazyiki değerleri aşıldığında takdirde çalışma zamanı (dayanma müddeti) kısalır.

Motorlu vasıtalar imalâtında talep edilen dayanma müddeti; tam yük altında 300-2000 saat için mafşal satır tazyiki takriben  $450 \text{ kg/cm}^2$  olmalıdır.

1. — Hesap edilen büyüklükler ve formüller :

Hesap edilen büyüklük	İşaret	Formül	Birim
Nakledilen Güç .....	N	$N = \frac{P \cdot v}{75} = \frac{Md \cdot n_1}{71620}$	PS
Döndürme momenti .....	Md	$Md = 71620 \frac{N}{n_1} 0,05 P \cdot d_o$	kg.cm.
Devir sayısı .....	n <sub>1</sub>	$n_1 = n_2 \cdot \xi$	dak. <sup>-1</sup>
Devir sayısı .....	n <sub>2</sub>	$n_2 = \frac{\eta_1}{\xi}$	dak. <sup>-1</sup>
Değiştirme oranı .....	$\xi$	$\xi = \frac{n_1}{n_2} = \frac{Z_2}{Z_1}$	
Diş adedi .....	Z <sub>1</sub>	$Z_1 = \frac{Z_2}{\xi}$	
Diş adedi .....	Z <sub>2</sub>	$Z_2 = Z_1 \cdot \xi$	
Akslar arası .....	$\alpha$	$\alpha = \frac{\xi}{4} \left[ \left( \times - \frac{Z_1+Z_2}{2} \right) + \sqrt{\left( \times - \frac{Z_1+Z_2}{2} \right)^2 - 2 \left( \frac{Z_2-Z_1}{\pi} \right)^2} \right]$ $\times = 2 \frac{\alpha}{\xi} + \frac{Z_1+Z_2}{2} + \left( \frac{Z_2-Z_1}{2\pi} \right)^2 \cdot \frac{\xi}{\alpha}$	mm.
Bakla adedi ile zincir uzunluğu .....	x		mm.
Zincir hatvesi .....	t	$t^{(1)}$	
Cer kuvveti (Zincir dışlideki çevre kuvveti)	P	$P = \frac{75 \cdot N^{(PS)}}{v} = \frac{20 \text{ Md}(\text{kg/cm.})}{d_o}$	kg.
Zincir hızı .....	v	$v = \frac{d_o \cdot n_1}{19100}$	m/s
Zincir dişinin taksimat dairesi çapı .....	d <sub>o</sub>	$d_o^{(1)}$	mm.
Merkezkaç kuvvet .....	Pf	$Pf = q \frac{v^2}{g}$	kg.
Zincirin 1 m. sinin ağırlığı .....	g	$g^{(1)}$	kg/m.
İvme .....	g	$g = 9,81$	m/s <sup>2</sup>
Toplam cer kuvveti .....	P <sub>G</sub>	$P_G = P + Pf$	kg.
Lüzumlu emniyet katsayısı .....	$\gamma$	Bak Şekil 1	
Gerçek emniyet katsayısı .....	$\gamma\alpha$	$\gamma\alpha = Pa/P_G$	
Kopma yükü .....	P <sub>B</sub>	$P_B^{(1)}$	kg.
Gerçek mafşal satır basıncı .....	P <sub>α</sub>	$P_\alpha = \frac{P_G}{f}$	kg/cm <sup>2</sup>
Mafşal satır .....	f	$f^{(1)} = b_2 \cdot d_2$	cm <sup>2</sup>
Emniyetli mafşal basıncı .....	P <sub>emn</sub>	$P_{emn} = p \cdot g \cdot \lambda$	kg/cm <sup>2</sup>
Mafşal basınç için kontrol değeri .....	P	Bak kısım 4	kg/cm <sup>2</sup>
Darbe katsayısı .....	Y	$Y = \frac{P_{max}}{P}$ Bak Şekil 1 ve kısım 5	
Darbe katsayı faktörü .....	y		
Doğrultma faktörü .....	$\lambda$		

1) Bak DIN 8180, 8181, 8187, 8188, 8196 ve 73232

2. — Yük sayıları

iki mafsallı zincirlerin verilen yük ve demir sayısına göre seçilmeleri için tavsiyeler.

9-25 dişli küçük şüler için uygun levir sayıları 2)		Zincir hatvesi	Dışı çarkların takımı daire çapı $d_o$	y darbe katsayısının aşağı- daki değerlerine göre, 19 dişten küçük dişli çarkların hızalarındaki devirlerde 3) naktıl edebilecekleri güçler	DIN 8180, 8187 ve 8188 e göre tek sıra zincir için
$\frac{t}{s \cdot m}$	$n_o$ dak. <sup>-1</sup>	$t$ mm	19 dişli   25 dişli mm	1   1.5   2   3   4 PS   PS   PS   PS   PS	
100	6500	6	36.45   47.87	1.2   1   0.9   0.8   0.7	$6 \times 2.80$
100	5000	8	48.6   63.83	1.7   1.4   1.3   1.1   1	$8 \times 3.00$
100	4500	9.525	57.87   76	4.3   3.6   3.1   2.7   2.5	$9.525 \times 5.72$
100	3300	12.7	77.16   101.3	7.8   6.5   5.7   4.9   4.5	$12.7 \times 7.75$
100	2400	15.875	96.45   126.7	10.5   8.7   7.7   6.6   6.1	$15.875 \times 9.65$
100	2000	19.05	115.7   152	14.5   12   10.6   9.1   8.5	$19.05 \times 11.68$
100	1500	25.4	154.3   202.7	31   26   23   19.5   18	$25.4 \times 17.02$
100	1100	31.75	192.9   253.3	45   37   33   28   26	$31.75 \times 19.56$
50	900	38.1	231.5   304	85   70   62   53   49	$38.1 \times 25.4$
75	650	44.45	270.1   354.7	105   86   77   66   60	$44.45 \times 30.99$
50	500	50.8	308.7   405.3	120   98   87   75   68	$50.8 \times 30.99$
50	350	63.5	385.8   506.7	160   132   116   100   92	$63.5 \times 38.1$
30	250	76.2	463   608	230   190   168   144   132	$76.2 \times 45.75$

?) np devir sayısına kadar nakledilebilen yük devir sayısı ile orantılı.

ip ile  $n_o$  devir sayıları arasındaki nakledilen yük yaklaşık olarak sabittir.  $n_o$  dan daha büyük devirlerde nakle-  
len yük azalır.

Darbenin mevcut olduğu işletmelerde bu devir sayıları darbe katsayıyı y nin değerlerine tabi olarak şu şekilde  
mehdir :

$$y = \frac{1.5}{92\%} | \frac{2}{87\%} | \frac{3}{81\%} | \frac{4}{79\%}$$

Küçük dişli çarklar için, tercihan, tek sayılı diş adetleri kullanılması tavsiye edilir.

) Bu verilen güçler, DIN 73232 de bahsedilen zincirler için de takiben uygundurlar. DIN 8181 e göre uzun maf-  
incirlerde aynı hatveler için yaklaşık olarak 20 % artırılabilir.

Küçük dişli çark 21 dişli olursa verilen değerler  $\approx 11\%$  artırılır.

$$\begin{array}{lllll} 23 & " & " & " & \approx 22\% \\ 25 & " & " & " & \approx 31\% \end{array}$$

+) Yağlama :

evre hızı	Uygun olan	Kabul edilebilir
ye kadar	Hafif hafif damlatma 4 - 12 damla dakikada	El ile veya üzerine sürerek yağlama
ye kadar	Yağ banyosuna daldırarak	Takiben dakikada 20 damla damlatarak
s ye kadar	Tazyikle dolaştırarak	Yağ banyosu : Bu takdirde zincir yağ banyosuna batırılmamalı, alttaki dişli yanında bulunan bir uçlu çark yağ banyosuna batırılmalı (yağ dumamı teşkil etti halde damla tesiri vardır.)
. den çok	Sıçratarak yağlama (küçük damlatma teş- kilatı için bir meme ile tazyikli yağlama)	Tazyikle dolaştırarak yağlama
	Yağ soğutma, lüzumu halinde, düşünülmeli	

Yağ soğutma, lüzumu halinde, düşünülmeli

Yağın çalışma suhunetindeki viskozitesi, 20-40 cst (3-5 °E) olmalı

4. Mafsal satır basıncı P ( $kg/cm^2$ )

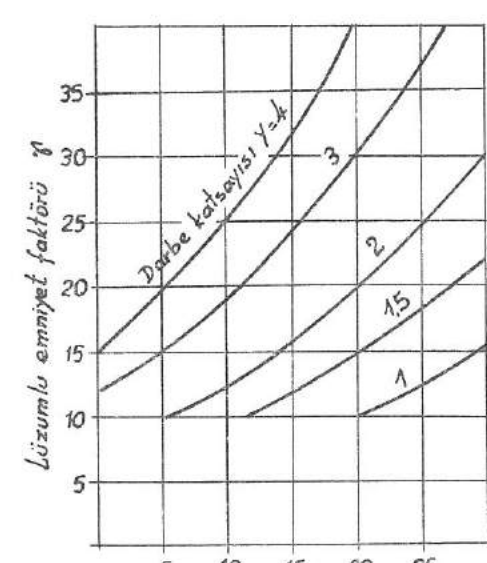
Makina tesisatlarında kullanılan zincirler için kontrol değerleri :

Zincir hızı $v$ m/S	Küçük dişinin diş sayısına göre mafsal satır tazyiki p ( $kg/cm^2$ )													
	11	12	13	14	15	16	17	18	19	20	21	22	23	24
0,1	319	319	319	320	320	321	324	326	327	331	331	331	331	335
0,2	295	298	306	307	308	310	310	310	313	316	318	321	323	325
0,4	264	276	281	290	292	292	297	297	300	302	302	305	308	311
0,6	246	256	266	273	276	279	283	284	287	289	290	292	296	303
0,8	229	243	250	258	262	267	271	273	276	278	281	283	285	291
1	217	231	238	246	252	259	261	264	272	273	276	280	282	285
1,5	190	204	216	225	232	238	245	248	251	254	257	260	263	267
2	170	184	197	206	215	222	226	232	237	241	244	247	250	253
2,5	154	169	183	193	202	209	213	219	223	227	231	235	239	246
3	139	155	168	179	189	198	204	209	213	217	221	225	228	235
4	116	133	147	159	170	178	185	191	195	200	204	208	211	218
5	95	113	130	142	152	162	170	177	182	187	191	194	198	205
6	—	97	113	128	139	150	158	165	169	173	178	182	186	193
7	—	—	98	112	126	138	146	153	159	163	168	172	176	184
8	—	—	—	109	114	125	136	143	150	155	159	164	168	175
10	—	—	—	—	93	107	117	126	133	139	143	147	152	156
12	—	—	—	—	—	90	101	112	120	126	131	136	140	143
15	—	—	—	—	—	—	80	93	101	108	114	119	124	132
18	—	—	—	—	—	—	—	75	83	91	97	103	109	118
21	—	—	—	—	—	—	—	—	68	77	83	90	96	105
24	—	—	—	—	—	—	—	—	51	60	68	75	82	88
														93

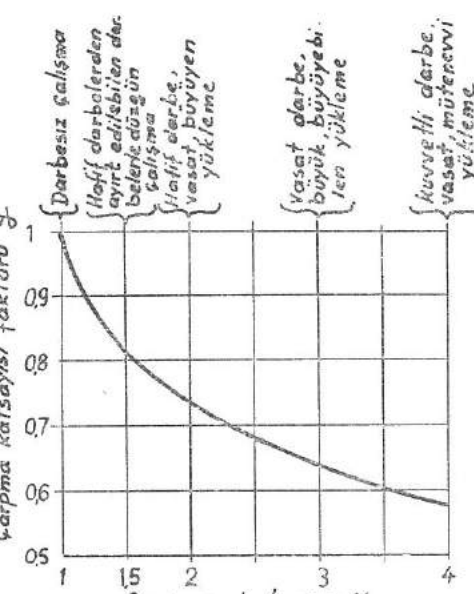
Bu değerler ; darbesiz yüklerde ve = 15000 saatlik çalışma zamanı, mükemmel yağlama, akslar arası mesafesi ~ 40.t, iki dişli çark çalışmasına ve değiştirme oranı  $i = \frac{n_1}{n_2} = \frac{Z_1}{Z_2} = 3$  olduğuna göre, en büyük değerlerdir.

Yukarıda izah edilen çalışma şartlarında kırık çizgi altındaki değerlerden kaçınmalıdır.

Şekil : 1. Lüzumlu emniyet faktörü  $\gamma$



Şekil : 2. Darbe (çarpma) katsayısi faktöri  $\gamma$



Fazla yükle çalışma hallerinde ve 24 m/s. nin üzerindeki zincir hızları için zincir imalatçılarının tavsiyelerine müraciät etmelidir.

5) Zincirle işleyen tesisler için y darbe katsayıları (Misaller) :

erilen y değerleri 40.t olduğuna göre asatı bir değerdir. na uymayanlar için lave yapılmalıdır. tilen iş makinası rna, Matkap tezgâhi zeler nde makinası inye cme makinası Hidrolik sler Eksantrik Mafsallı ç işlevi makinaları suma tezgâhi fü dairevi z. ileri geri Mak. onlu bir kademeli npres. iki kademeli atif bir kademeli npres. iki kademeli ük tilatörler onlu 1 silindir ipa 2 silindir evi pompalar de- hiz kutusu ile direk e haddeler alı değirmenler ilu değirmen cli değirmen n- hiz kutusu ile direk oz yıkama nali elek nak stırma mak. k mak. ama aparat. uml sarsma uml hareket kır. için irma araçları en çıkışlığı ra- Büyükk tesisat küçük tesisat cutuları	Çeviren Makina									
	Elektrik motor- lari	Patlamalı motorlar					Su turbini		Buhar türbini	Pistonlu buhar makina- lari
		Yavaş	Hızlı	6 Sl. ve da- ba çok	Hızlı	Yavaş				
1.4										
1.6										
2.3										
2										
1.8										
1.8			2.8	2.5	2.2					
2.5										
2										
1.8	4.5	4	3.7	3	2.5	2.5	3.5		3.5	1.8
2										2
1.5										
2										
1.5										
1.5										
1.5										
2.5		5	4.5	4	3.5					
2		4.5	4	3.5	3					
1.6	4	3.2	3	2.5	2					
1.3	3	2.7	2.5	2	1.6					
1.5		3	2.7	2.5	2					
2.5			3.7						3.5	2.5
2	5	4	3.5	3	2.6	2.5	2.5	3.5		
1.8	4	3.5	3	2.7	2.3	2.2	2.7			
1.5	3	2.8	2.5	2.2	2			2.5		
2.5										
3										
2										2
1.8										1.8
2										2
2.5		5	4.5	4	3.5					2.5
3										
1.8										
2	4	3.5	3.2	2.8					4	2
2	5	4	3.5	3.2						
1.7	4	3.2	3	3	2.5	2				
3			5	4.5	4					
1.6									5	1.6
1.5	3	2.8	2.5	2.2	2				2.8	1.5
2	4	3.5	3	3	2.7	2				
2.5	5	4	3.5	3	3	2.6				
2.5										
2.5										
1		2					1.2	1.5	1	1.8
1.5		2.8					1.7	2.5	1.5	2
1.5										1.5
1.5			2.3	2	2		2.5	1.5	2.5	1.5

6) Mafsal satır tazyiki (p) kontrol değeri için  $\lambda$  düzeltme katsayıısı :

İçin	Düzeltme katsayıısı
DIN 8180 e uygun Roleli zincirler	$\lambda_1 = 0,7 - 0,8$
DIN 8181 e » »	$\lambda_1 = 1$
DIN 8187 e » »	$\lambda_1 = 1$
DIN 8188 e » »	$\lambda_1 = 1$
DIN 73232 e » çelik mafsallı zincirler	$\lambda_2 = \sqrt[3]{\frac{t}{3,2 \cdot d_2}}$
Civata çapı	$\lambda_2 = \sqrt[3]{\frac{1,33}{\frac{1}{t} + 1}}$
Değiştirme oranı	$\lambda_4 = \sqrt[3]{\frac{4 \cdot a}{t_1} + Z_1 + Z_2}$
L = 3 ün dışında olanlar	$\lambda_5 = 0,05 - 0,6$
Zincir uzunluğu	a = $40 \times t$ ve/veya i = e olmadığı haller
Uygun olmayan veya kusurlu yağlama veya pislik olduğu haller	

Kısım 4 de verilen p değerleri, Roleli zincirler için yüklenebilen yüklerde ve kısım 4 e bildirilen çalışma durumlarına göre uygundur, diğer çelik mafsallı zincirler ve diğer çalışma halleri için p değerleri yukarıda bulunan  $\lambda$  değerleri ile çarpılmalıdır.

Örnek : 1

Resim	Döndüren çark	Döndürülen çark
En büyük çap	90	260
Mil çapı	25	32

Verilenler :

Taşınan güç  $N=0,2$  PS. Devir  $n_1=36$  D/D.  
adetleri :  $n_2=11.25$  D/D.  
Akslar arası  $a = 531$  mm.  
Değiştirme oranı  $i=3.2$

Döndüren makina Hız kutulu motor  
Döndürülen makine Mal taşıma bandı

Darbe katsayı  $y = 1,5$   
(Kısım 5 den)  
Darbe katsayı faktörü  $y=0,8$   
(Şekil 2 den)

Zincirin seçilmesi :

Küçük çarkda  $n_1=36$  D/D. ve nakledilen güç  $N = 0,2$  PS. dir.

Küçük dişinin taksimat dairesi çapı<sup>1)</sup>  $d_o = 85$  mm. ve diş adedi 19 olarak alınacak olursa, Kısm 2. deki listeden, hatve için  $t = 9,525$  mm. ile 15,875 mm. arasında bir değer bulunur.  $t = 15,875$  mm. alalım.

Tek sıra zincir  $15,875 \times 9,65$  DIN 8187,  $n_1 = 1600$  D/D da  $N = 8,7$  PS taşıyabilir. Arzu edilen devir sayısı  $n_1 = 36$  D/D. da  $N = 0,196$  PS. dir.

Seçilen zincir : Tek sıra  $1 \times 15,875 \times 9,65$  DIN 8187

Kopma yükü :  $P_B = 2500$  Kg. mafsal alanı :  $f = 0,67$  cm, Ağırlık :  $q = 0,95$  Kg./m.

Küçük çarkda :  $Z_1 = 15$  Büyük çarkda  $Z_2 = 48$

$$d_o = 76,355 \quad d_o = 242,725$$

1) Mil çapı verildiği için sınırlandırılmıştır.

Seçilmiş olan zincirin kontrolü :

Hesap edilen büyüklükler	Hesap	Bulunan
Zincir hızı	$v = \frac{d_o \cdot n}{19100} = \frac{76,36 \cdot 36}{19100} = 0,144 \text{ m/s}$	
Çekme kuvveti	$P = \frac{75 \cdot N (\text{PS})}{v} = \frac{75 \cdot 0,2}{0,144} = 104 \text{ kg.}$ $P = \frac{20 \cdot M_d}{d_o} (\text{Kgcm.}) = \text{Kg.}$	
Santrifuj kuvveti	$P_f = q \frac{v^2}{g} = 0,95 \frac{0,144^2}{9,81} = 0,002 \text{ Kg.}$	
Toplam çekme kuvveti	$P_G = P + P_f = 104 + 0,002 = \approx 104 \text{ kg.}$	
Hakiki mafsal sathı basıncı	$P_a = \frac{P_G}{f} = \frac{104}{0,67} = 155 \text{ kg/cm}^2$	
Düzelme faktörü	Kısıt 6 ya bak $\lambda_1$ zincir tipi için $= 1$ $\lambda_2$ Civata Ø için $\sqrt[3]{\frac{15,875}{3,2 \cdot 508}} = 0,991$ $\lambda_3$ değiştirme oranı için $\sqrt[3]{\frac{1,33}{1,32}} = 1,007$ $\lambda_4$ Zincir uzunluğu için $\sqrt[3]{\frac{4,531 + 15,875(15+48)}{15,875 \cdot (160+15 \cdot 4)}} = 0,954$ $\lambda_5$ yağlama için $= 0,6$ $\lambda_2$ hepsi $1,0991 \cdot 1,007 \cdot 0,954 \cdot 0,6 = 0,511$ $P_{emn} = P \cdot \gamma \cdot \lambda = 311 \cdot 0,8 \cdot 0,571 = 142 \text{ kg/cm}^2$	
Müsaade edilebilen mafsal sathı basıncı	$P_{emn} = P \cdot \gamma \cdot \lambda = 311 \cdot 0,8 \cdot 0,571 = 142 \text{ kg/cm}^2$	
Hakiki emniyet emsali	$\gamma_a = \frac{P_B}{P_G} = \frac{2500}{104} = 23$	
Tavsiye edilen emniyet emsali	$\gamma = \text{Şekil 1 e bak} = < 10$	

Müsaade edilebilen mafsal sathı basıncı, hakiki basıncın biraz altındadır. Bu hesap gösteriyorki Ömür olarak düşünen 15000 saat'a erişilemeyecektir.

Örnek : 2

Resim	Döndüren çark	Döndürülen çark
En büyük çap	—	810
Mil çapı	50	63

Verilenler :

Taşınan güç  $N = 20$  PS. Devir  $n_1 = 1500$  D/D.  
adetleri :  $n_2 = 300$  D/D.

Darbe katsayı :  $y = 1,8$   
(Kısm 5 den)  
Darbe katsayı faktörü :  $y = 0,77$   
(Şekil 2 den)

Akslar arası :  $a = 1200$  mm.

Değiştirme oranı :  $i = 5$

Zincirin seçilmesi :

Küçük çarkda  $n_1 = 1500$  D/D. ve nakledilen güç  $N = 20$  PS. dir.

Küçük dişinin<sup>1)</sup> taksimat dairesi çapı  $d_o = 165$  mm. ve diş adedi 19 olarak alınmışa hatve  $t = 25,4$  mm. küçük diş için  $n_1 = 1500$  D/D. da, kısm 2 den, büyük hatve olarak  $t = 19,05$  m/m. bulunur.  $t = 25,4$  mm. seçelim.

Tek sıra zincir  $25,4 \times 17,02$  DIN 8187,  $n_1 = 1000$  D/D. da  $N = 24$  PS. taşıyabilir.

Seçilen : Tek sıra zincir  $1 \times 25,4 \times 17,02$  DIN 8187

Kopma yükü  $P_B = 6500$  Kg. mafsal alanı  $f = 2,10$  cm<sup>2</sup>, ağırlık  $q = 2,7$  Kg/m

Küçük dişli :  $Z_1 = 19$  Büyük dişli :  $Z_2 = 60$   
 $d_o = 154,3$   $d_o = 768,2$

Seçilmiş olan zincirin kontrolü :

Hesap edilen büyüklükler	Hesap	Bulunan
Zincir hızı	$v = \frac{d_o \cdot n}{19100} = \frac{154,3 \cdot 1500}{19100} = 12,2 \text{ m/s}$	
Çekme kuvveti	$P = \frac{75 \cdot N (\text{PS})}{v} = \frac{75 \cdot 20}{12,2} = 123 \text{ kg}$ $P = \frac{20 \cdot M_d \cdot (\text{cmkg})}{d_o} = \text{kg}$	
Santrifuj kuvveti	$P_f = q \frac{v^2}{g} = 2,7 \frac{12,2^2}{9,81} = 41 \text{ kg}$	
Toplam çekme kuvveti	$P_G = P + P_f = 123 + 41 = 164 \text{ kg}$	
Hakiki mafsal sathı basıncı	$P_a = \frac{P_G}{f} = \frac{164}{2,10} = 78 \text{ kg/cm}^2$	
Düzelme faktörü	Kısıt 6 ya bak $\lambda_1$ Zincir tipi için $= 1$ $\lambda_2$ Civata Ø için $\sqrt[3]{\frac{25,4}{3,2 \cdot 8,27}} = 0,986$ $\lambda_3$ değiştirme oranı için $\sqrt[3]{\frac{1,33}{0,2+1}} = 1,035$ $\lambda_4$ zincir uzunluğu için $\sqrt[3]{\frac{4 \cdot 1200 + 19 + 95}{25,4 + 160 + 4 \cdot 19}} = 1,085$	
Müsaade edilebilen mafsal sathı basıncı	$\lambda_5$ yağlama için $= 0,6$ $\lambda$ toplam : $1,0991 \cdot 1,007 \cdot 0,954 \cdot 0,6 = 0,66$ $P_{emn} = P \cdot \gamma \cdot \lambda = 120 \cdot 0,17 \cdot 0,66 = 61 \text{ kg/cm}^2$	
Hakiki emniyet emsali	$\gamma_a = \frac{P_B}{P_G} = \frac{6500}{164} = 39,5$	
Tavsiye edilen emniyet emsali	$\gamma = \text{Şekil 1 e bak} = 13$	

Müsaade edilebilen mafsal sathı basıncı, hakiki basıncın biraz altındadır. Bu hesap gösteriyorki ömür olarak düşünülen 15000 saat'a erişilemeyecektir.

Örnek : 3

Resim

	Döndüren	Döndürülen
Enbüyük çap	400	—
Mil çapı	80	120
Döndüren makina	6 silindirli Dizel motor	
Döndürülen makina	2 silindirli pistonlu pompa	

Verilenler :

Taşınan güç  $N=180$  PS. Devir  $n_1=500 \text{ D}/\text{D}$ . adetleri :  $n_2=160 \text{ D}/\text{D}$ .

Akslar arası : 2175 mm.

Değiştirme oranı :  $i=500 : 160 = 3,13$

Zincirin seçilmesi :

Küçük dişlide  $n_1=500 \text{ D}/\text{D}$ . da nakledilen güç  $N=180$  PS. dir.

Küçük dişlinin taksimat dairesi çapı  $d_o=250$  mm. ve diş adedi 19 olarak alınırsa kısım 2 deki cetvelden  $t=44,45$  mm., küçük dişlinin devri  $n_1=500 \text{ D}/\text{D}$  olması dolayısıyle büyük hatve  $t=50,8$  mm. bulunur.

Hatve için  $t=50,8$  mm. alalım.

Tek sıra zincir  $50,8 \times 30,99$  DIN 8187,  $n_1=500 \text{ D}/\text{D}$  da  $N=120$  PS. taşırl.

Seçilen zincir : İki sıralı zincir  $2 \times 50,8 \times 30,99$  DIN 8187

Kopma yükü  $P_B=49500$  Kg. mafsal alanı  $f=16,73 \text{ cm}^2$ , Ağırlık  $q=20,0 \text{ Kg/m}$

Küçük dişli :  $Z_1=19$  Büyük dişli :  $Z_2=60$

$$d_o=308,7 \quad d_o=970,6$$

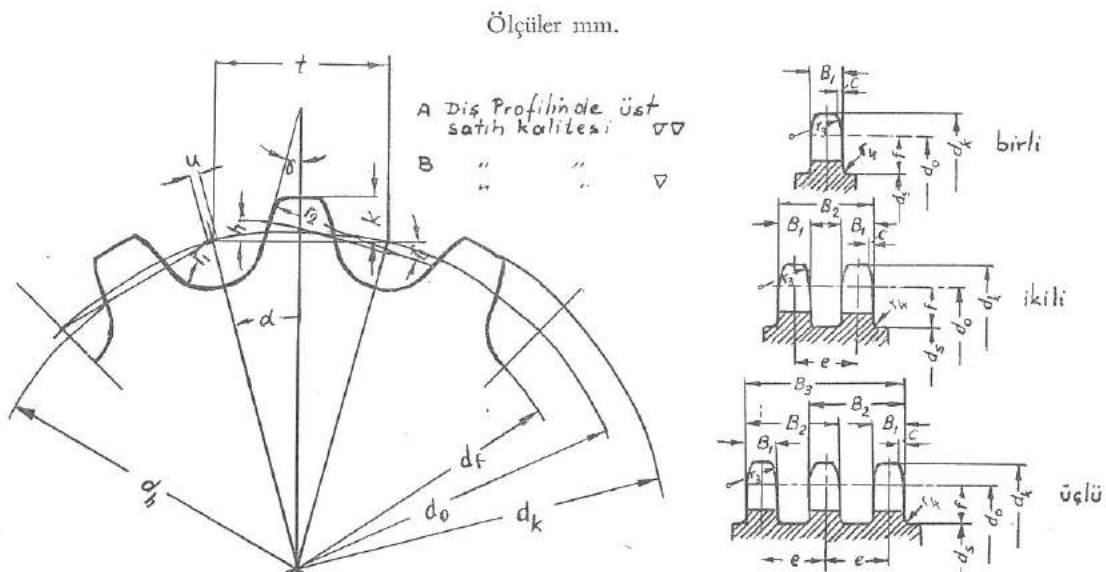
Seçilmiş olan zincirin kontrolü

Hesap edilen büyüklükler	Hesap	Bulunan
Zincir hızı	$V = \frac{d_o \cdot n}{19100} = \frac{308,7 \cdot 500}{19100} = 8,09 \text{ m/s}$	
Çekme kuvveti	$P = \frac{75 \cdot N(\text{PS})}{V} = \frac{75 \cdot 180}{8,09} = 1670 \text{ kg.}$	
	$P = \frac{20 \cdot M_d (\text{cmkg})}{d_o} = \text{kg.}$	
Santrifuj kuvveti	$P_f = q \frac{v^2}{g} = 20,0 \frac{8,09^2}{9,81} = 134 \text{ kg}$	
Toplam çekme kuvveti	$P_G = P + P_f = 1670 + 134 = 1804 \text{ kg}$	
Hakiki mafsal satırı basıncı	$P_a = \frac{P_G}{f} = \frac{1804}{16,73} = 180 \text{ kg/cm}^2$	
Düzelte faktörü	Kısım 6 ya bak $\lambda_1$ Zincir tipi için $\lambda_2$ Civata $\varnothing$ için $\sqrt[3]{\frac{50,8}{3,2 \cdot 17 \cdot 8}} = 0,963$ $\lambda_3$ Değiştirme oranı için $\sqrt[3]{\frac{1,33}{0,316+1}} = 1,03$ $\lambda_4$ Zincir uzunluğu için $\sqrt[3]{\frac{4 \cdot 2175 + (60+19) \cdot 50,8}{(160+4 \cdot 19) \cdot 50,8}} = 1,02$ $\lambda_5$ yağlama için $\lambda$ Toplam : $1,03 \cdot 0,963 \cdot 1,014 \cdot 1,02 \cdot 1,00 = 1,012$	= 1,00 = 1,00 = 1,00 = 1,00 = 1,00
Müsaade edilebilen mafsal satırı basıncı	$P_{emn} = P \cdot y \cdot \lambda = 150 \cdot 0,69 \cdot 1,012 = 105 \text{ kg/cm}^2$	
Hakiki emniyet emsali	$y_a = \frac{P_B}{P_G} = \frac{49500}{1804} = 27,5$	
Tavsiye edilen emniyet emsali	$y = \text{Şekil 1 e bak.}$	= 14

Müsaade edilebilen mafsal satırı basıncının biraz aşılmış olması, ömrün aynı miktar azalmasını itaç eder.

### Çelik mafsalı zincirlerle tarihlenen zincir dişleri ve ölçüler

DIN  
8196



Taksimat dairesi çapı

$$d_o = t \cdot n = \frac{t}{\sin \alpha} = \frac{t}{\sin \frac{180^\circ}{Z}}$$

Dişli dibi dairesi çapı

$$df = d_o - d_1$$

Tolerans	5-250Ø	250-500Ø	Diş satırı kalitesi
h9	h8	A	
h10	h9	B	

$$d_k = t \cdot \cot \alpha + 2k = d_h + 2k$$

$$d_s = d_h - g - 2r_4 \text{ büyük ölçü}$$

$$d_h = \cos \alpha \cdot d_o = \cot \alpha \text{ (cot } \alpha \text{ için tabloya bak)}$$

$$r_1 = 0,51 \pm 0,005 \cdot d_1$$

$$r_2 = 0,8 \pm 0,2 \cdot t \quad Z=50 \text{ ye kadar, } \approx 0,5 \cdot d_1 \quad Z > 40 \text{ için}$$

$k = \text{tabloya bak}$

$Z$

$$n = \frac{1}{\sin \alpha} = \frac{1}{\sin \frac{180^\circ}{Z}}$$

$$2\alpha = \frac{360^\circ}{Z}, \alpha = \frac{180^\circ}{Z}$$

$$\gamma = 15^\circ \pm 2^\circ \quad v < 12 \text{ m/s ise; } 19^\circ \pm 3^\circ 30' \quad v > 8 \text{ m/s ise.}$$

$$u = 0,02 \cdot t$$

$$B_1 = 0,9 \cdot b_1$$

$$B_2 = B_1 + e$$

$$B_3 = 2 \cdot B_2 - B_1$$

$$C = 0,13 \cdot d_1$$

$$r_3 = 1,5 \cdot d_1$$

$v$

26 dişli, ikili mafsalı zincir  $15,875 \times 9,65$  için, diş yan açısı  $\gamma = 15^\circ$ , Diş üstü kalitesi B olacak şekilde işlenecek bir zincir dişli çark hülsesi olarak şöyle gösterilir.

Dişli çark  $26Z2 \times 15,875 \times 9,65 \times 15^\circ B$  DIN 8196

ilâve olarak işleme üzerine,

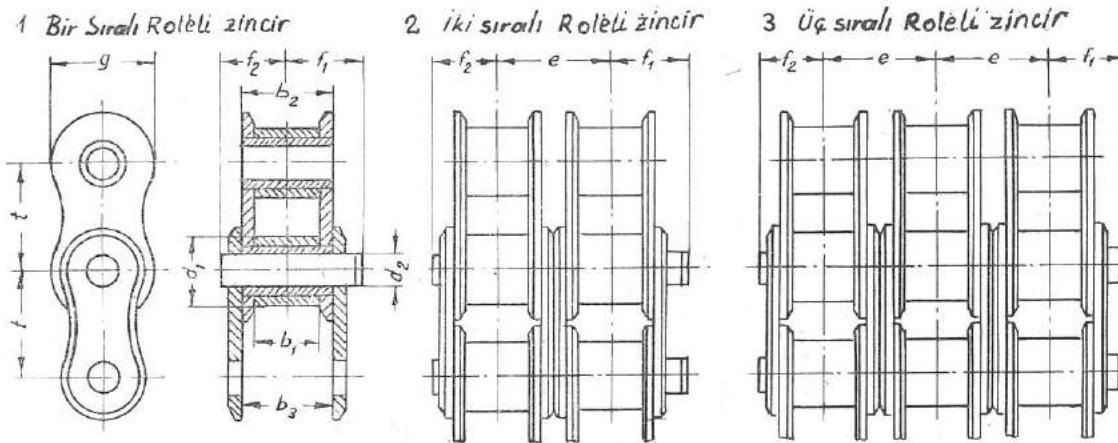
Diş profili frez ile işle

Diş boşluğu frez ile işle

Yuvarlayarak işe gibi bir tavsiye de yapılabilir.



Ölçüler mm.



Zincirler, dört sıralı-Roleli zincirler, beş sıralı-Roleli zincirler olarak da imal edilebilirler.

Zincirlerin işaret edilmesi : 12,7<sup>(1)</sup>m. uzunluğunda bir sıralı Roleli zincirler<sup>(1)</sup> hatvesi  $t=25,4$  mm. ve iç genişliği  $b_1 = 17,02$  mm. : 12,7<sup>(1)</sup>m. Roleli zincir  $1 \times 25,4 \times 17,02$  DIN 8180

100<sup>(1)</sup> Bakaklı iki sıralı Roleli zincirler<sup>(2)</sup> hatve  $t = 25,4$  mm. iç genişlik  $b_1 = 17,02$  mm :

Roleli zincirler  $2 \times 25,4 \times 17,02 \times 100$  DIN 8180

Roleli zincirler  $2 \times 25,4 \times 17,02 \times 100$  DIN 8180

Hat- ve $t$	İç ge- nişlik $b_1$	$b_2$	$b_3$	$d_1$	$d_2$	$e$	$g$	$f_1$	$f_2$	Bir sıralı Roleli zincirler			İki sıralı Roleli zincirler			Üç sıralı Roleli zincirler							
										Mafsal alanı	Asgari kopma yükü <sup>(3)</sup> $f = b_2 \times d_2$ $\text{cm}^2$	Hesap yükü <sup>(3)</sup> $P_B$ $\text{kg}$	Ağır. lik $q$	Mafsal alanı	Asgari kopma yükü <sup>(3)</sup> $f = 2 \times b_2 \times d_2$ $\text{cm}^2$	Hesap yükü <sup>(3)</sup> $P_B$ $\text{kg}$	Ağır. lik $q$	Mafsal alanı	Asgari kopma yükü <sup>(3)</sup> $f = 3 \times b_2 \times d_2$ $\text{cm}^2$	Hesap yükü <sup>(3)</sup> $P_B$ $\text{kg}$	Ağır. lik $q$		
6	2,8	4,1	4,2	4	1,85	-	5	4,7	3,7	0,07	300	3	0,12	-	-	-	-	-	-	-	-		
8	3	4,7	4,8	5	2,3	5,60	7,5	5,5	4,5	0,10	500	5	0,18	2,1	900	10	0,36	-	-	-	-	-	
12,7	9,9	6,1	6,3	7,75	3,65	-	10,5	6	4,8	0,22	800	13	0,40	-	-	-	-	-	-	-	-	-	
17,02	12,7	7,7	7,9	7,75	3,65	-	10,5	7,1	5,6	0,28	800	13	0,44	-	-	-	-	-	-	-	-	-	
25,4	25,45	25,75	15,88	8,27	31,88	24	24,5	18	2,10	4500	52	2,7	4,21	8000	97	5,4	6,31	11500	140	8,0			
31,75	17,02	25,45	25,75	15,88	8,27	-	24	24,5	18	2,10	4500	52	2,5	-	-	-	-	-	-	-	-	-	
38,1	19,56	29	29,3	19,05	10,17	36,45	27	27,7	20,3	2,95	5500	81	3,6	5,9	10000	150	7,2	8,85	14000	220	11		
44,45	25,4	37,92	38,32	25,4	14,63	48,36	36	37,2	26,6	5,54	12000	120	6,7	11,09	21500	220	13,5	16,64	30000	320	21		
50,8	30,99	47	47,5	29,21	17,8	58,55	44	46,4	32,5	7,40	14000	160	8,3	14,81	25000	300	16,6	22,22	36000	440	25		
56,5	38,1	55,75	56,45	39,37	22,87	72,29	60	52	39,2	12,75	27000	320	16,0	25,5	48000	610	32,0	39,25	68000	890	48		
62,8	45,75	70,56	71,36	49,26	29,22	91,21	70	64,4	40,2	20,51	40000	470	25,0	41,23	70000	870	50,0	61,85	100000	1300	75		

Parantez içindeki büyütüklerden mümkün mertebe kaçınmalıdır.

Kuru yağlanmayan zincirlerde, hesablı yük altında ve  $50 \times t$  birim uzunluğunda emniyetli uzama : +0,15 %

1) Zincir uzunluğu, arzuya göre, metre olarak veya bakla adedi cinsinden verilerek sipariş edilirler. Zincirler metre ile sipariş edildikleri takdirde son bakla daima iç bakladır. Bakla adedi ile yapılan zincir siparişlerinde, Roleli zincirler iki ucunu birbirine bağlamak için lüzumlu bağlantı parçasını ve hatta bakla adedi çift olan zincir (mümkin mertebe kaçınmalı) ya karışılı çift bakla veya dış bakla ile perçinlenmiş karışılı bakla, ilâve bakla ile bağlanırlar.

2) Hesap yükü, bir sıralı Roleli zincirler için  $\approx 0,08t^2$ , iki sıralı Roleli zincirler için  $0,15t^2$ , üç sıralı Roleli zincirler için  $0,22t^2$  olarak hesap edilir.

3) Karışılı baklaların (mümkin mertebe kaçınmalı), sadece kopma yükünün 0,8 i überinden hesap edilebilir.

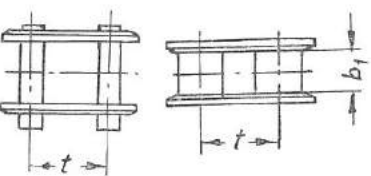
Malzeme : (imalatçıya göre değişir.)

Sementasyon çeliği DIN 17210

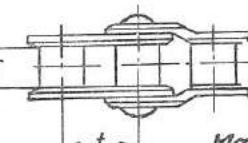
İslâh edilmiş çelik DIN 17200

Zincirlerin tamirleri ve iki ucunun birleştirilmesi için kullanılan zincir parçaları :

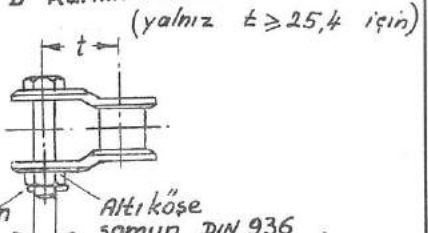
A Dış bakla B İç bakla



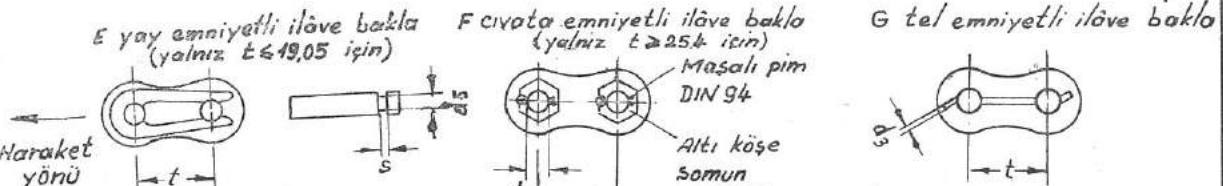
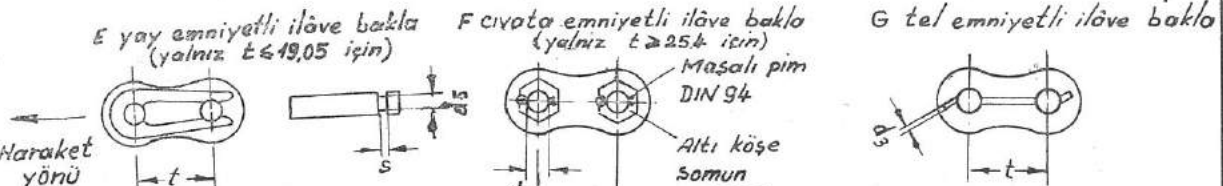
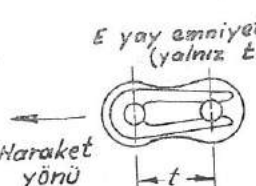
C Karışılı çift bakla



D Karışılı bakla



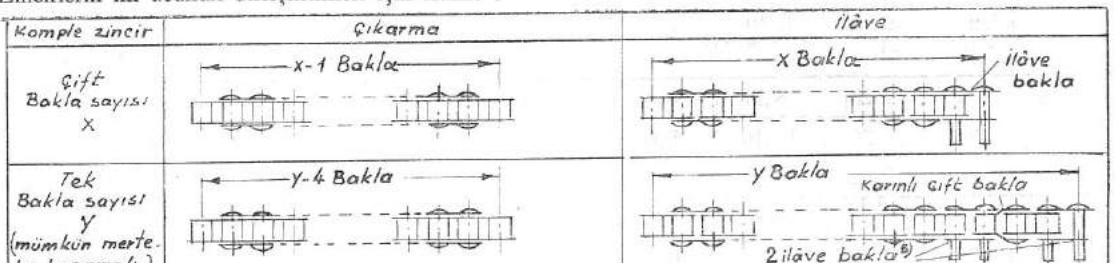
Hatvesi  $t = 15,875$  mm. iç genişliği  $b = 9,65$  mm olan bir sıralı Roleli zincir<sup>(1)</sup> için A formundaki bir dış bakla: Dış bakla 1A 15,875x9,65 DIN 8180



Bir sıra Roleli zincir  $1 \times 15,875 \times 9,65$  için E şeklindeki ilâve baklanın gösterilmesi :  
ilâve bakla 1E 15,875x9,65 DIN 8180

Hatve $t$	$t$	6	8	12,7	25,4 (30)	31,75	38,1	44,45	50,8	63,5	76,2
İç genişlik $b_1$		2,8	3	3,3	4,88	17,02	19,56	25,4	30,99	38,1	45,75
Tel çapı $d_3$		0,5	0,7	0,9	2,5	3	5	6			7
Dış üstü çapı $d_4$		—	—	—	M8x1	M12x1,5	M16x1,5	M20x1,5	M24x1,5		
Diş $d_5$		1,3	1,6	2,85							
Yay yuvası	S	0,7	0,7	0,80							

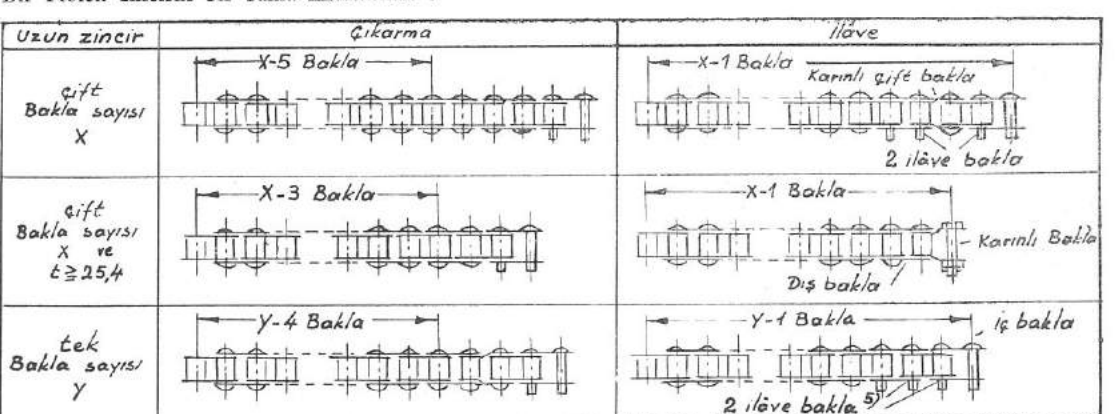
4) Akma çelik tel (DIN 2078) 120-140 kg/mm<sup>2</sup> çekme direnci, dış sathı kaplama Zincirlerin iki ucunun birleştirilmesi için izahat :



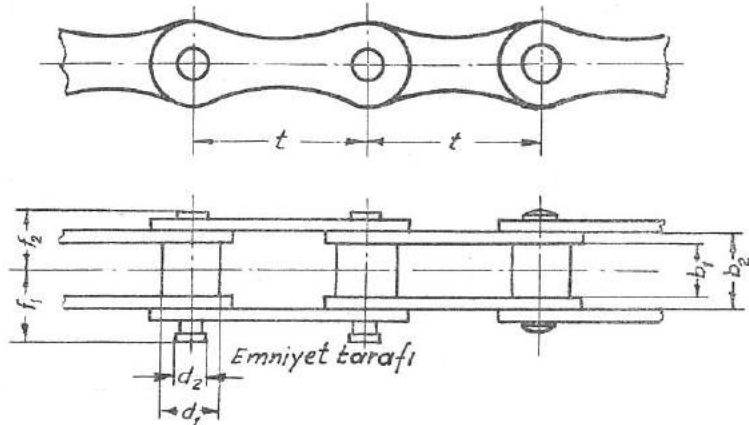
Tamirler için izahat :

Zincir dahilinde bir iç baklanın veya bir mafsalın kırılması halinde, bunlara komşu her iki dış baklanın veya bu baklanın zincir nihayetinde bulunması halinde, şu komşubaklanın söküllererek, yerlerine, yeni bir iç bakla ile iki veya bir ilâve baklanın monte edilmesi ile tamir edilir. Aynı şey karışılı çift bakla ile de yapılabilir. Kırık dış bakla yerine ilâve bakla bağlanır.

Bir Roleli zincirin bir bakla kısaltılması :



Ölçüler mm.



.....1) m. uzunlukta hatvesi  $t = 25,4$  mm. iç genişliği  $b_1 = 7,75$  mm. olan bir Roleli zincir

.....1) m. Roleli zincir  $25,4 \times 7,75$  DIN 8181

.....1) Bakalı hatvesi  $t = 25,4$  mm. iç genişliği  $b_1 = 7,75$  mm. olan bir Roleli zincir.

Roleli zincir  $25,4 \times 7,75 \times \dots \text{1)} \text{ DIN 8181}$

Hatve $t$	İç genişlik $b_1$ küçük ölçü	$b_2$	$d_1$	$d_2$	$f_1$	$f_2$	Mafsal alanı $\text{cm}^2$	Asgari kopma y. kg	Hesap yükü (2) kg	Ağırlık (7,85 kg/ $\text{dm}^3$ ) kg/m
25,4	7,75	11,28	8,51	4,45	10,1	8,4	0,65	1600	13	0,480
31,75	9,65	13,26	10,16	5,08	11,4	9,7	0,85	2000	20	0,550
38,1	11,68	15,62	12,07	5,72	13,2	11,3	1,16	2600	29	0,800
50,8	17,02	25,45	15,88	8,27	24,5	18,0	2,63	4200	52	1,90
63,5	19,56	29,0	19,05	10,17	27,75	20,3	3,54	5500	81	2,60
76,2	25,4	37,92	25,4	14,63	37,2	26,6	6,70	10000	116	4,51

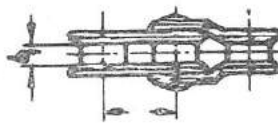
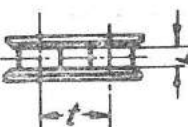
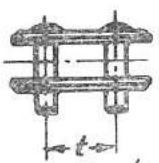
1) Siparişlerde zincir uzunlukları metre veya bakla adedi ile ifade edilirler. Kuru yağlanmamış zincirlerde, hesap ağırlığı altında ve  $25 \times t$  birim uzunlığında şayani kabul uzama :  $+0,20\%$  son bakla iç bakladır.

2) Hesap yükü  $0,08 t^2$  den hesap edilir.

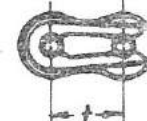
Malzeme : Cıvatalar ve dışındaki bilezikler : Semantasyon çeliği DIN 17210 uzun bakaklı Roleli zincirlerin diş parkları için DIN 8181 yaprak 2 e bak.

Zincirlerin tamirleri ve iki ucunun birleştirilmesi için kullanılan zincir parçaları :

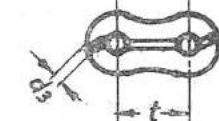
A Dış bakla      B İç bakla      C Karınılı çift bakla



D Yay emniyetli ilâve bakla  
(yaklaş  $t \leq 38,1$  için)



E Tel emniyetli ilâve bakla



Hatvesi  $t = 25,4$  mm. ve iç genişliği  $b = 7,75$  mm. olan bir Roleli zincir için A formundaki bir dış baklanın gösterilmesi :

Dış bakla A  $25,4 \times 7,75$  DIN 8181

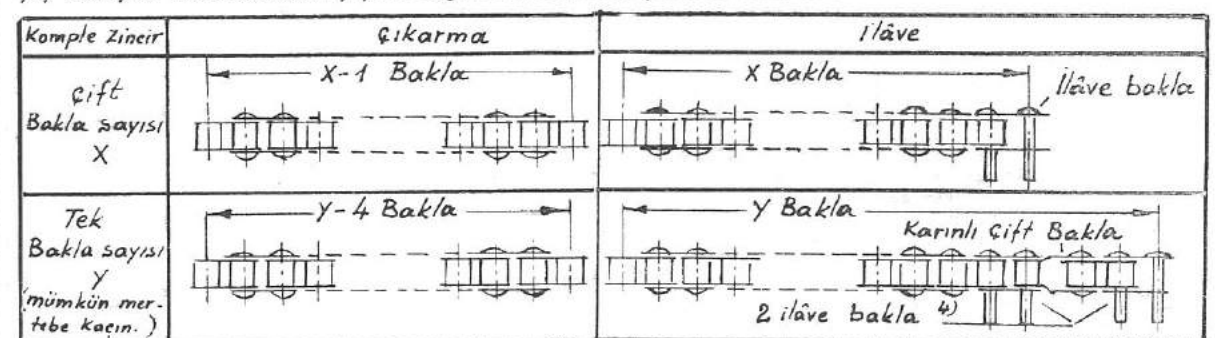
Hatve	$t$	25,4	31,75	38,1	50,8	63,5	76,2
İç genişlik	$b_1$	7,75	9,65	11,68	17,02	19,56	25,4
tel çapı	$d_3^3)$	—	—	—	2,5	3	5

Zincir parçaları DIN-ile veya imalatçısının işaretleri ile ayırt edilirler. Zincirlerde bu işaretler Dış bakaların dış taraflı ve metrede asgari üç defa konmalıdır.

3) Akma çelik tel (DIN 2078) 120-140 Kg/mm<sup>2</sup> çekme direnci, dış satılık kaplama.

Zincirlerin iki ucunun birleştirilmesi için izahat :

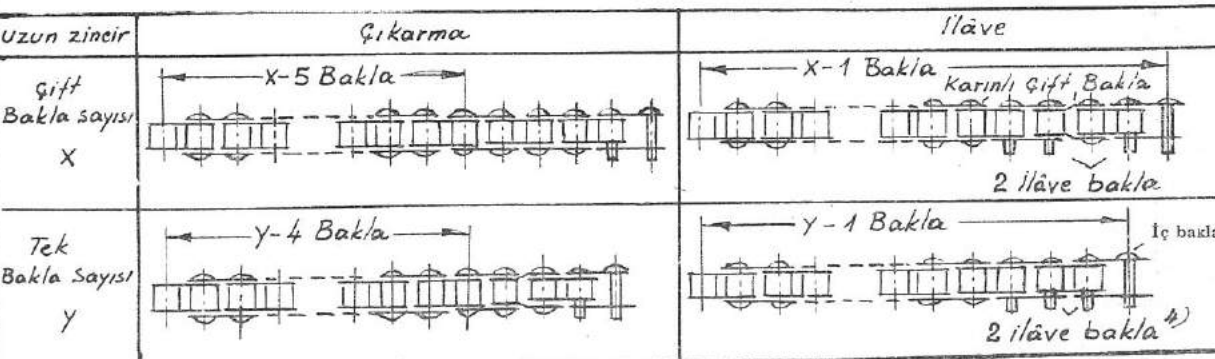
Bakla sayısı ile yapılan siparişlerde zincirler, bir ilâve bakla ile monte edilecek gibi gönderilirler. Bakla sayısı tek olan zincirlerin (mükemmət mertebe kaçınmamalı) bir ucuna C şeklindeki bir karınılı çift bakla perçinlenmiştir. D şeklindeki, yay emniyetli ilâve bakaların yayının kapalı kısmı hareket yönünde olmalıdır.



Tamirler için izahat :

Zincir dahilinde bir iç baklanın veya bir mafsalın kırılması halinde, bunlara komşu her iki dış baklanın, veya bu baklanın zincir nihayetinde bulunması halinde komşu baklanın sökülderek yerlerine yeni bir iç bakla ile iki veya bir ilâve baklanın monte edilmesi ile tamir edilir. Aynı şey karınılı çift bakla ile de yapılabilir. Kırık dış bakla yerine ilâve bakla bağlanır.

Roleli zincirlerin bir bakla kısaltılması :



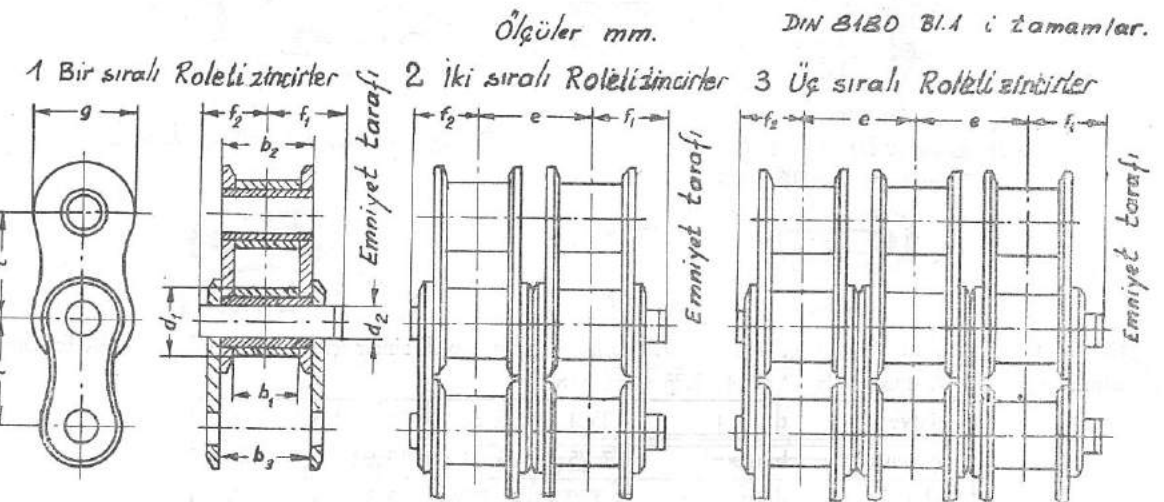
4) Hatvesi  $t \geq 38,1$  olan Roleli zincirlerde ilâve bakla A şeklindeki dış bakla ile perçinlenir.

## ROLELİ ZİNCİRLER

(Daha ağır yükler için)

Ebatlar mafsal alanları kopma yükleri

DIN  
8187



Zincirler, dört sıralı Roleli zincir, beş bıralı Roleli zincir ilh olarak da imal edilirler.

12,7 m<sup>1)</sup> uzunluk bir sıra Roleli zincir (1)

100 baklah, iki sıralı Roleli zincir (2) hatve  $t=25,4$  mm

harave  $t=25,4$  mm. ve iç genişlik  $b=17,02$  mm.

12,7 m<sup>1)</sup> Roleli zincir  $1 \times 25,4 \times 17,02$  DIN 8187

iç genişlik  $b_1=17,02$  mm. olan zincir :

Roleli zincir  $2 \times 25,4 \times 17,02 \times 100^1)$  DIN 8187

Harve $t$	$f_g$ genişlik	$b_1$	$b_2$	$b_3$	$d_1$	$d_2$	$e$	$g$	$f_1$	$f_2$	bir sıralı Roleli zincirde		iki sıralı Roleli zincirde		üç sıralı Roleli zincirde							
											Mafsal/ kopma/ yüksek/ yükü $f = b_2 \times d_2$	$P_B$	Mafsal/ kopma/ yüksek/ yükü $f = 2 \times b_2 \times d_2$	$P_B$	Mafsal/ kopma/ yüksek/ yükü $f = 3 \times b_2 \times d_2$	$P_B$						
			$b_2$ küçük ölçü	$b_3$ büyük ölçü	$h_{10}$	$h_8$					$\text{cm}^2$	kg	$\text{cm}^2$	kg	$\text{cm}^2$	kg						
1)	3,2	5,15	5,25	6	2,8	—	9	6	4,0	0,14	650	7	0,26	—	—	—	—	—				
	(3,94)	6,63	6,73	6,35	3,91	—	9	7	5,8	0,22	900	7	0,36	—	—	—	—	—				
	5,72	8,61	8,63	6,36	3,31	10,24	9	8	6,8	0,28	900	7	0,41	0,56	1600	14	0,78	0,95	2300	20	1,18	
12,7	6,45	9,55	9,75	7,75	3,99	—	11,5	9,2	7,7	0,38	1500	13	0,50	—	—	—	—	—	—	—		
	6,4	9,99	10,12	8,51	4,45	—	12,5	9,5	7,8	0,44	1800	13	0,65	—	—	—	—	—	—	—		
	7,75	11,28	11,40	8,51	4,45	13,92	12,5	10,2	8,5	0,50	1800	13	0,70	1,0	3200	24	1,25	1,51	4600	35	2,0	
15,875	6,48	10,08	10,28	10,16	5,09	—	15	9,9	8,2	0,51	2500	20	0,80	—	—	—	—	—	—	—		
	9,65	13,26	13,46	10,16	5,08	16,59	15	11,4	9,7	0,67	2500	20	0,95	1,35	4500	20	1,05	2,02	6500	55	2,8	
	19,05	11,68	15,62	15,82	9,07	5,72	19,46	16,5	13,2	11,3	0,89	3000	29	1,26	1,79	5400	55	2,5	2,68	7600	60	3,8
	25,4	21,02	25,45	25,75	16,88	8,27	31,08	24	24,5	18	2,10	6500	52	4,21	12400	37	5,4	6,31	18500	140	8	
	31,75	19,56	29	29,3	19,05	10,17	36,45	27	27,7	26,2	2,95	10000	81	3,6	5,9	19000	150	7,2	8,65	28600	220	11
	38,1	25,4	37,92	38,32	25,4	14,63	49,36	36	37,2	24,6	5,54	17000	120	6,7	11,09	32400	220	12,5	16,64	48500	320	21
	44,45	30,99	46,38	47,08	27,94	15,87	59,55	41	42,3	32,5	7,40	20000	160	8,3	14,81	38100	300	16,6	22,22	57100	440	25
	50,8	30,99	47	47,5	29,21	17,8	58,55	44	46,4	36,5	8,37	26000	210	10,5	16,75	49500	400	21	25,1	74300	570	32
	63,5	38,1	55,75	56,45	39,37	22,87	72,29	60	52	30,2	12,75	42000	380	16	28,5	80000	610	82	38,25	120000	880	48
	76,2	45,75	70,56	71,36	48,26	29,22	91,21	70	64,4	49,2	20,61	60000	470	25	41,23	114000	870	50	61,85	170000	1300	75

Parantez içindeki büyütüklüklerden mümkün mertebe kaçınmalıdır.

50x t birim uzunluğunda, kuru yağlanmayan zincirlerde, hesap ağırlığı altında şayani kabul uzama : +0,13 %

1) Zincir uzunluğu, arzuya göre, metre olarak veya bakla adedi cinsinden verilererek zincirler sipariş edilirler. Metre ile siparişlerde, son bakla daima iç bakla olur. Bakla adedi ile yapılan siparişlerde Roleli zincirlerin iki ucunu birbirine bağlamak için lüzumlu bağlantı parçasını ve hatta bakla adedi çift olan zincirlerde ilâve baklayı da ihtiva ederler. Bakla adedi tek olan zincirlerde (mükemmî mertebe kaçınmalı) ya karışılı çift bakla veya dış bakllala (bunların yerine ilâve bakllalar olabilir) perçinli karışılı bakla bağlanır..

2) Hesap yükü, bir sıralı roleli zincir için  $\approx 0,08 \cdot t^2$ , iki sıralı roleli zincir için  $\approx 0,15 = t^2$  ve üç sıralı roleli zincir için  $= 0,22xt$  dir.

3) Karışılı bakllalar (mükemmî mertebe kaçınmalı) yalmaz, kopma yükünün 0,8 ne göre hesaplanırlar.

4) Bu zincirler, imalatçı isterse, tek parça elemanlı olarak imal edilebilirler.

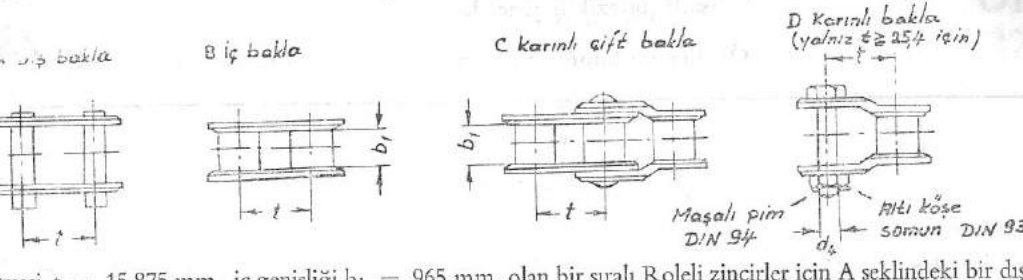
5) Zincirin gösterilmesi : Roleli zincir  $1 \times 12,7 \times 6,4 \times 7,75$  DIN 8187

Malzeme : İmalatının arzusuna göre, Semantasyon çeliği DIN 17210; İslah edilmiş çelik DIN 17200

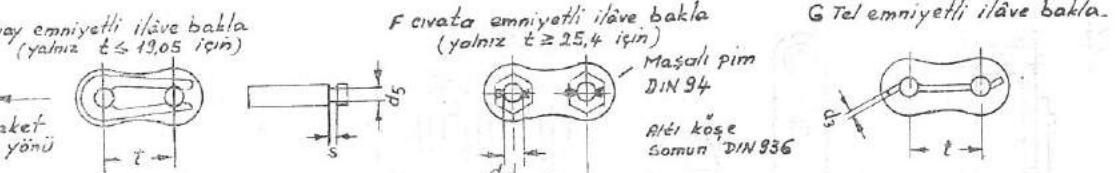
Bununla alakalı diğer norma :

DIN 8196, 8195, 8180, 8181, 8188, 73232 Bl.1

Zincirlerin tamirleri ve iki ucunun birleştirilmesi için kullanılan zincir parçaları :



Hatvesi  $t = 15,875$  mm., iç genişliği  $b_1 = 965$  mm. olan bir sıralı Roleli zincirler için A şeklindeki bir dış bakla :  
Dış bakla 1 A 15,875x9,65 DIN 8187



Bir sıralı Roleli zincir  $1 \times 15,875 \times 9,65$  için E şeklindeki bir ilâve baklanın gösterilmesi :  
ilâve bakla 1 E 15,875x9,65 DIN 8187

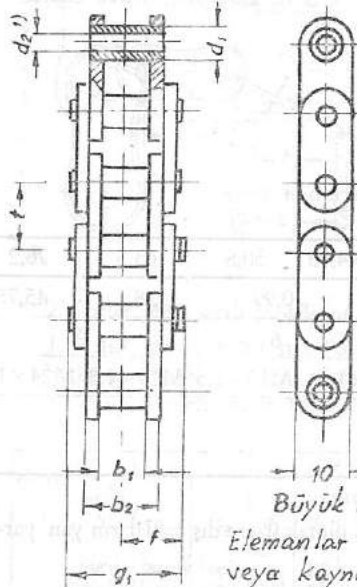
Hatve	9,525	12,7	15,875	19,05	25,4	31,75	38,1	44,45	50,8	63,5	76,2
İç genişlik $b_1$	3,2   3,94   5,72	6,4   5,21   6,4   7,75	6,48   9,65	11,68	17,02   19,56	25,4	30,99			38,1	45,75
Tel çapı $d_3^4)$	0,7	1,1	1,3		1,5	1,8	2,5	3	5		7
Dış üstü çapı $d_4$	—	—	—	—	—	—	M8x1	M12x1,5	M16x1,5	M20x1,5	M24x1,5
$d_5$	2,0	2,35	2,85	3,26	3,75	4,25					
$s$	0,8	0,80	0,80	0,85	1,00	1,00					

1) Akma çelik tel (DIN 2078) 120 - 140 kg/mm<sup>2</sup> çekme direnci, dış kaplama.

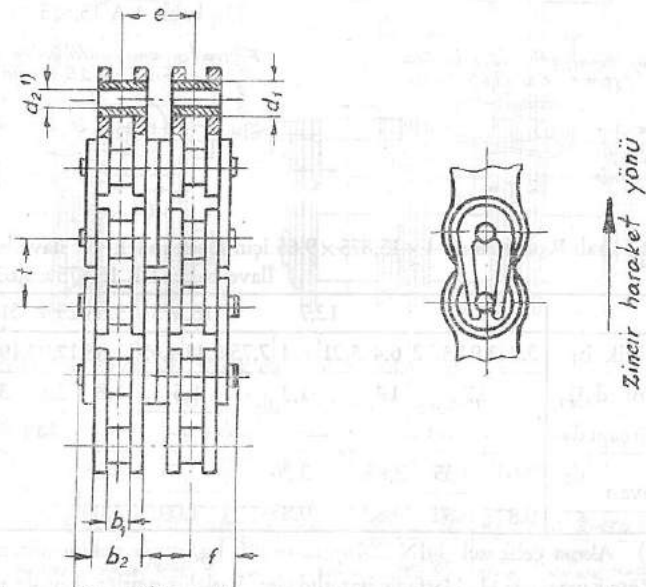
Zincir parçaları H Harfi ile işaretlidirler. Roleli zincirler, 1 m de asgari üç defa olsak üzere dış bakaların yan parçalar

Ölçüler mm

A Bir Sıra - Mafsallı zincir



B İki Sıra - Mafsallı zincir



C yaylı emniyet bakası

Zincir hareket yönü

Yapılış	Hatve t	İç genişlik b <sub>1</sub> küçük ölçü	İç bakla geniş- liği b <sub>2</sub> büyük ölçü	d <sub>1</sub>	d <sub>2</sub> '	e	f büyük ölçü	g <sub>1</sub> büyük ölçü	g <sub>2</sub> büyük ölçü	Asgari kopma yükü kg	2) Hesap yükü kg	Ağırhk (7,85 kg dm <sup>3</sup> )
Bir sıralı zincir	9,525	7,50	11,2	5-0,02	3,57	—	9,20	17,5	—	1200	7,26	0,44
Bir sıralı zincir	9,525	9,52	13,3	6-0,02	4,45	—	10,50	19,3	—	1200	7,26	0,62
İki sıralı zincir	9,525	45,05	7,62	5+0,02	3,57	9,725	7,5	—	23,45	2000	13,60	0,69

Gösterme

.....3) Bir sıra-Mafsallı zincirler A 9,5×7,5 DIN 73232	Emniyet bakası C 9,5×7,5 DIN 73232
.....3) Bir sıra Mafsallı zincirler A 9,5×9,5 DIN 73232	Emniyet bakası C 9,5×9,5 DIN 73232
.....3) İki sıra-Mafsallı zincirler B 9,5×4,5 DIN 73232	Emniyet bakası C 9,5×4,5 DIN 73232

1) Bu ölçü içeri sokulan parçanın çapını gösterir.

2) Hesap yükü şöyle hesaplanır :

Bir sıra Mafsallı zincir için  $0,08 \cdot t^2$  iki sıra Mafsallı zincirler için  $0,15 \cdot t^2$

3) Siparişlerde, zincir uzunlukları metre veya bakla adedi cinsinden verilir.  $50 \times t$  uzunlığında kuru, yağlanması ve elemanları sertleştirilmiş bir zincirin hesap yükü altındaki kabili tecviz uzaması  $+0,10\%$  dur. Emniyet yalnız yay ile olur.

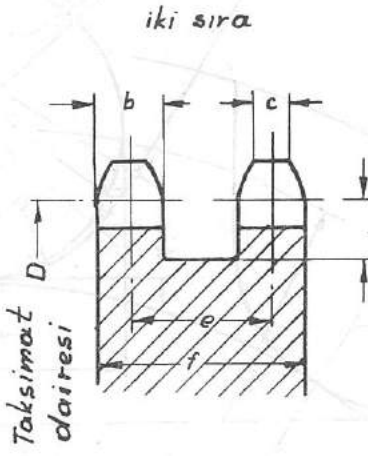
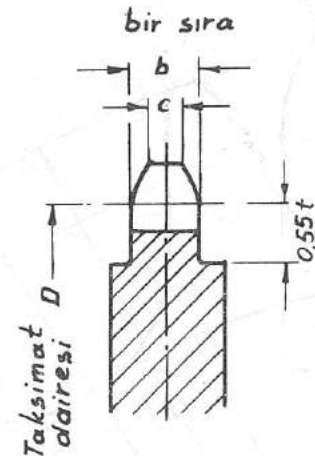
Emniyetler ve zincir bakları, her nevi imalat için, birbirleri ile değiştirilebilirler. Zincirler yalnız çift bakla sayısı olarak kullanılabilirler.

Mafsallı zincirli diş çarkları için DIN 73232 Bl. 2 ye bak.

Dişli çark dişleri için DIN 73233 e bak

Ölçüler mm.

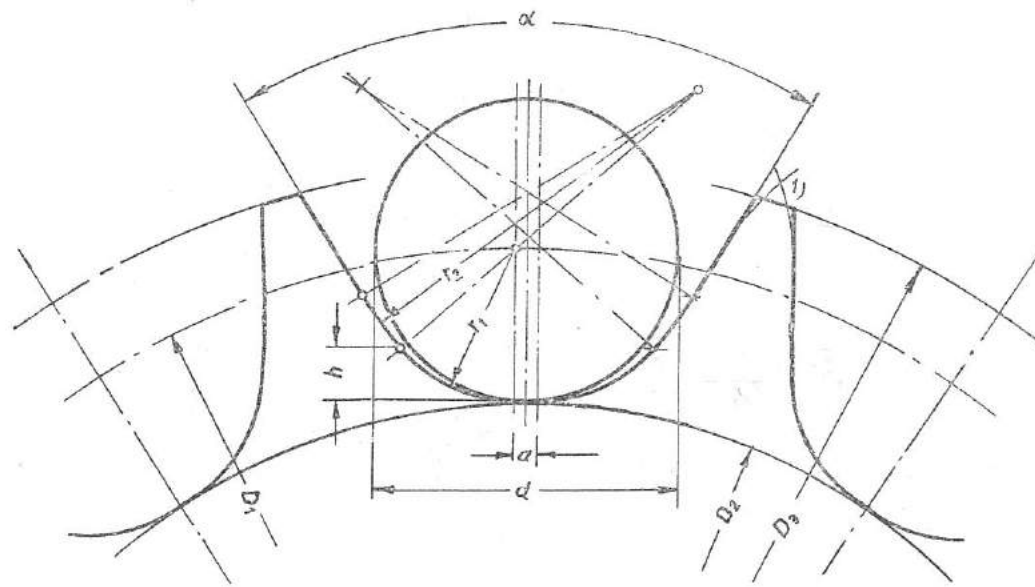
Dişli çark



Hatve t	Zincir in genişliği	Mafsallı zincirler		Dişli çark			
		bir sıra		iki sıra			
		b büyük ölçü	c büyük ölçü	b büyük ölçü	c büyük ölçü	e büyük ölçü	f büyük ölçü
9,525	7,50	7,0	5,0	—	—	—	—
9,525	9,52	8,8	—	—	—	—	—
9,525	4,605	—	—	4,1	2,8	9,7	13,8

Mafsal zincir ölçü ve kırılma yükleri için DIN 73232 Bl. 1 e bak

Dişli çark dişleri için DIN 73233 e bak.



Hesap esasları :

 $a$  = Merkez sapma $\alpha$  = Diş yanları açısı $d$  = Role ve Mafsal çapı bak DIN 8180 Bl.1 ve  
DIN 73232 Bl. 1 $D_1$  = Taksimat dairesi çapı $D_2$  = Diş dibi dairesi çapı

$$D_1 = \frac{t}{\sin \frac{180^\circ}{z}}$$

$$D_2 = D_1 - d \quad (-0,10 \text{ mm çalışma toleransı})$$

$$D_3 = \begin{cases} D_1 + (0,45 \text{ ilâ } 0,55) d & 16 \text{ diş'e kadar} \\ D_1 + (0,60 - 0,80) d & 16 \text{ diş'ten büyük} \end{cases} \quad 2)$$

$$a = t \cdot 0,004 + 0,15 \text{ mm}; \quad h = 0,18 d; \quad r_1 = 0,503 d; \quad r_2 = 1,3 d$$

$$\alpha = \begin{cases} = 72^\circ & 11-12 \text{ diş için} \\ = 70^\circ & 13-16 \text{ » »} \\ = 60^\circ & 16 \text{ dan büyük} \end{cases} \quad \text{Bu değerler taksimatla imal edilenler içindir. Hadde ile imal edilenlerde} \\ \text{freze bıçağı açının } 60^\circ \text{ değerine yakın değerler bulunur.}$$

1) Hadde ile imallerde dişüstü evolvent şeklinde olabilir.

2) Verilenler Diş üstü eğrisi doğru çizgi olduğuna göredir. Hadde usulü ile imallerde ve küçük diş sayılarında daha küçük diş üstü dairesi yarı çapı bulunur.

Roleli zincir için DIN 8180 Bl. 1 e bak.

Mafsallı zincirler için DIN 73232 Bl. 1 ve Bl. 2 ye bak.

Taksimat dairesi  $D_1$  in hesaplanması için misal :

Aşağıdaki tablo, taksimat dairesi çapının basit bir çarpma ile hesaplanması içindir :

$$D_1 = \frac{t}{\sin \frac{180^\circ}{z}}$$

burada :

 $D_1$  = Taksimat dairesi çapı $t$  = Zincir hatvesi $z$  = Diş adedi.

yukarıdaki denkleme

$$\sin \frac{180^\circ}{z} = \frac{1}{X} \quad \text{vaz edersek basit bir denklem buluruz}$$

$$D_1 = t \cdot X$$

x için değerler.

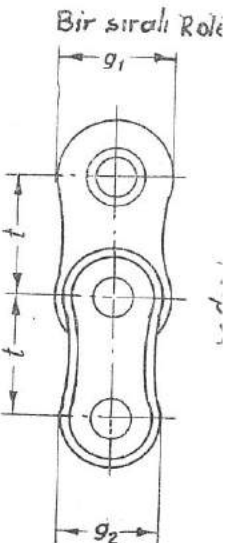
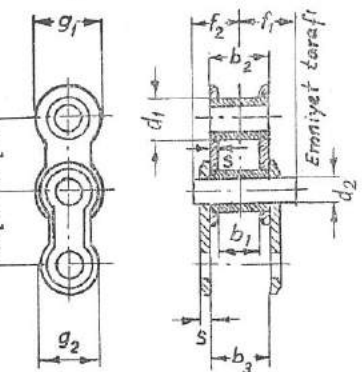
Z	X	Z	X	Z	X	Z	X	Z	X	Z	X
10	3,237	20	6,392	30	9,567	40	12,746	50	15,926	60	19,107
11	3,550	21	6,709	31	9,885	41	13,063	51	16,244	61	19,425
12	3,864	22	7,027	32	10,202	42	13,382	52	16,562	62	19,744
13	4,179	23	7,344	33	10,521	43	13,699	53	16,880	63	20,061
14	4,494	24	7,661	34	10,838	44	14,018	54	17,194	64	20,380
15	4,809	25	7,979	35	11,156	45	14,336	55	17,517	65	20,698
16	5,126	26	8,296	36	11,474	46	14,654	56	17,835		
17	5,441	27	8,614	37	11,792	47	14,972	57	18,153		
18	5,759	28	8,931	38	12,109	48	15,290	58	18,471		
19	6,076	29	9,250	39	12,427	49	15,607	59	18,786		

Misal : Z = 52 diş, t = 12,7 mm verilse, x = 16,562 olup

Taksimat dairesi çapı  $D_1 = 12,7 \times 16,562 = 210,34 \text{ mm}$ .

Bu norma göre imal edilmiş zincirler Amerikan ASA B 29.1-1950 normuna göre imal edilmiş olanların yerinde kullanılabilir zincirler için izah edilen teknik hususlar aynen bu norm zincirlere uygundur.

**Mafsallı zincirler  
(bir sıralı: Mafsallı zincir çizilmiştir)**



Yan par  
Bu zinci

1,143<sup>1)</sup>m. uzunlığında hatvesi  $t=9,525$  mm. olan bir  
üç sıralı Mafsallı zincirlerin (3) gösterilmesi :

1,143<sup>1)</sup> m Mafsallı zincir 3×9,525 DIN 8188

1,27<sup>1)</sup>m uzunlığında hatvesi  $t=9,525$  mm.  
lattan olan bir sıralı Roleli zincir

1,27<sup>1)</sup> m Roleli zincir

Yapılış	Hatve $t$	İç genişlik küçük ölçü	$b_2$ büyük ölçü	$b_3$ küçük ölçü	$d_1$ $h\ 10$	$d_2$ yuva D9 civata h8	$c$	$f_1$ büyük ölçü	$f_2$ küçük ölçü	$g_1$ büyük ölçü
Mafsallı zincir	6,35	3,18	4,80	4,86	3,30	2,31	6,4	4,4	3,7	6,0
	9,525	4,77	7,46	7,52	5,08	3,59	10,13	7,0	5,7	9,0
	12,7	7,94	11,17	11,23	7,94	3,97	14,38	9,3	7,9	12,0
	15,875	9,53	13,84	13,90	10,16	5,09	18,11	11,7	9,9	15,1
	19,05	12,7	17,75	17,81	11,90	5,95	22,78	14,5	12,4	18,1
	25,4	15,88	22,60	22,66	15,87	7,93	29,29	18,9	15,9	24,1
	31,75	19,05	27,45	27,51	19,05	9,53	35,76	23,0	23,0	30,1
	38,1	25,4	35,45	35,51	22,22	11,11	45,44	28,6	24,4	36,2
	44,45	25,4	37,18	37,24	25,4	12,71	48,87	31,2	26,3	42,2
	50,8	31,75	45,21	45,27	28,57	14,28	58,55	36,8	31,3	48,2
Normal yapılış Roleli Zincirler	57,15	35,72	50,85	50,91	35,71	17,46	65,84	42,2	35,3	54,3
	63,5	38,1	54,88	54,94	39,68	19,85	71,55	46,4	38,5	60,3
	76,2	47,63	67,81	67,87	47,62	23,81	87,83	56,6	47,0	72,4
	19,05	12,7	19,43	19,49	11,90	5,95	26,11	16,2	14,0	18,1
	25,4	15,88	24,28	24,34	15,87	7,93	32,59	20,5	17,5	24,1
	31,75	19,05	29,10	29,16	19,05	9,53	39,09	24,6	21,0	30,1
	38,1	25,4	37,18	37,24	22,22	11,11	30,3	30,3	26,2	36,2
	44,45	25,4	38,86	38,92	25,4	12,71	52,20	32,8	27,9	42,2
	50,8	31,75	46,88	46,94	28,57	14,28	61,87	38,5	32,9	48,2
	57,15	35,72	55,90	55,96	35,71	17,46	75,92	47,1	40,3	54,3
Mafsal olsalar büyük ve yan parçaları kalın olan Roleli Zincirler	63,5	38,1	58,29	58,35	39,68	19,85	78,31	49,7	41,8	60,3
	76,2	47,63	74,54	74,60	47,62	23,81	101,22	63,1	53,5	72,4

$50 \times t$  birim uzunlığında, kuru yağlanmayan zincirlerde, hesap ağırlığı altında şayandır kabul uzama : + 0,13 %

1) Siparişlerde, zincir uzunluğu, arzuya göre metre veya bakla adedi ile olabilir. Metre ile siparişlerde son bakla daima iç  
siparişlerde Roleli zincirlerin iki ucunu birbirine bağlamak için lüzumlu bağlantı parçasını ve hatta bakla adedi çift olan zincirler  
adedi tek olan zincirlerde (mükemmən mertebe kaçınmamalı) ya karlı çift bakla veya dış baklalara (bunların yerine ilâvə bakla  
bağlanır. Karlı bakla DIN 8180 deki C ve D şeklinde olup yukarıda gösterilen karlı yan parçayı ihtiyaç eder; ilâvə  
şekillerine uygun olur.

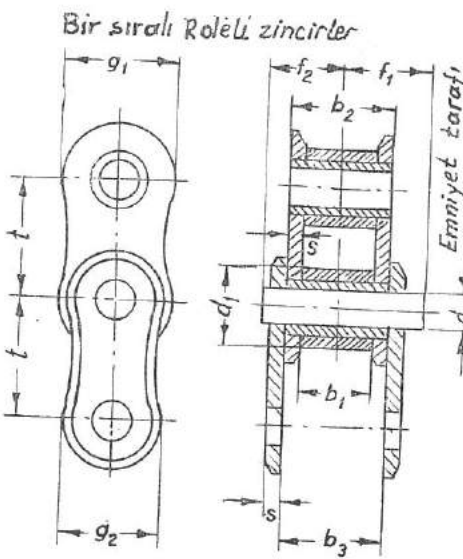
merikan ASA B 29.1-1950 normuna göre imal edilmiş olanların yerinde kullanılabilirler. DIN 8180 deki Roleli aynen bu norm zincirlere uygundur.

### Çelik mafsallı zincirler

Amerika tipi imalat

Ebatlar, kopma yükleri, mafsal alanları

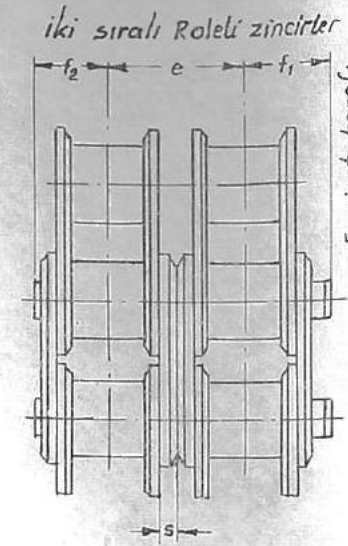
DIN  
8188



Yan parçaların şekli resimdekinin aynı olmayabilir.

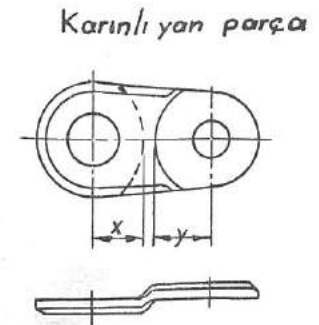
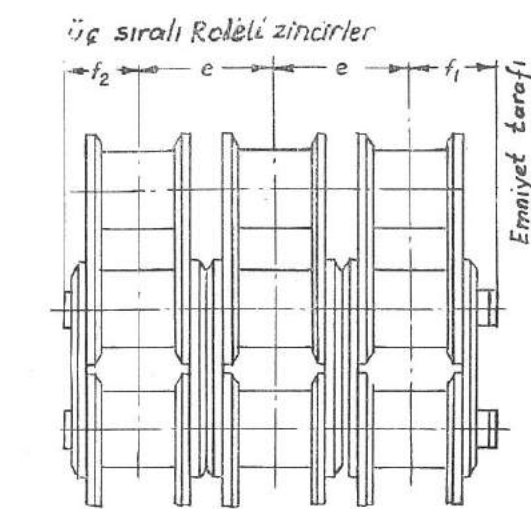
Bu zincirler dört sıralı, beş sıralı ilholarak da imal edilebilirler.

(çizilmisti)



Hatvesi  $t=50,8$  mm. 50<sup>10</sup> bakla daha ağır yapılsa S olan bir iki sıralı Roleli zincirlerin (2) nin gösterilmesi :

Roleli zincir 2×50,8 S×50<sup>10</sup> DIN 8188



$t=9,525$  mm. olan bir sterilmesi :

3×9,525 DIN 8188

1,27<sup>10</sup> m uzunluğunda hatvesi  $t=12,7$  mm ve normal imalattan olan bir sıralı Roleli zincir :

1,27<sup>10</sup> m Roleli zincir 1×12,7 DIN 8188

b <sub>2</sub> yük lü	b <sub>3</sub> küçük ölçü	d <sub>1</sub> h 10	d <sub>2</sub> yuva D9 civata h8	e	f <sub>1</sub> büyük ölçü	f <sub>2</sub> küçük ölçü	g <sub>1</sub> büyük ölçü	g <sub>2</sub> büyük ölçü	s	karınlı yan parça x küçük ölçü	y küçük ölçü	Bir sıra zincir				İki sıralı zincir				Üç sıralı zincir						
												Karşılığı ASA B29.1-1950 Nr	Mafsal alanı cm <sup>2</sup>	Asgari kopma yükü kg.	Hesap yükü kg/m $\approx$	Karşılığı ASA B29.1-1950 Nr	Mafsal alanı cm <sup>2</sup>	Asgari kopma yükü kg.	Hesap yükü kg/m $\approx$	Karşılığı ASA B29.1-1950 Nr	Mafsal alanı cm <sup>2</sup>	Asgari kopma yükü kg.	Hesap yükü kg/m $\approx$			
1,80	4,86	3,30	2,31	6,4	4,4	3,7	6,0	5,2	0,76	2,82	3,22	25	0,11	360	8	0,125	25-2	0,22	120	16	0,259	25-3	0,33	1080	24	0,385
1,46	7,52	5,08	3,59	10,13	7,0	5,7	9,0	7,8	1,27	4,11	4,73	35	0,27	800	8	0,312	35-2	0,54	1600	16	0,669	35-3	0,81	2400	24	1,01
1,17	11,23	7,94	3,97	14,38	9,3	7,9	12,0	10,4	1,5	5,41	6,22	40	0,44	1500	14	0,609	40-2	0,88	3000	28	1,19	40-3	1,32	4500	42	1,78
1,84	13,90	10,16	5,09	18,11	11,7	9,9	15,1	13,0	2,0	6,70	7,74	50	0,70	2300	22	1,01	50-2	1,40	4600	44	1,92	50-3	2,10	6900	66	2,89
1,75	17,81	11,90	5,95	22,78	14,5	12,4	18,1	15,6	2,4	8,02	9,24	60	1,06	3200	32	1,47	60-2	2,12	6400	64	2,9	60-3	3,18	9600	96	4,28
1,60	22,66	15,87	7,93	29,29	18,9	15,9	24,1	20,8	3,2	10,61	12,26	80	1,79	5700	55	2,57	80-2	3,58	11400	110	5,01	80-3	5,37	17100	165	7,47
1,45	27,51	19,05	9,53	35,76	23,0	23,0	30,1	26,0	4,0	13,20	15,29	100	2,62	8900	90	3,73	100-2	5,24	17800	180	7,31	100-3	7,86	26700	270	11,01
1,45	35,51	22,22	11,11	45,44	28,6	24,4	36,2	31,2	4,8	15,82	18,28	120	3,94	12800	125	5,5	120-2	7,88	25600	250	10,94	120-3	11,82	38400	375	16,5
1,18	37,24	25,4	12,71	48,87	31,2	26,3	42,2	36,4	5,6	18,41	21,28	140	4,72	17400	175	7,5	140-2	9,44	34800	350	14,36	140-3	14,16	52200	525	21,7
1,21	45,27	28,57	14,28	58,55	36,8	31,3	48,2	41,6	6,4	21,03	24,33	160	6,5	22700	230	9,7	160-2	13,0	45400	460	19,1	160-3	19,5	68100	690	28,3
1,85	50,91	35,71	17,46	65,84	42,2	35,3	54,3	46,8	7,2	23,64	27,35	180	8,9	28800	290	13,2	180-2	17,8	57600	580	26,0	180-3	26,7	86400	870	38,6
1,88	54,94	39,68	19,85	71,55	46,4	38,5	60,3	52,1	8,0	26,23	30,35	200	10,9	35400	350	15,8	200-2	21,8	70800	700	32,0	200-3	32,7	106200	1050	48,0
1,81	67,87	47,62	23,81	87,83	56,6	47,0	72,4	62,5	9,6	31,44	36,39	240	16,1	51000	510	22,6	240-2	32,2	102000	1020	44,0	240-3	48,3	153000	1530	66,0
1,43	19,49	11,90	5,95	26,11	16,2	14,0	18,1	15,6	3,2	8,02	9,24	60 H	1,16	3200	32	1,79	60 H-2	2,32	6400	64	3,5	60 H-3	3,48	9600	96	5,25
1,28	24,34	15,87	7,93	32,59	20,5	17,5	24,1	20,8	4,0	10,61	12,26	80 H	1,92	5700	55	2,92	80 H-2	3,84	11400	110	5,75	80 H-3	5,76	17100	165	8,55
1,10	29,16	19,05	9,53	39,09	24,6	21,0	30,1	26,0	4,8	13,20	15,29	100 H	2,77	8900	90	4,2	100 H-2	5,54	17800	180	8,2	100 H-2	8,31	26700	270	12,3
1,18	37,24	22,22	11,11	30,3	30,3	26,2	36,2	31,2	5,6	15,82	18,28	120 H	4,13	12800	125	6,0	120 H-2	8,26	25600	250	11,1	120 H-3	12,39	38400	375	17,5
1,86	38,92	25,4	12,71	52,20	32,8	27,9	42,2	36,4	6,4	18,41	21,28	140 H	4,94	17400	175	8,0	140 H-2	9,88	34800	350	15,6	140 H-3	14,82	52200	525	23,2
1,88	46,94	28,57	14,28	61,87	38,5	32,9	48,2	41,6	7,2	21,03	24,33	160 H	6,7	22700	230	10,5	160 H-2	13,4	45400	460	20,5	160 H-3	20,1	68100	690	30,6
1,90	55,96	35,71	17,46	75,92	47,1	40,3	54,3	46,8	9,6	23,64	27,35	180 H	9,8	28800	290	15,8	180 H-2	19,6	57600	580						